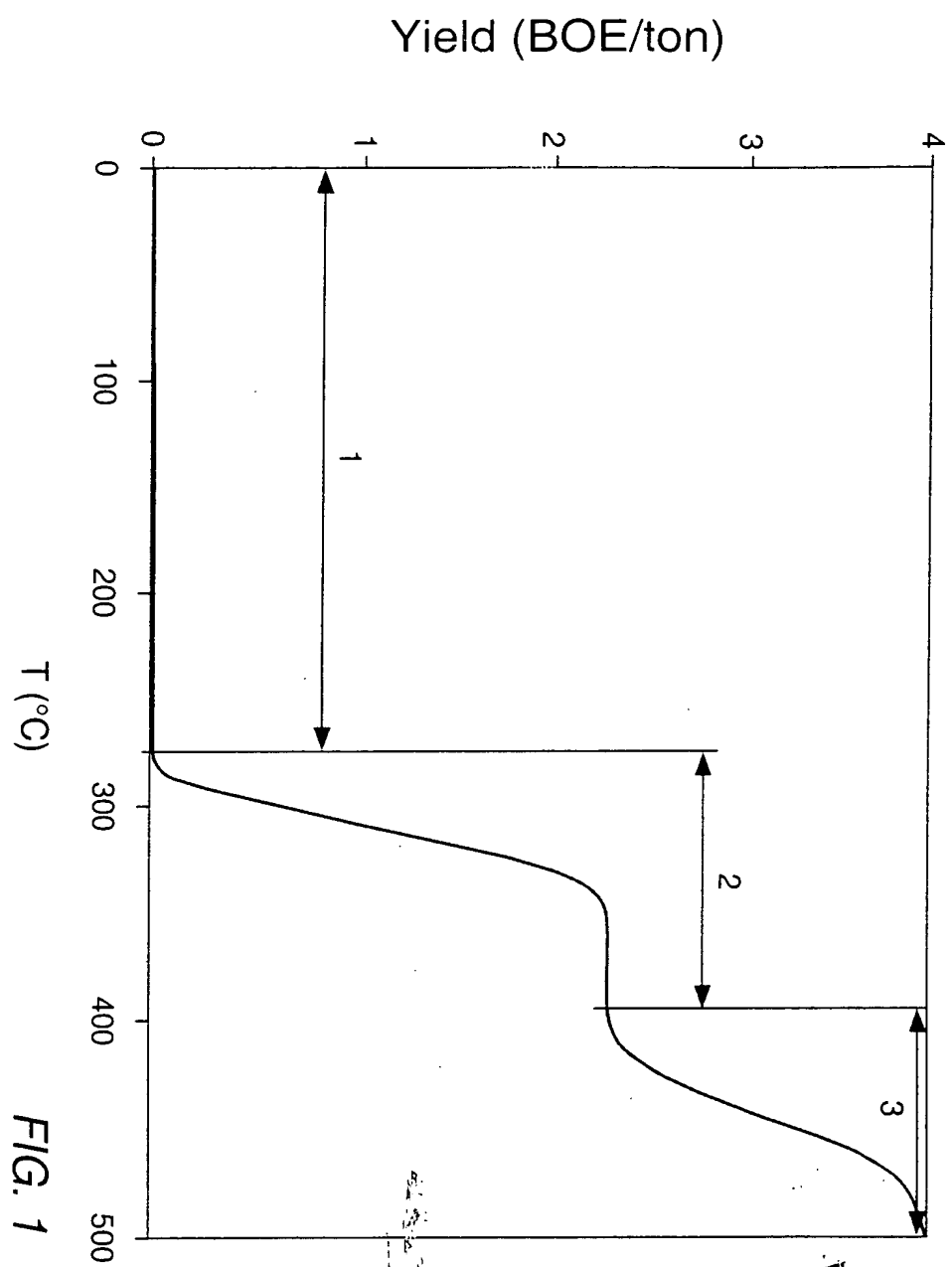
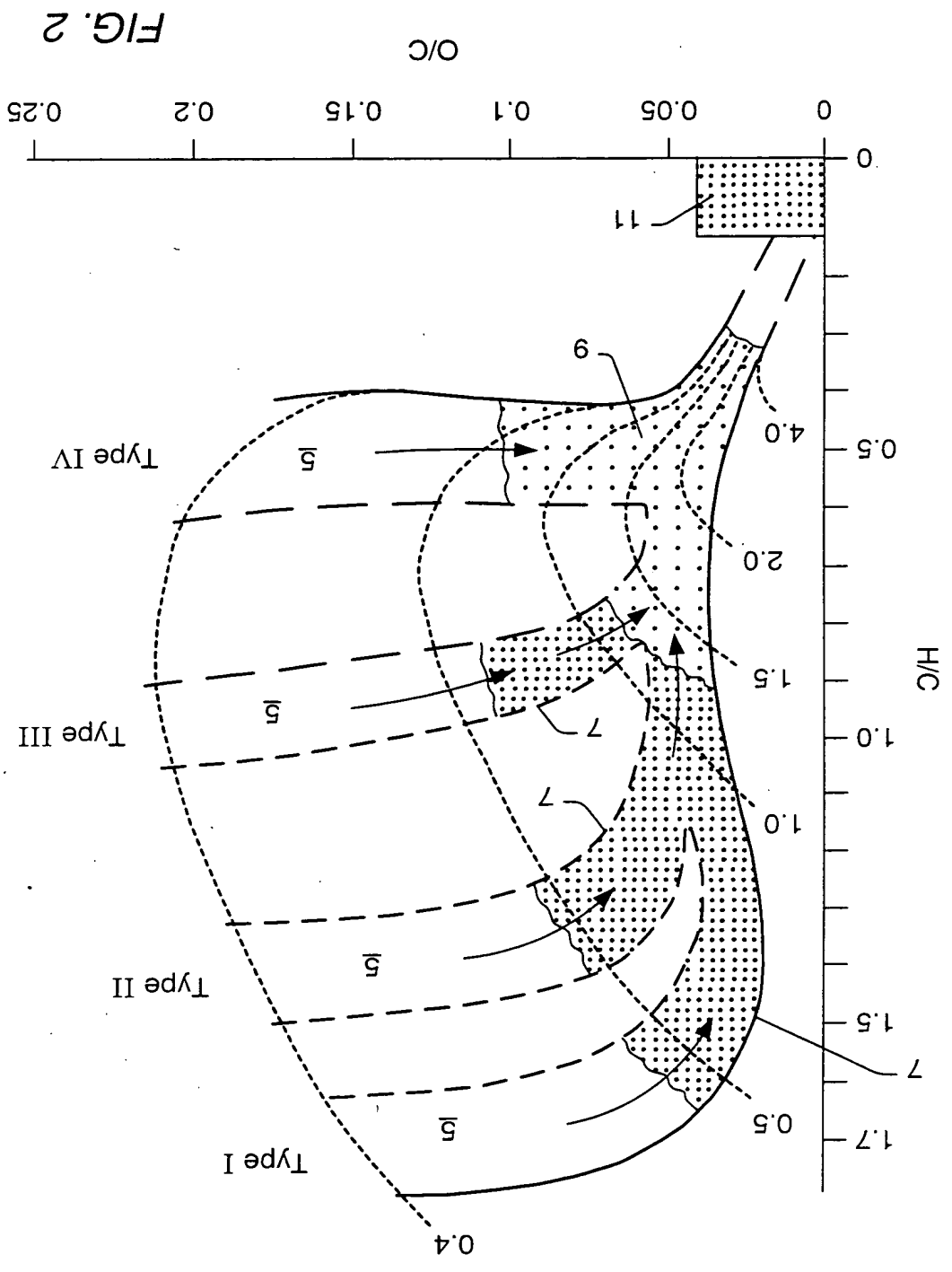


1042400 2011-11-18



1047240 2E474860



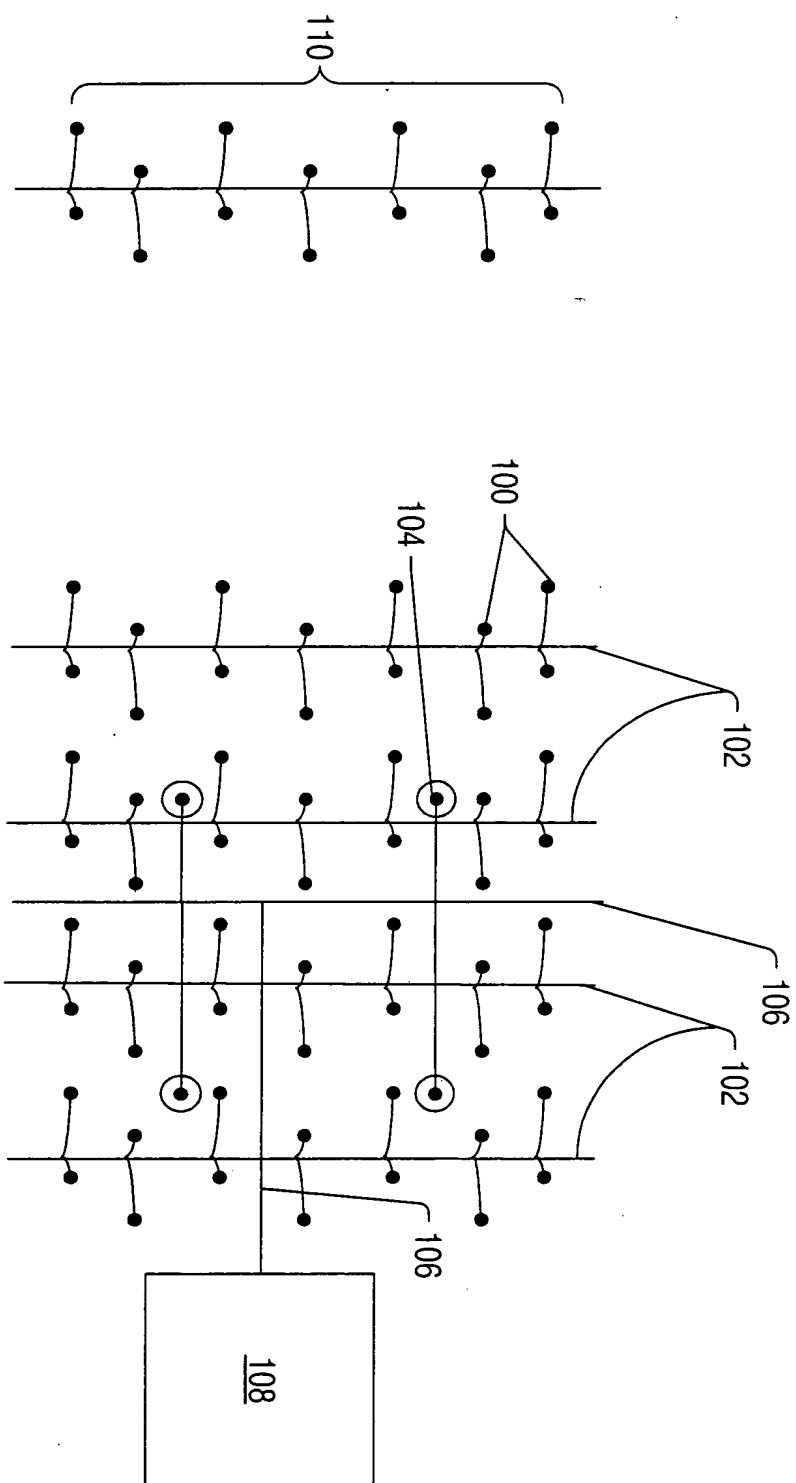


FIG. 3

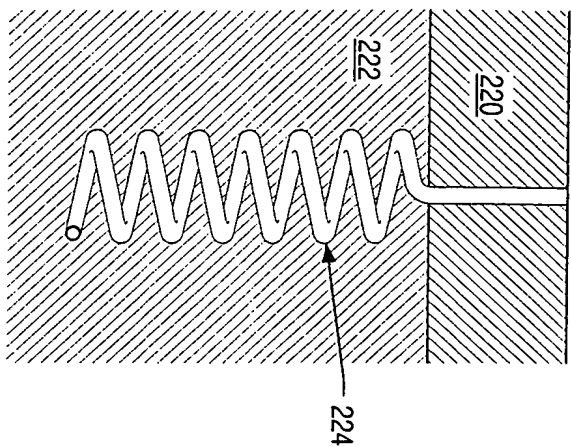


FIG. 3a

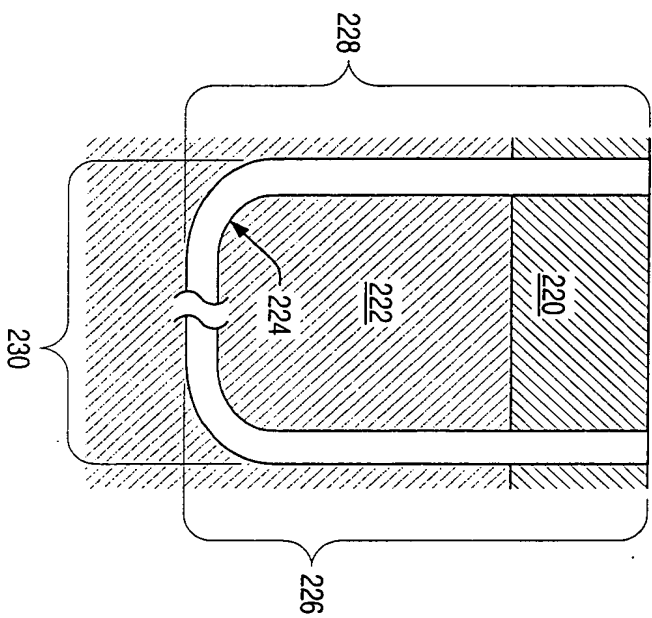


FIG. 3b

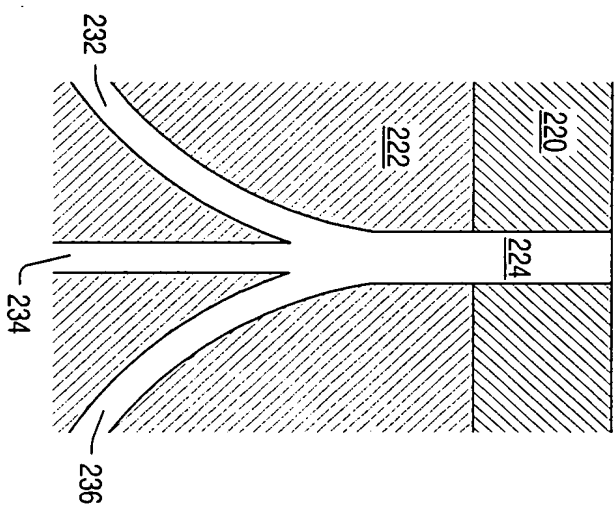
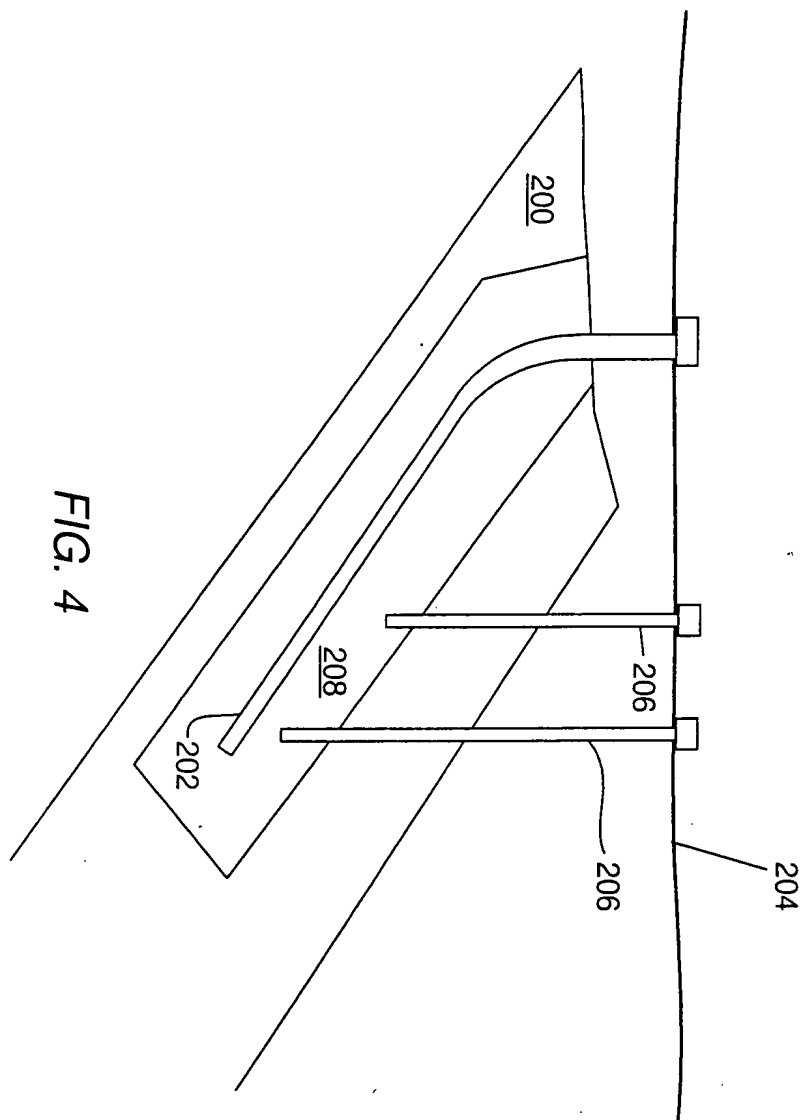


FIG. 3c



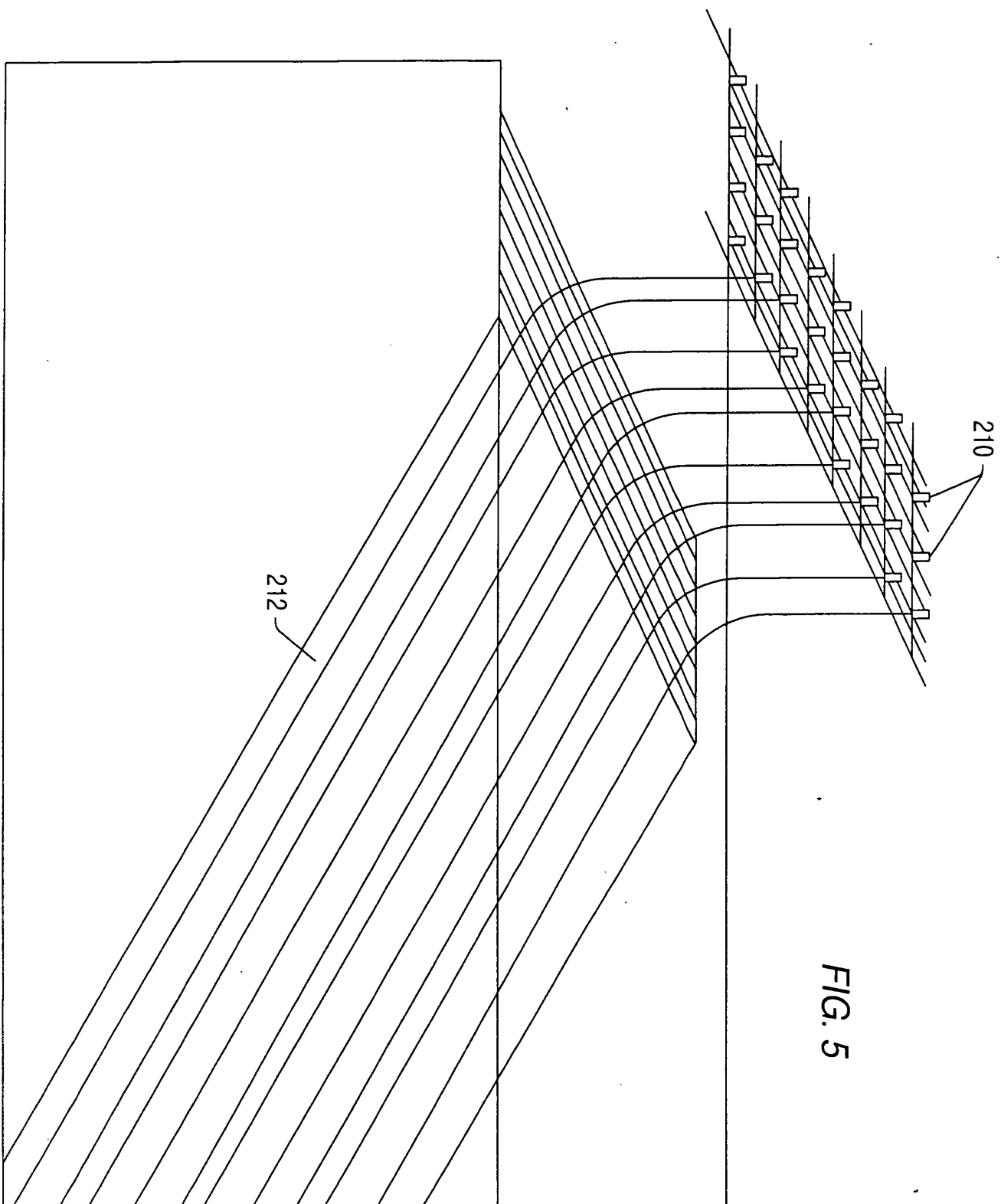


FIG. 7

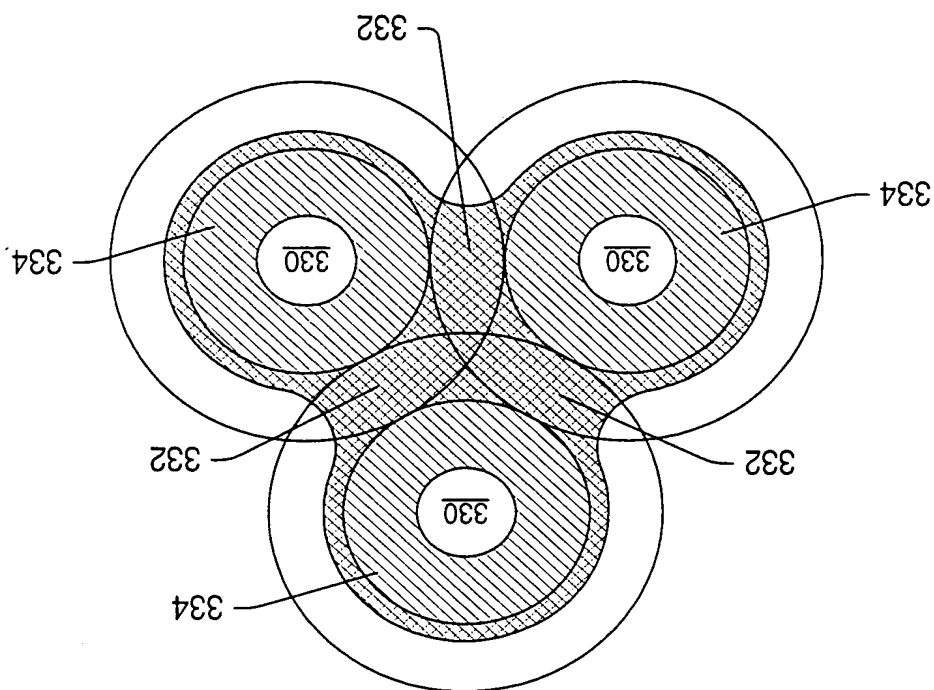
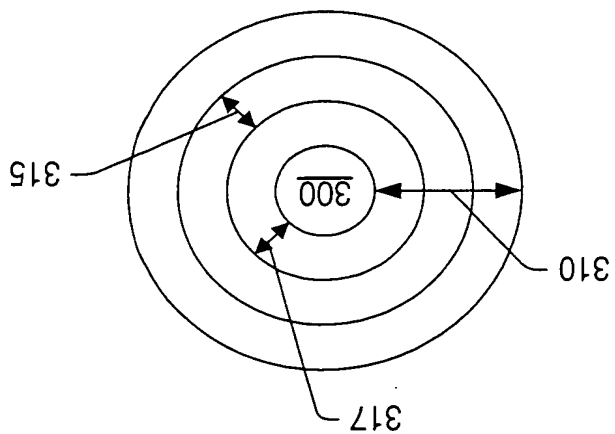


FIG. 6



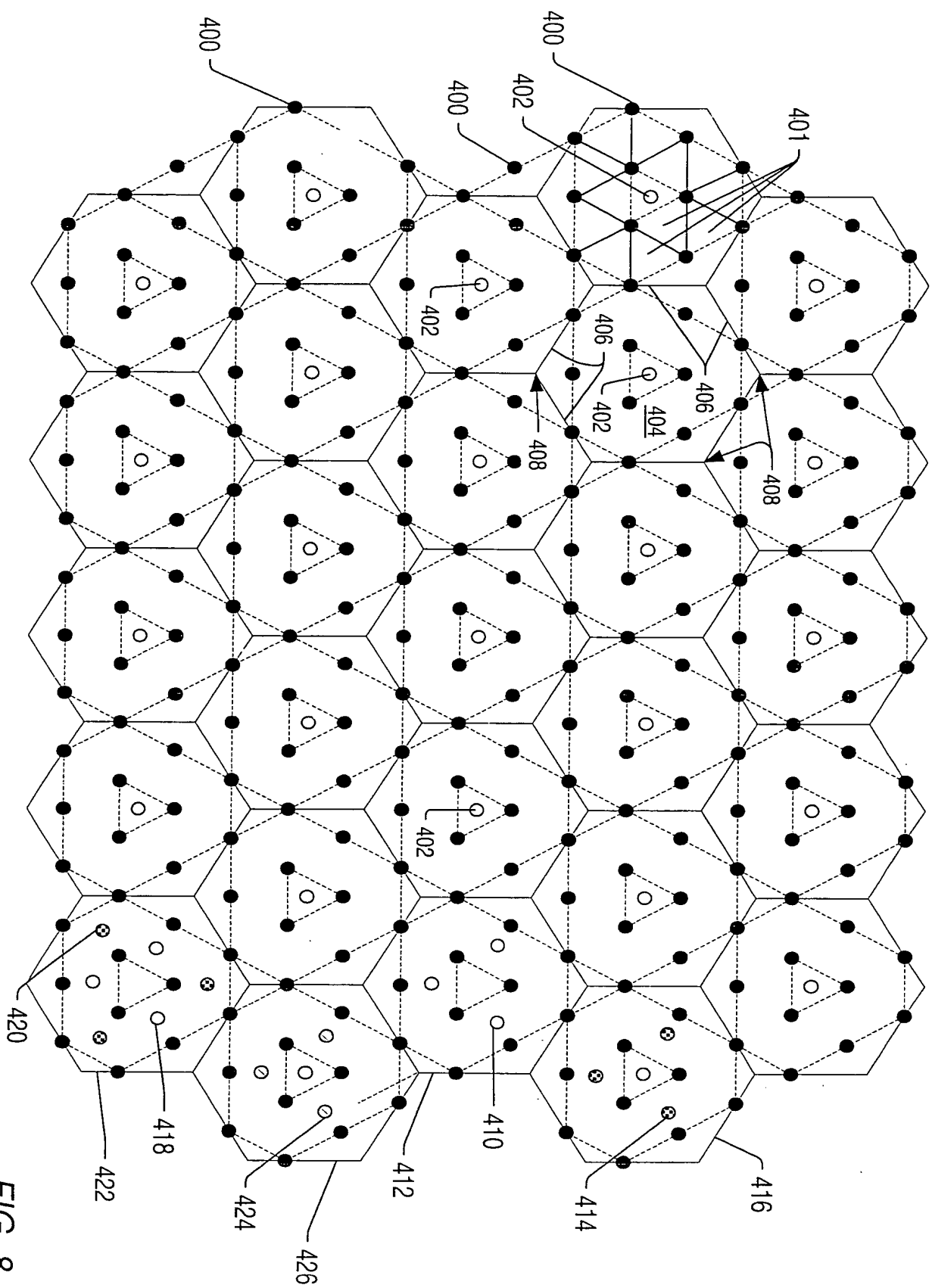


FIG. 8

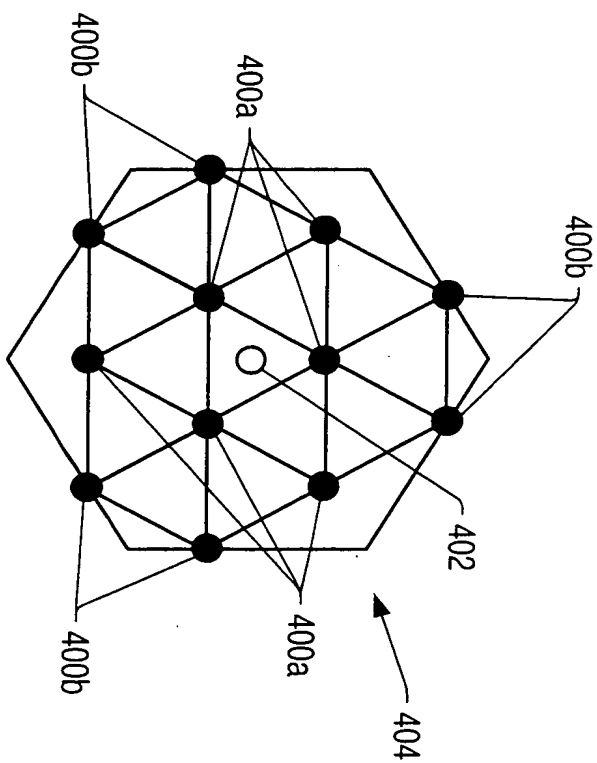


FIG. 9

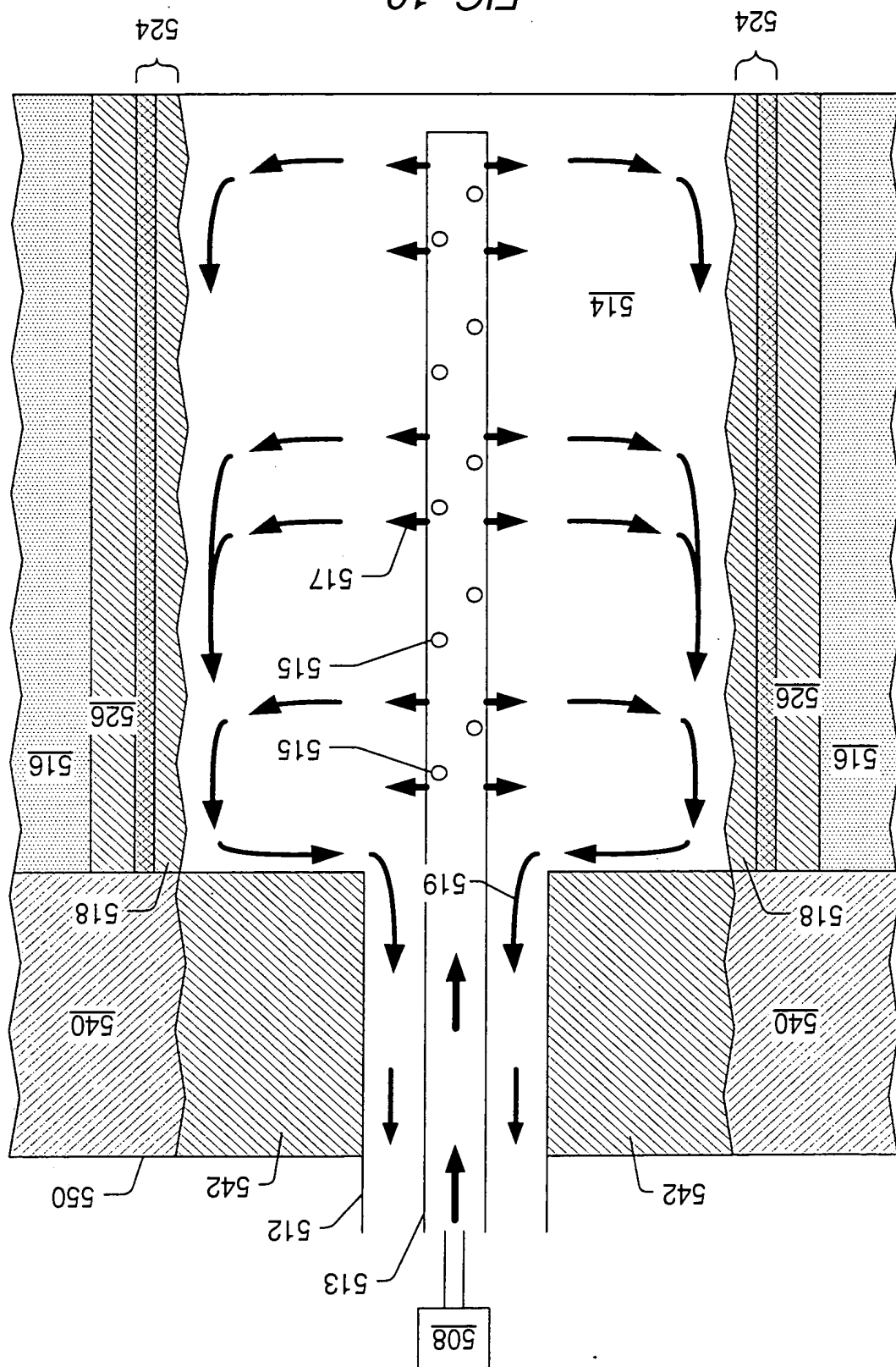


FIG. 12

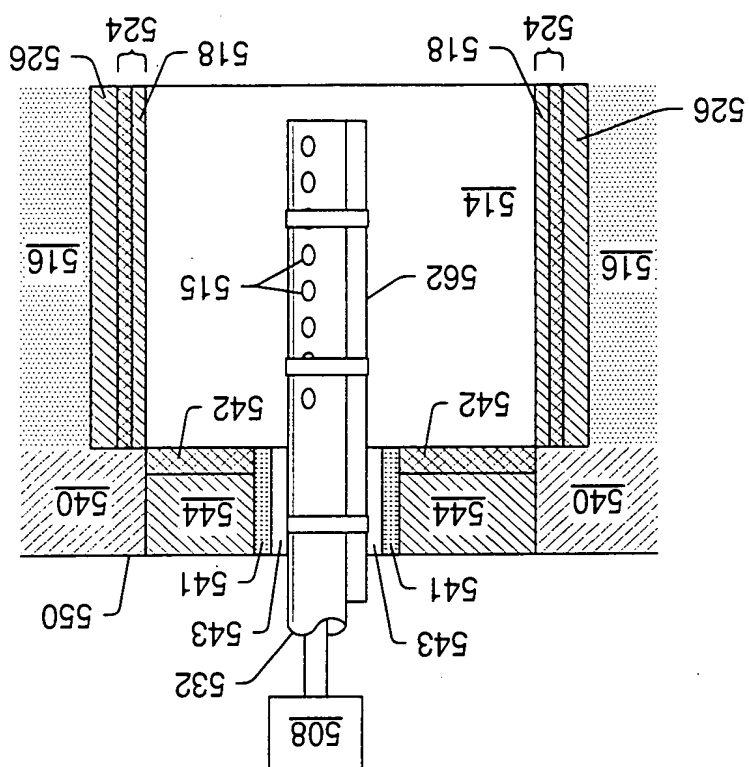
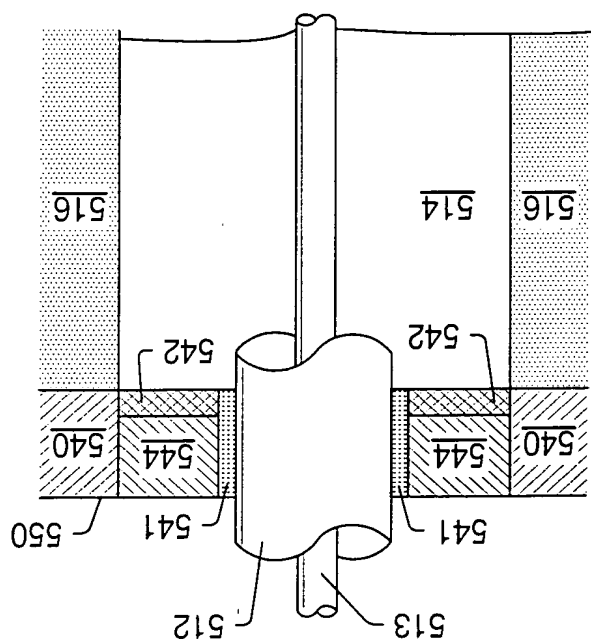


FIG. 11



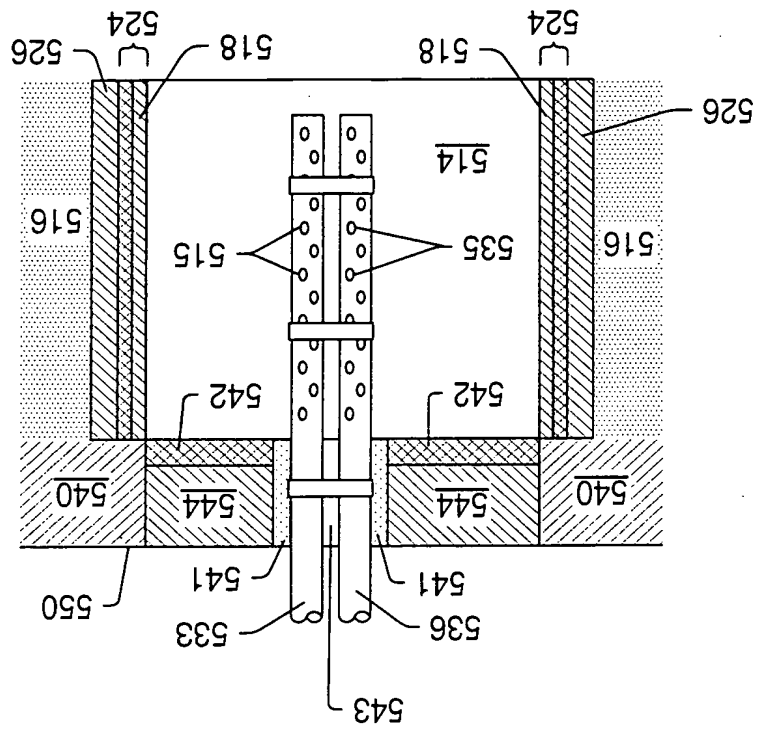


Fig. 13

FIG. 15

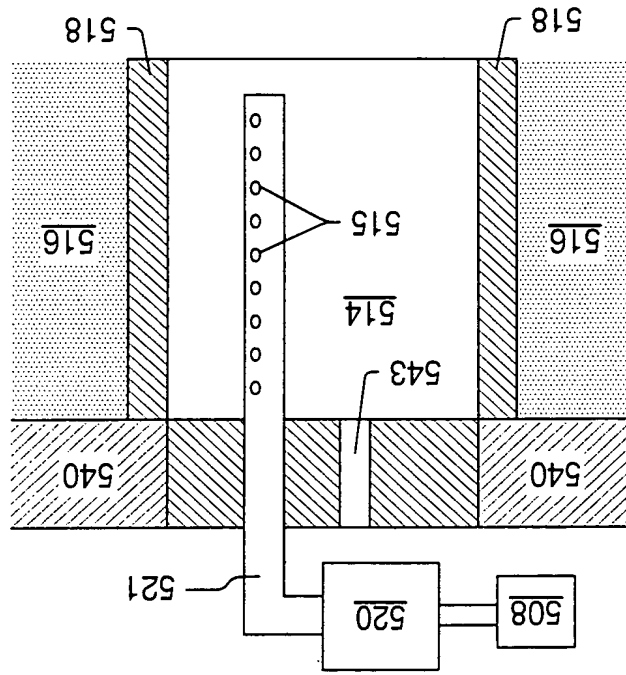


FIG. 14

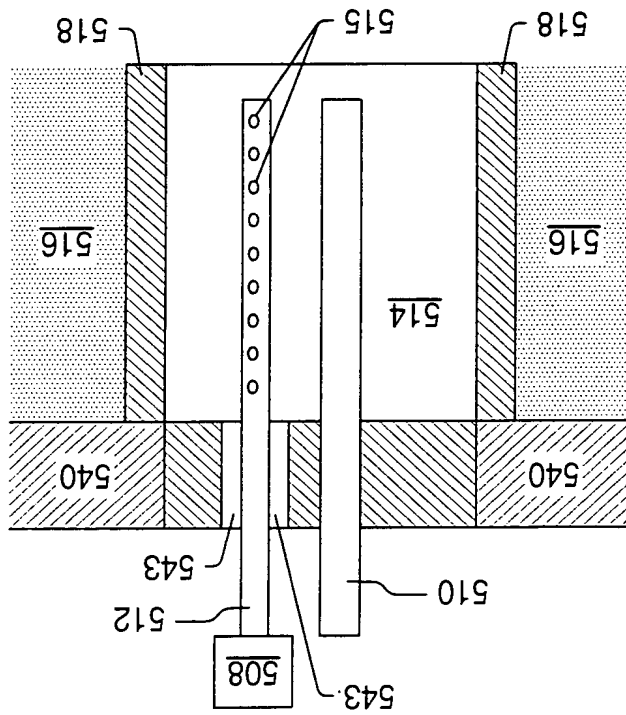
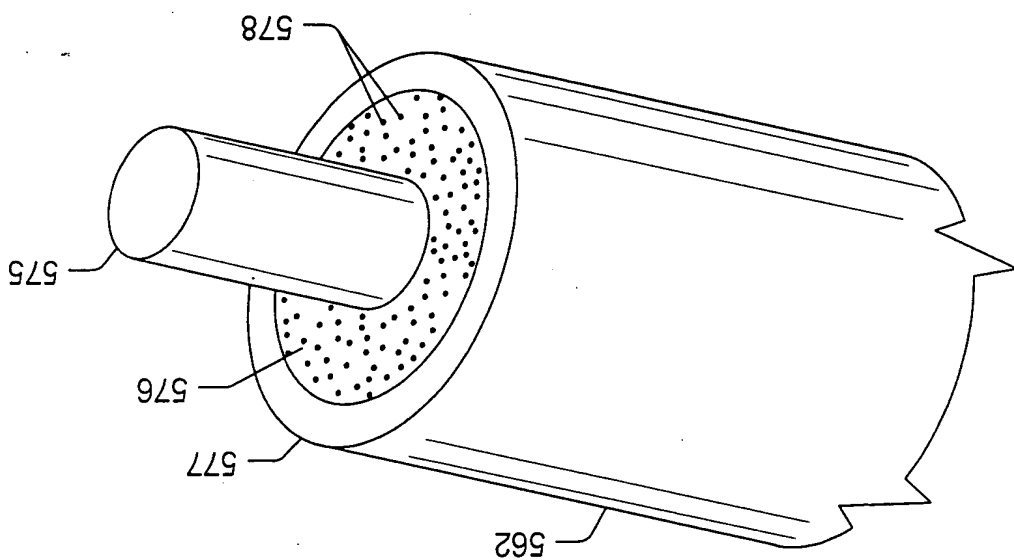


FIG. 16



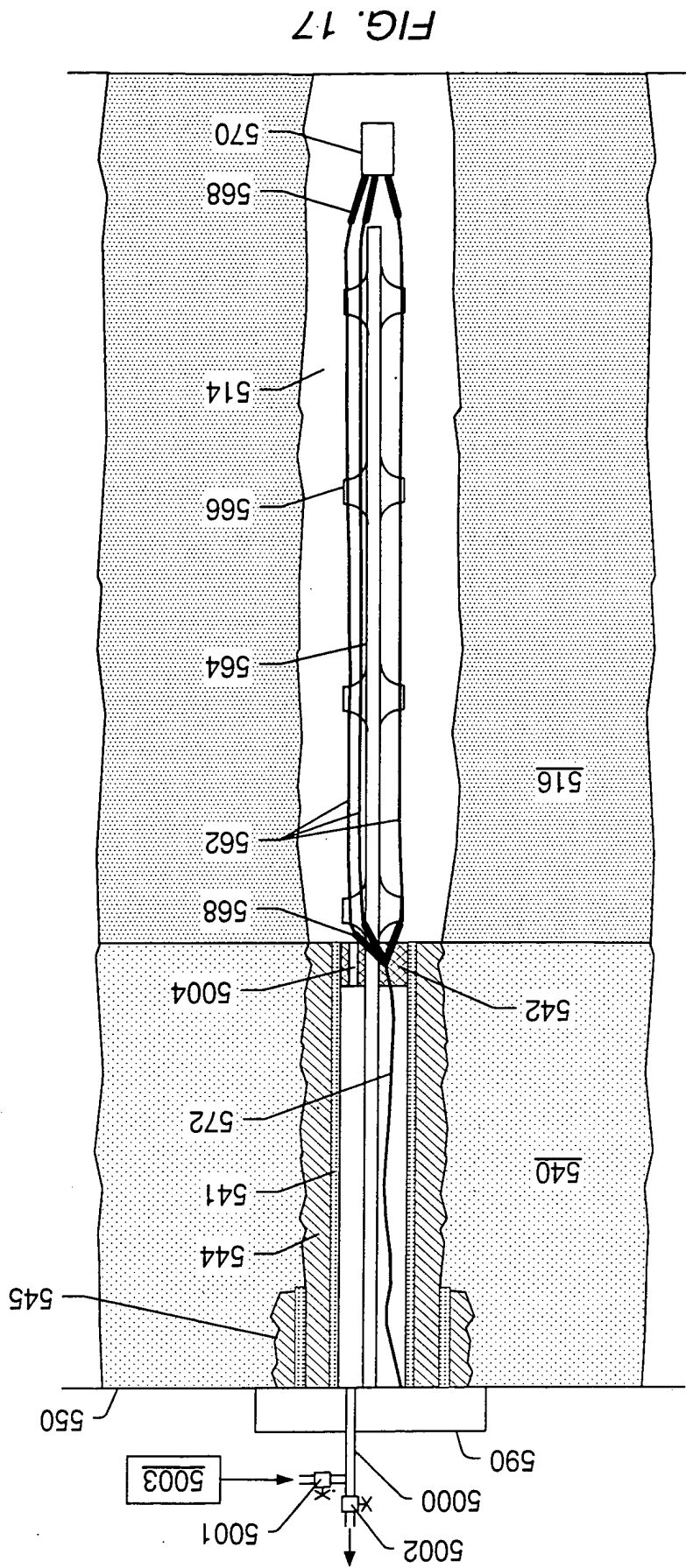


FIG. 17

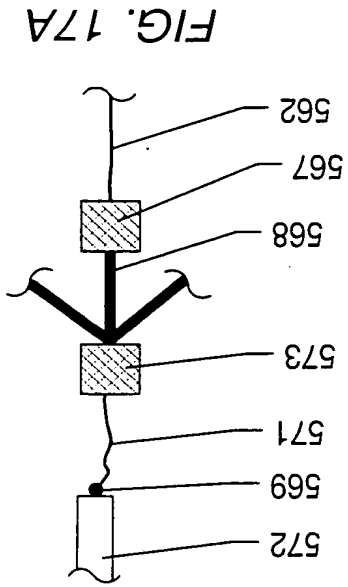


FIG. 17A

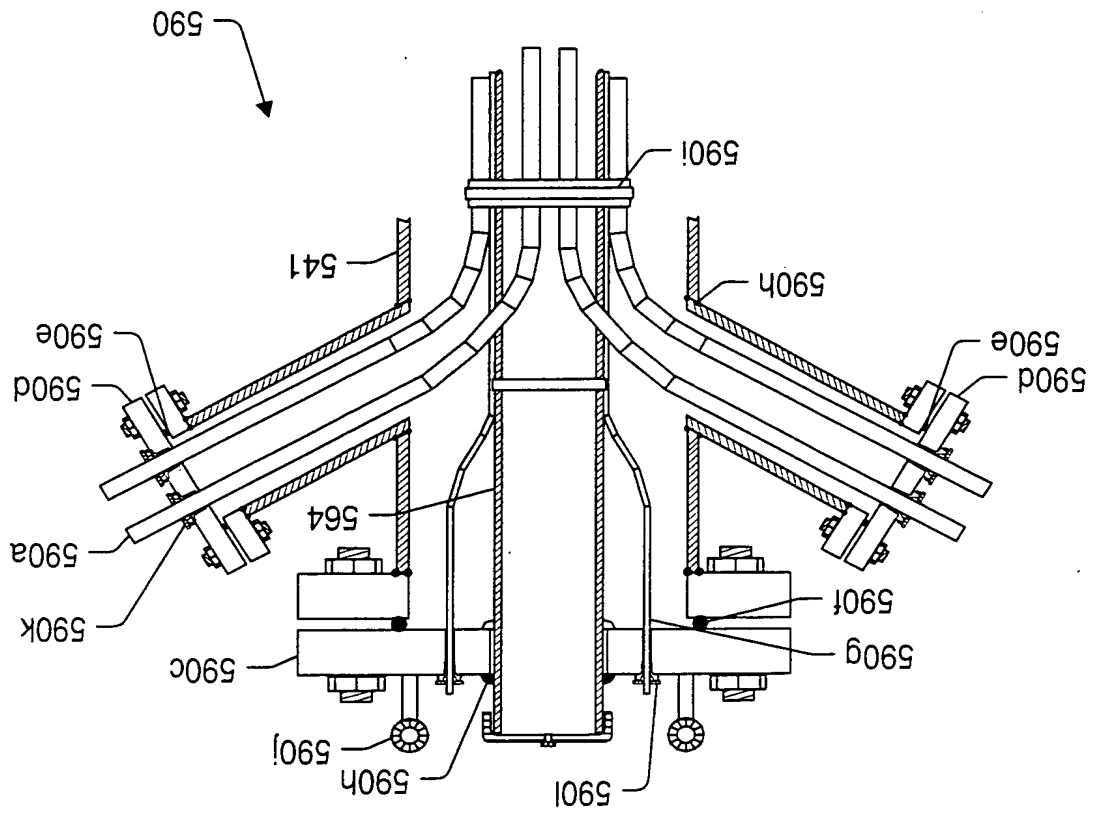


FIG. 18

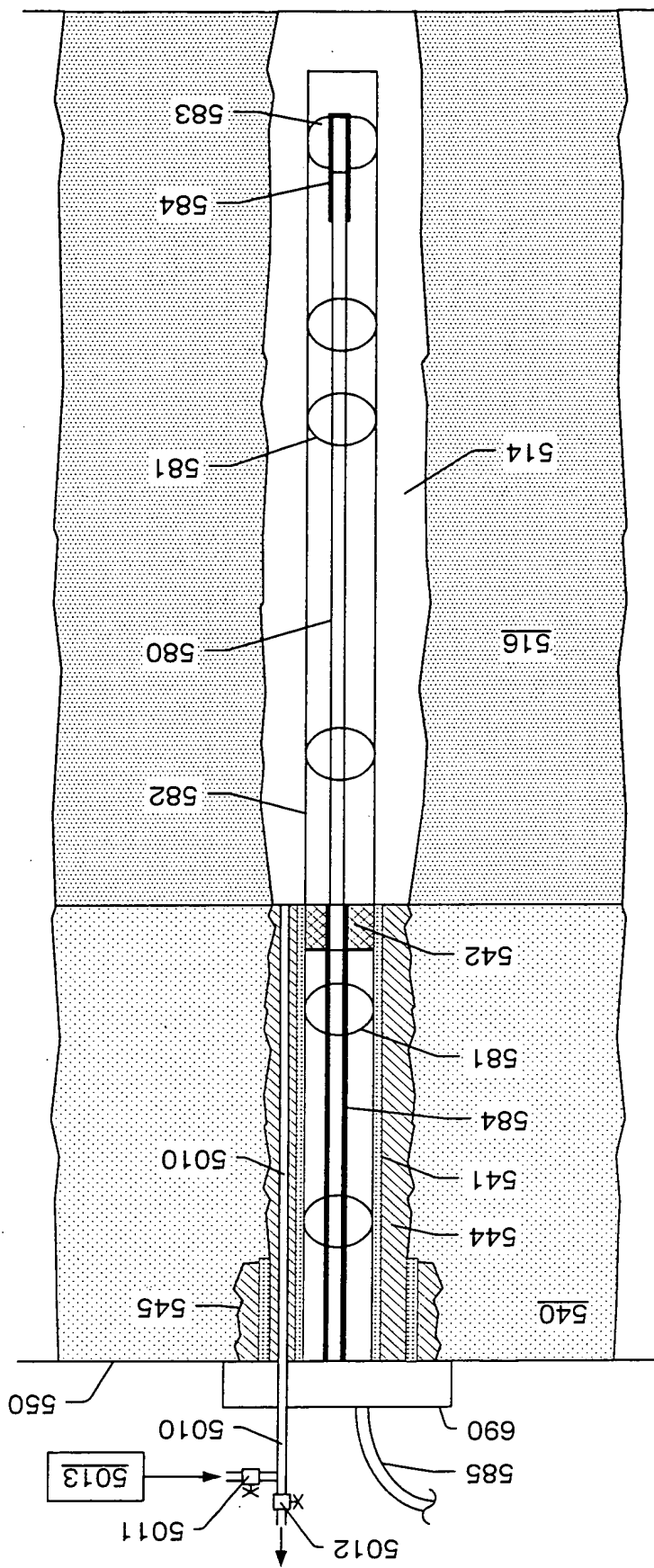
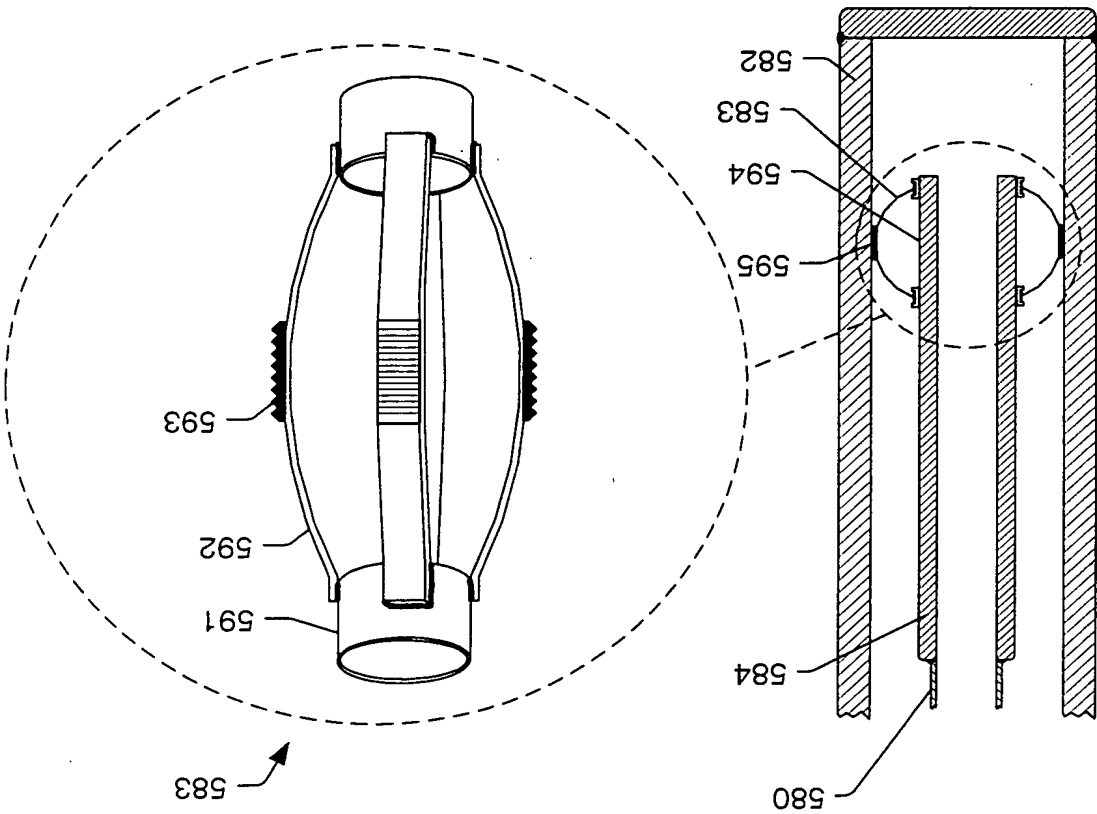


FIG. 19



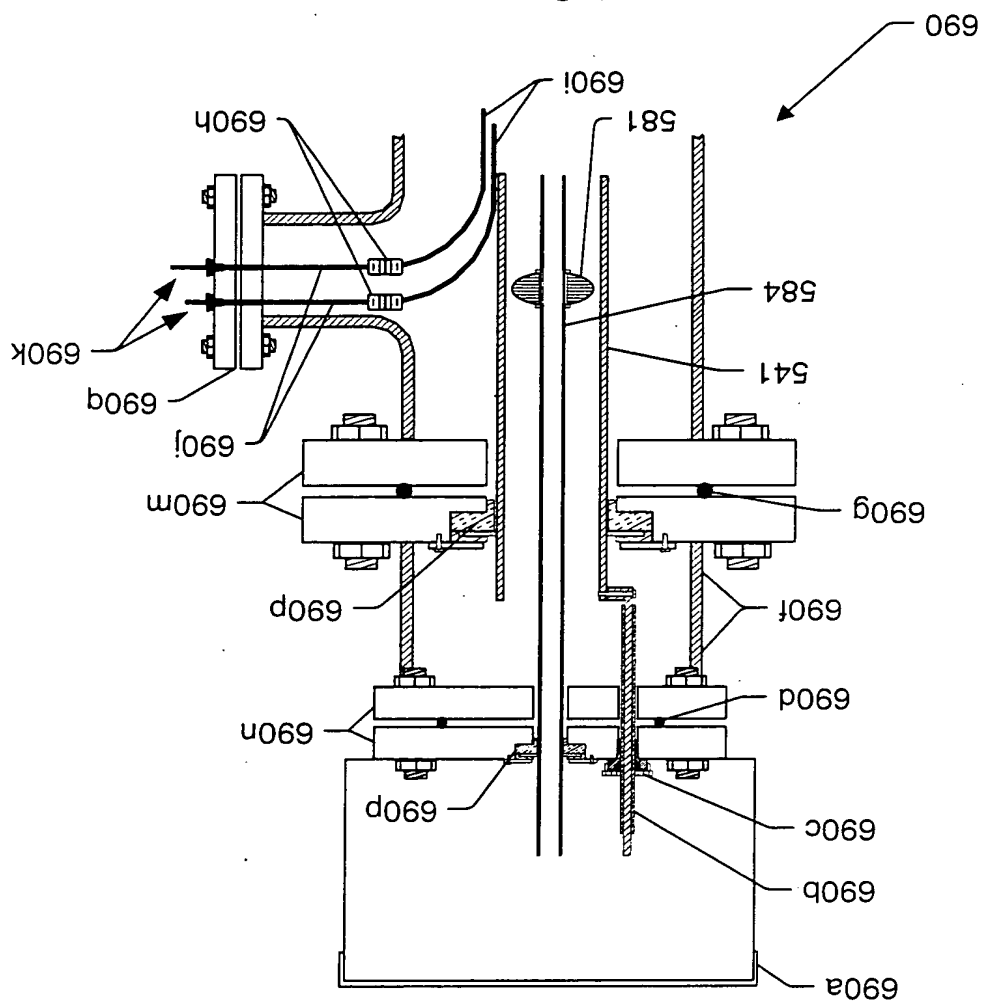


FIG. 23b

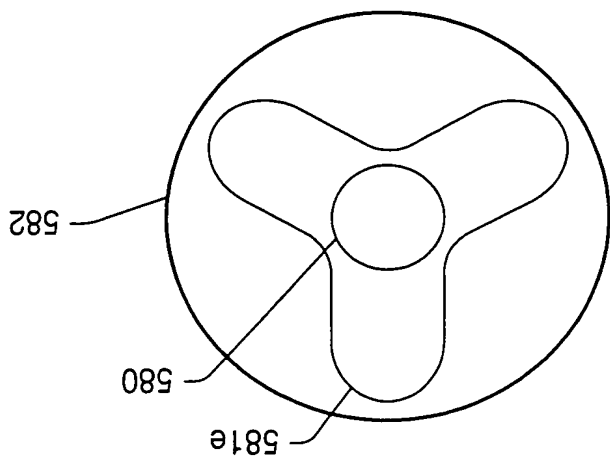
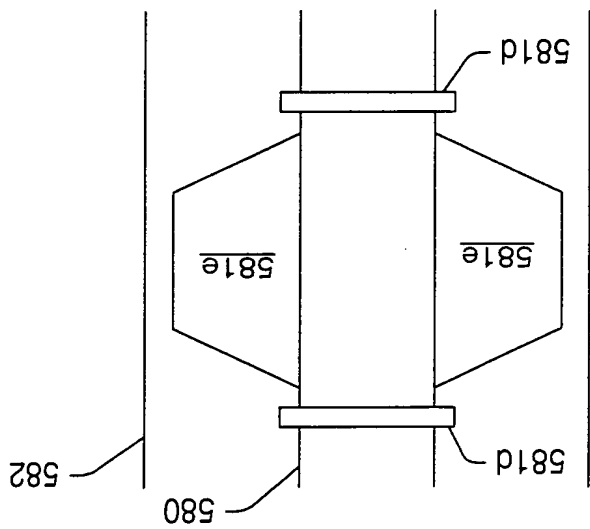


FIG. 23a



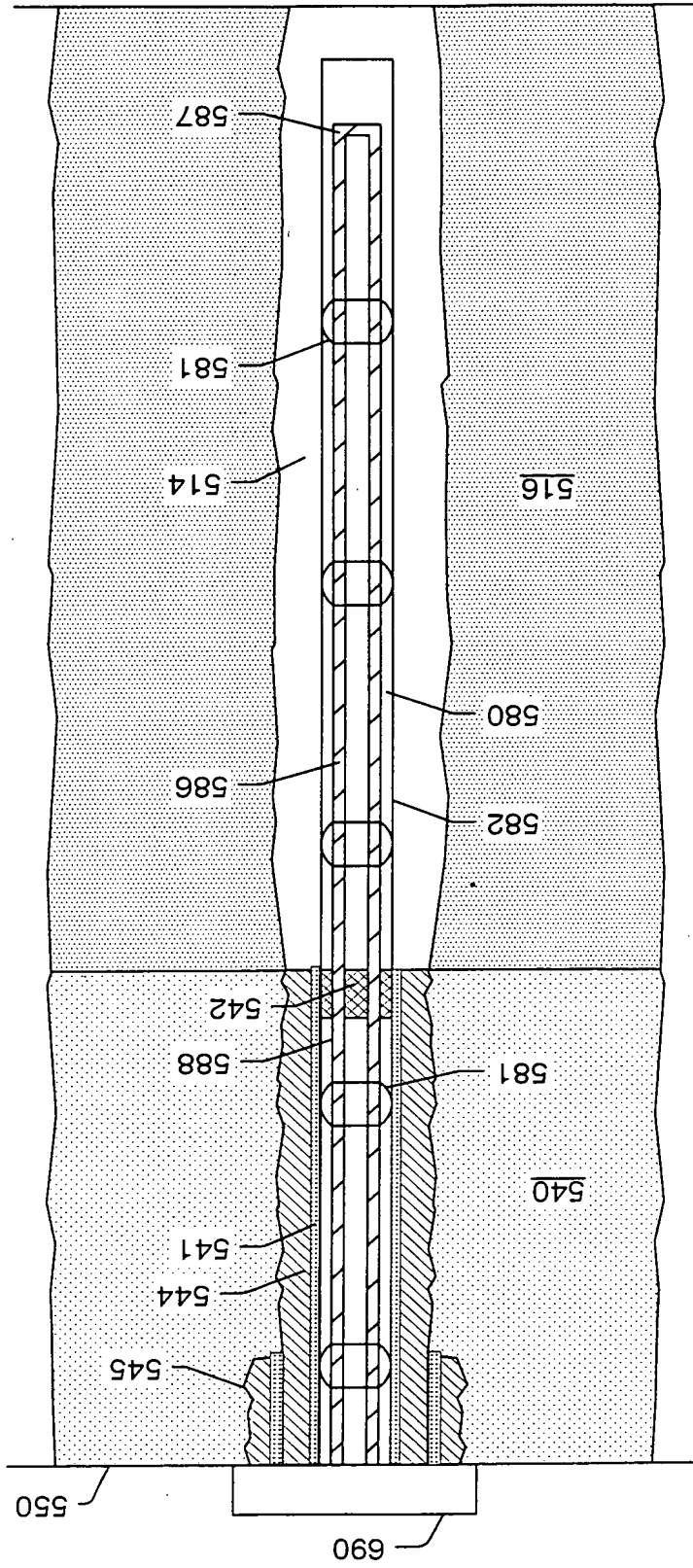
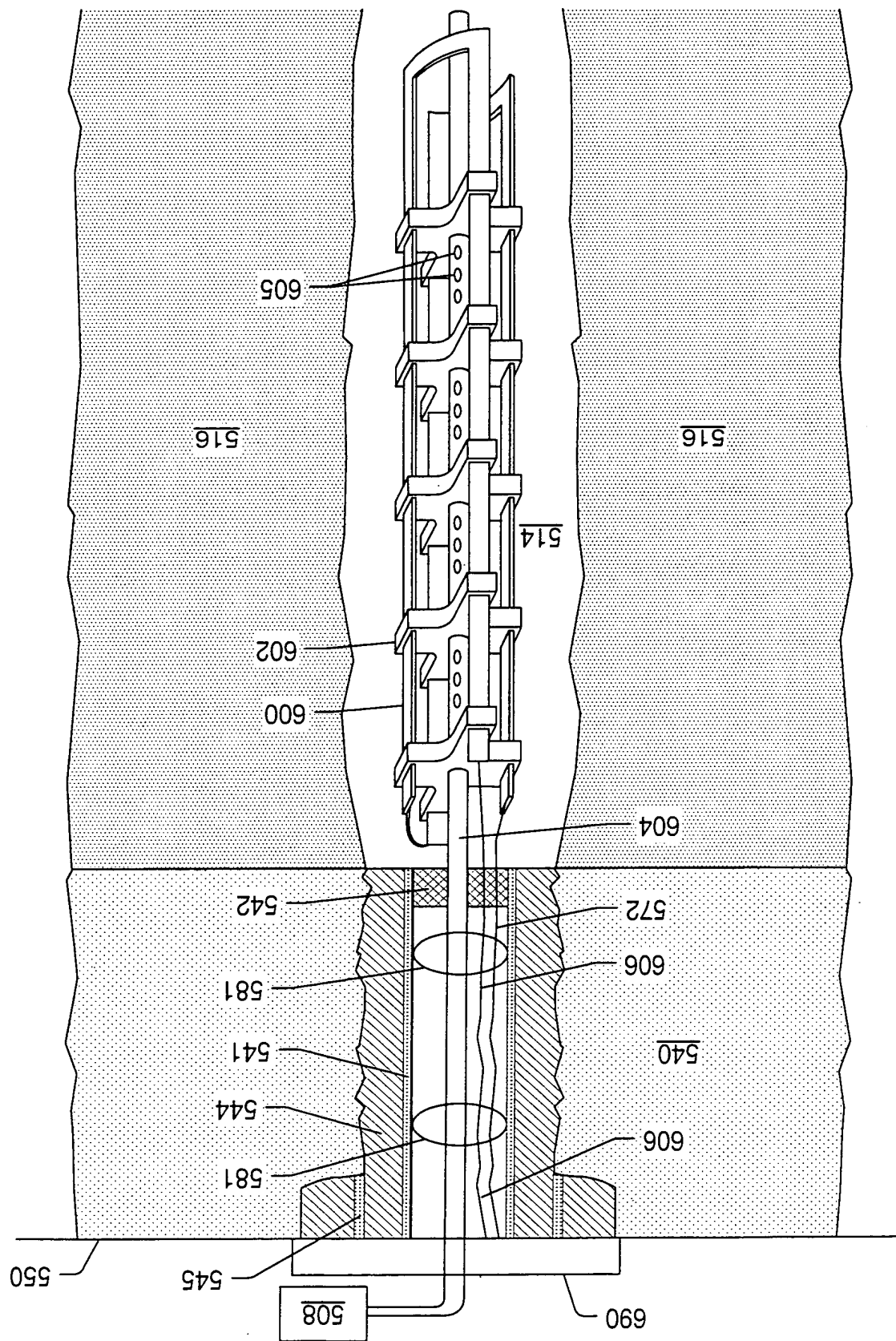


Fig. 24



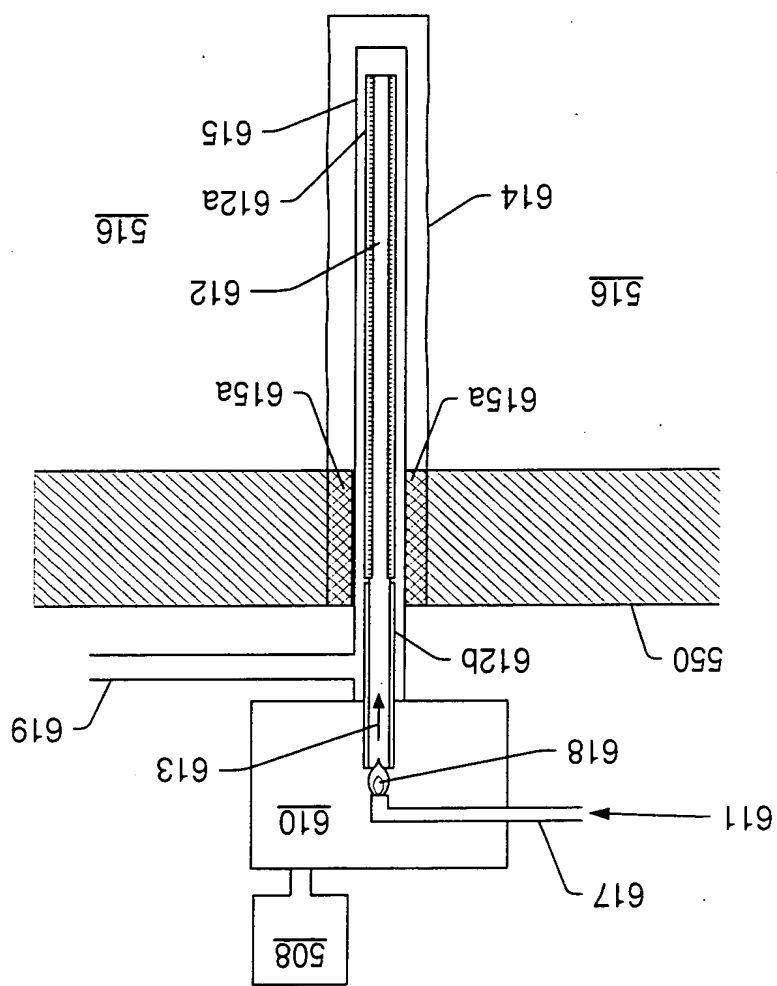


FIG. 26

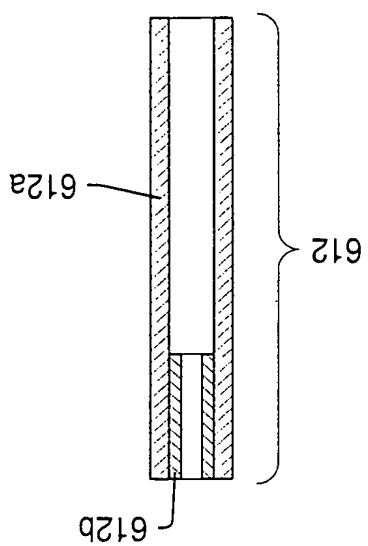
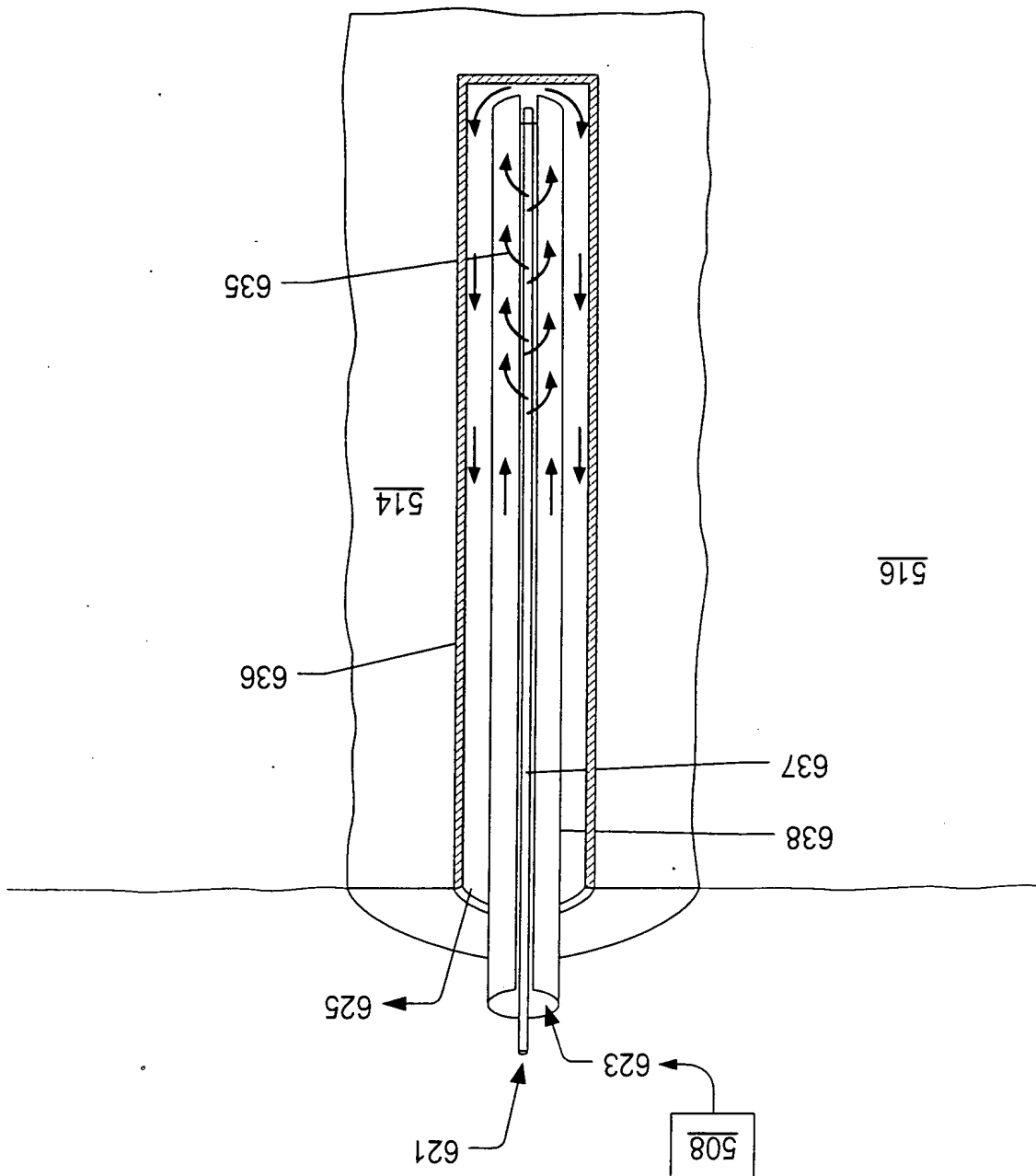


FIG. 27



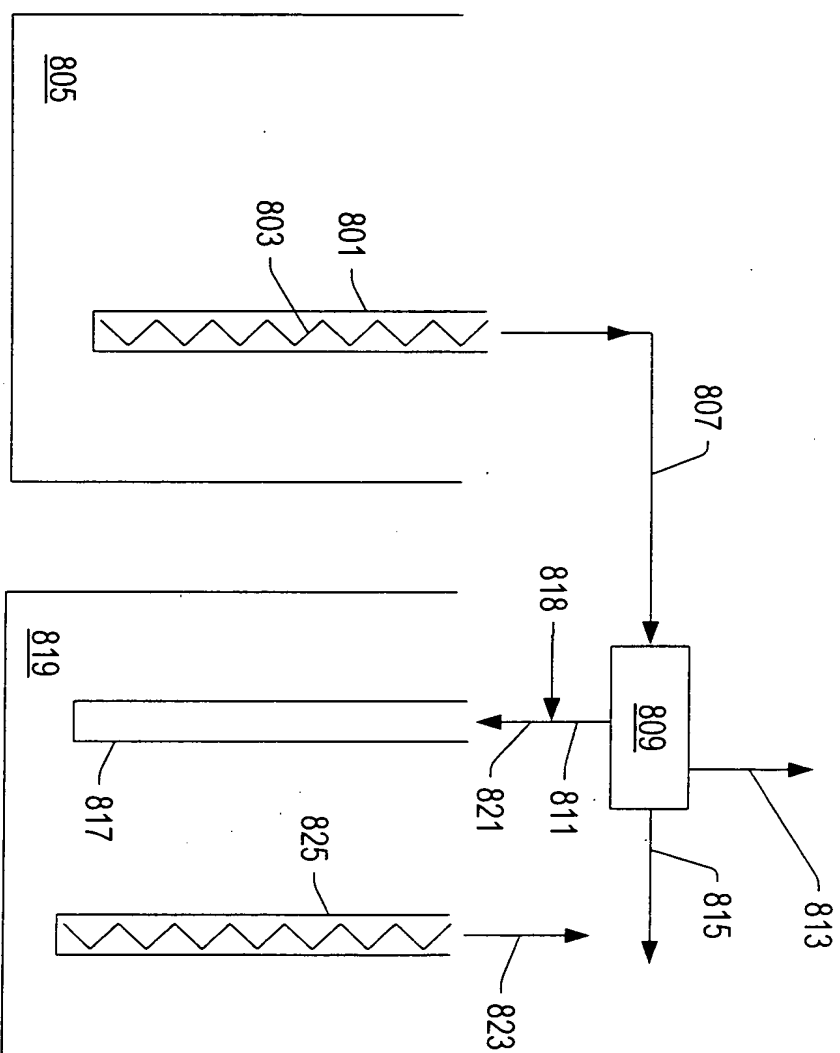


FIG. 29

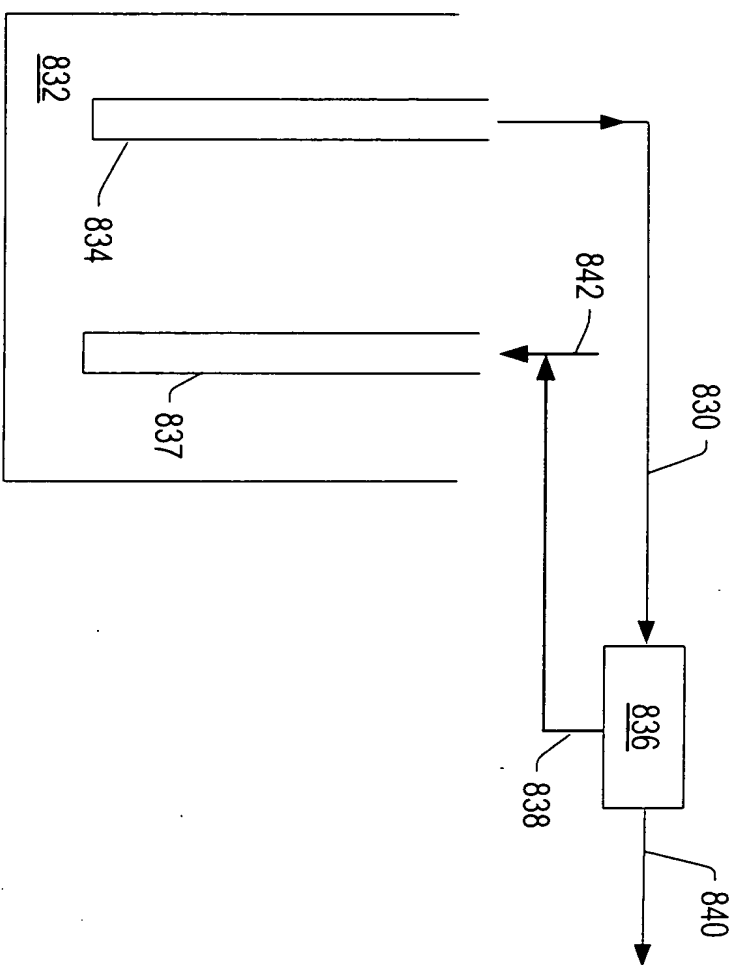


FIG. 30

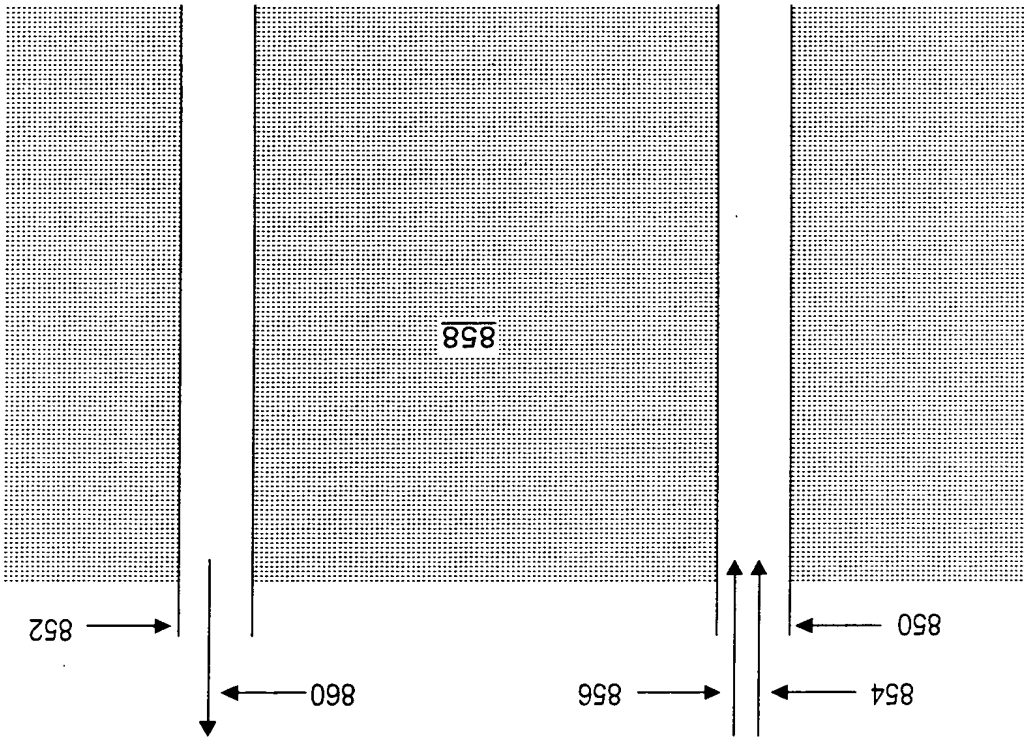


FIG. 31

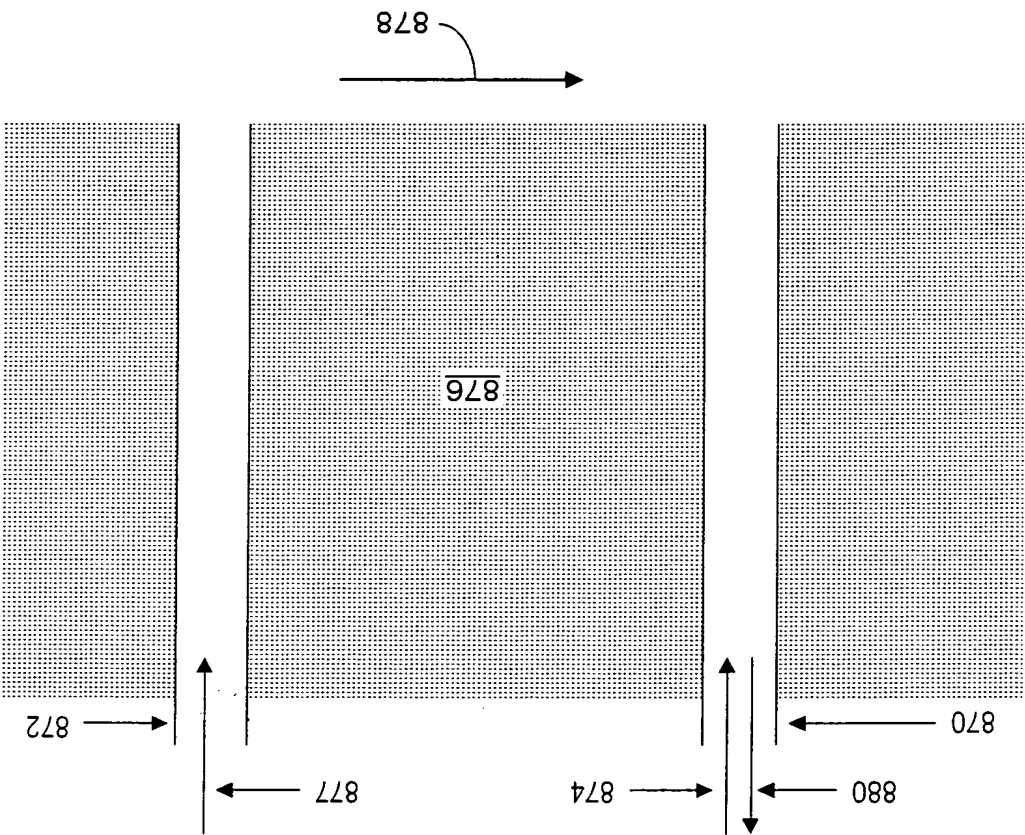
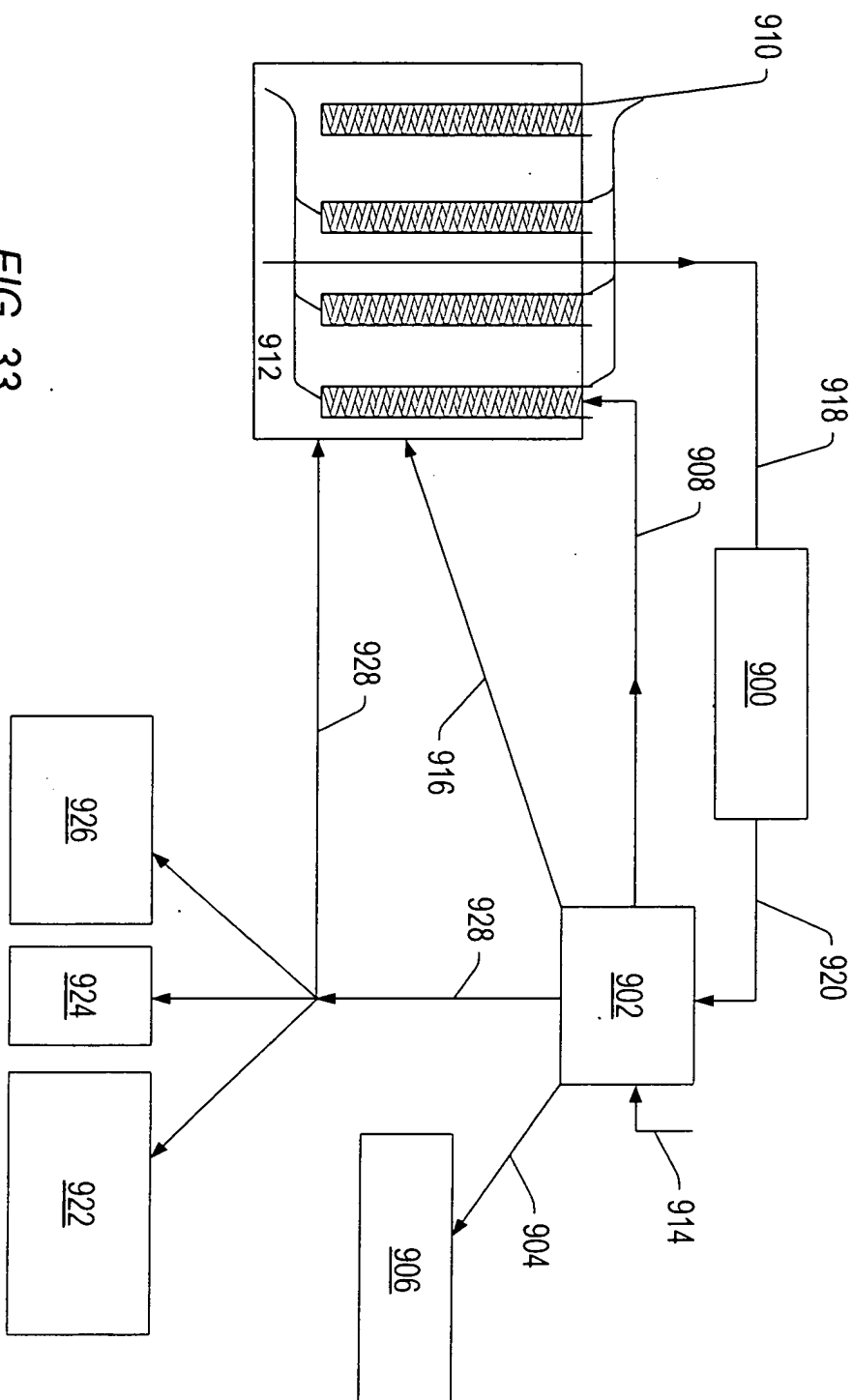


FIG. 32



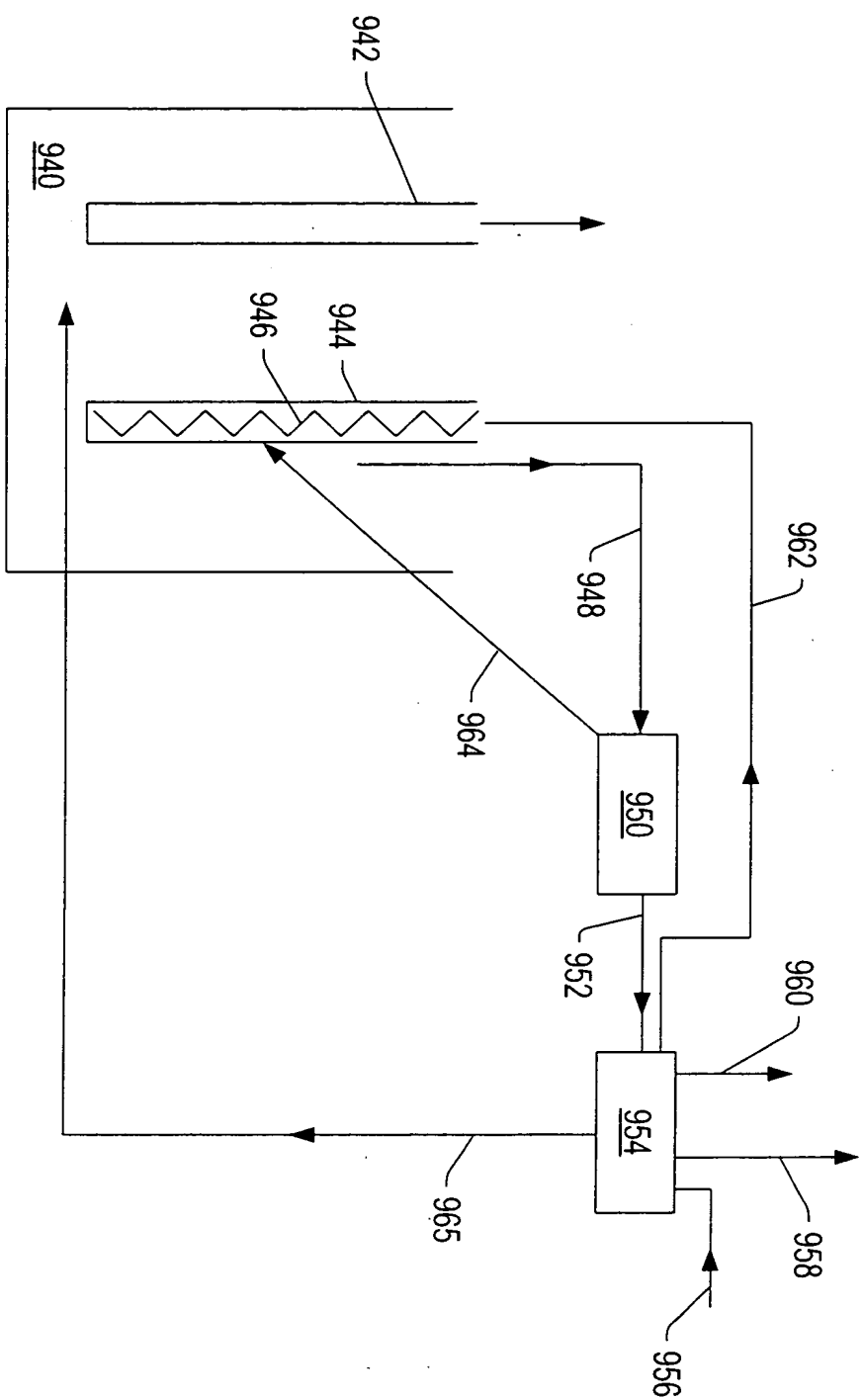


FIG. 34

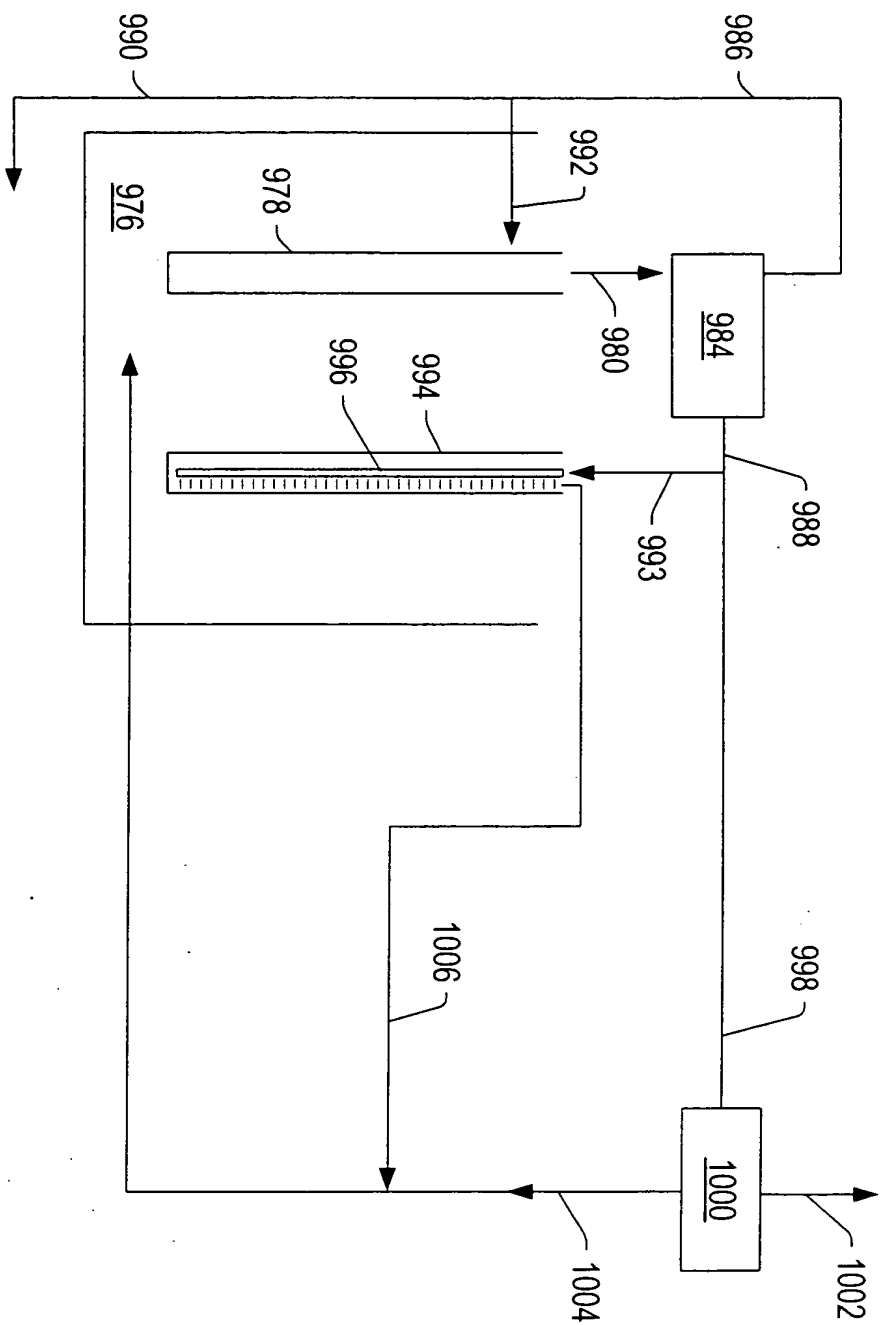


FIG. 35

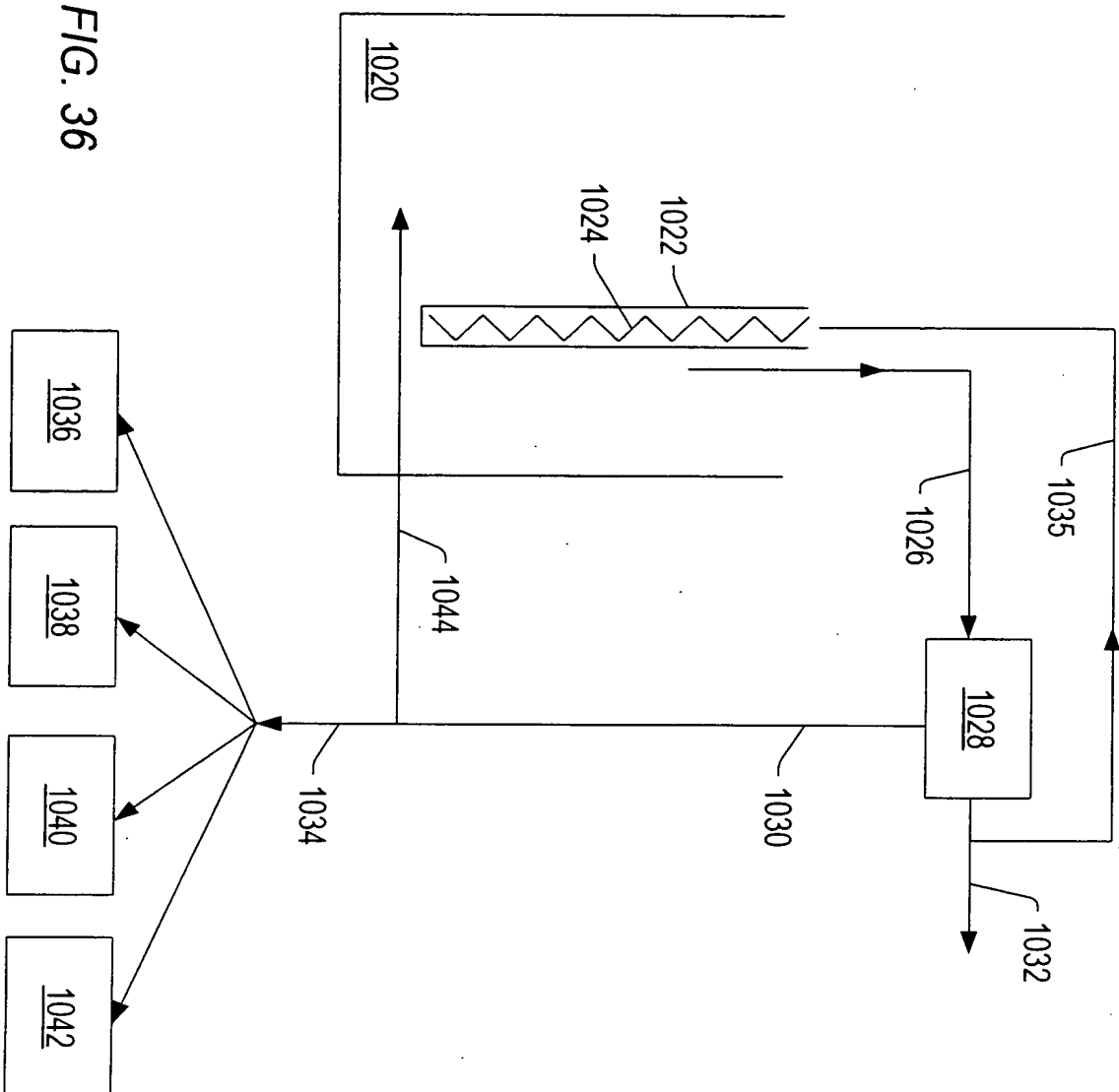


FIG. 36

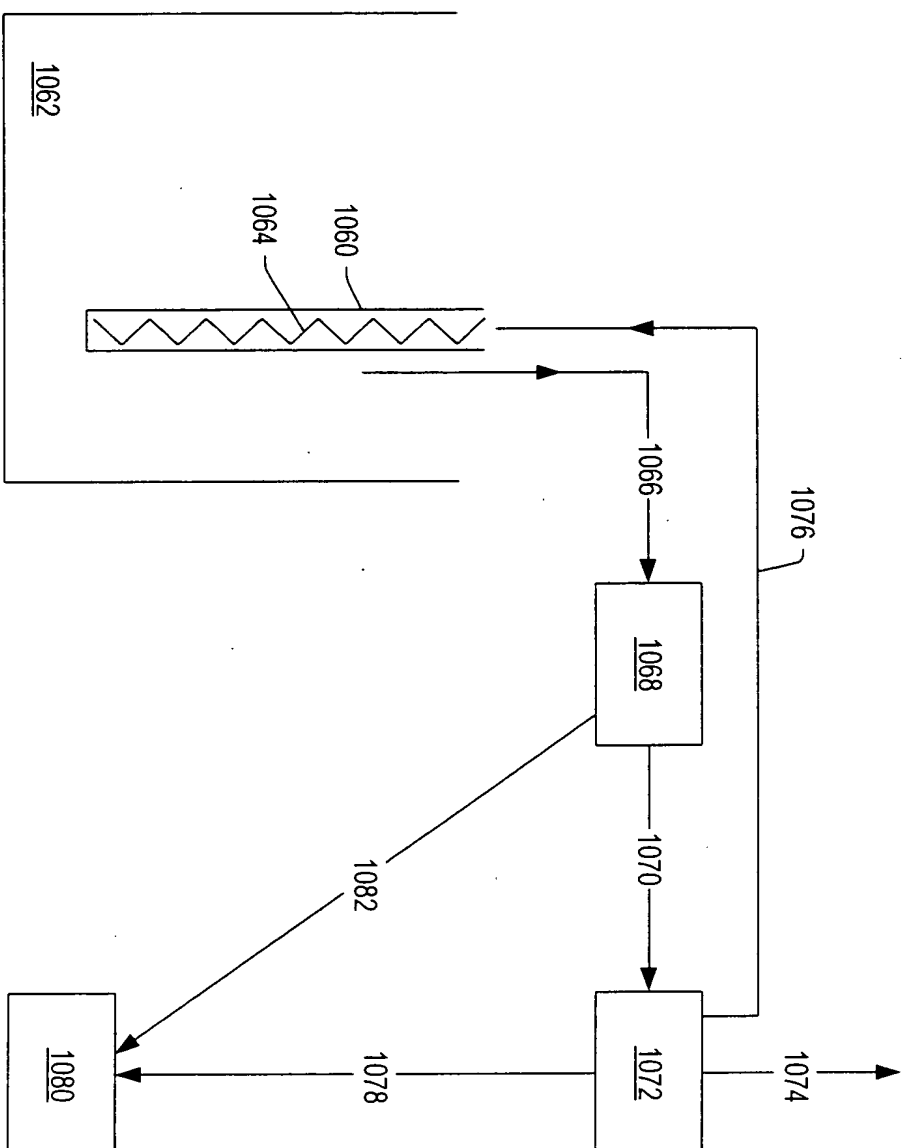


FIG. 37

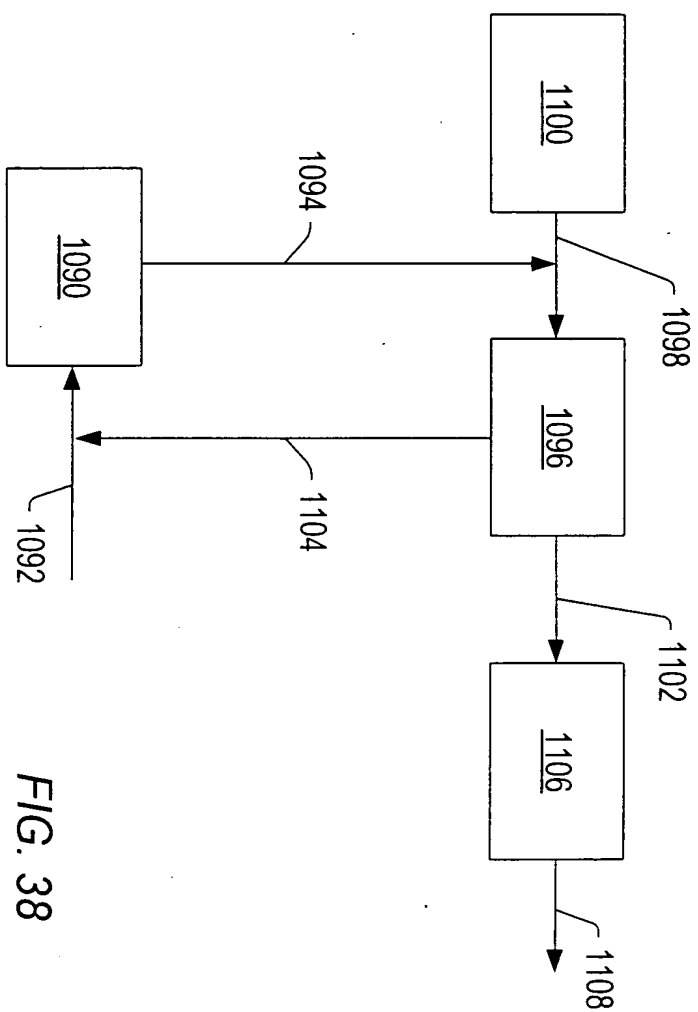


FIG. 38

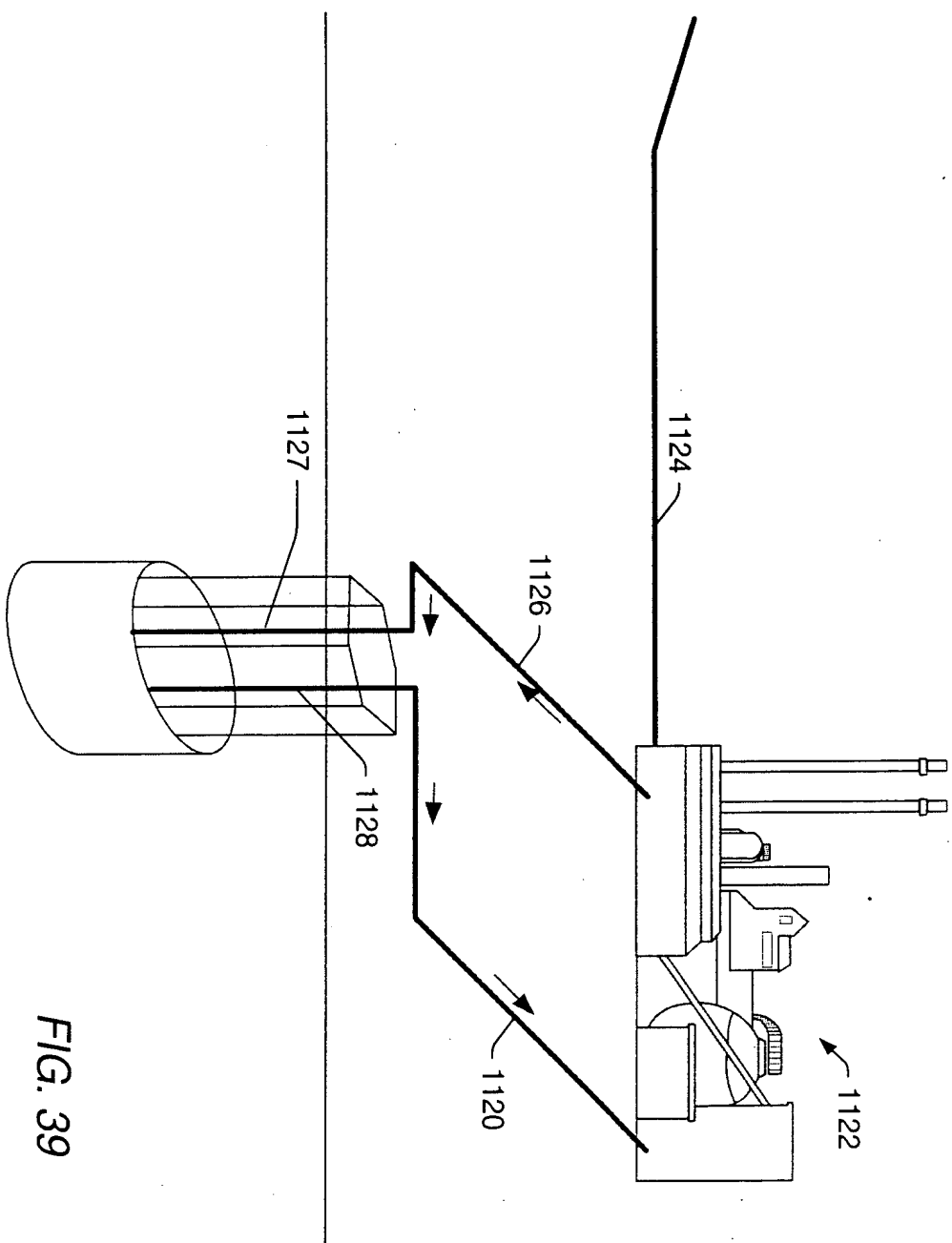


FIG. 39

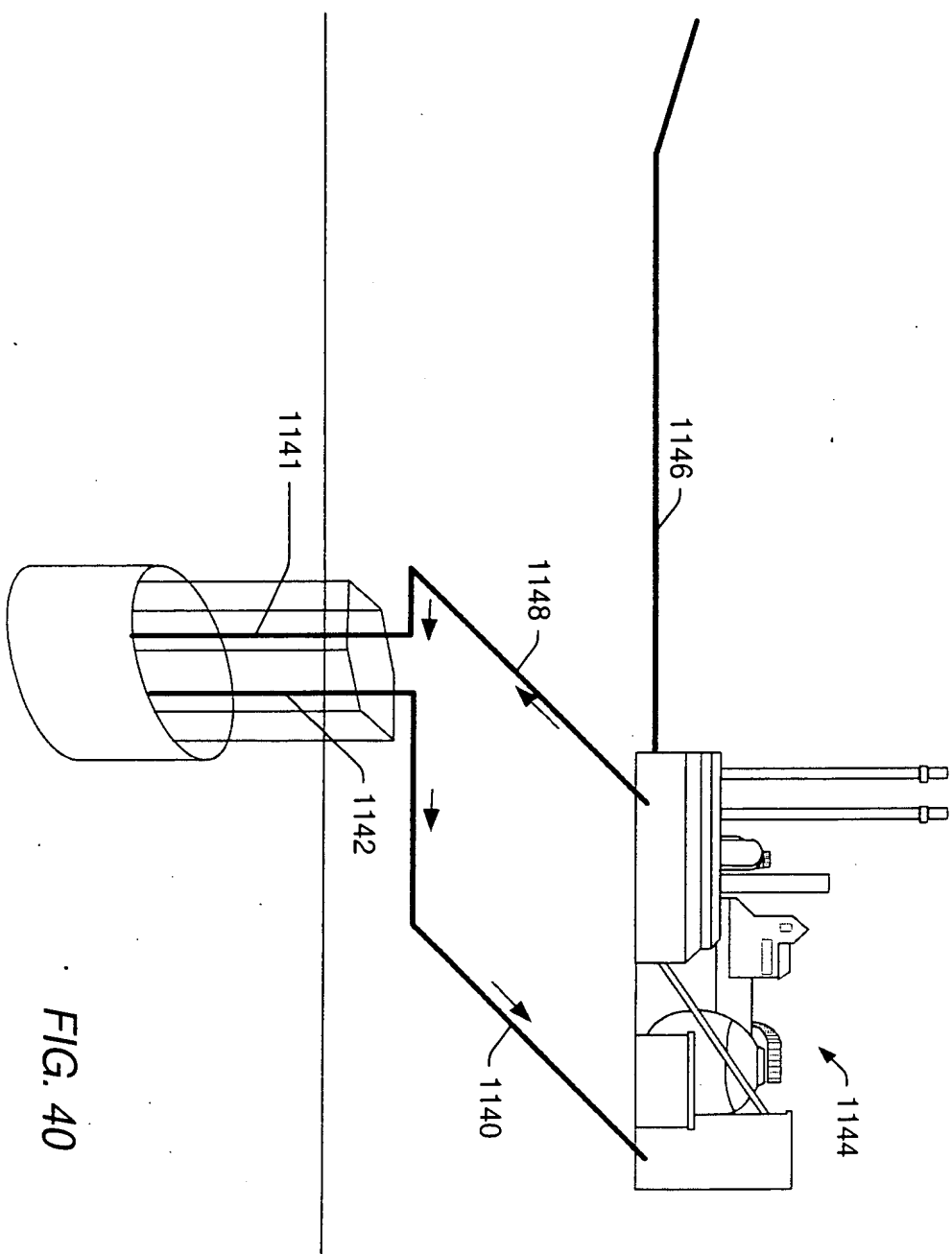


FIG. 40

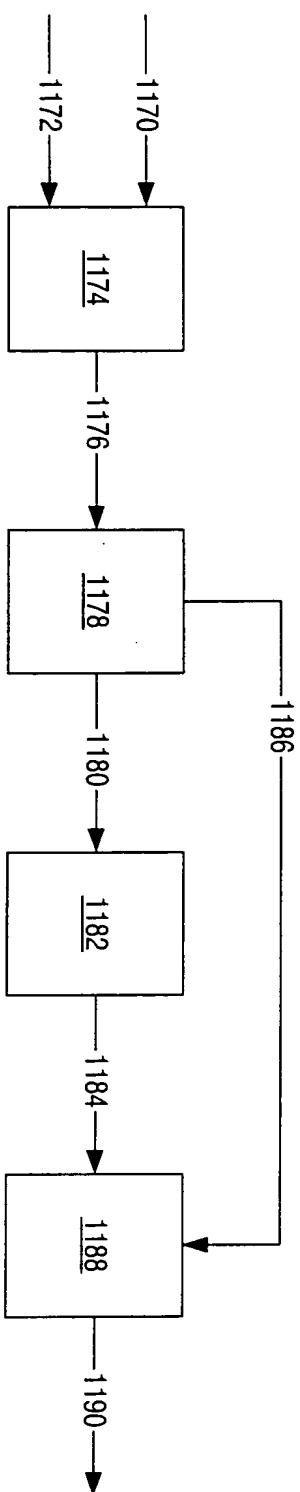


FIG. 41

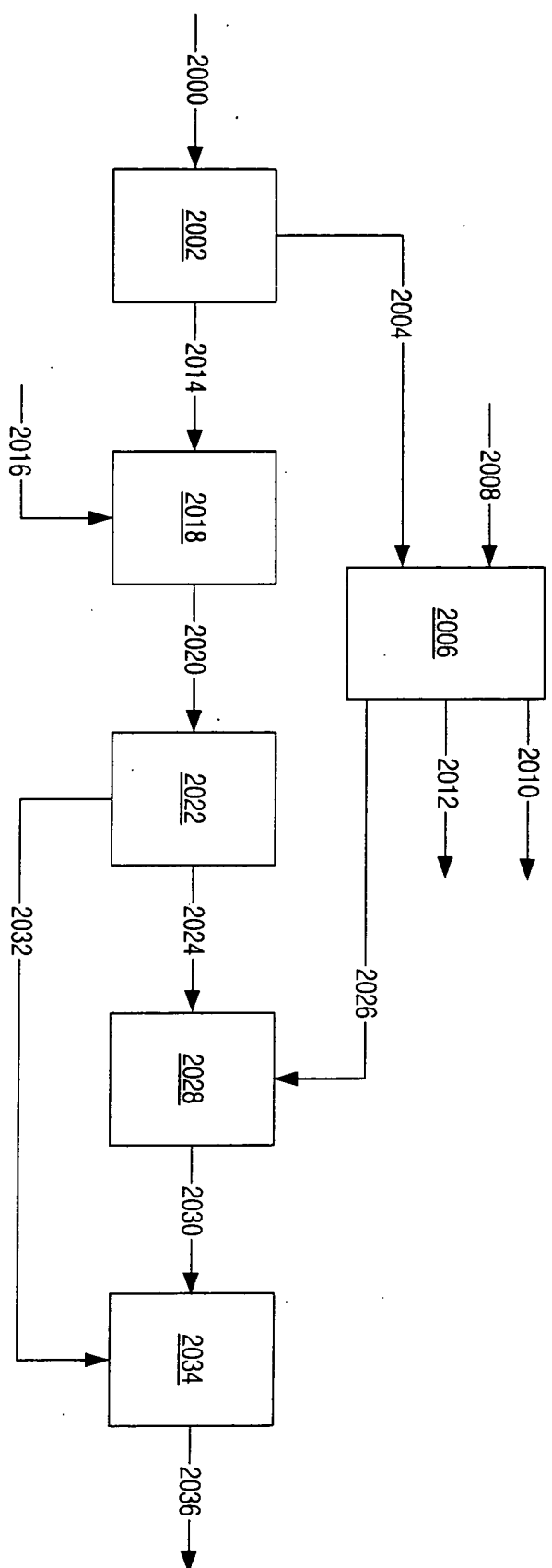


FIG. 42

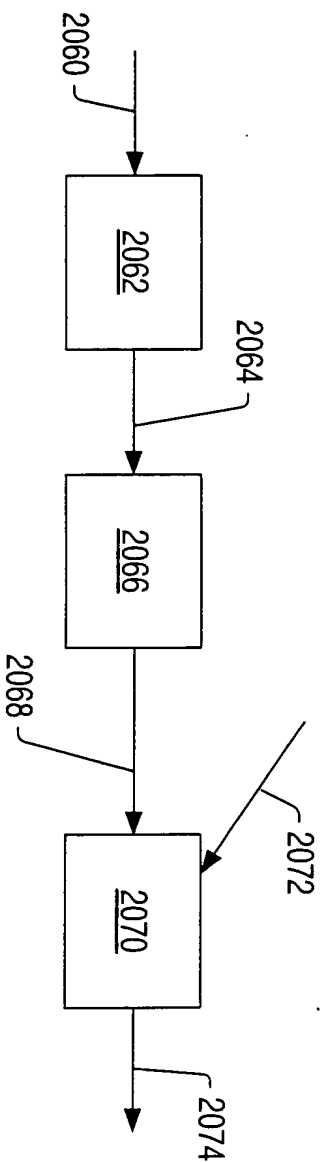
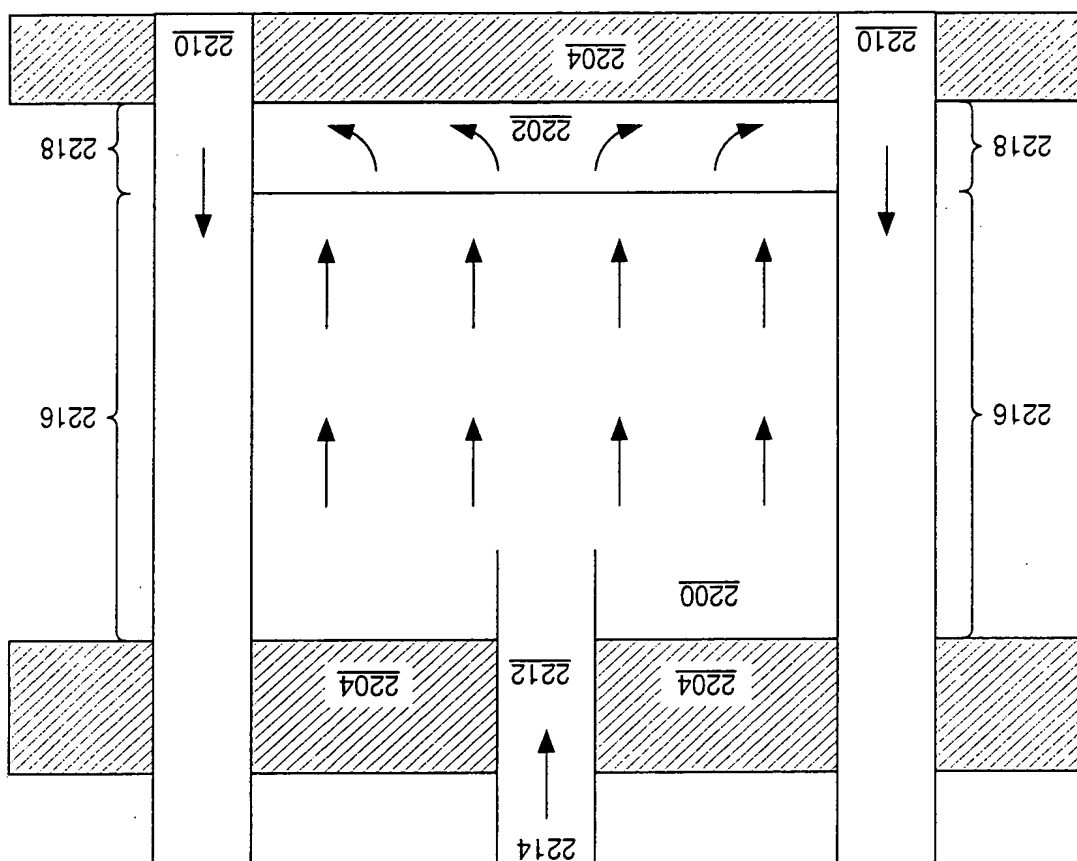


FIG. 43



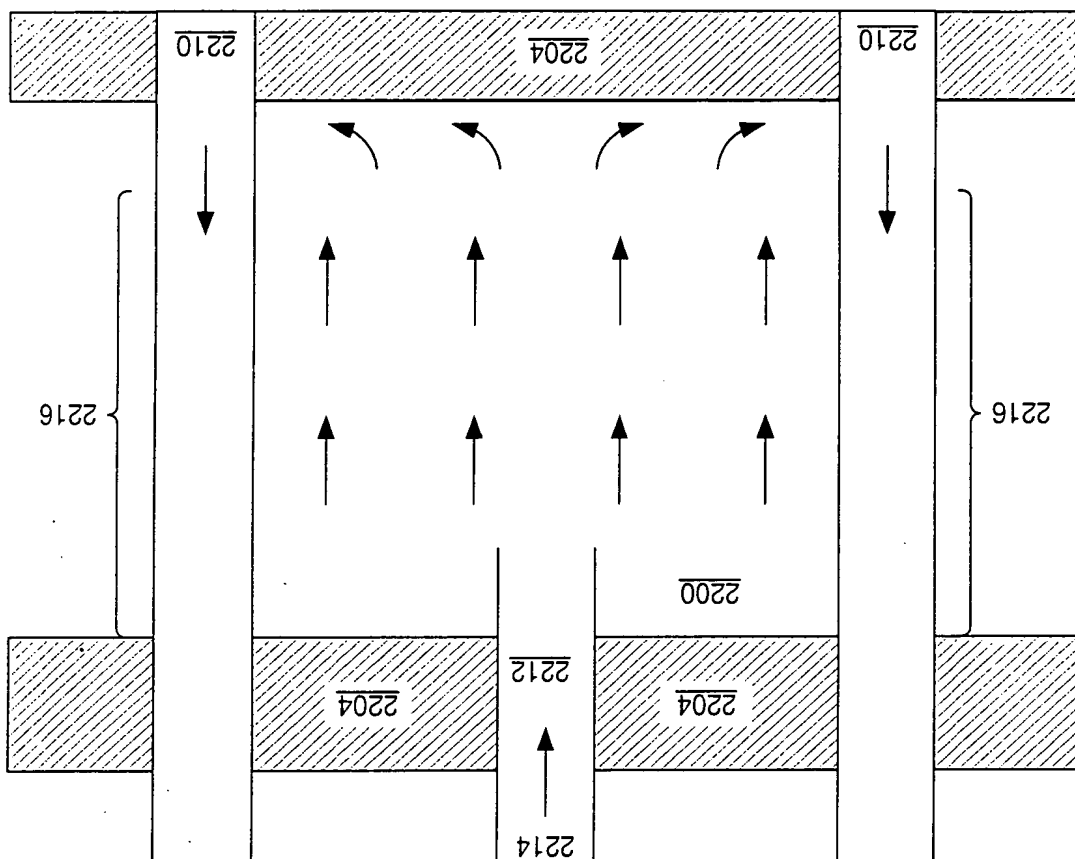


FIG. 45

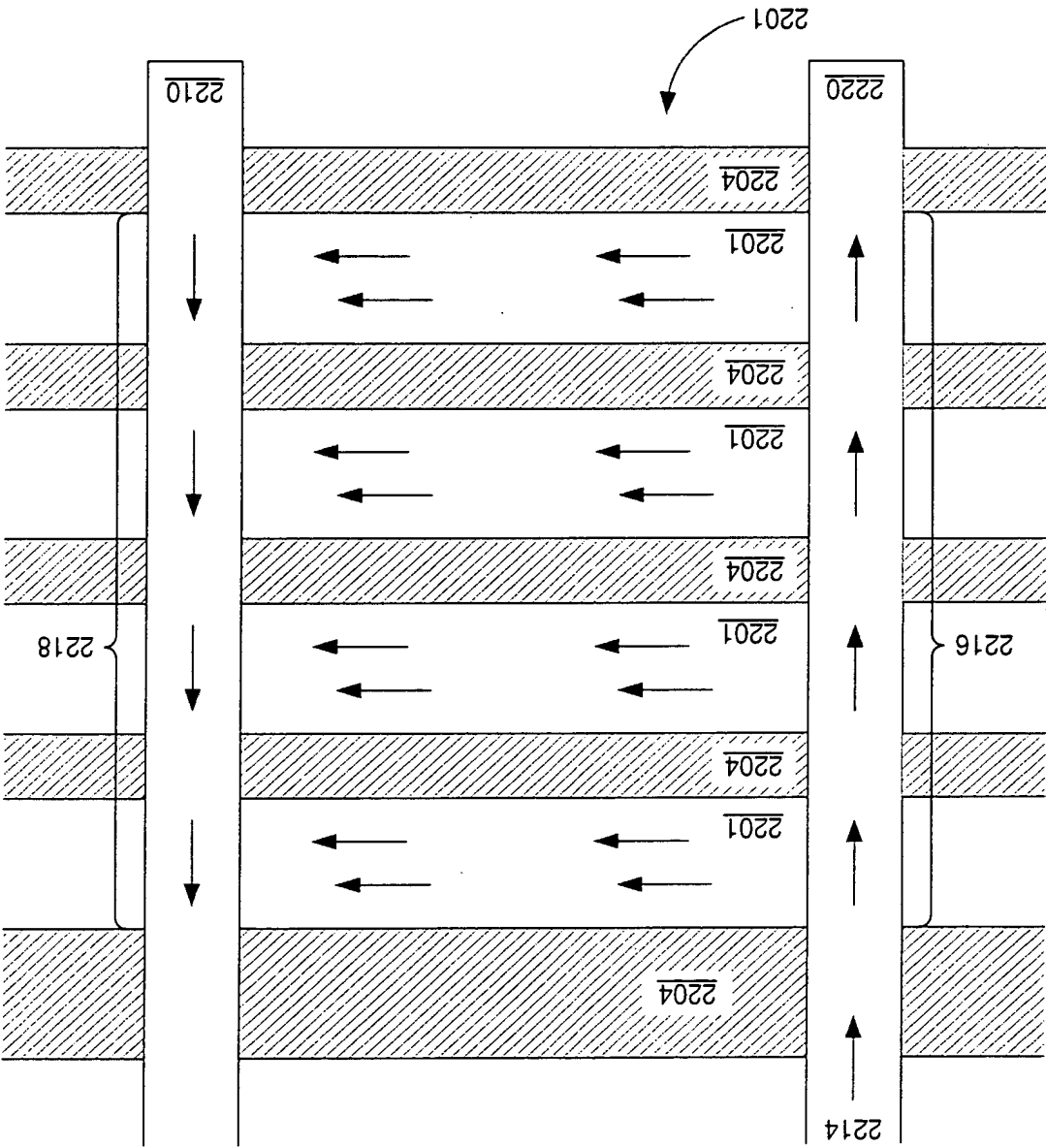


FIG. 46

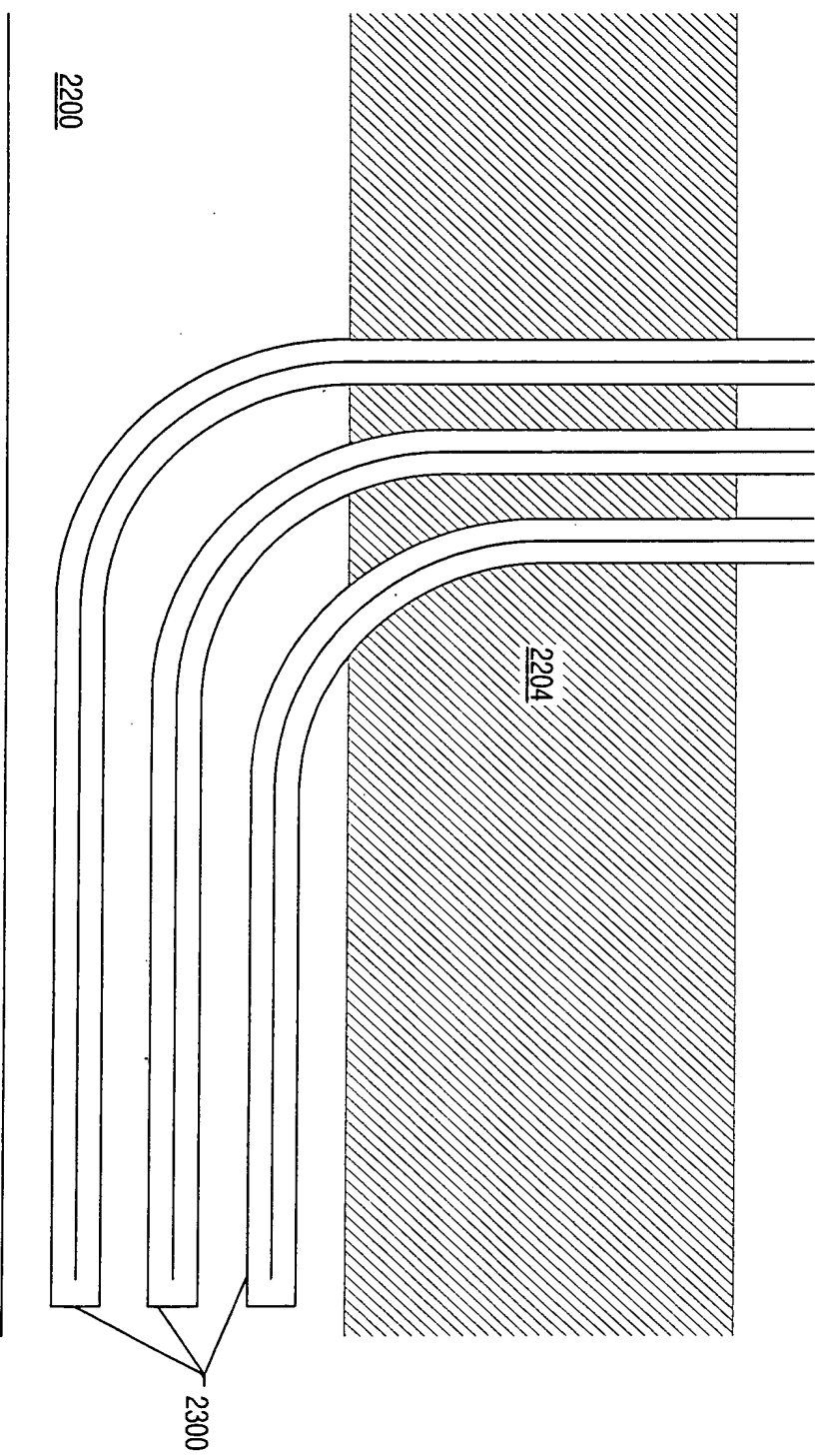


FIG. 47

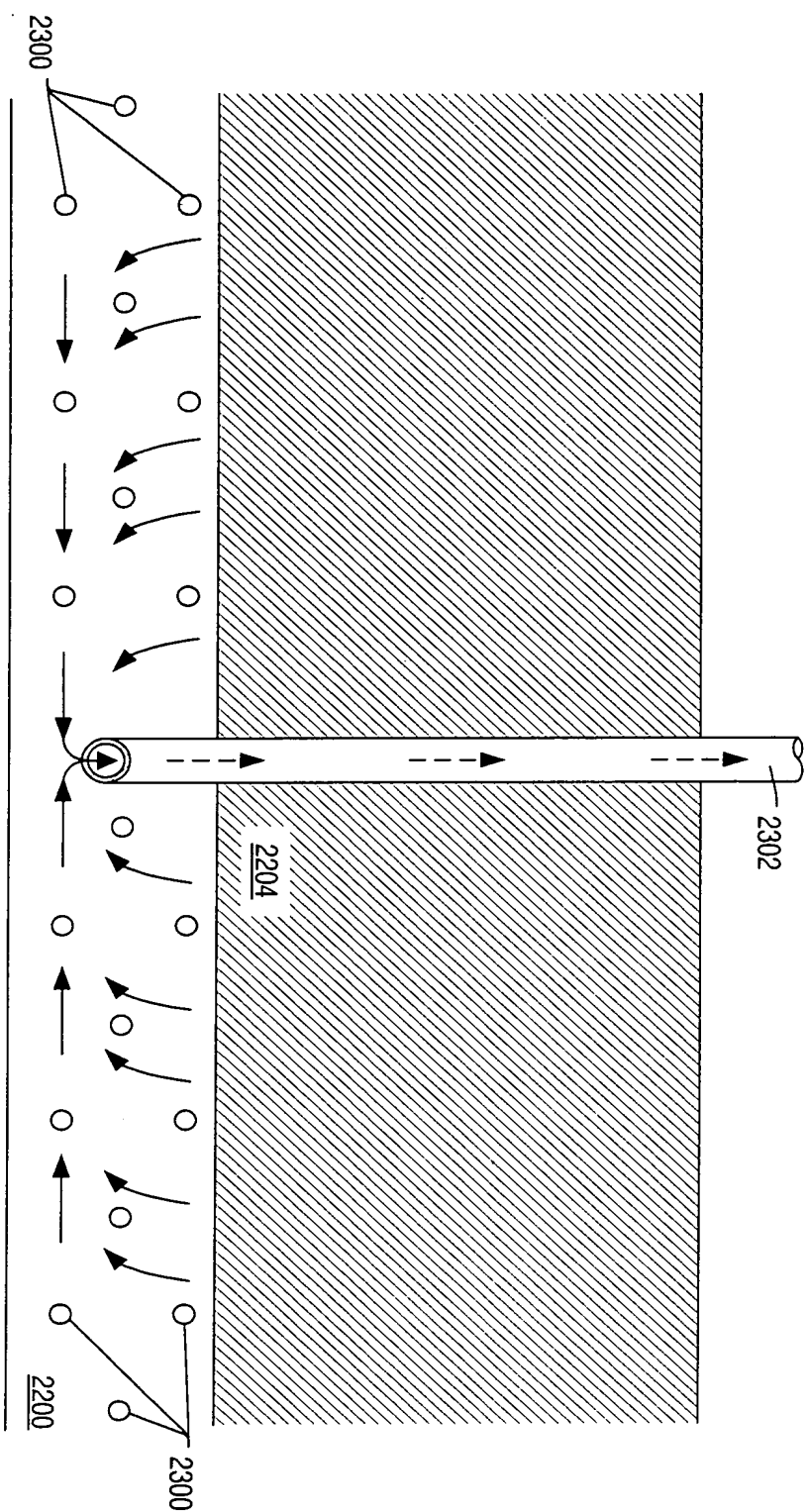
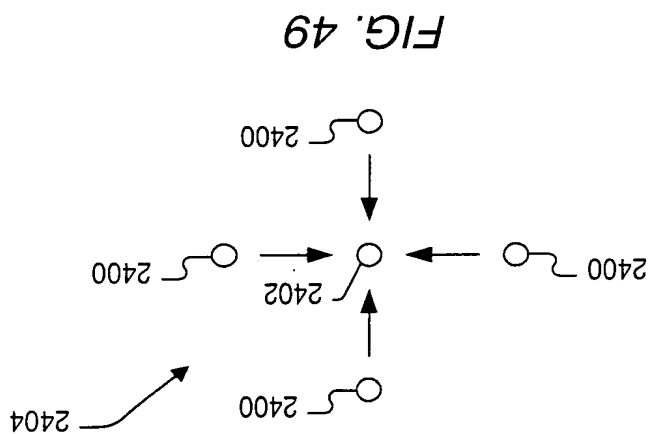
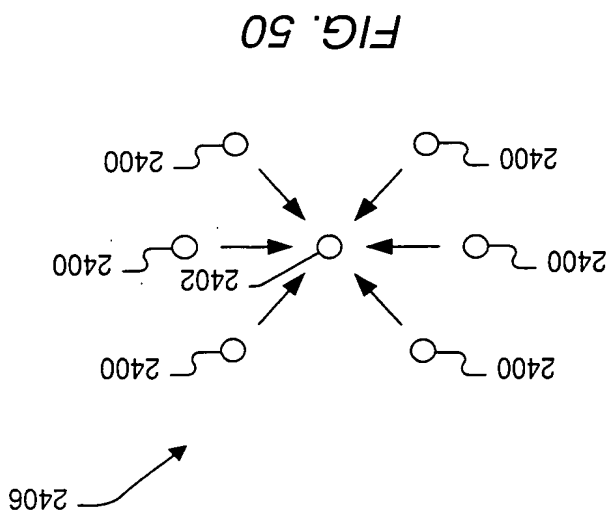


FIG. 48



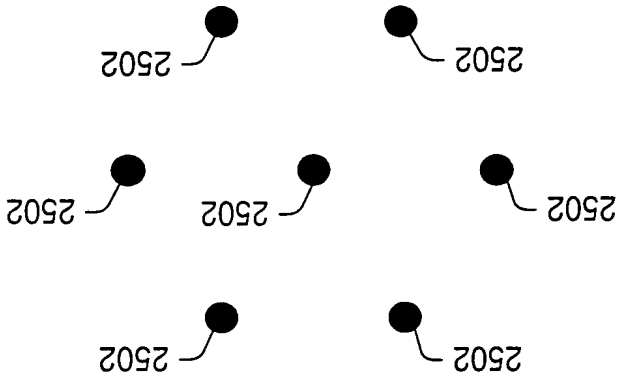
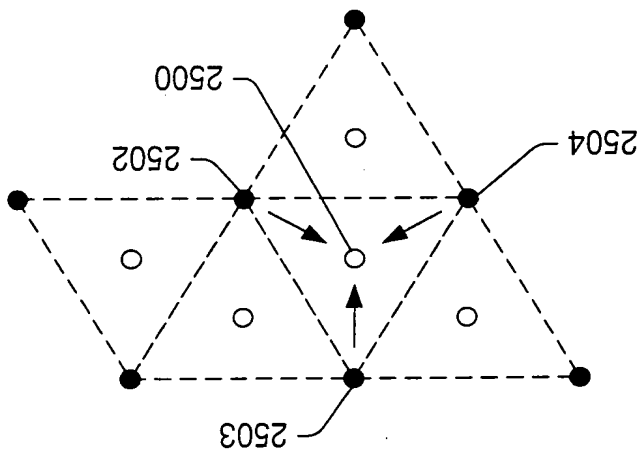


FIG. 51



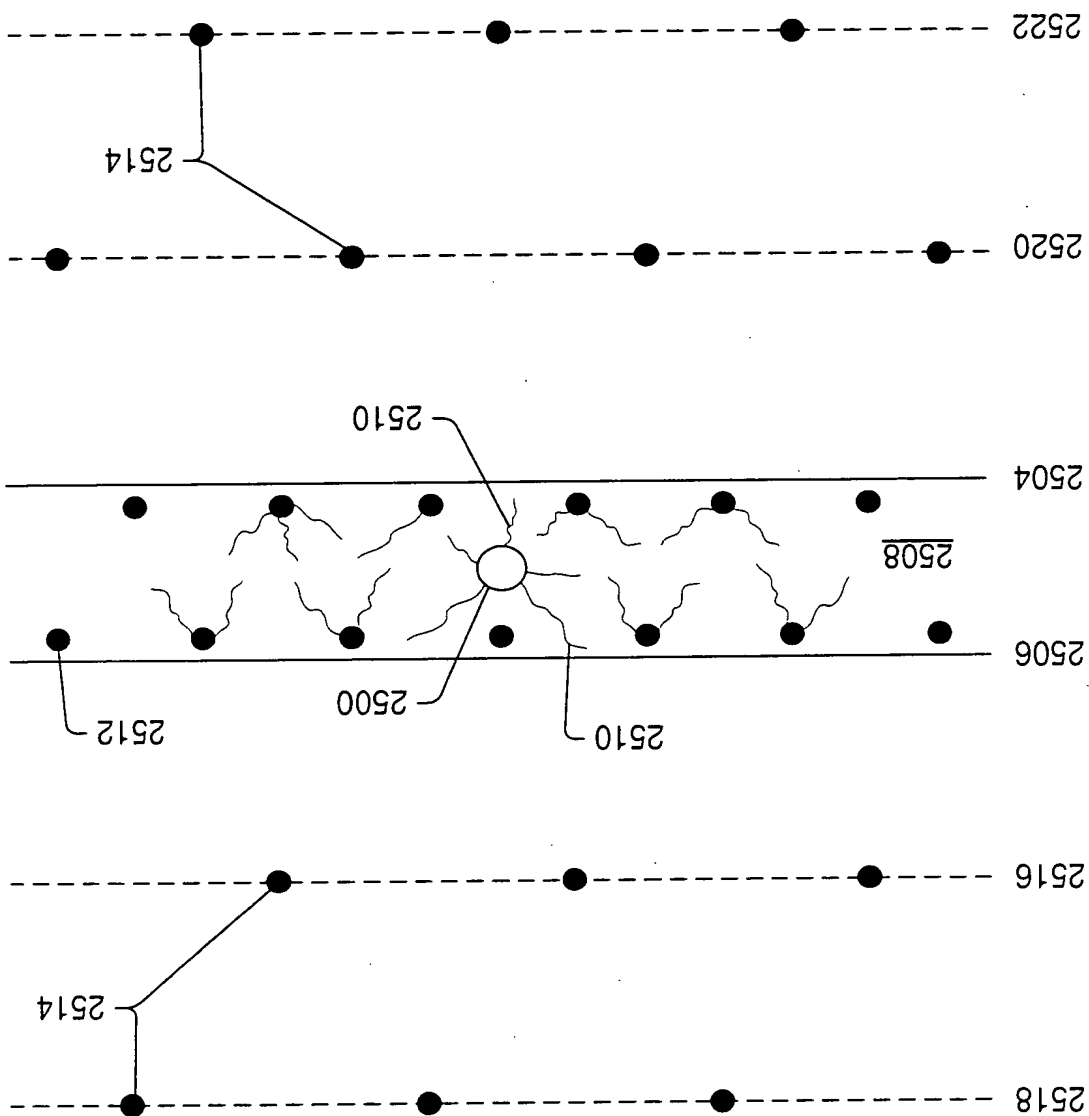


FIG. 53

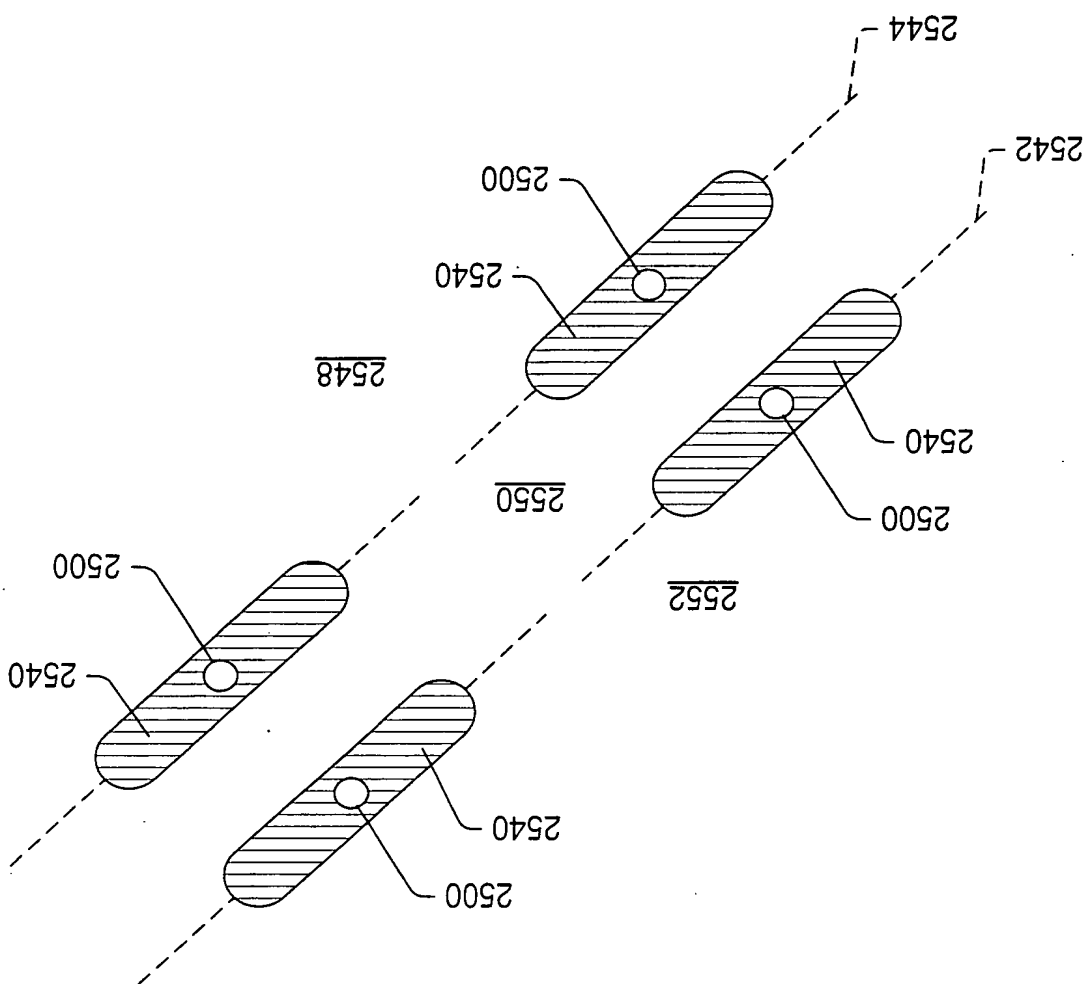
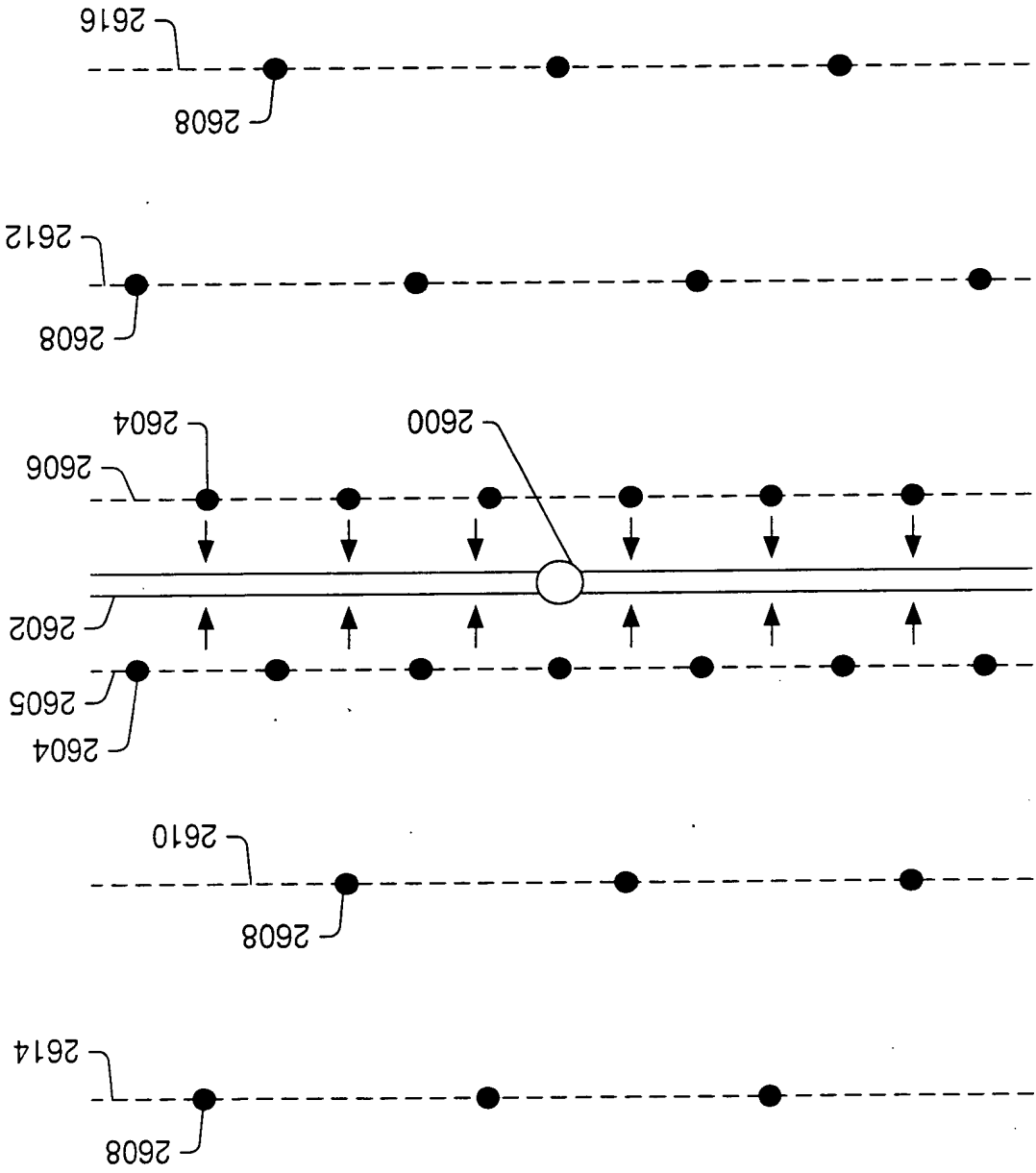


FIG. 54



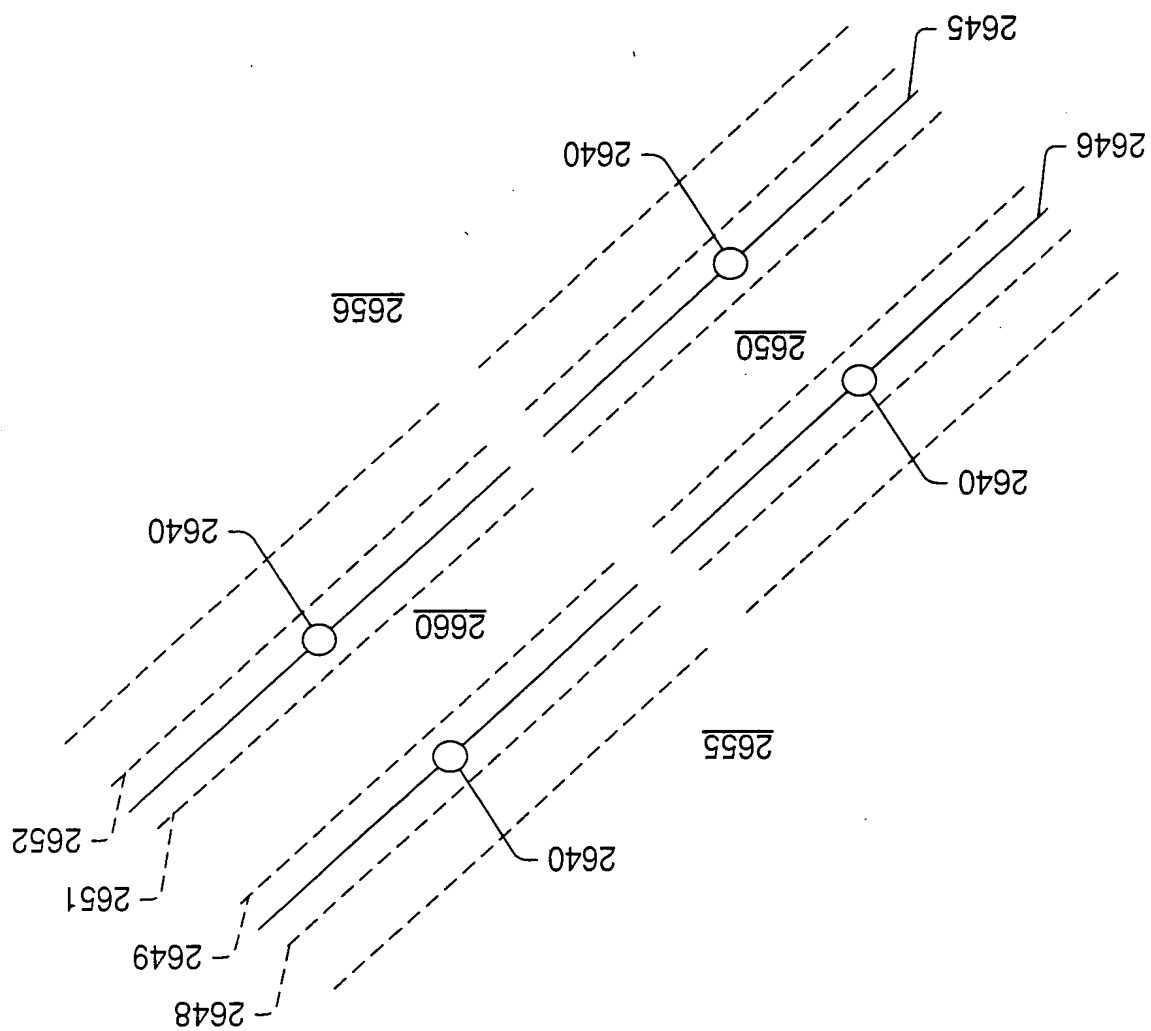


FIG. 56

FIG. 57

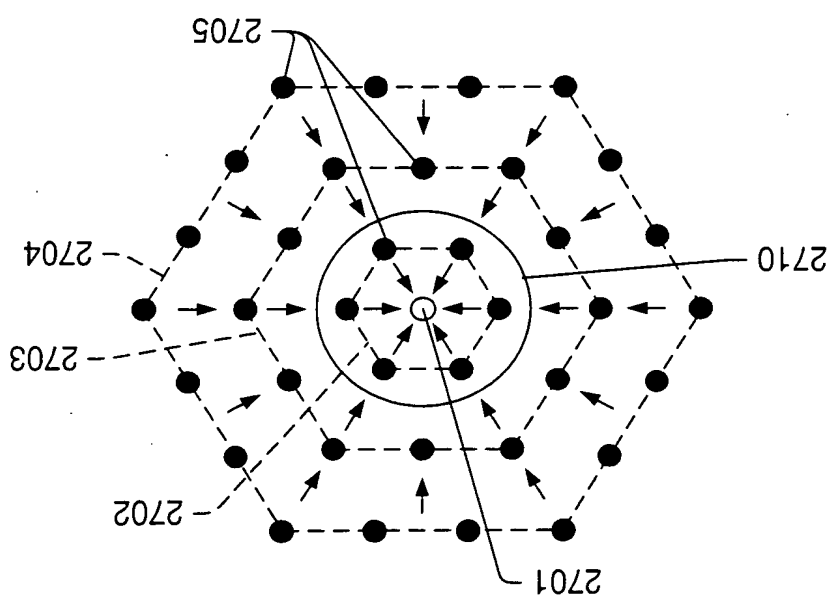


FIG. 59

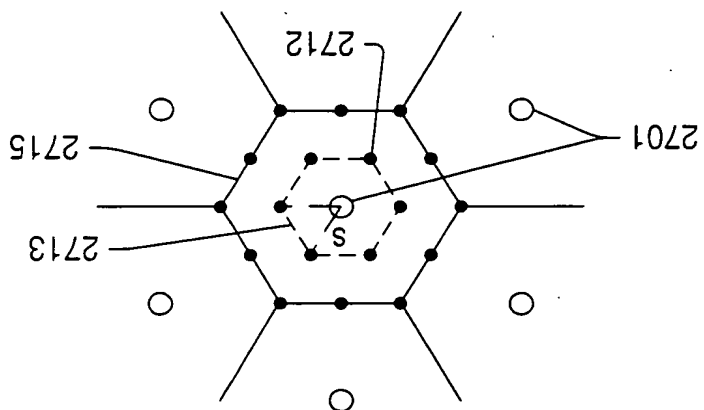


FIG. 58

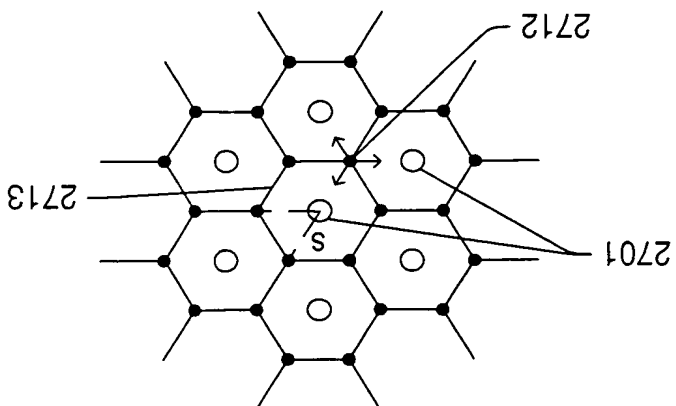


FIG. 61

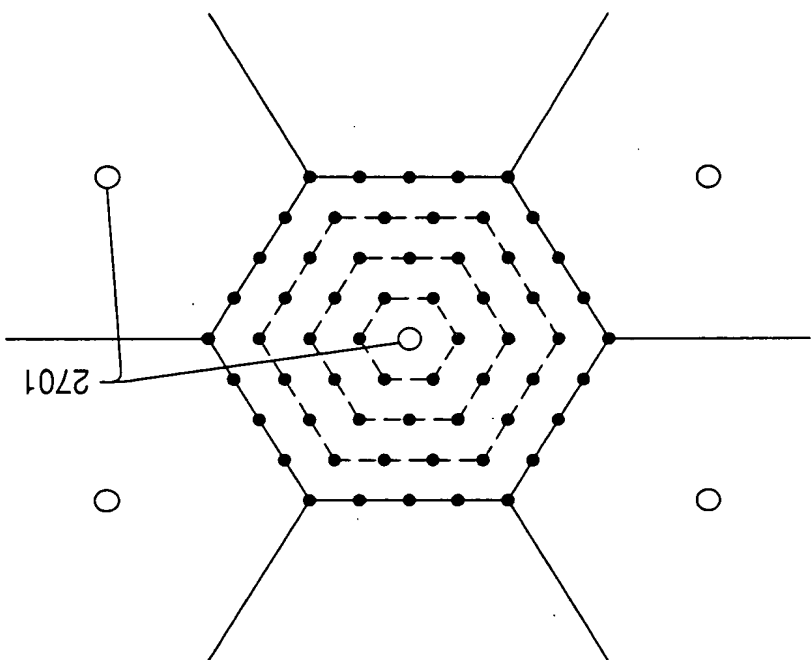


FIG. 60

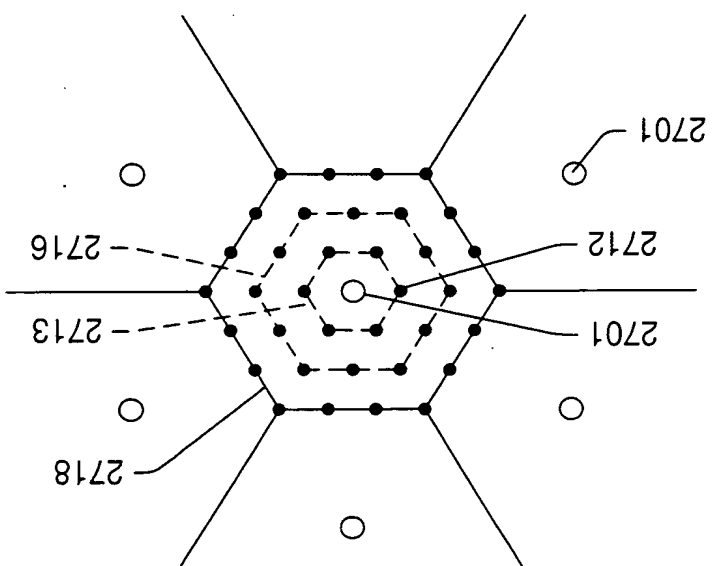


FIG. 63

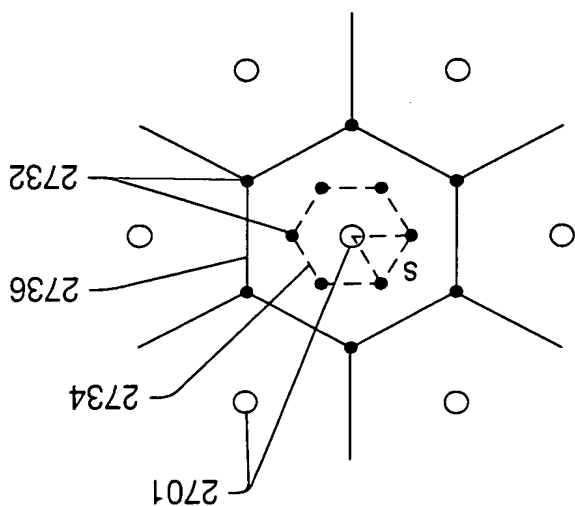


FIG. 62

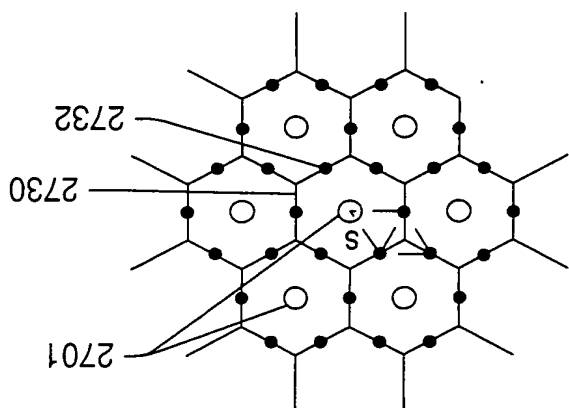


FIG. 65

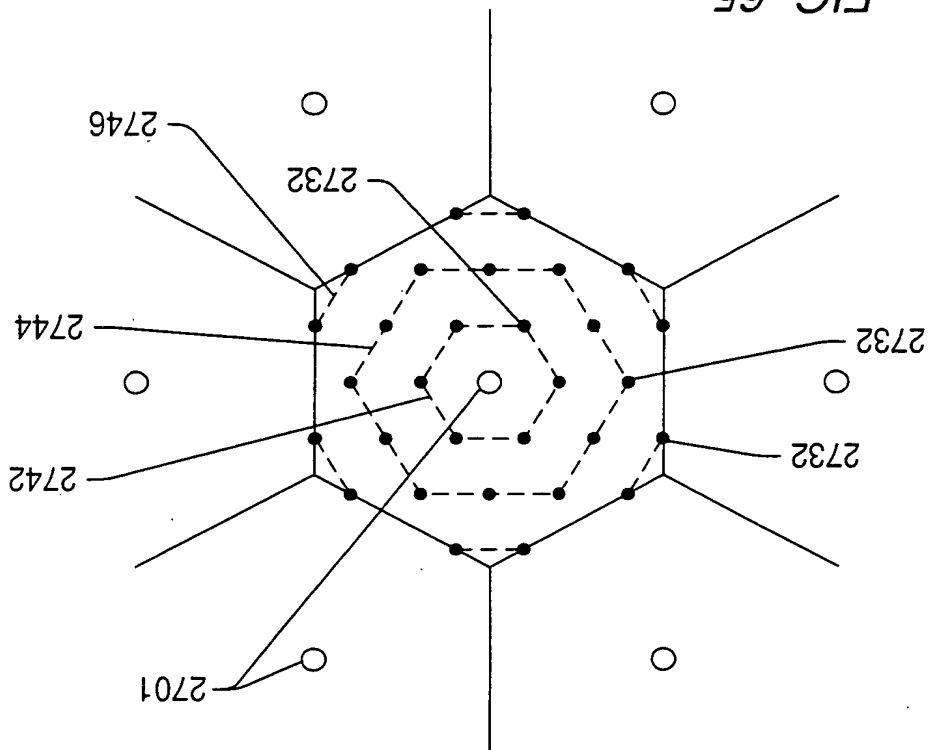


FIG. 64

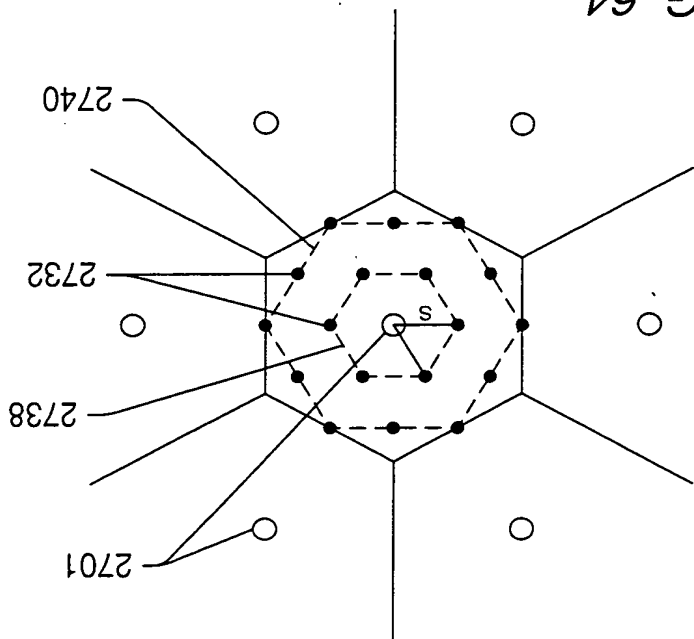


FIG. 66

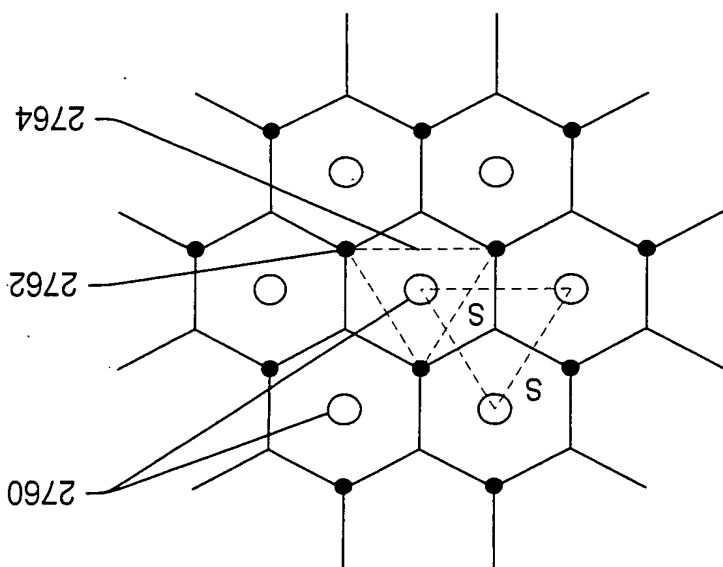
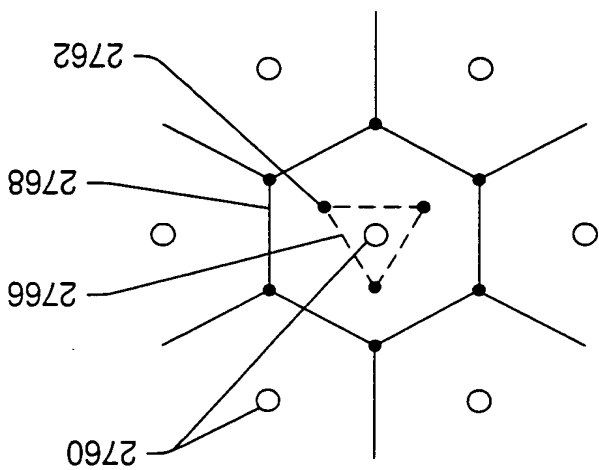
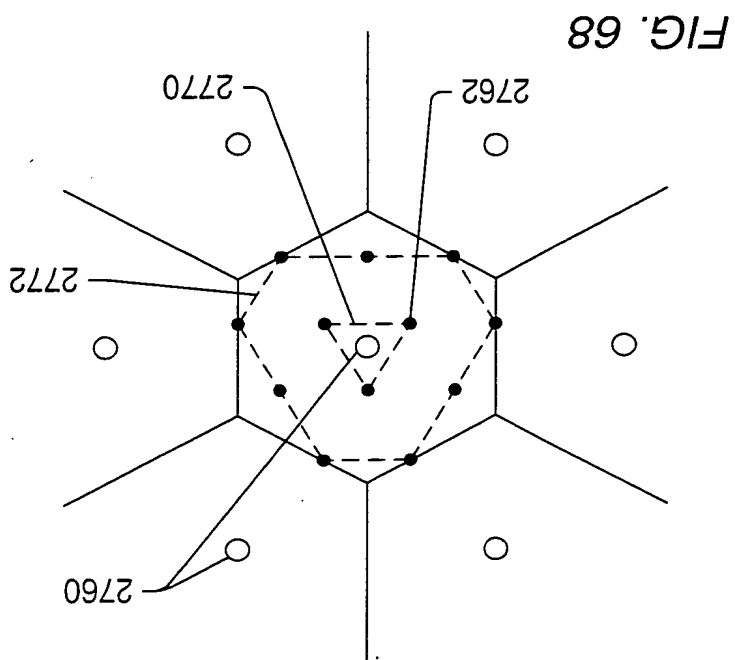
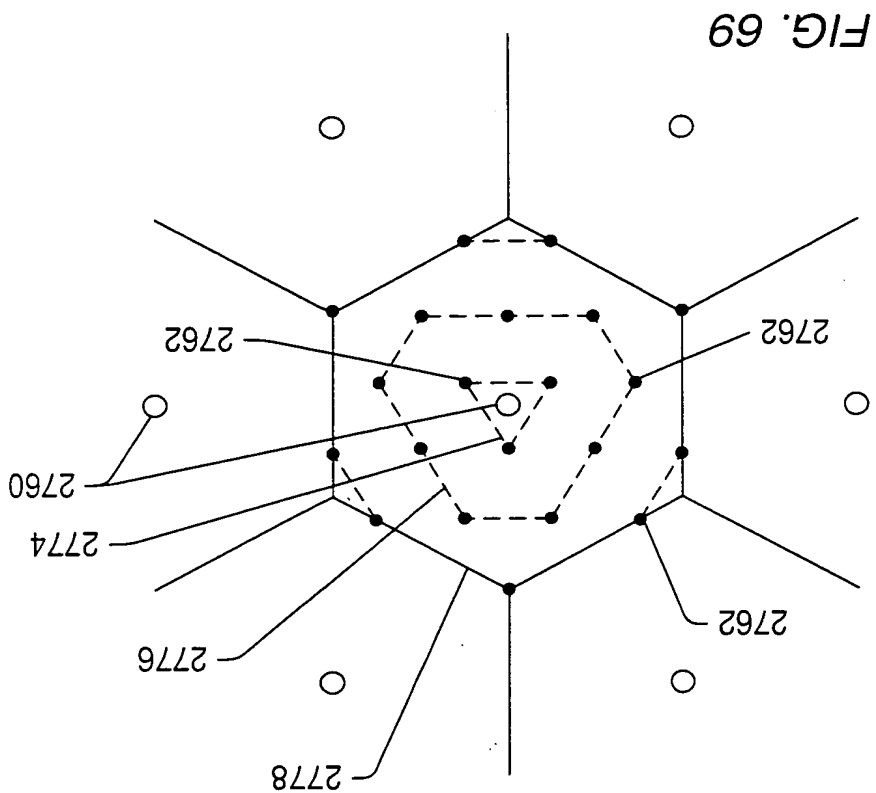
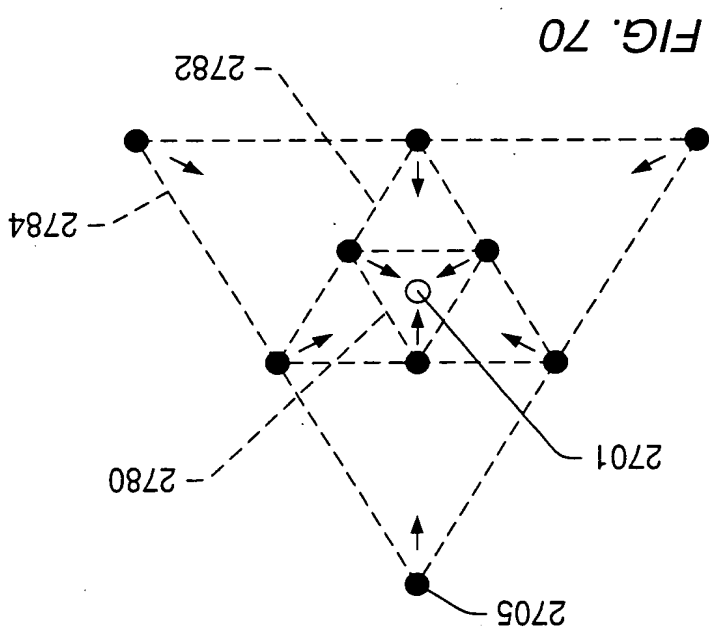


FIG. 67







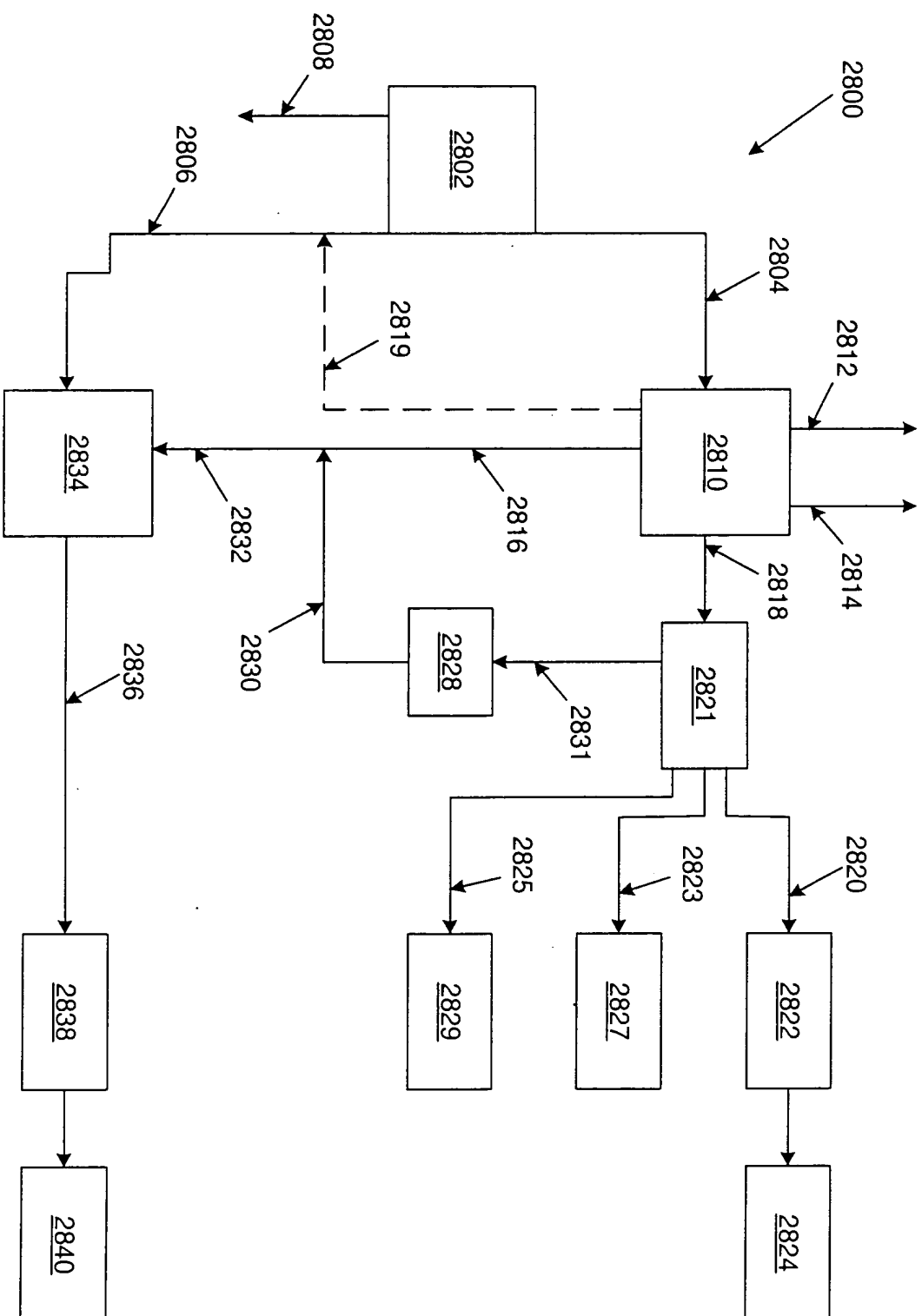


Fig. 71

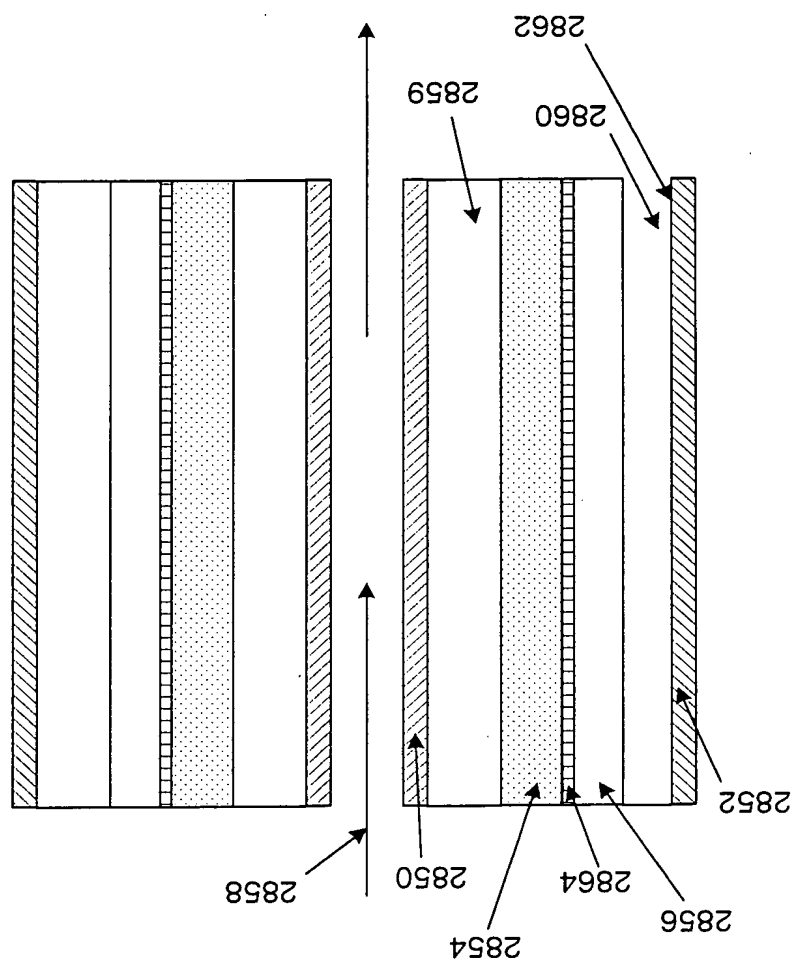


Fig. 72

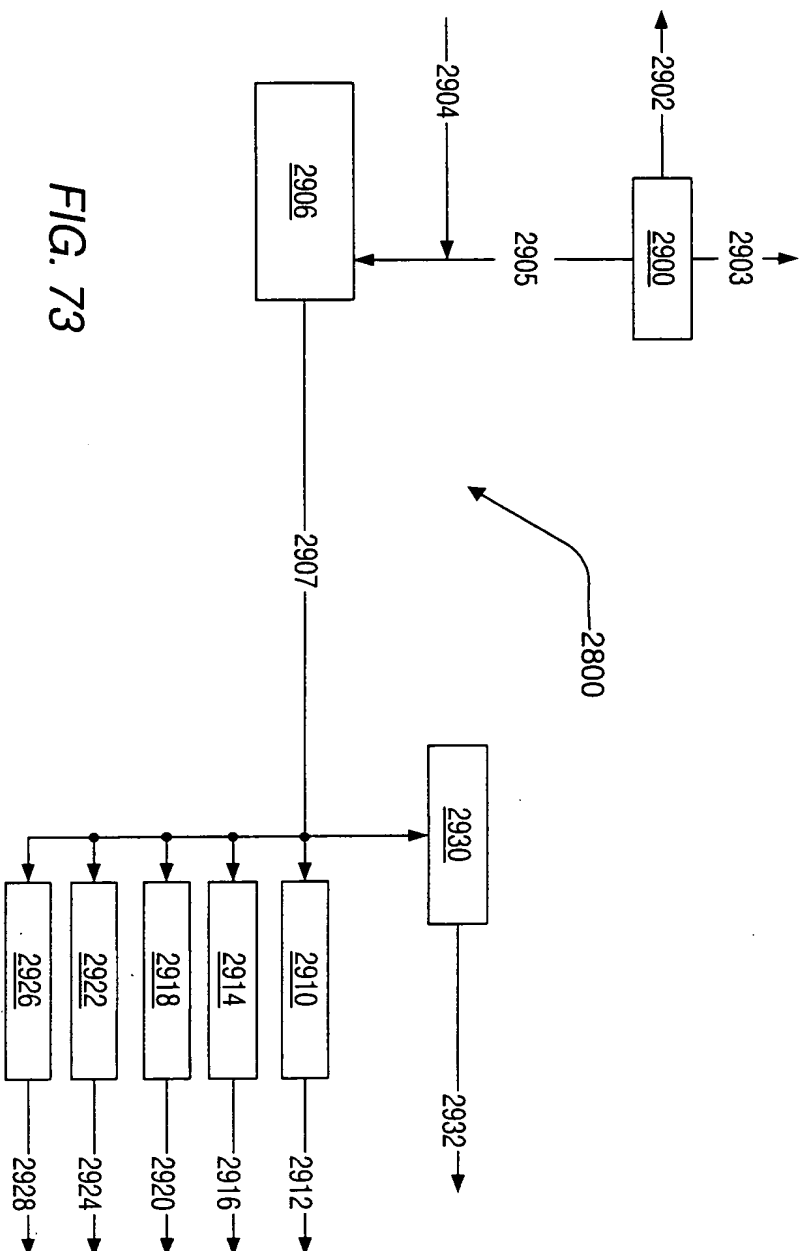


FIG. 74

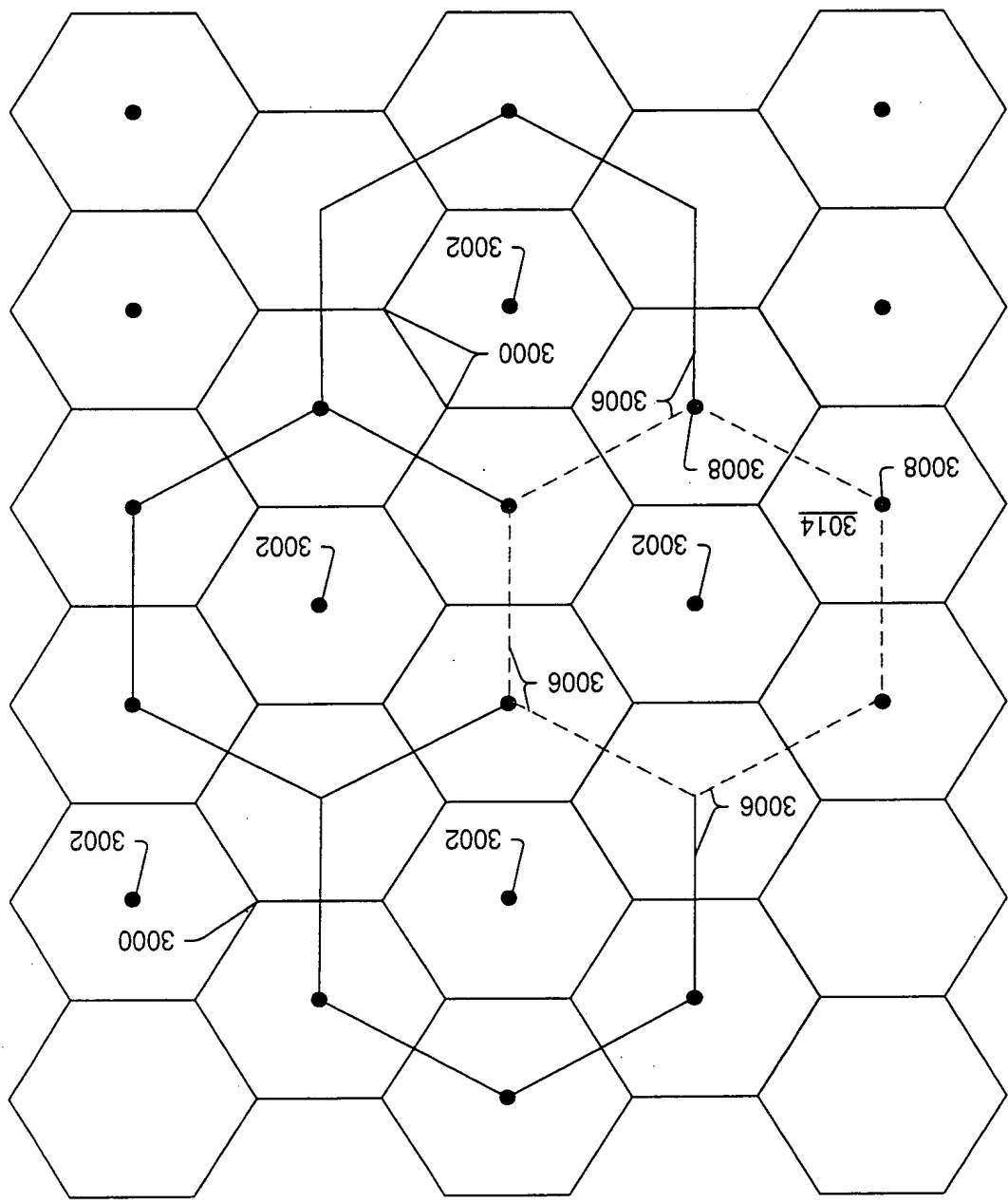


FIG. 75

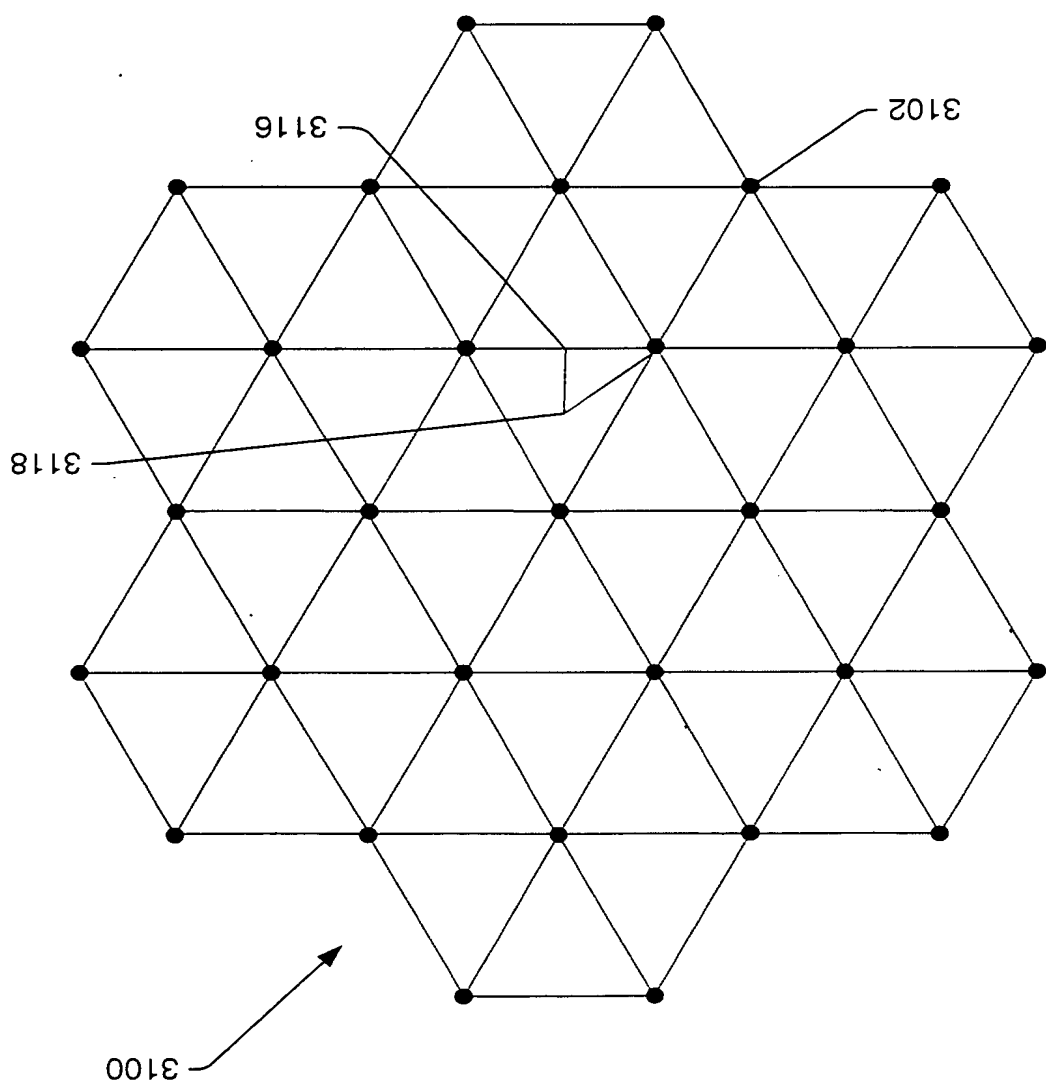


FIG. 76

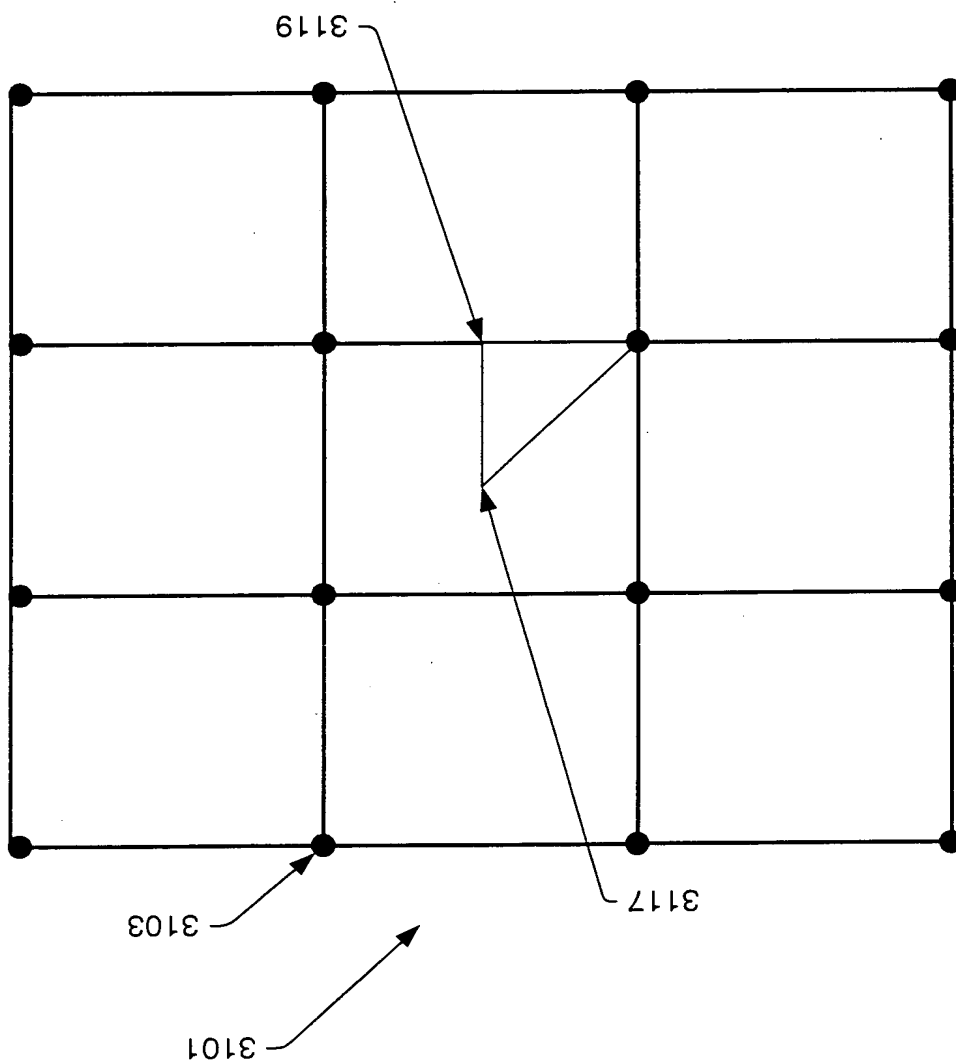
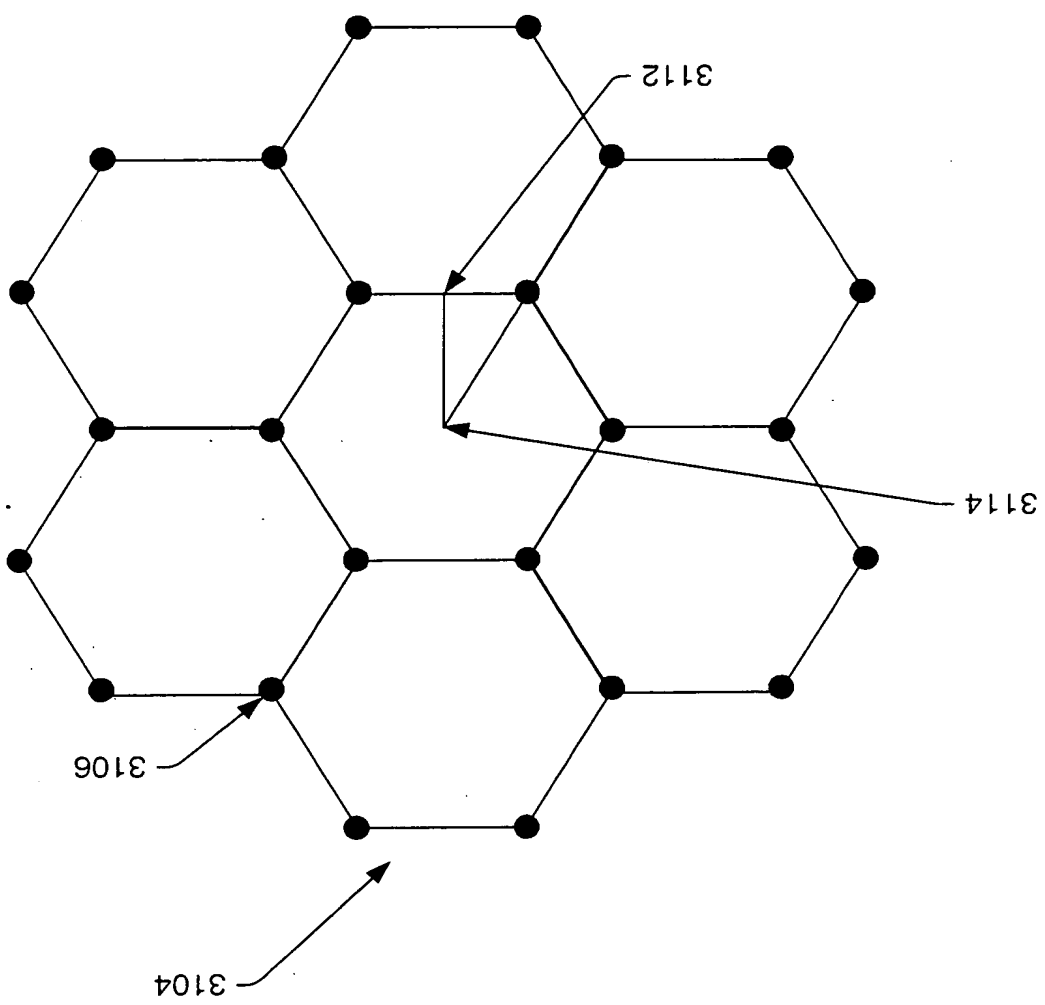


FIG. 76a



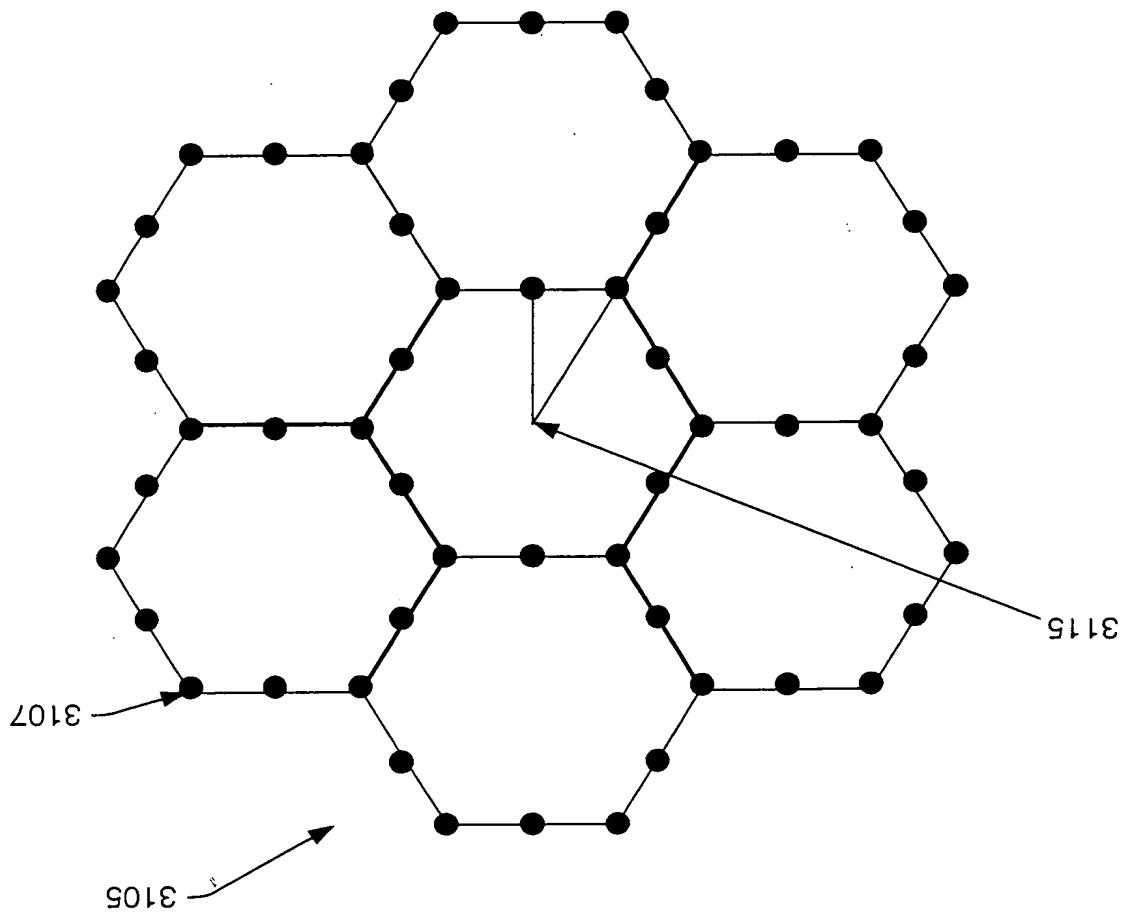


FIG. 77a

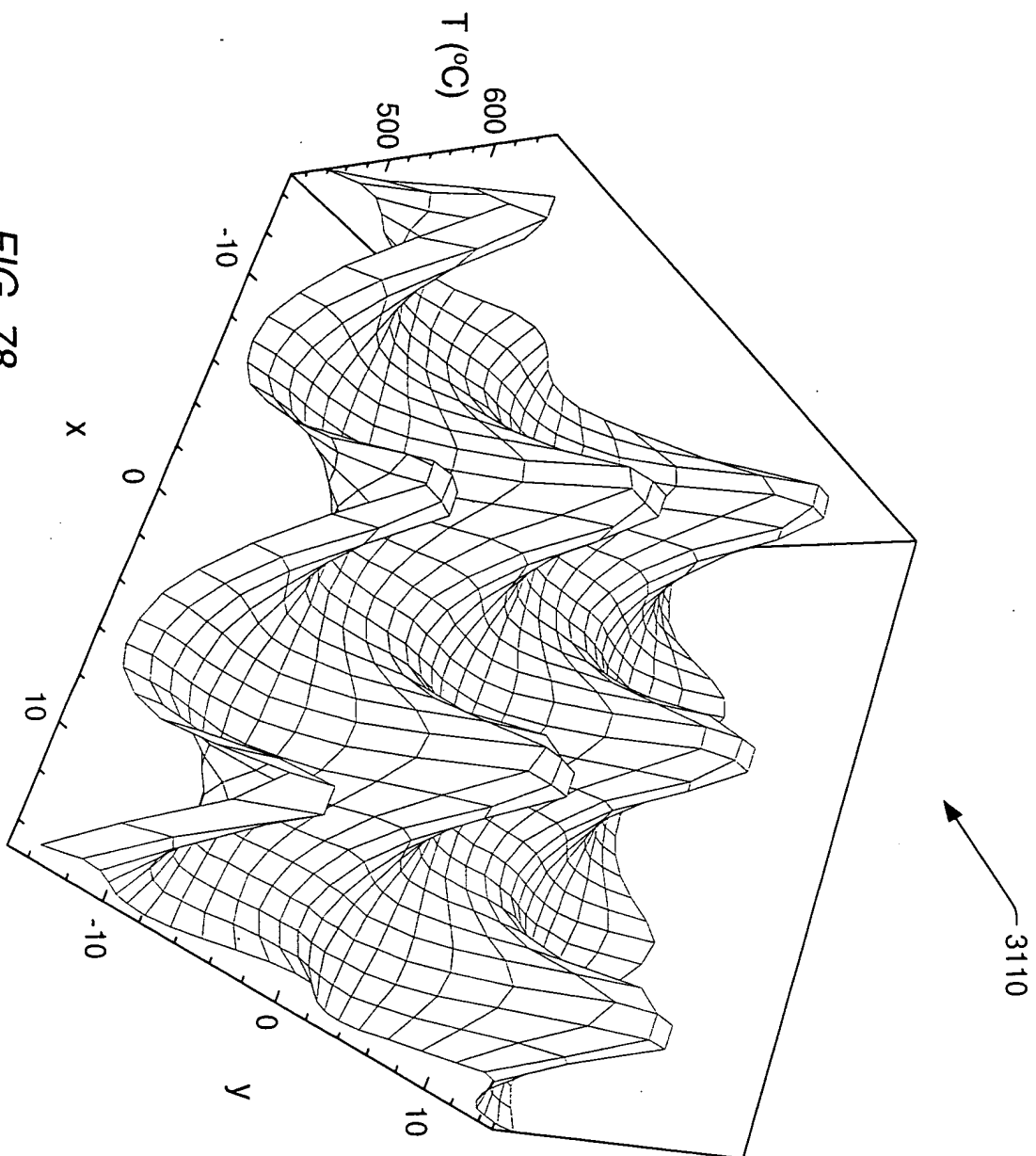


FIG. 78

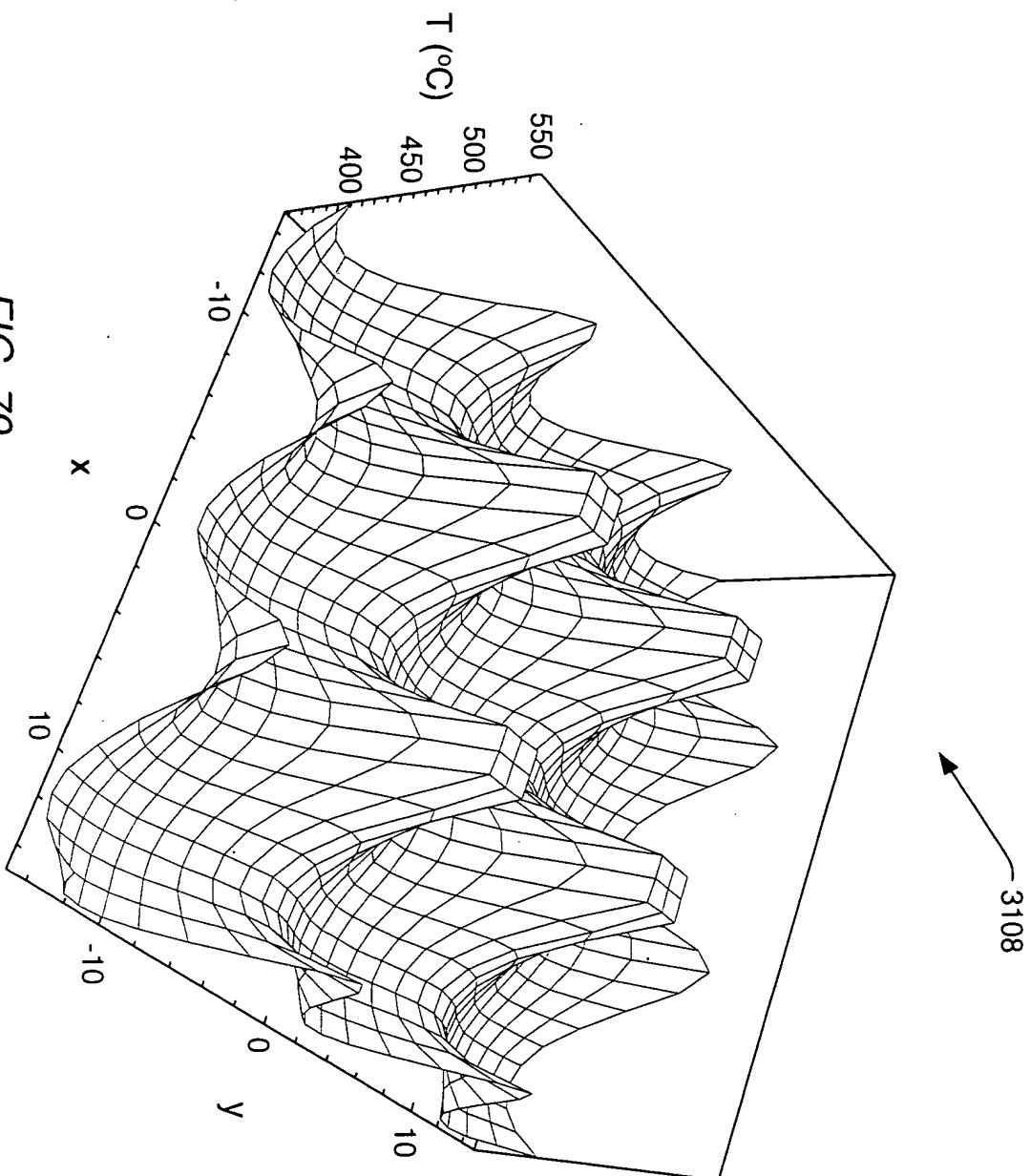


FIG. 79

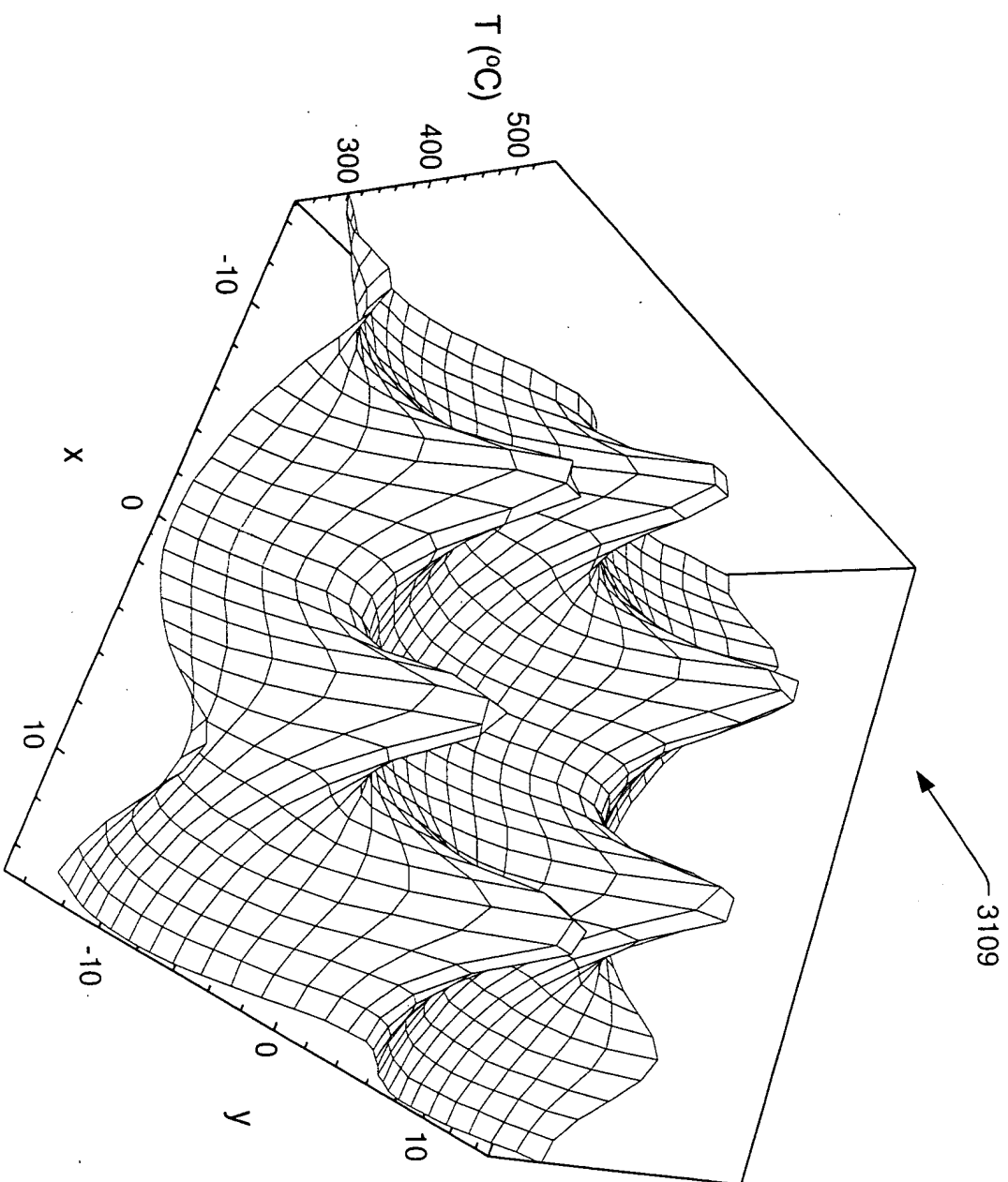


FIG. 79a

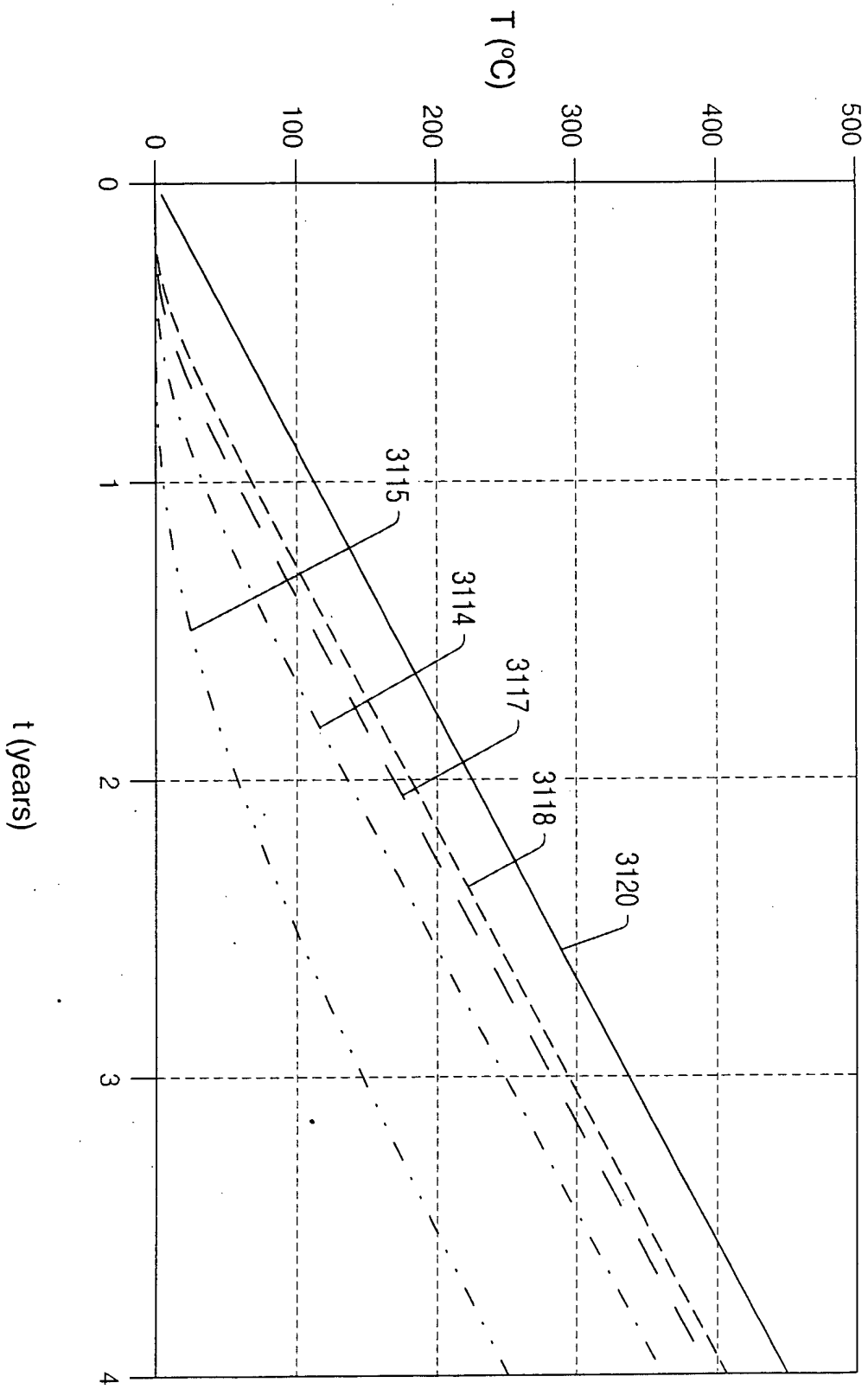


FIG. 80

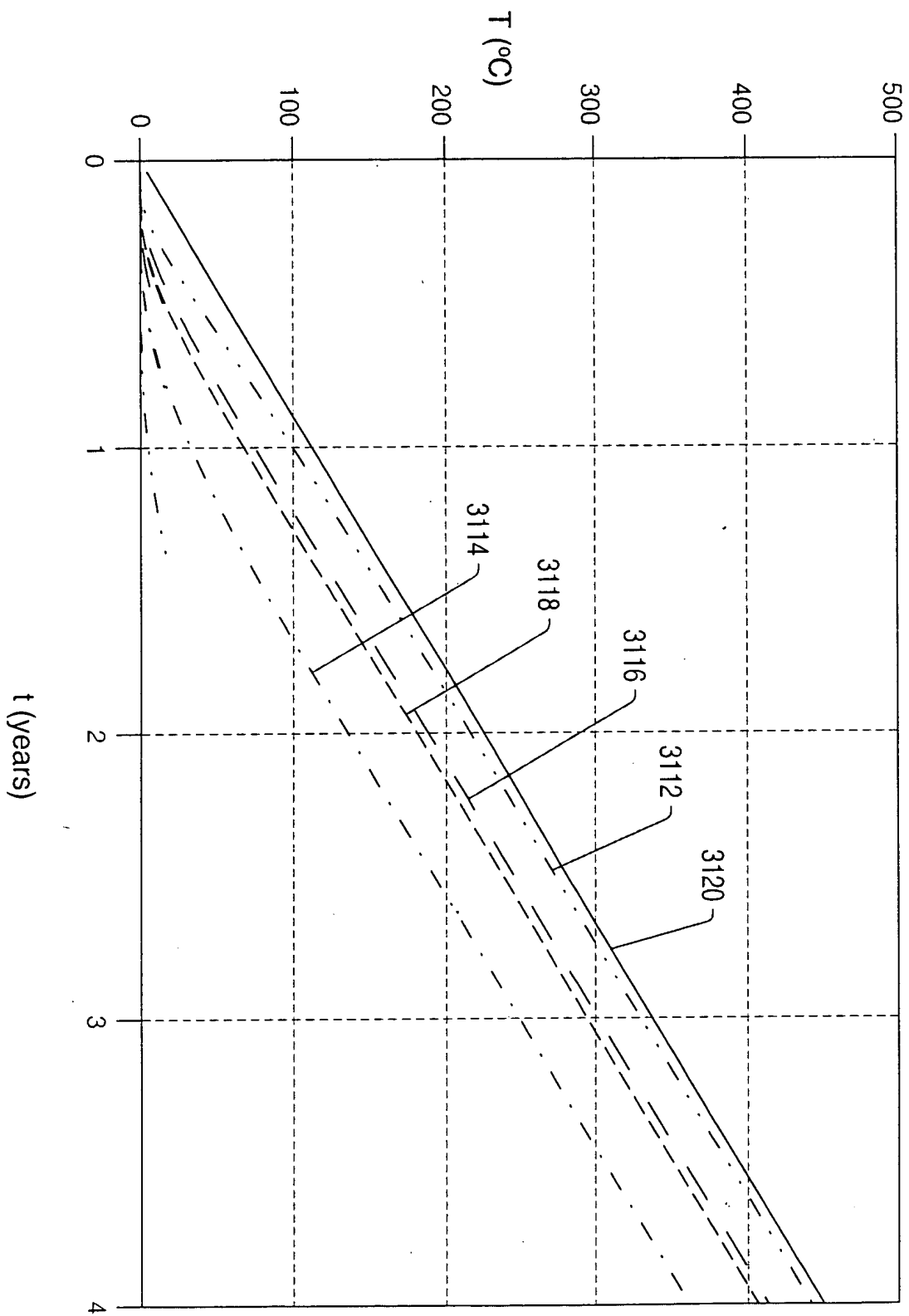


FIG. 81

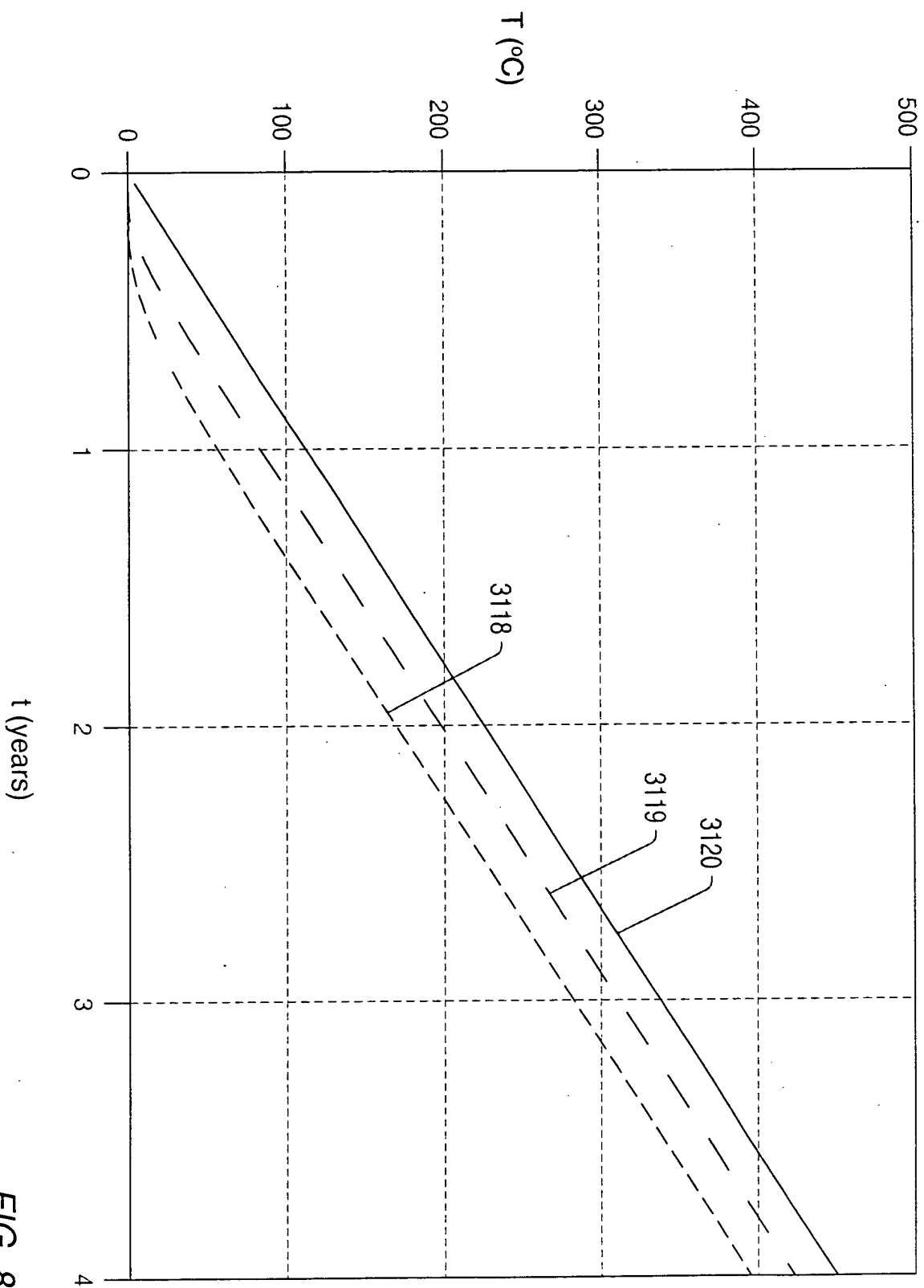


FIG. 81a

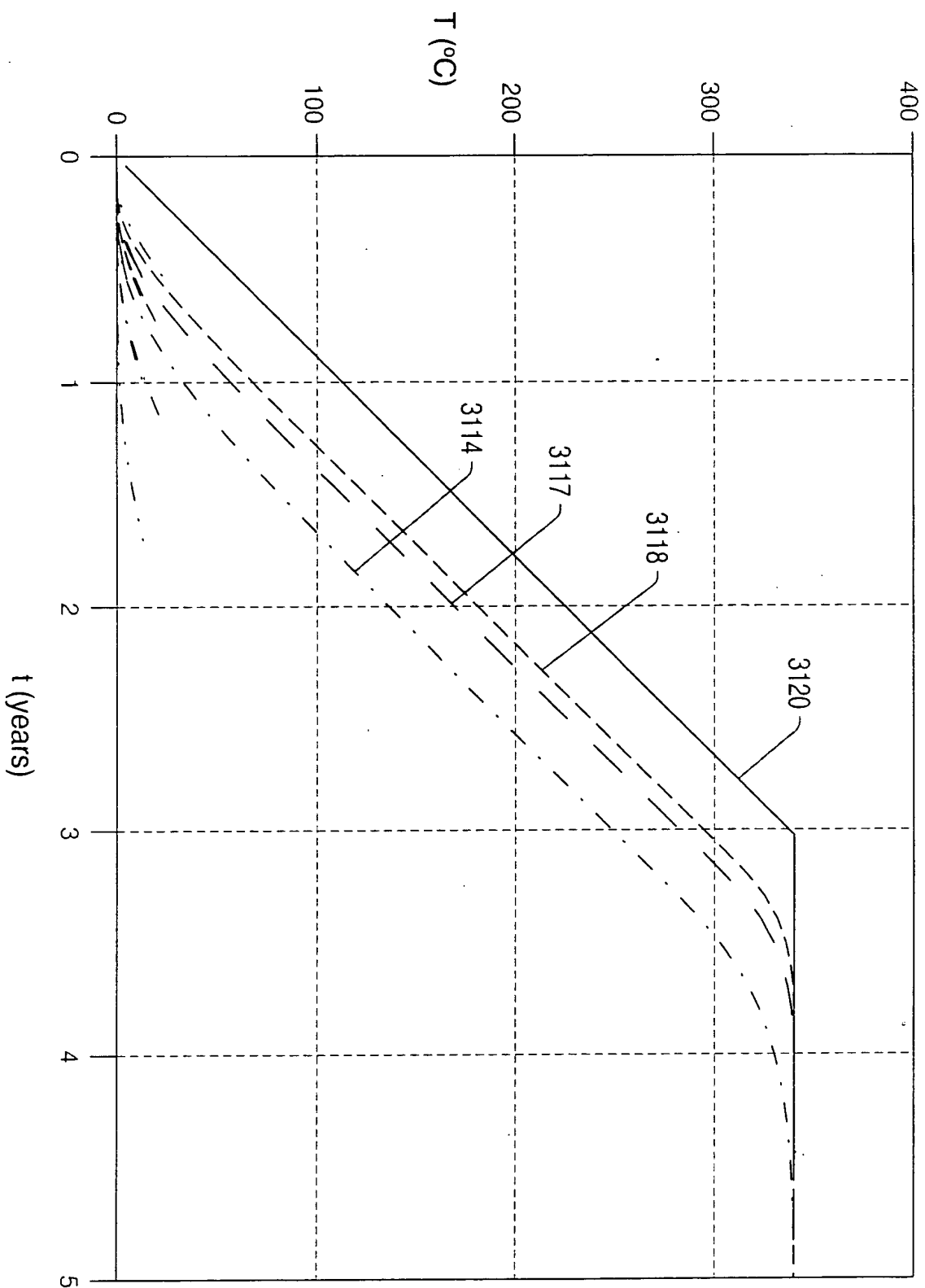


FIG. 81b

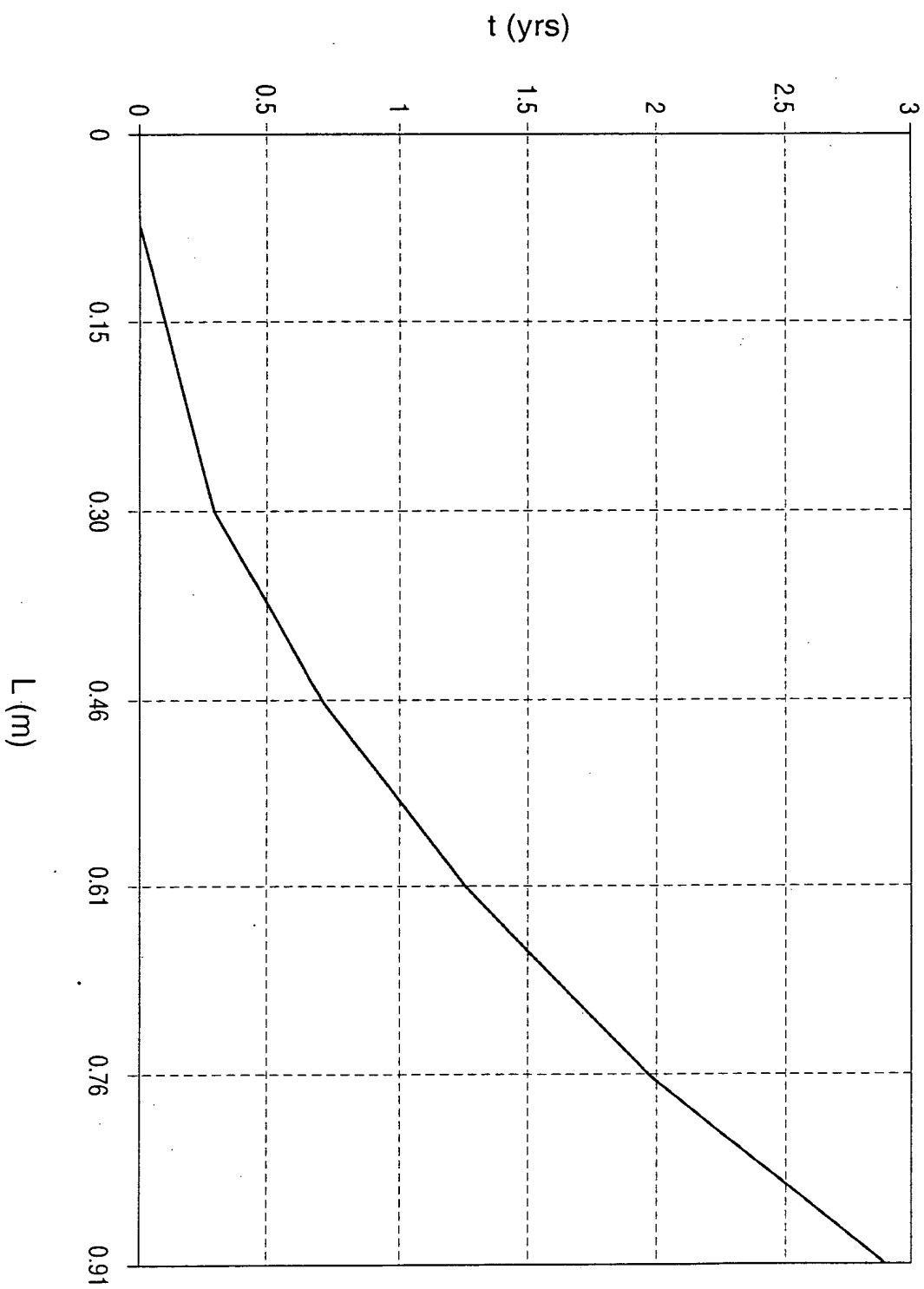


FIG. 82

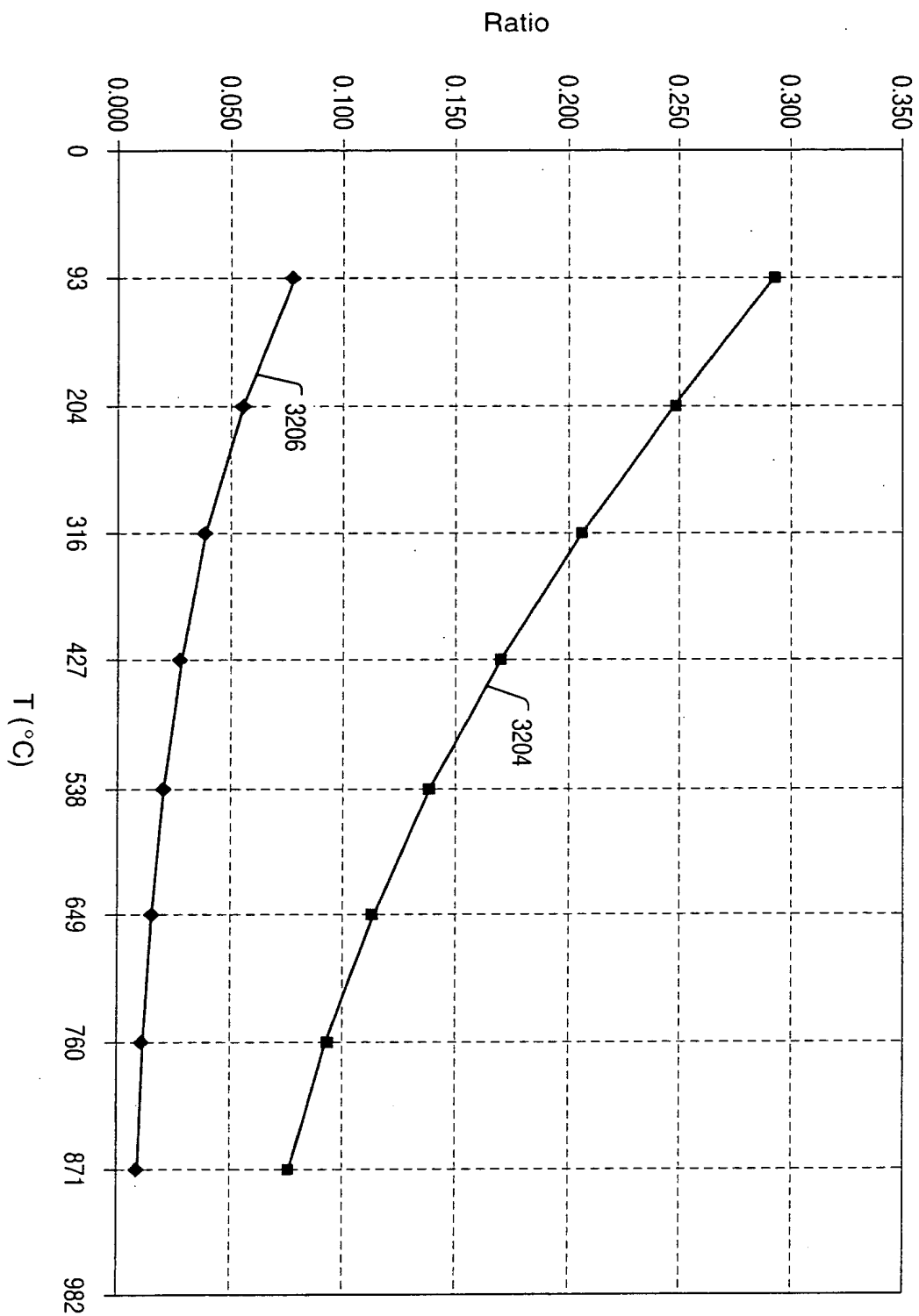


FIG. 83

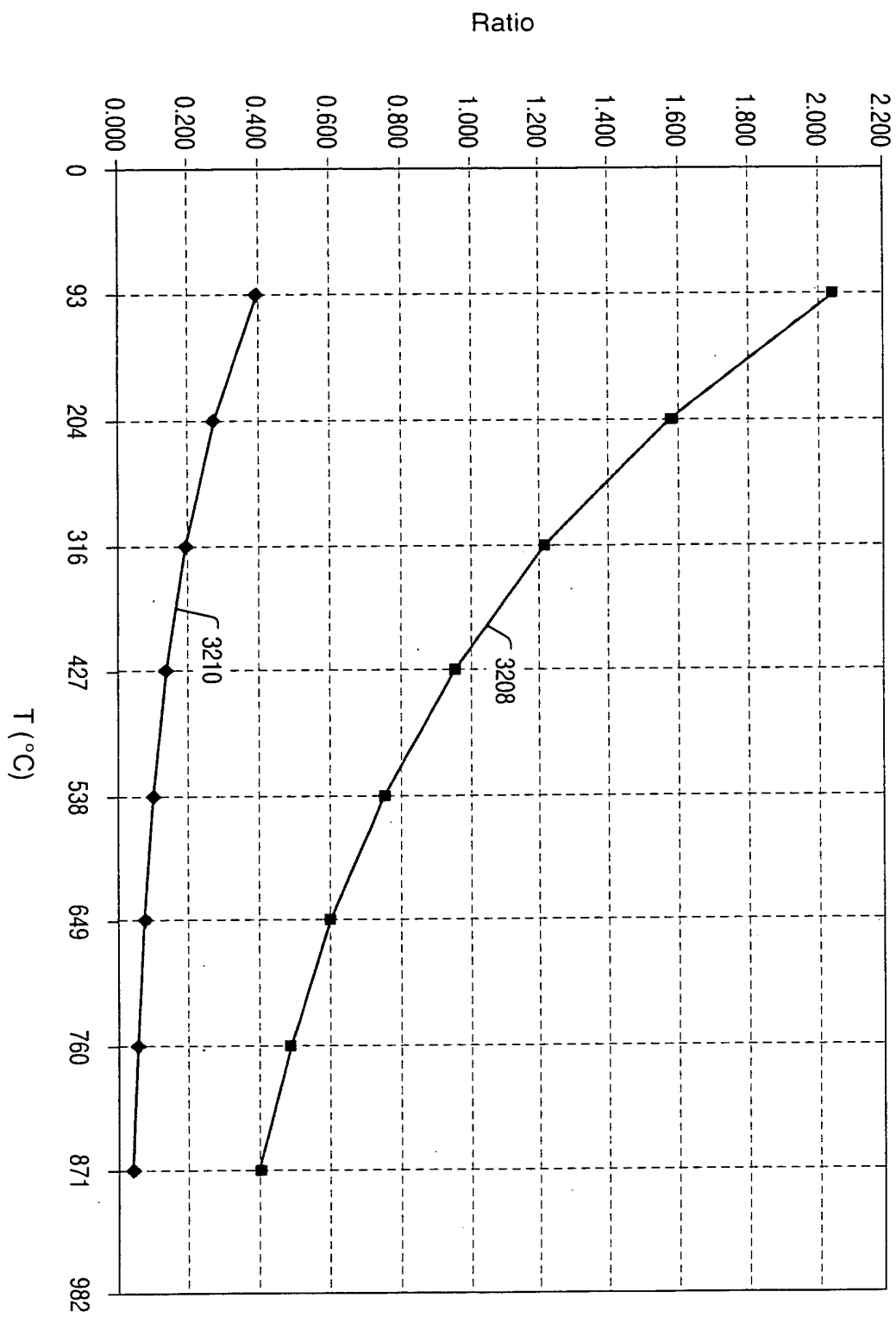


FIG. 84

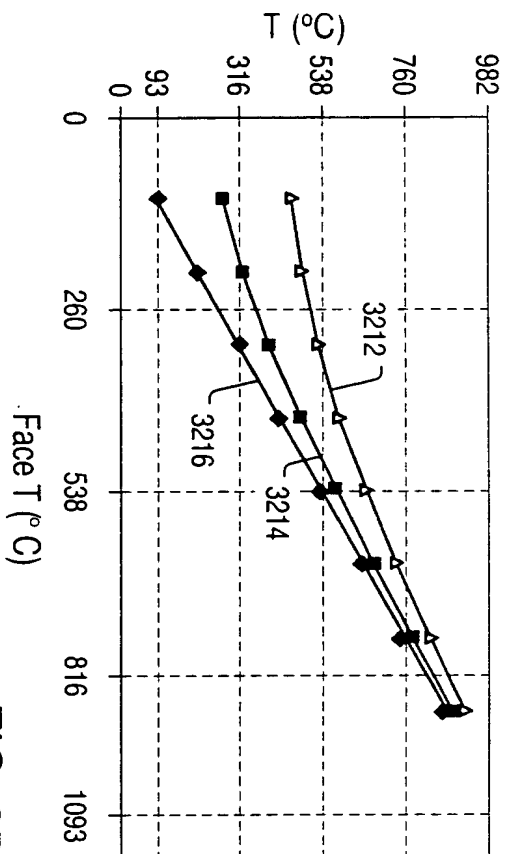


FIG. 85

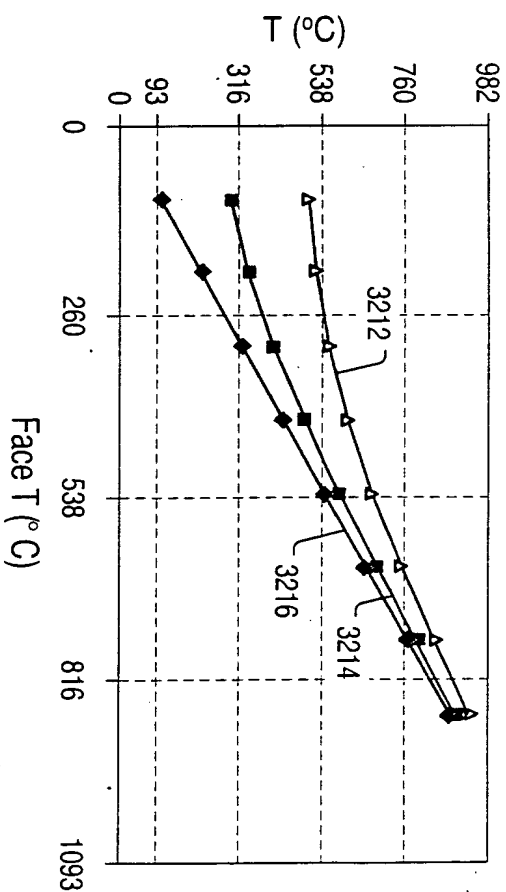


FIG. 86

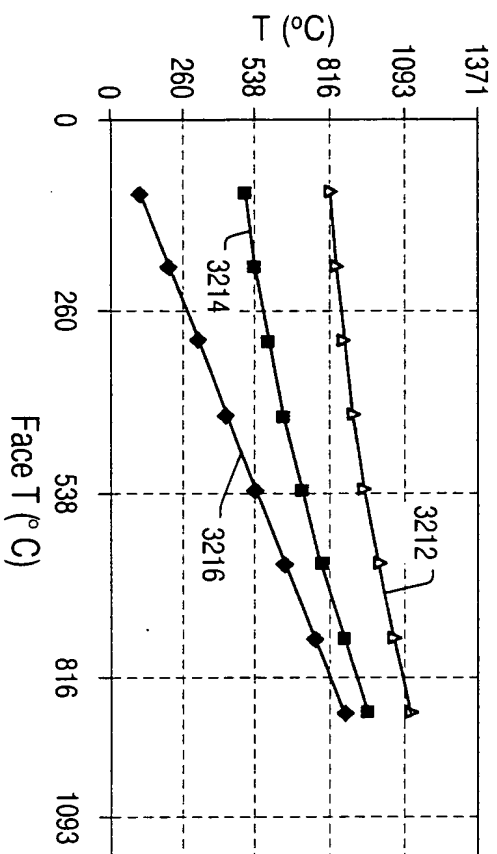


FIG. 87

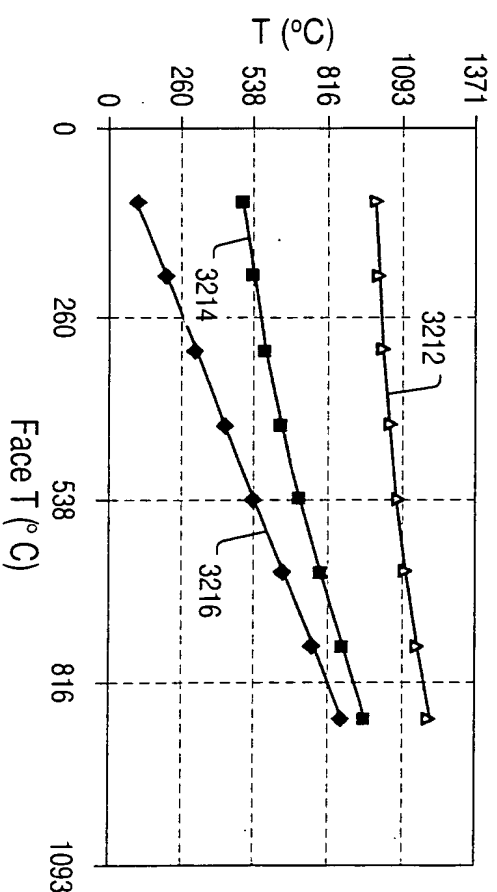
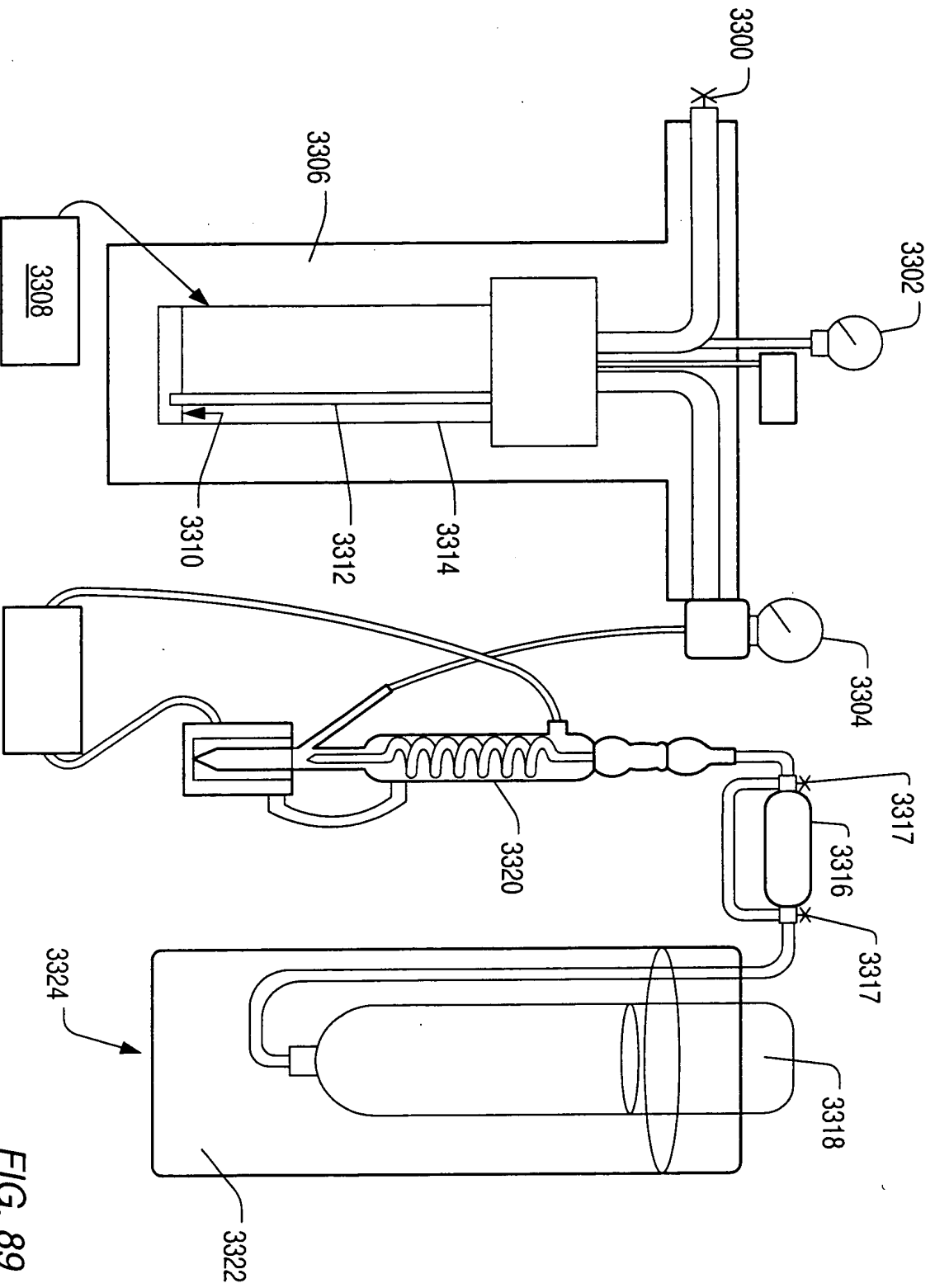


FIG. 88



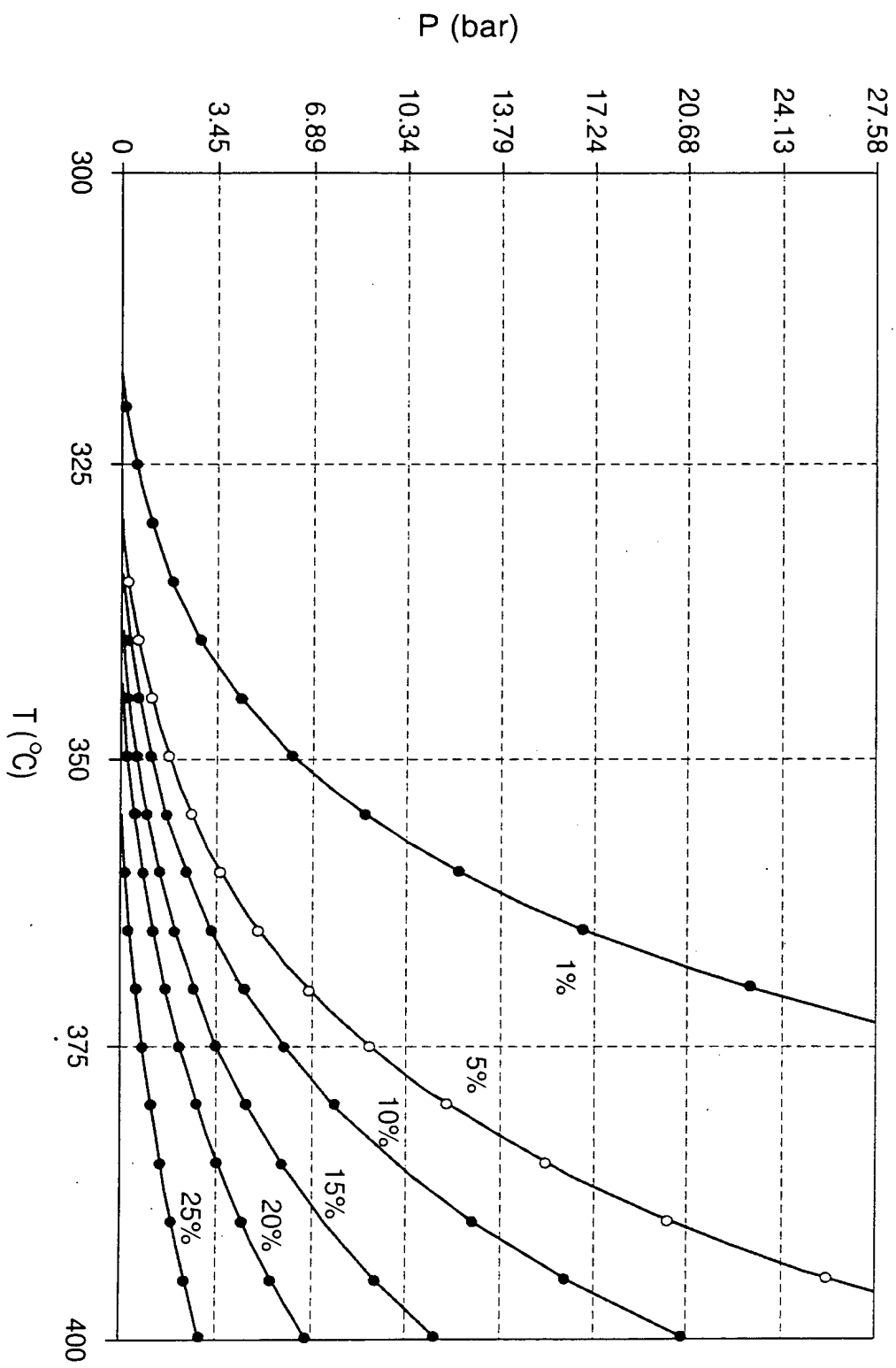


FIG. 90

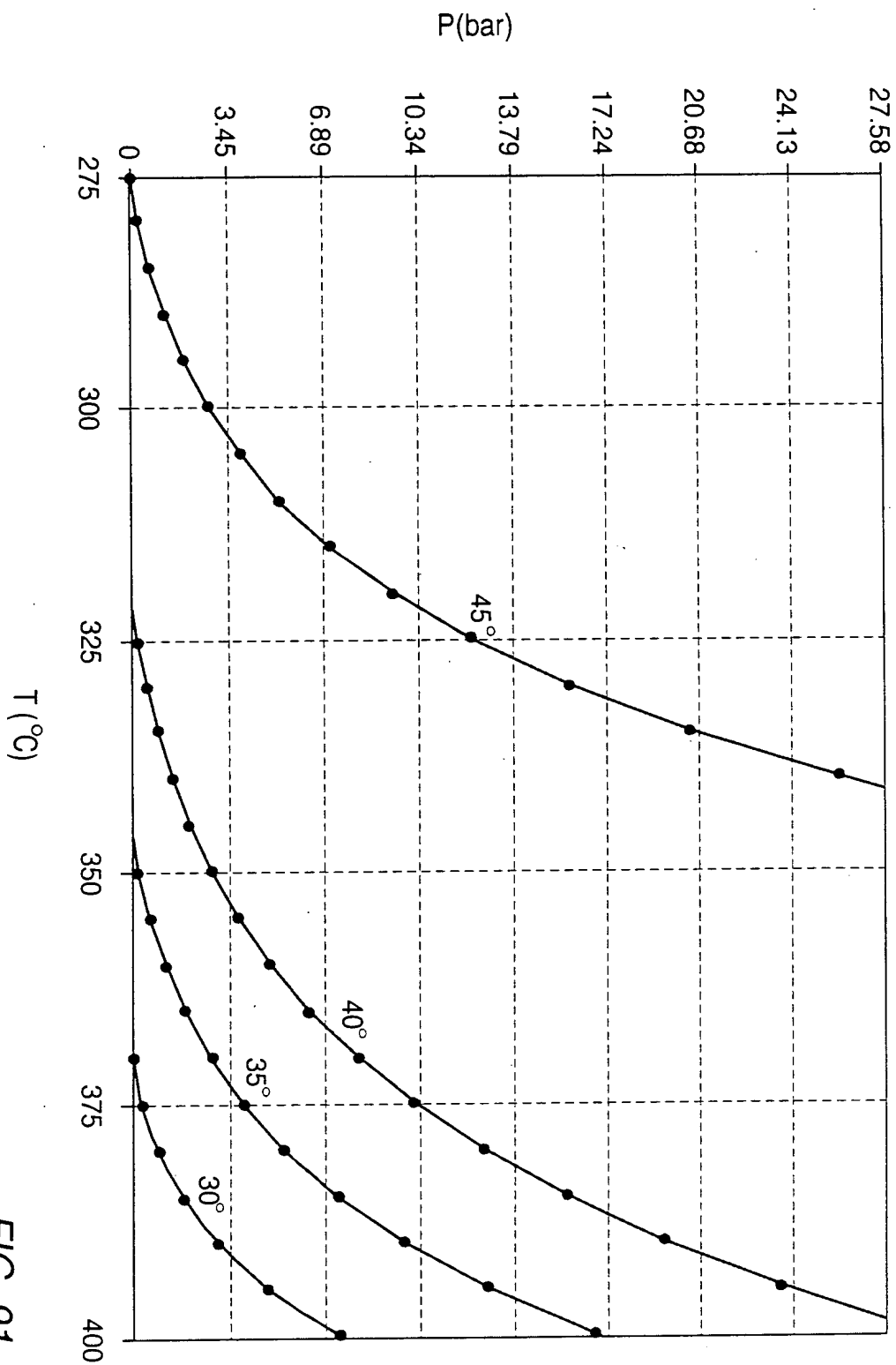


FIG. 91

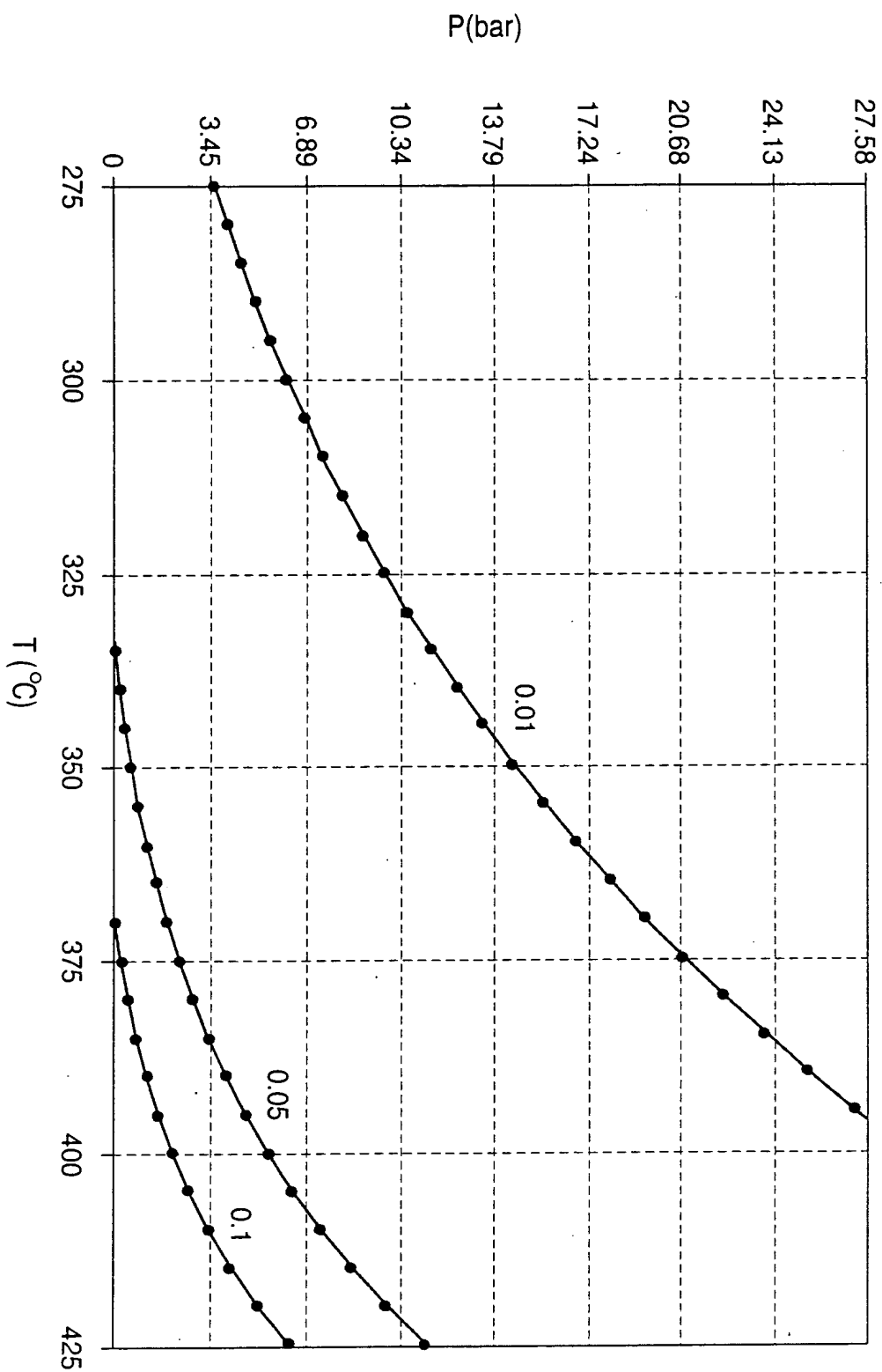


FIG. 92

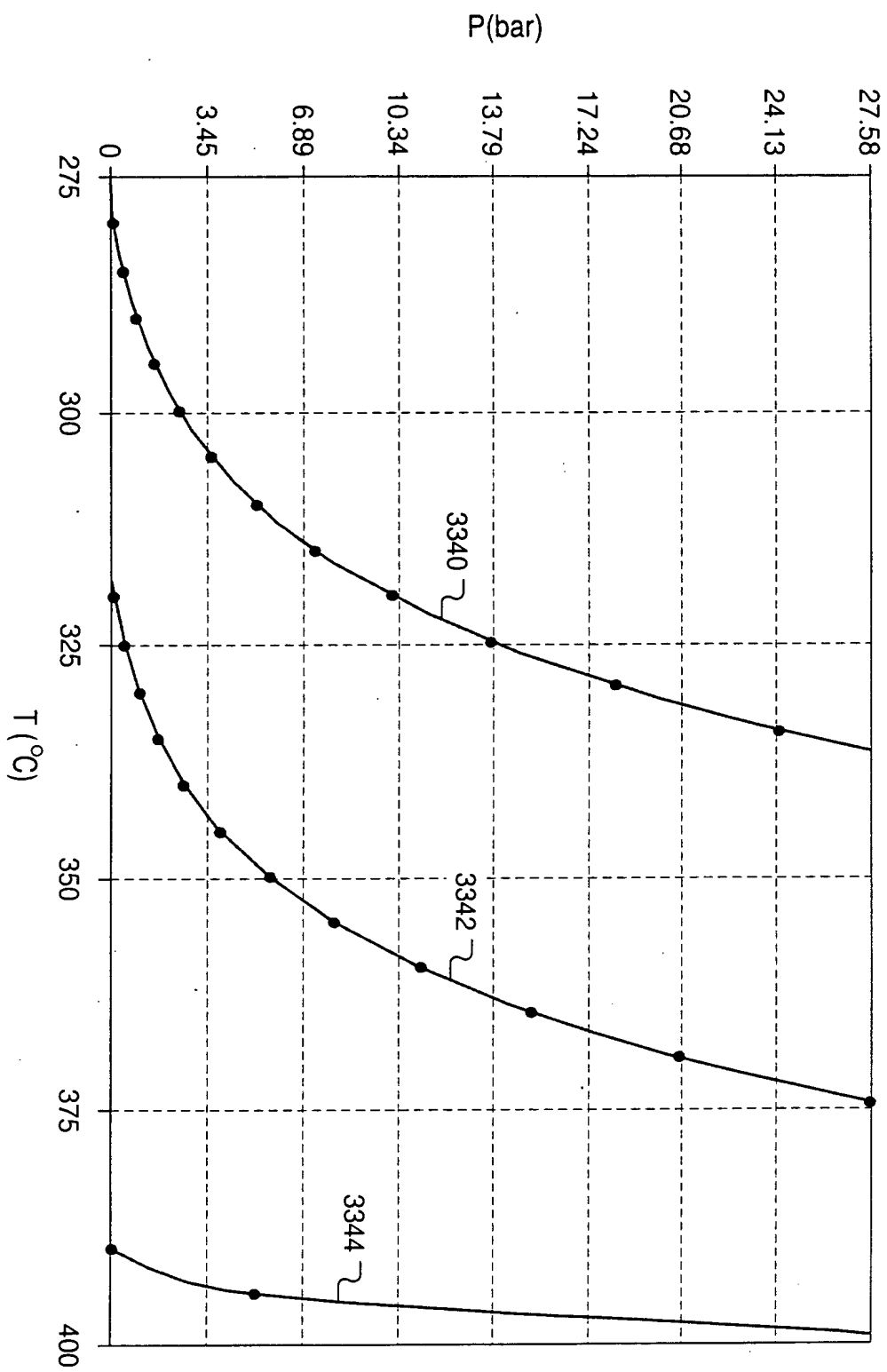


FIG. 93

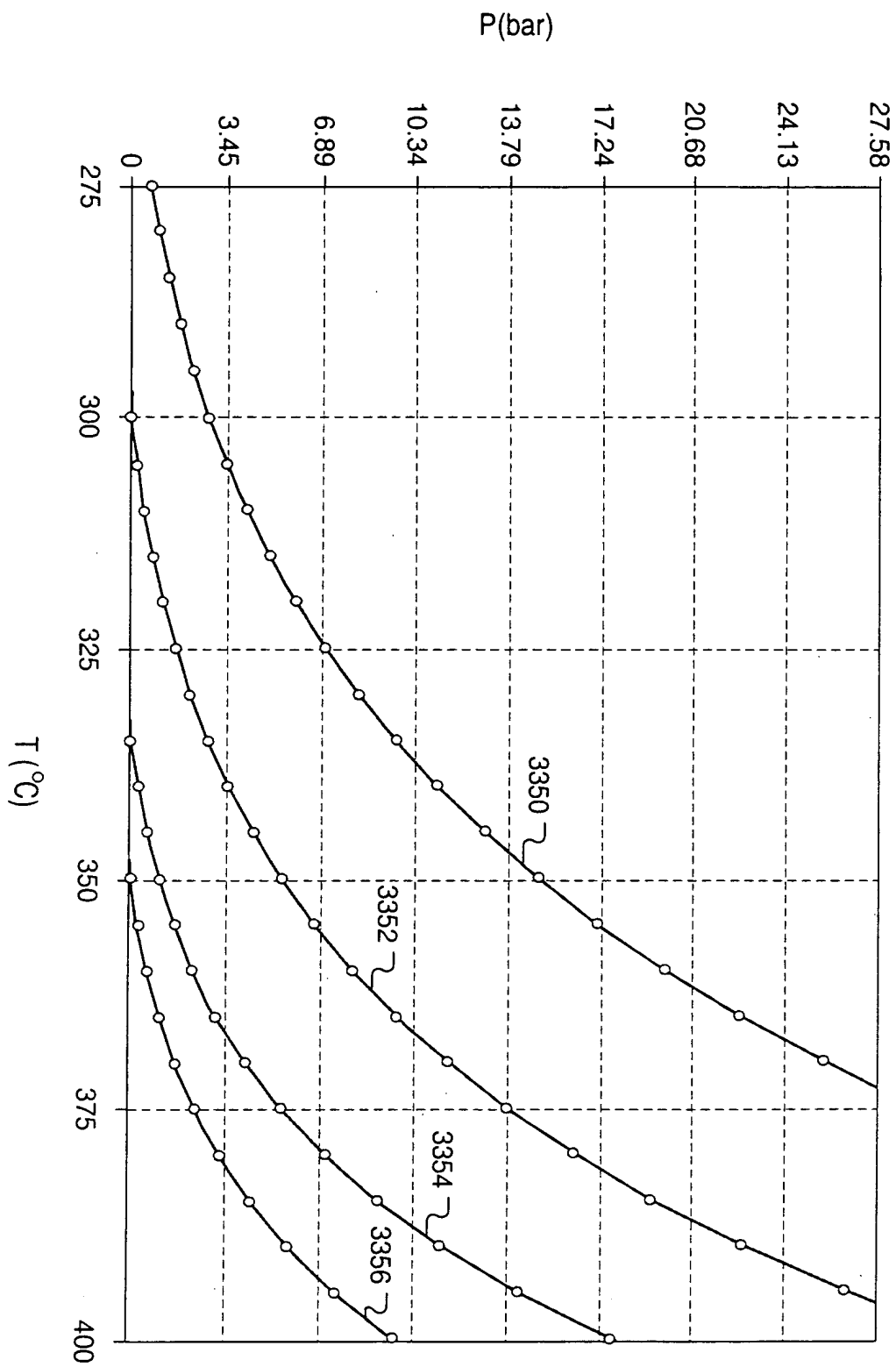


FIG. 94

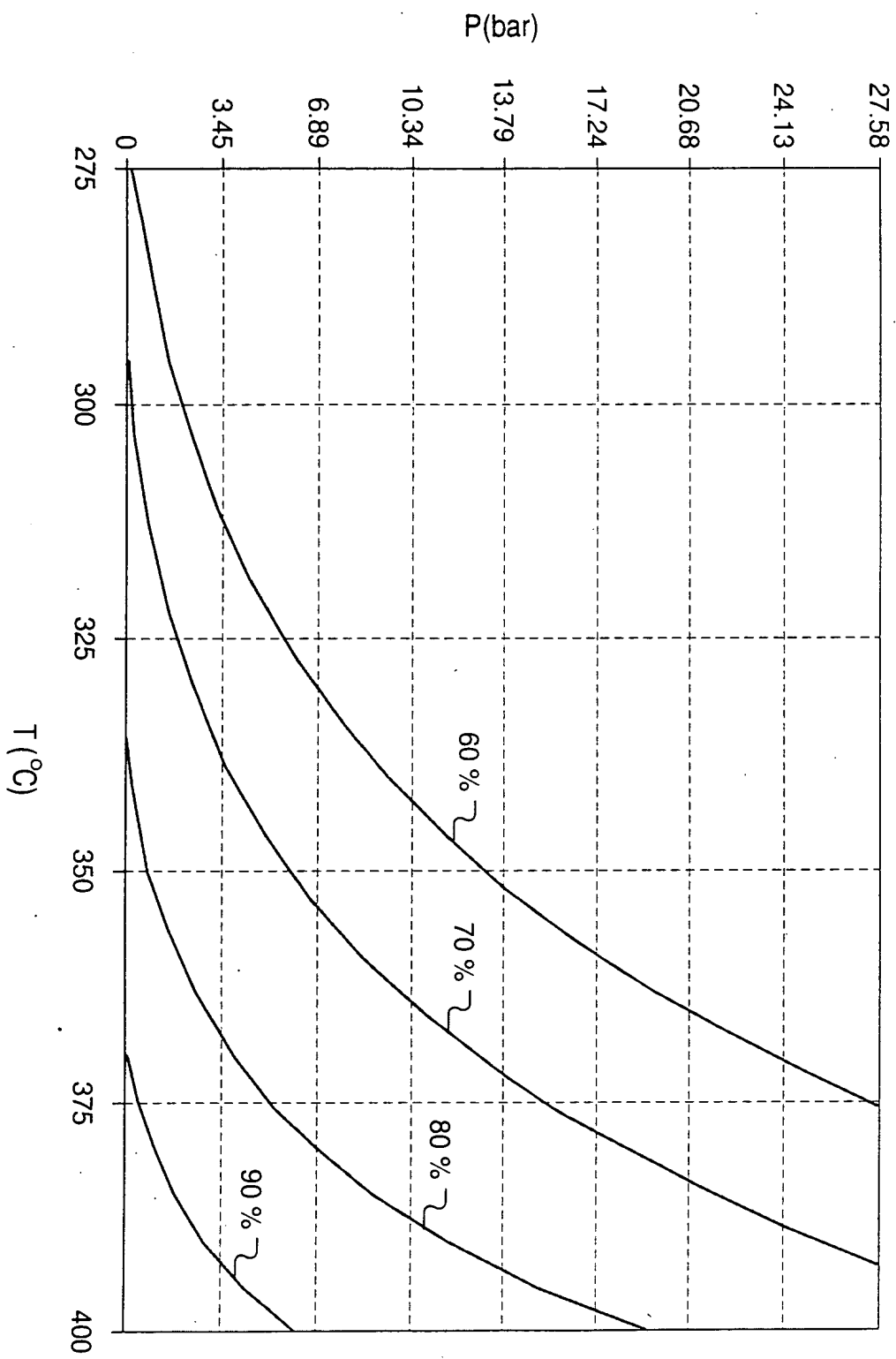


FIG. 95

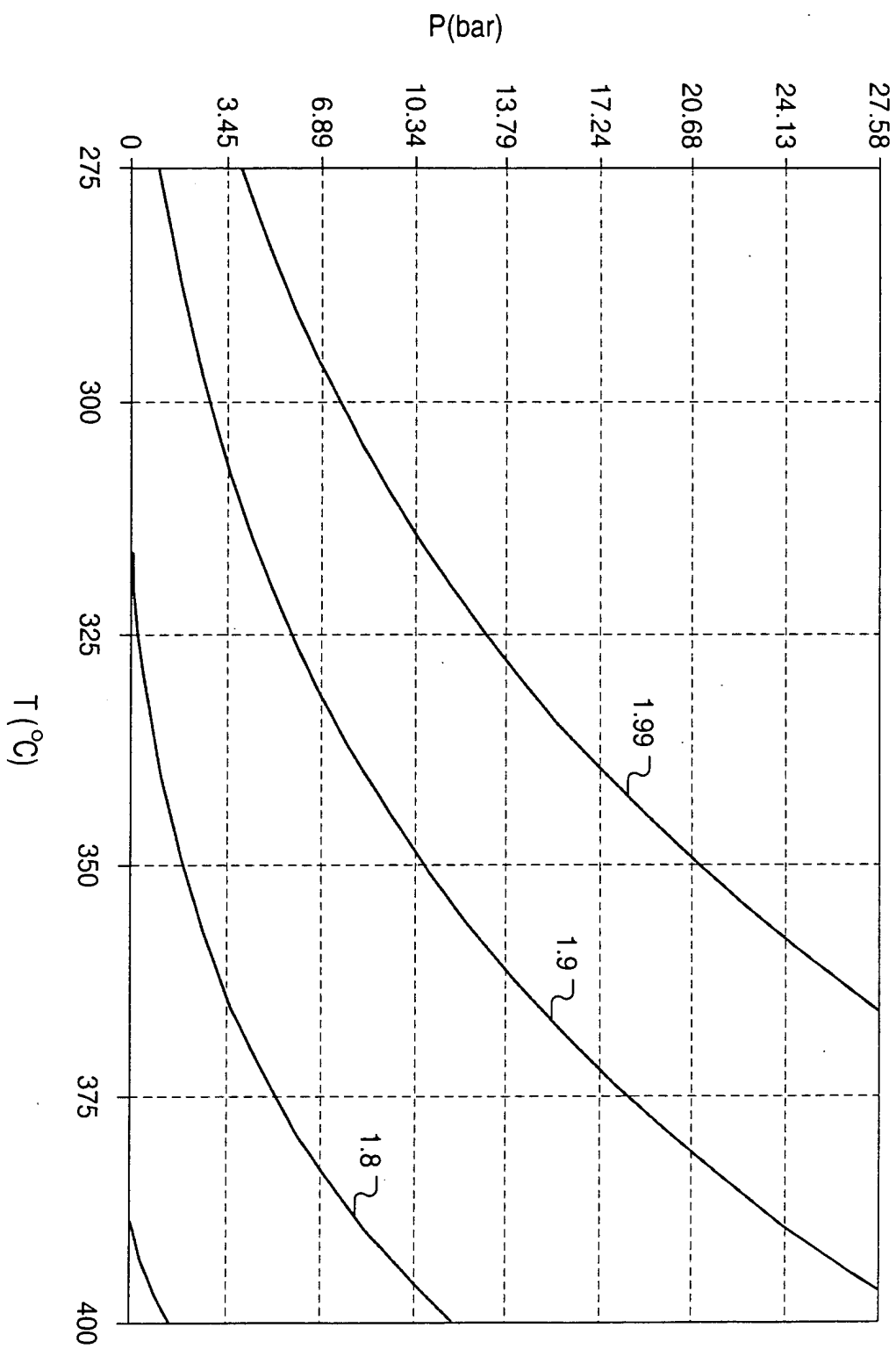
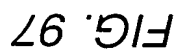


FIG. 96



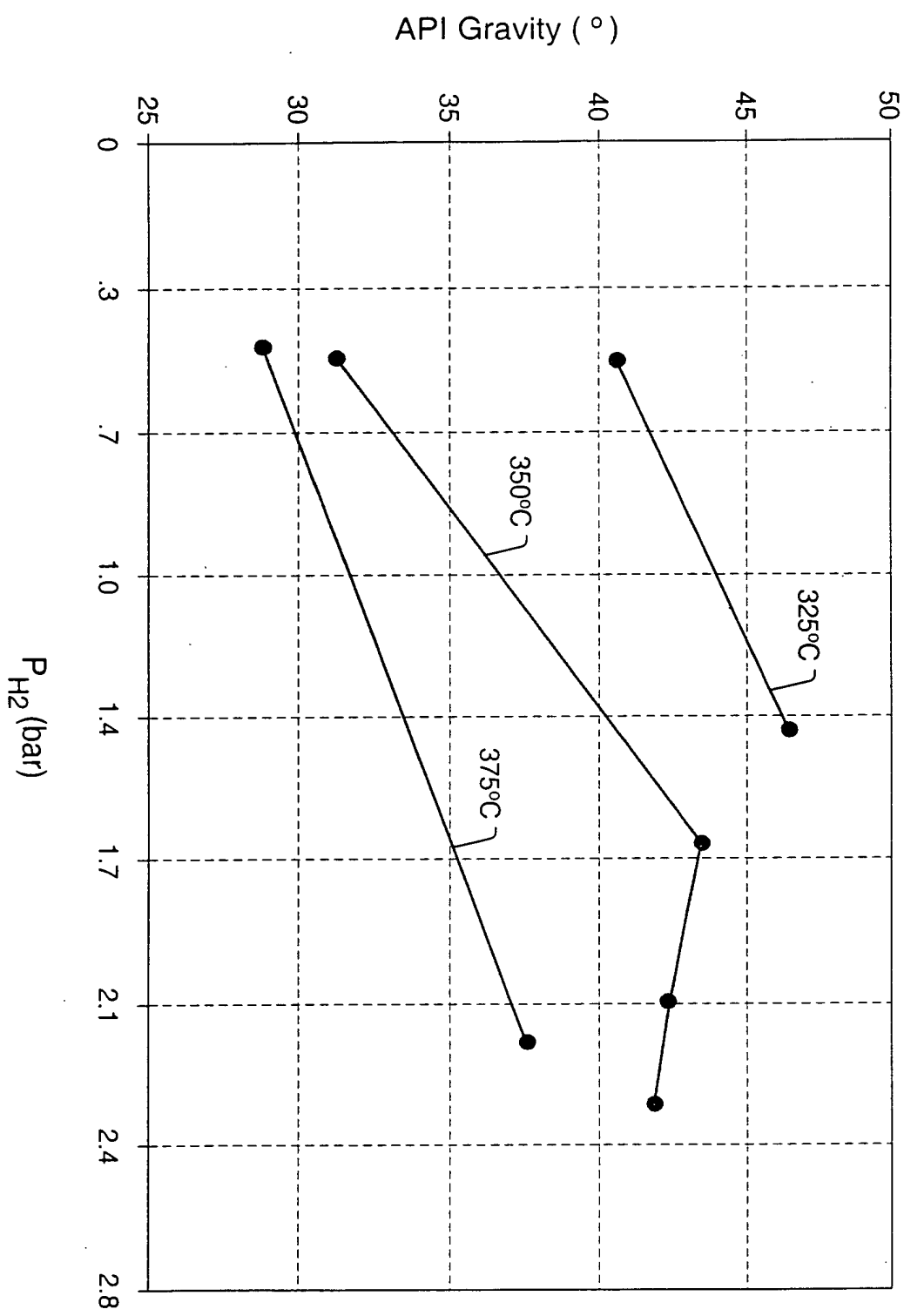


FIG. 98

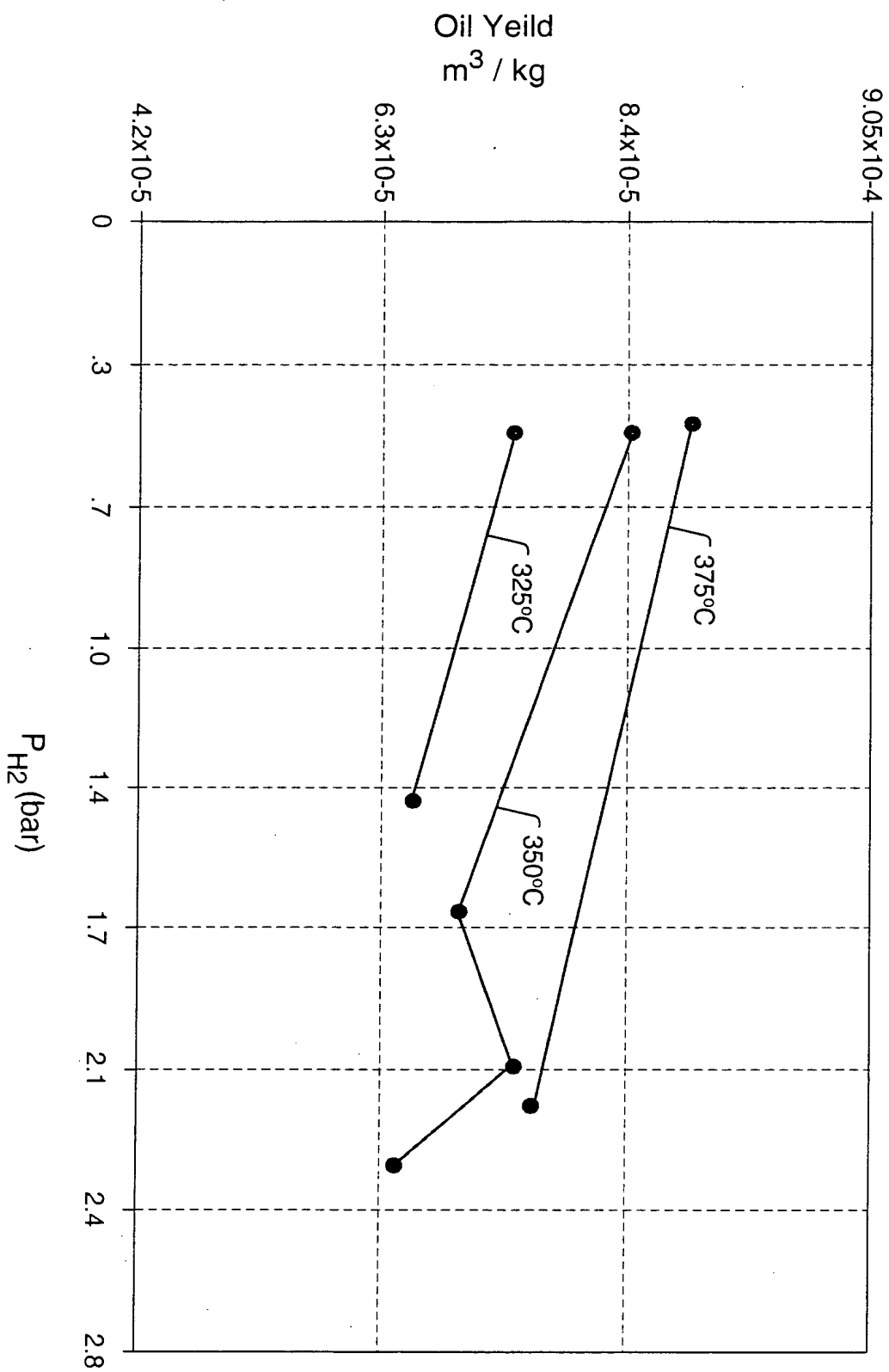


FIG. 99

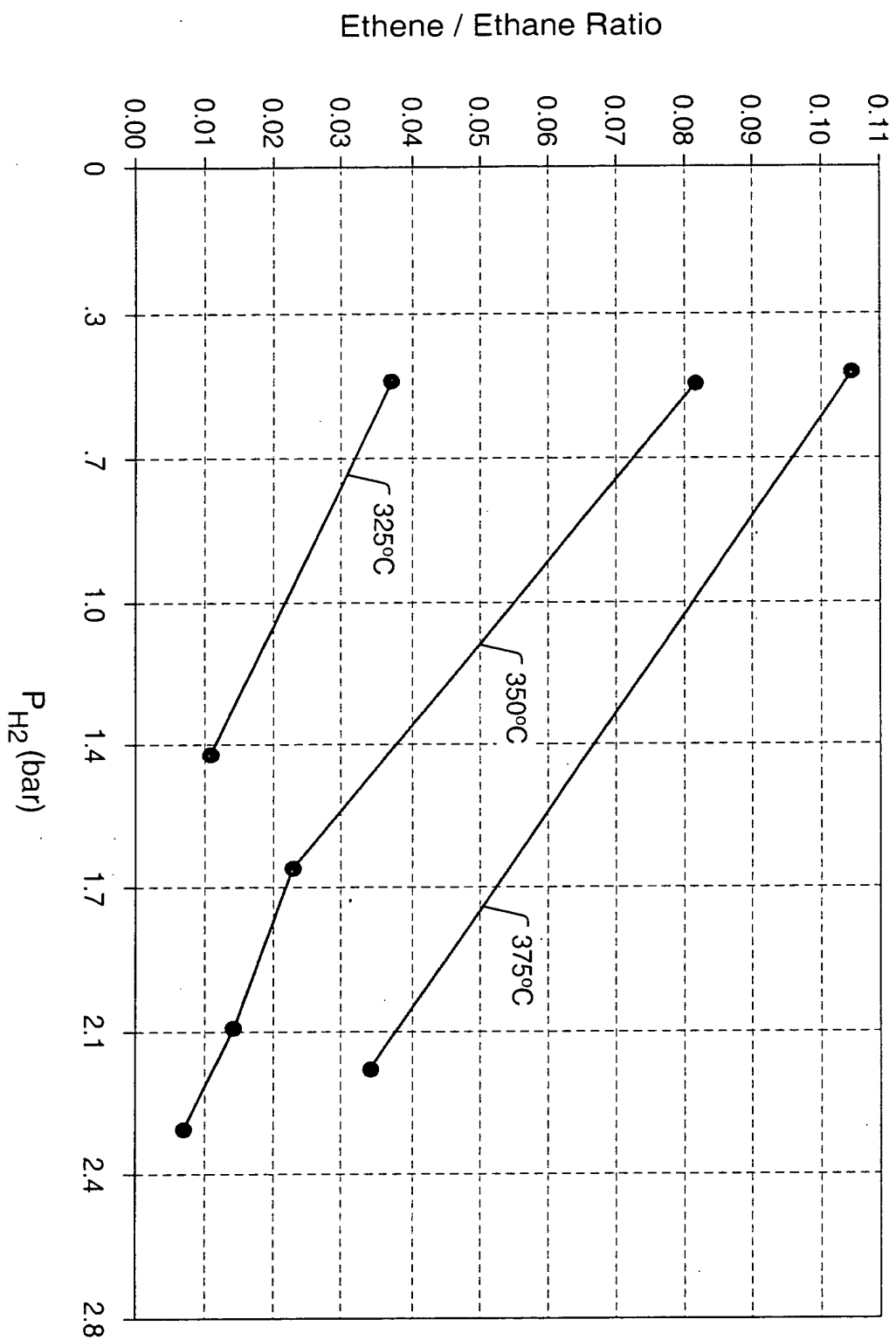


FIG. 100

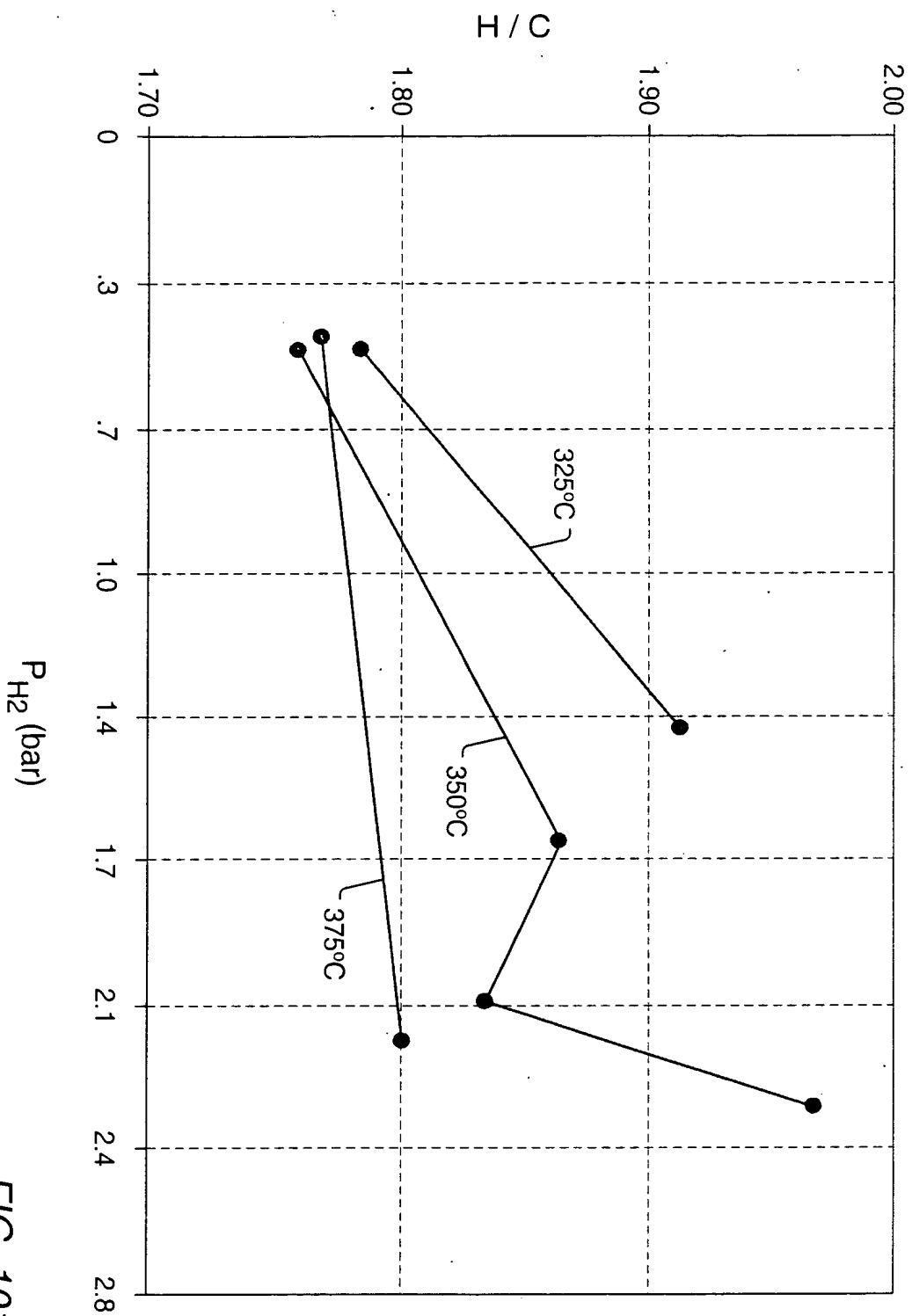


FIG. 101

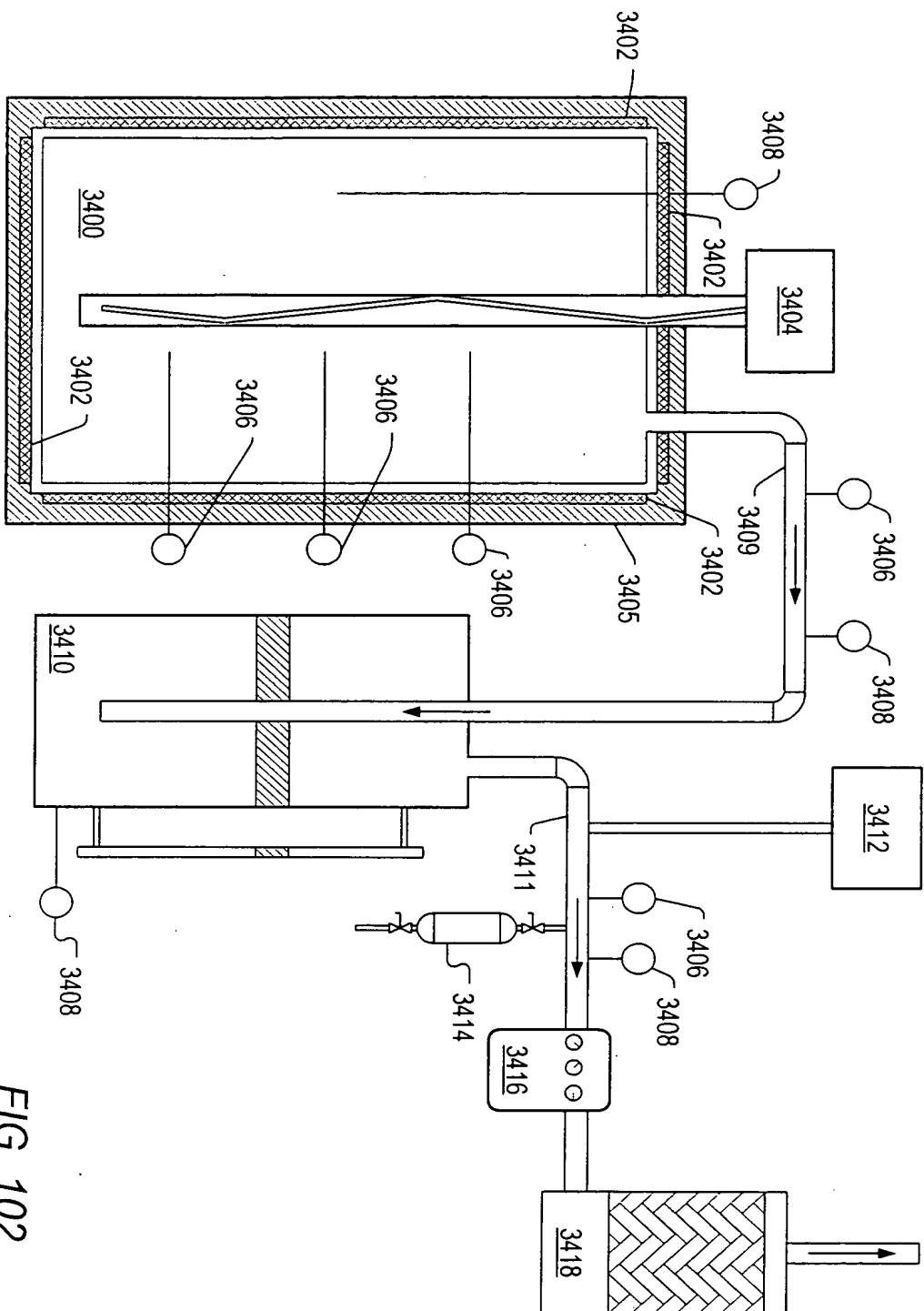


FIG. 102

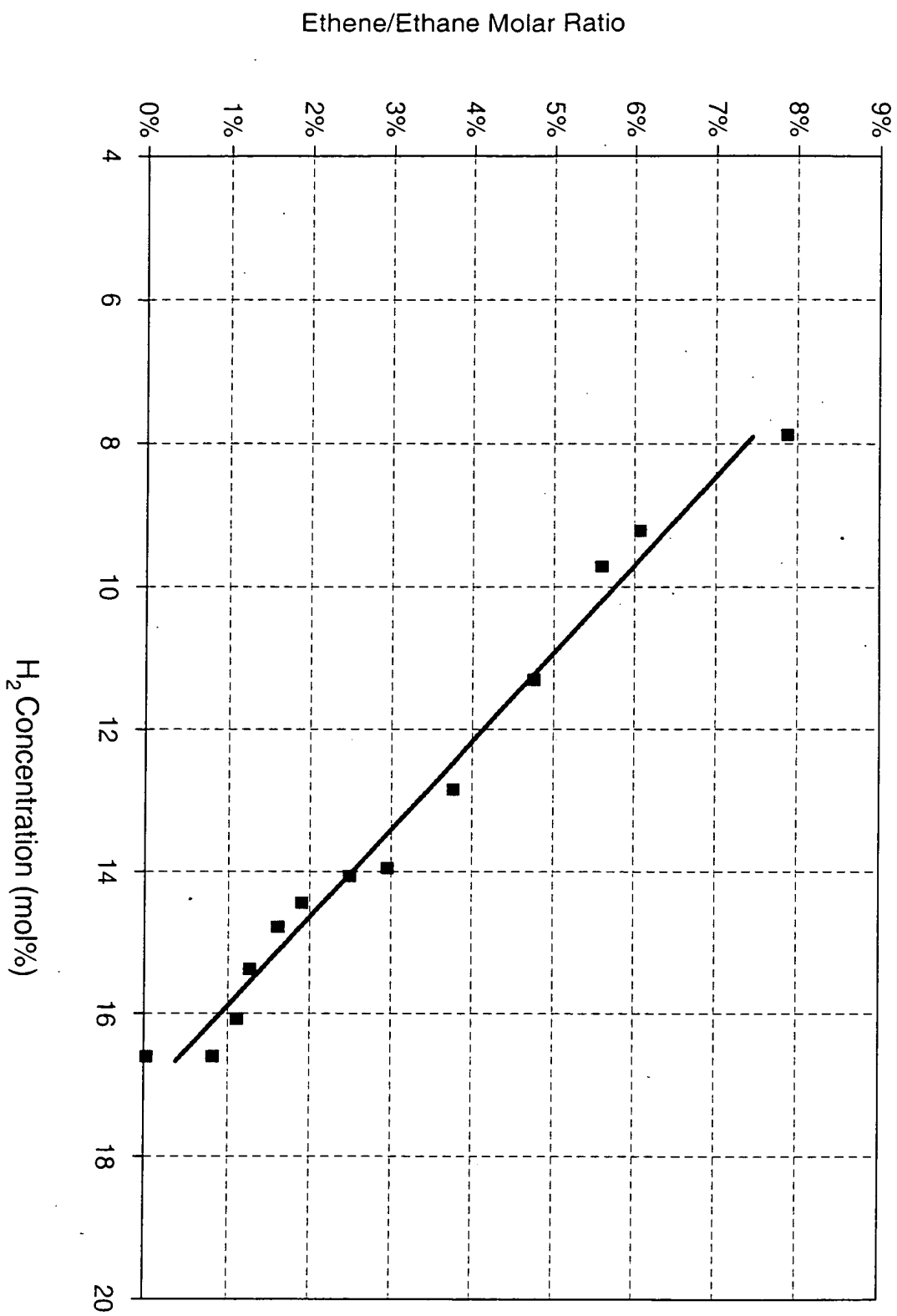


FIG. 103

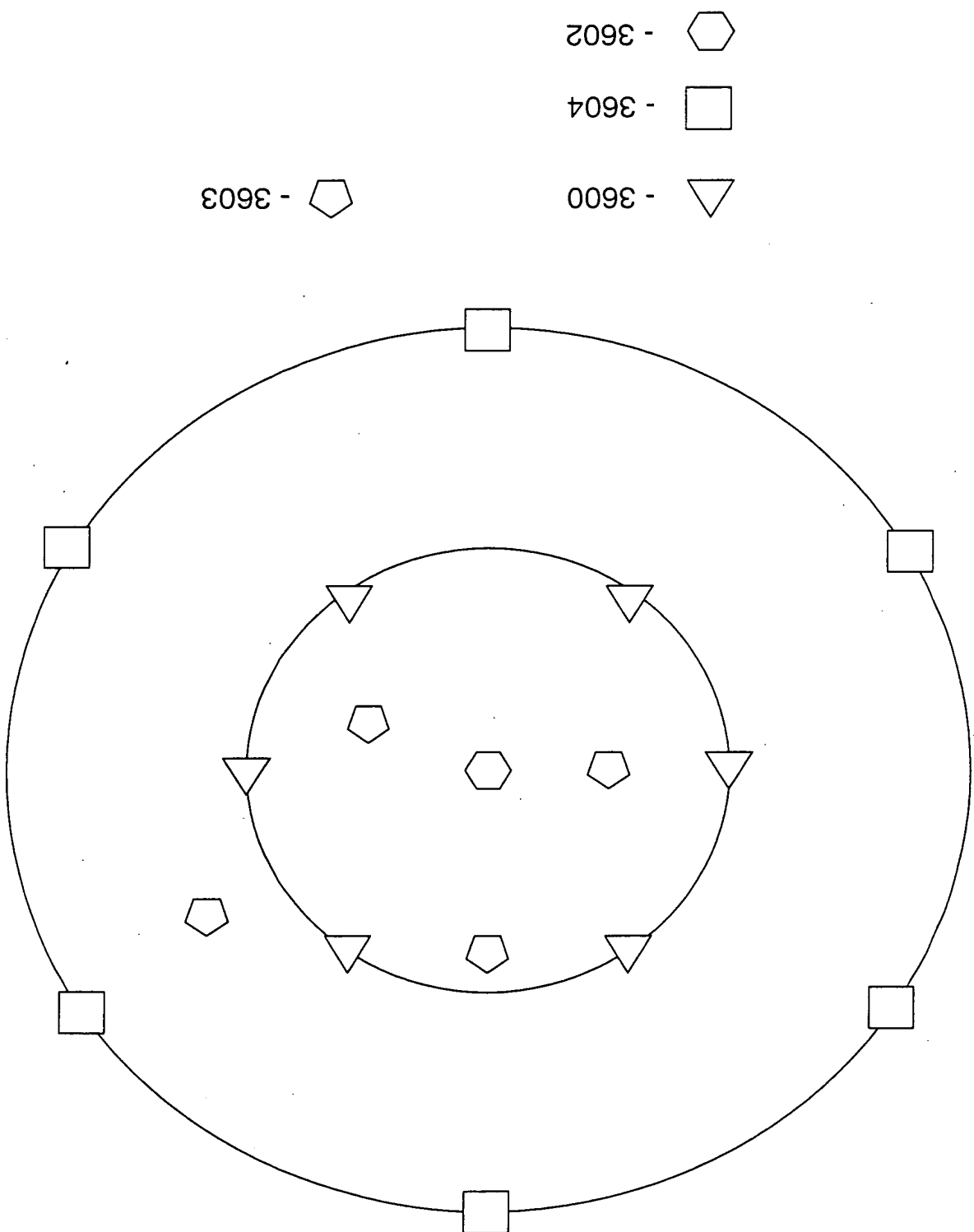


FIG. 104

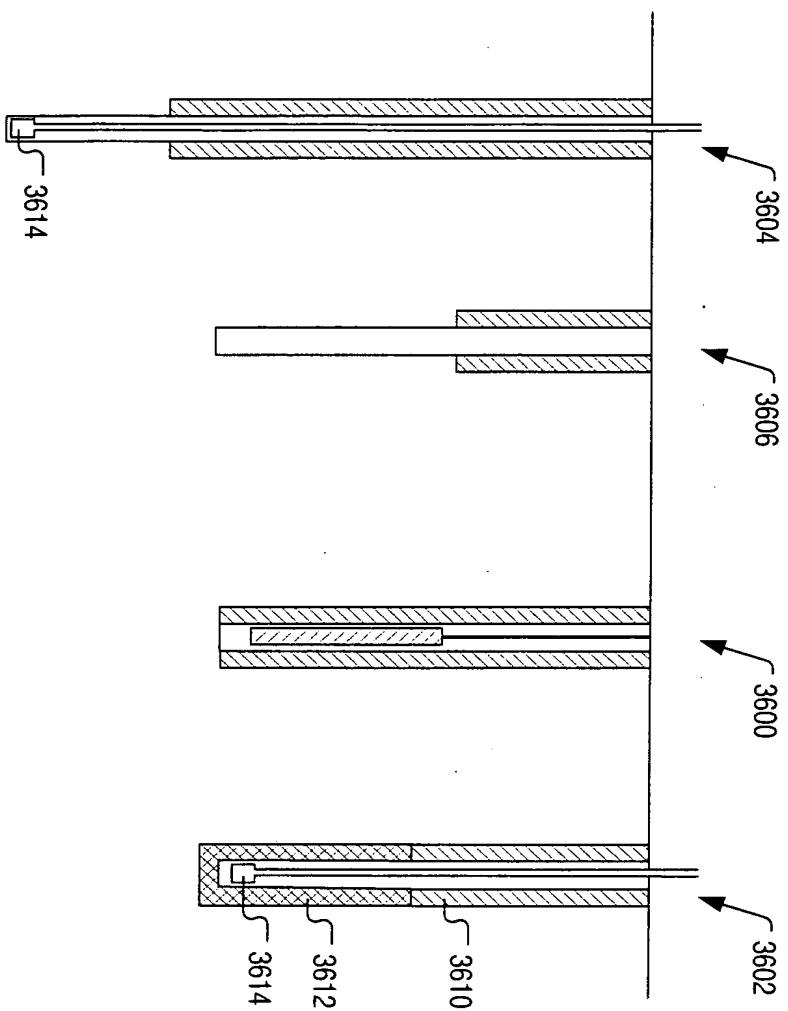


FIG. 105

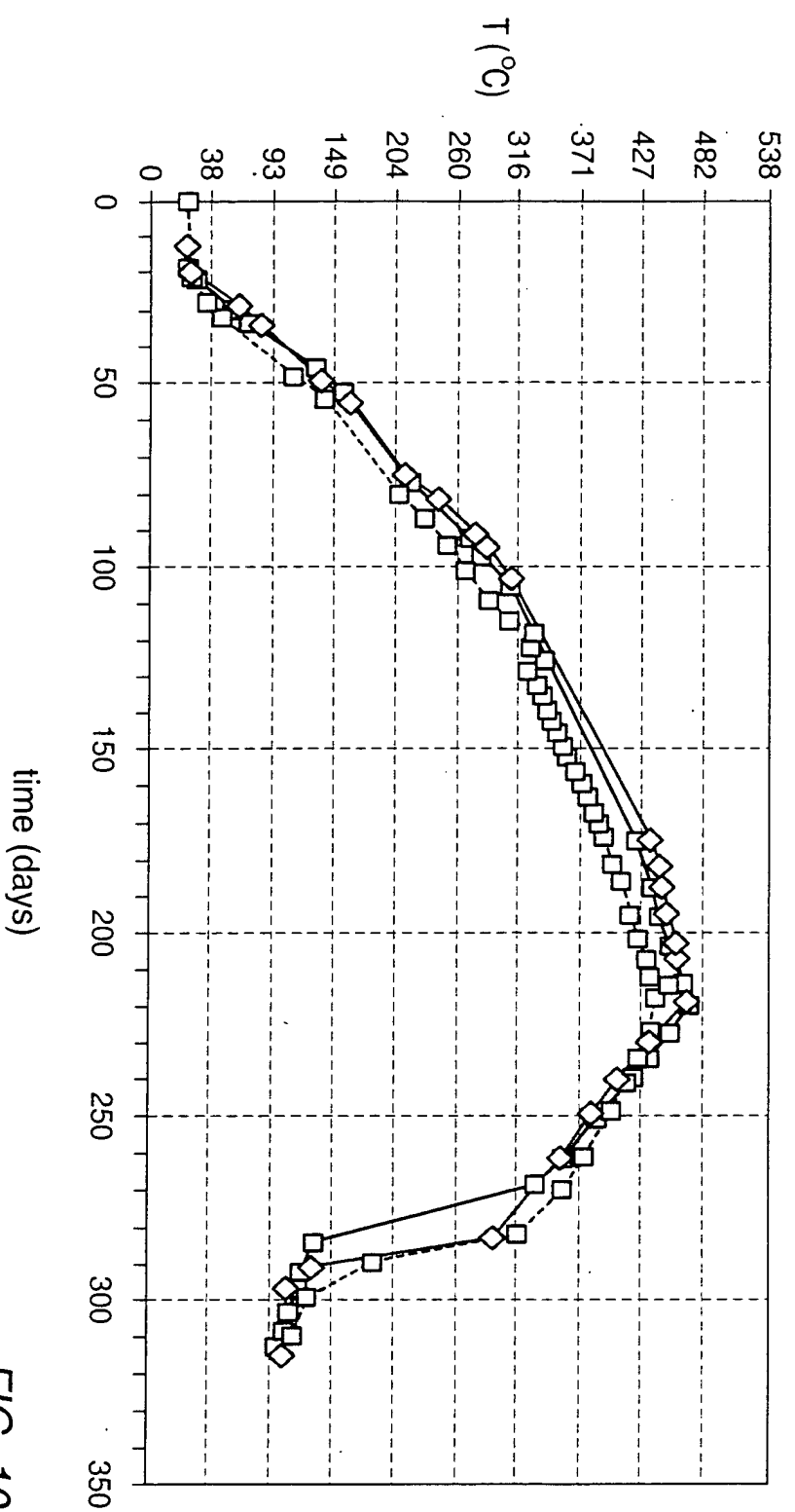


FIG. 106

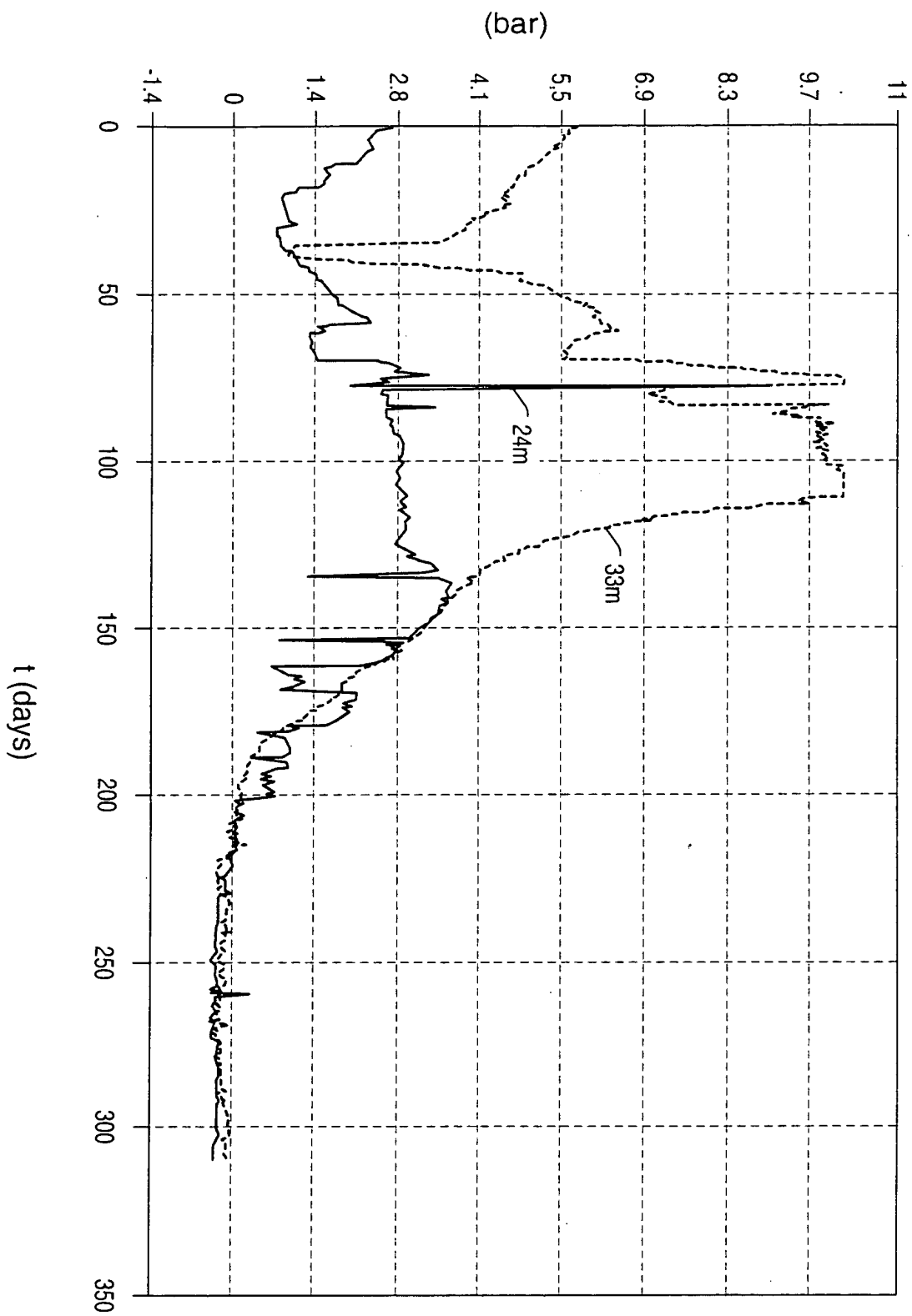
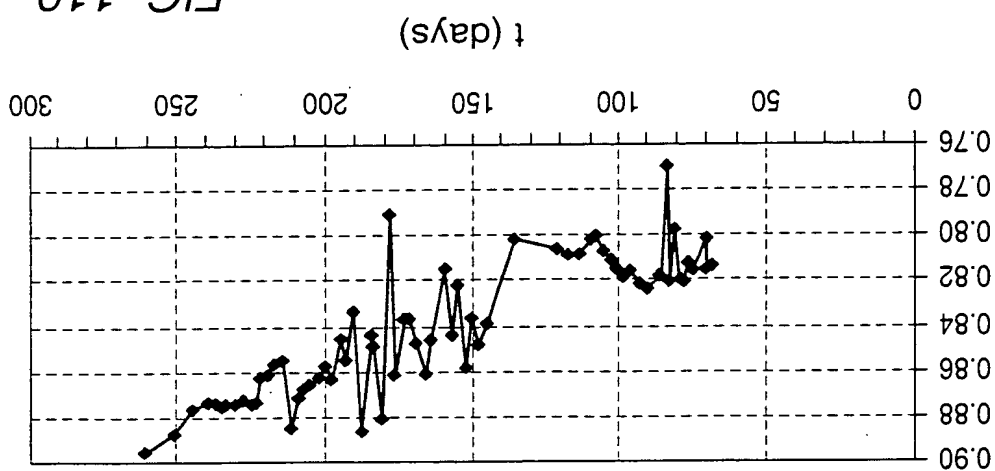
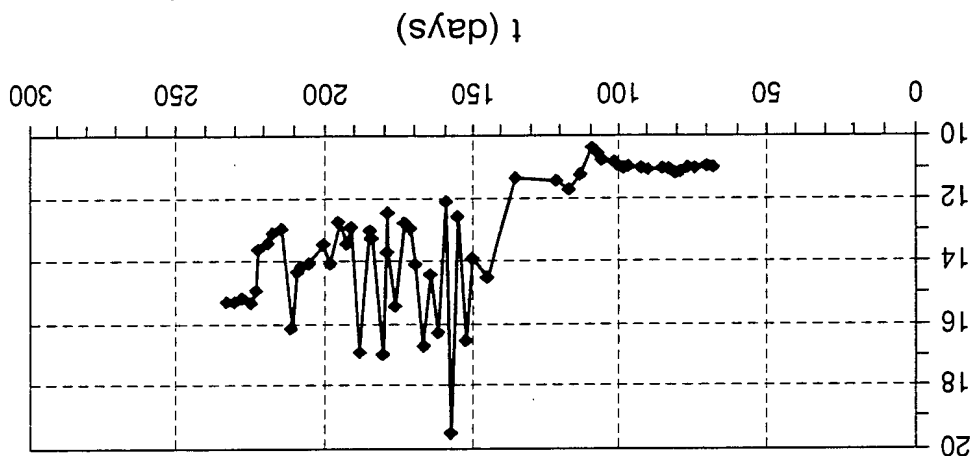


FIG. 107

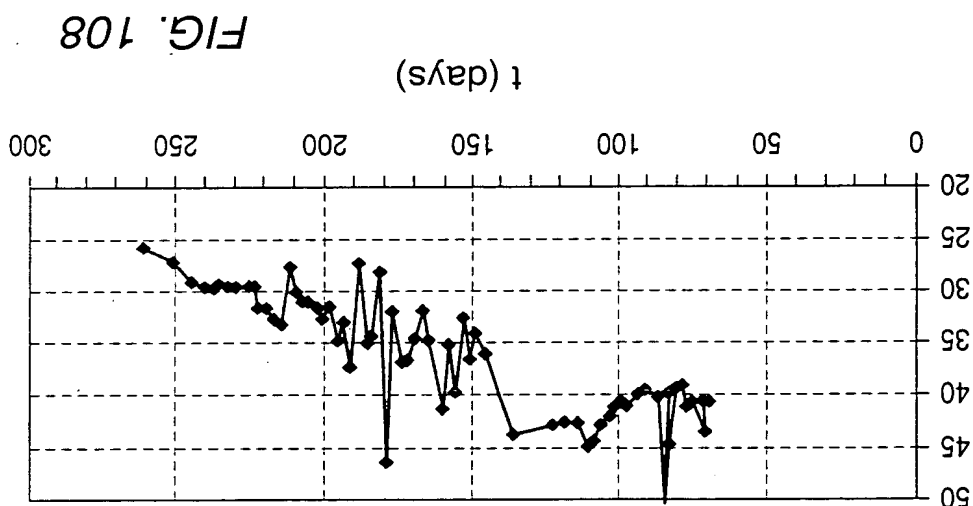
Oil Density (g/cc)



Carbon Number



API Gravity (°)



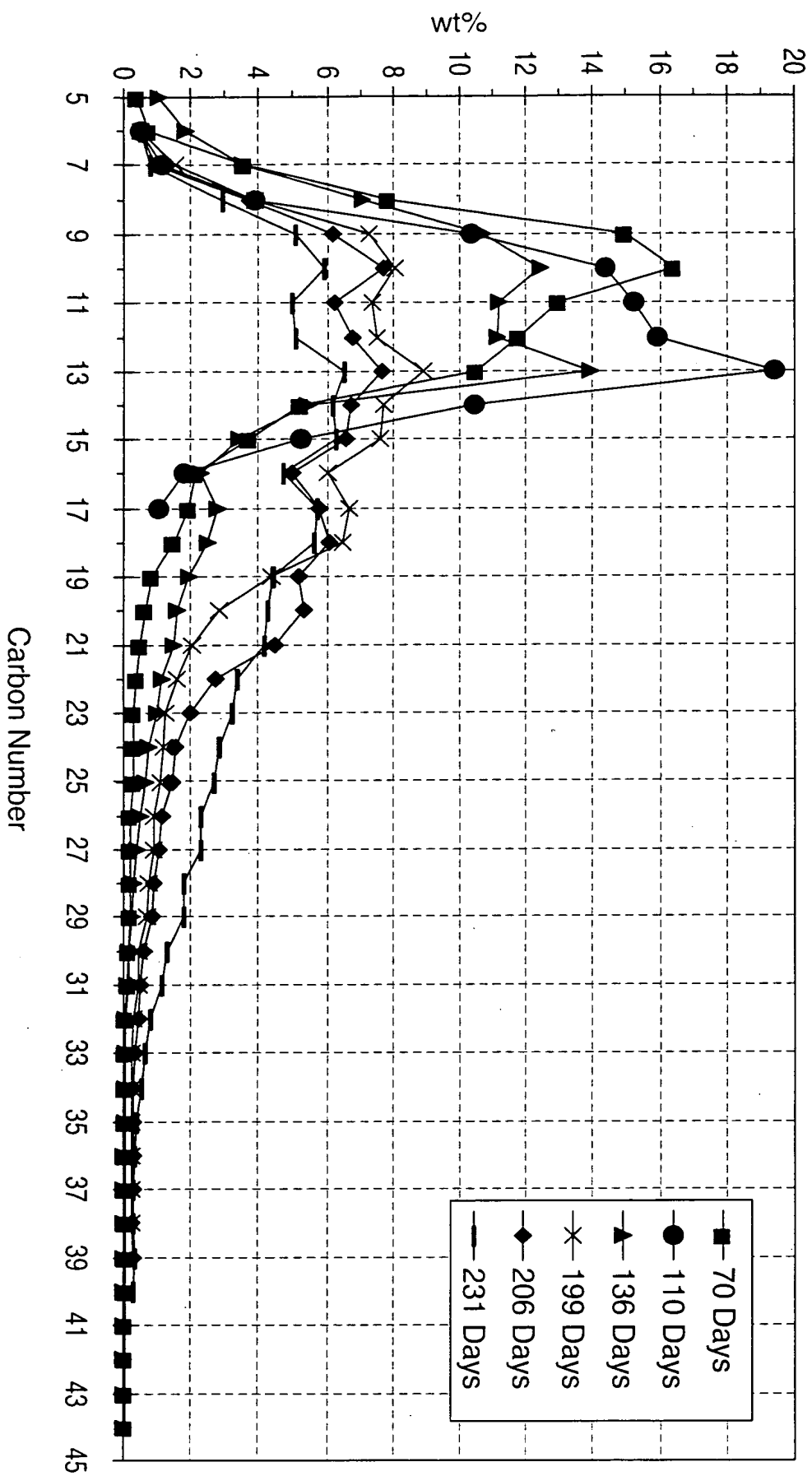


FIG. 111

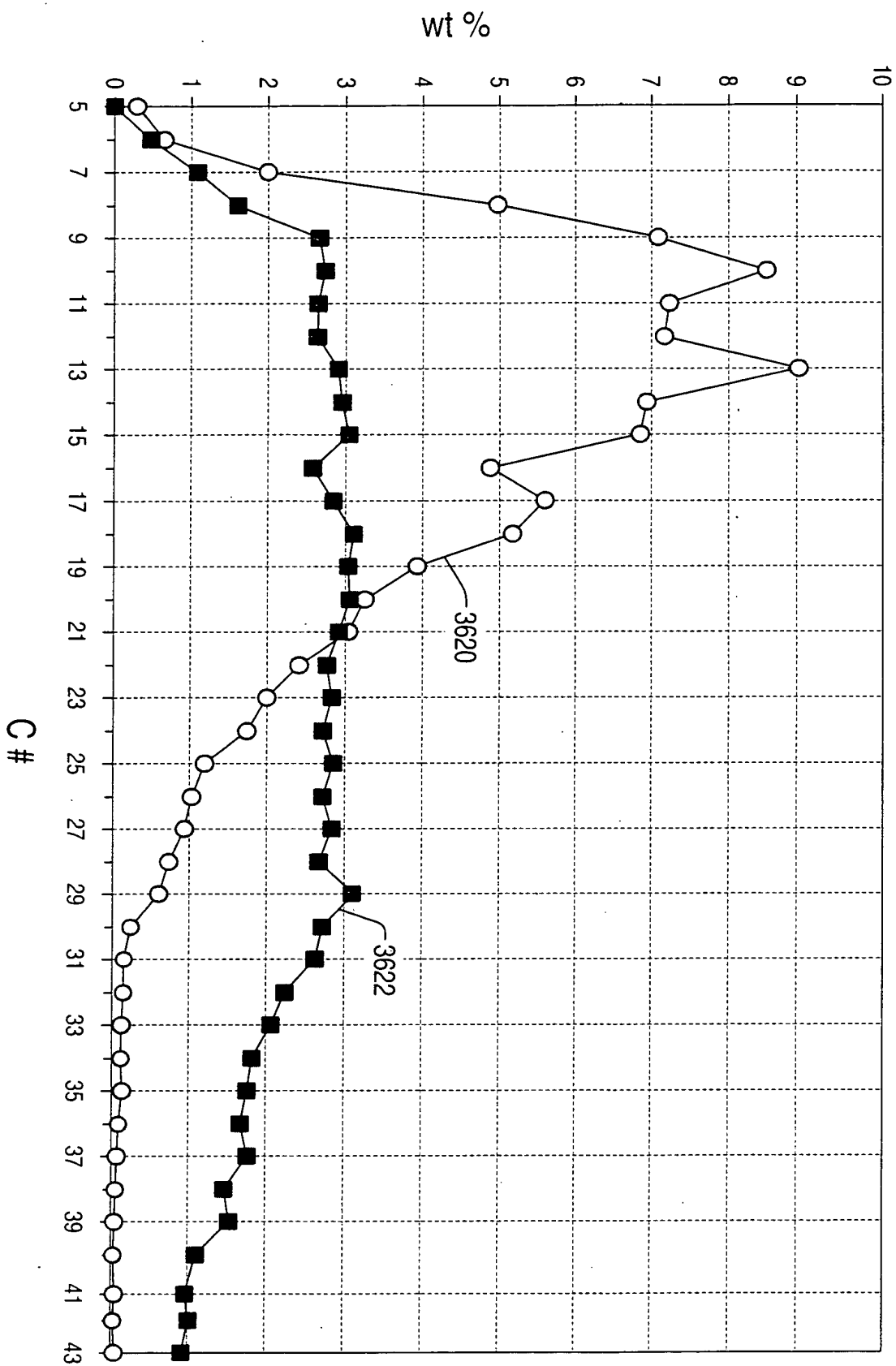


FIG. 112

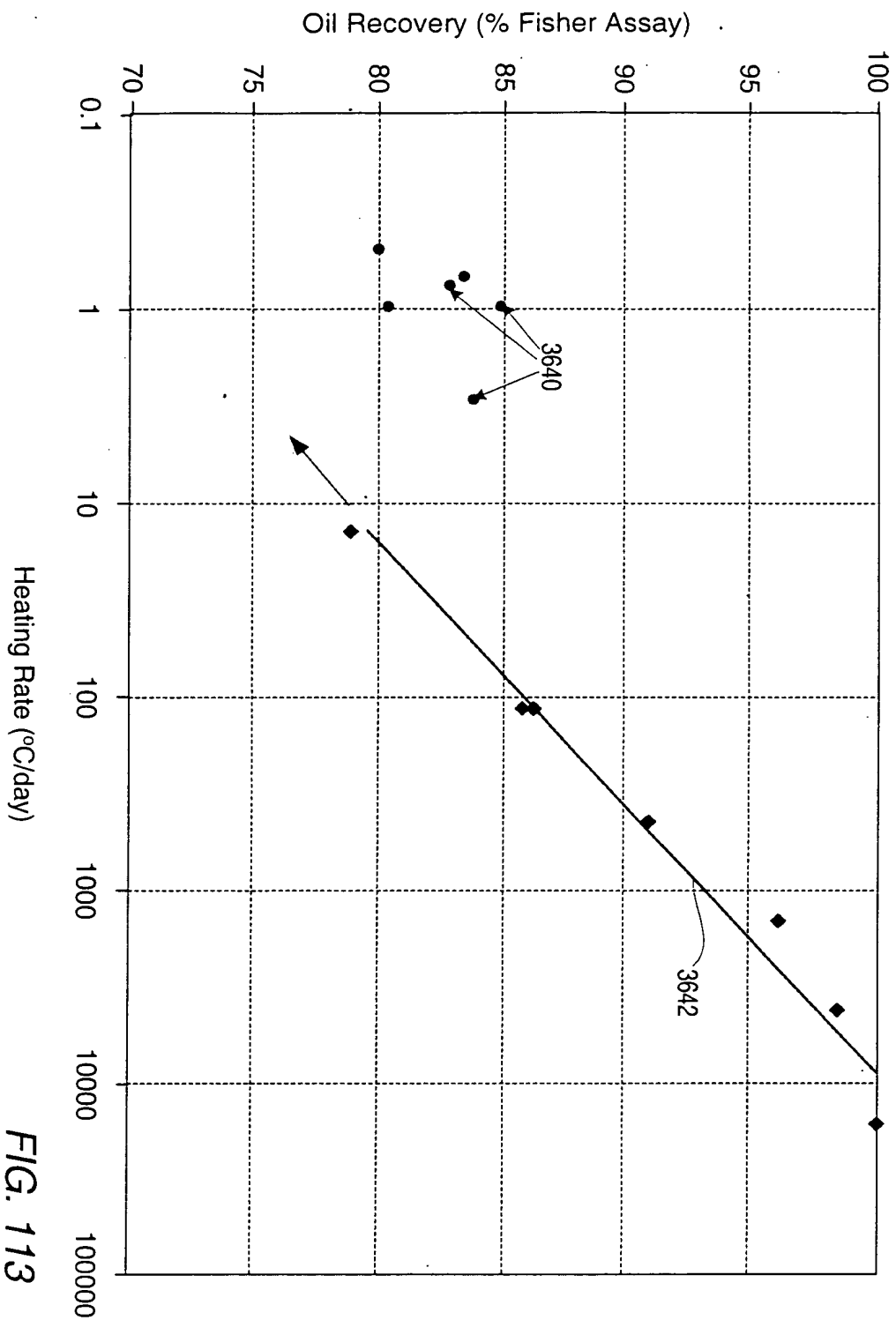


FIG. 113

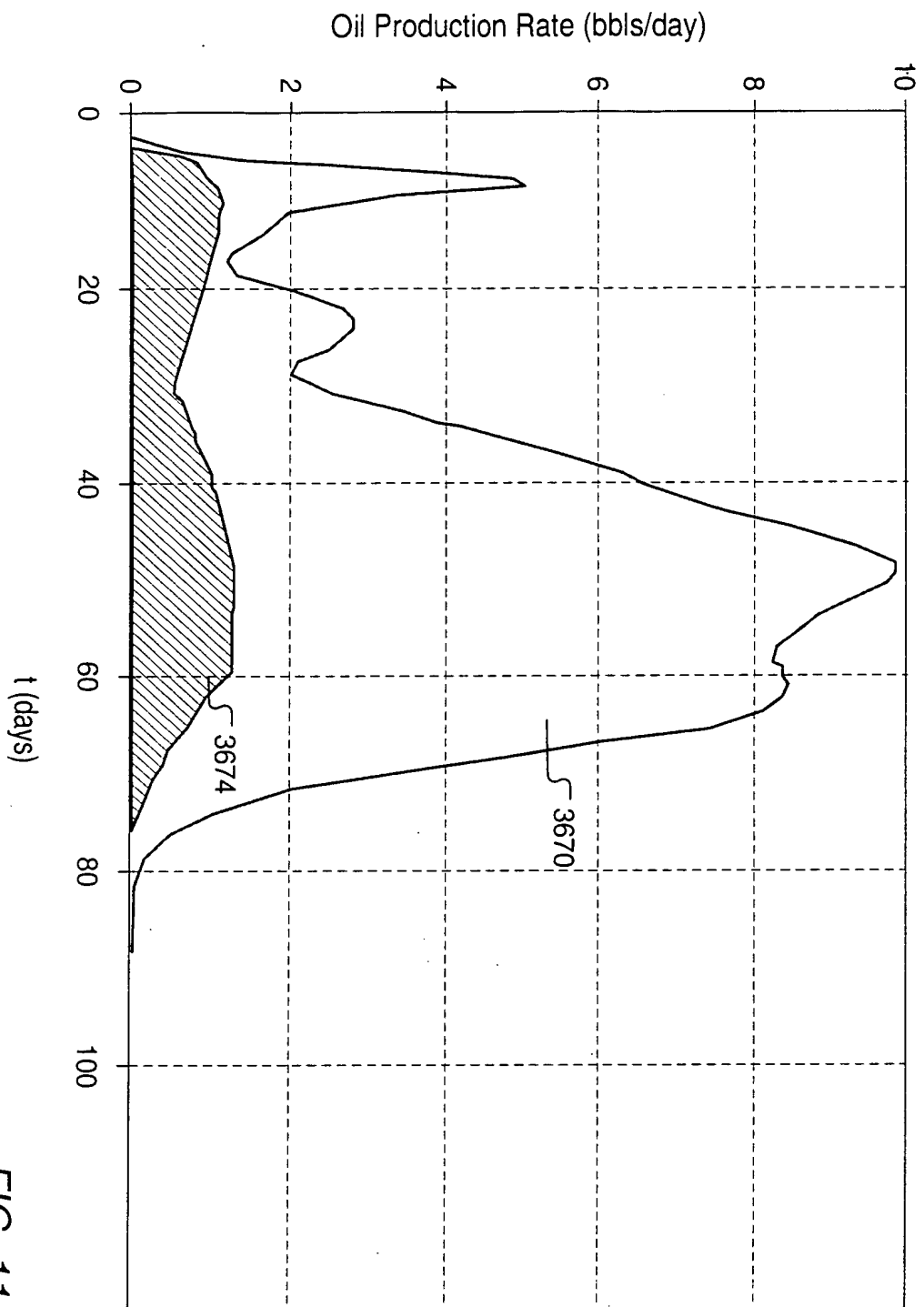
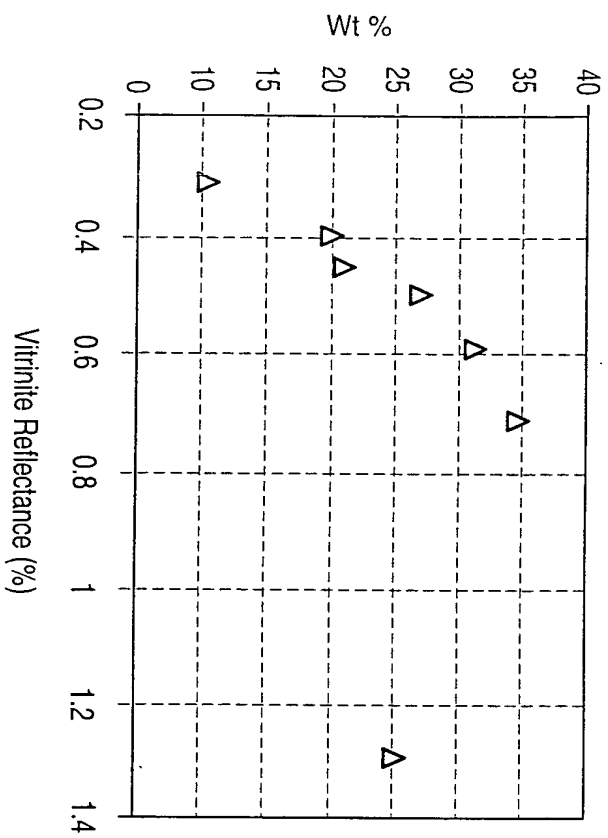


FIG. 114



Vitrinite Reflectance (%)

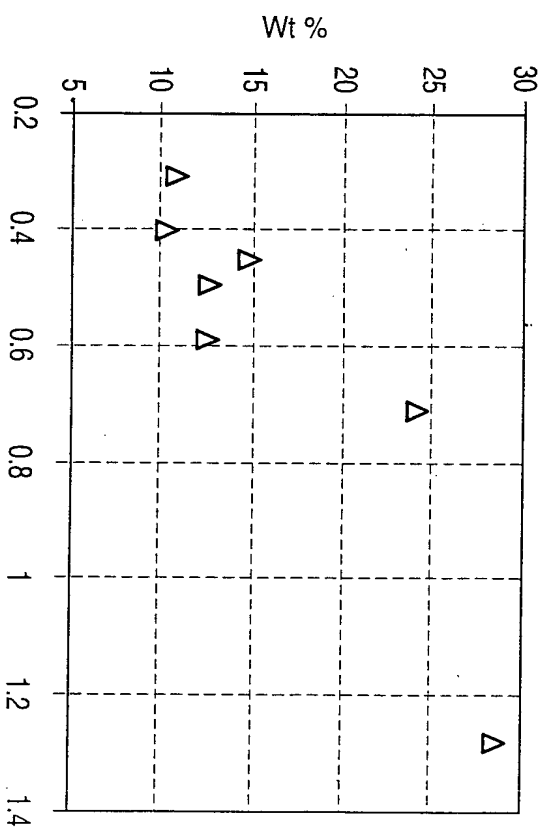
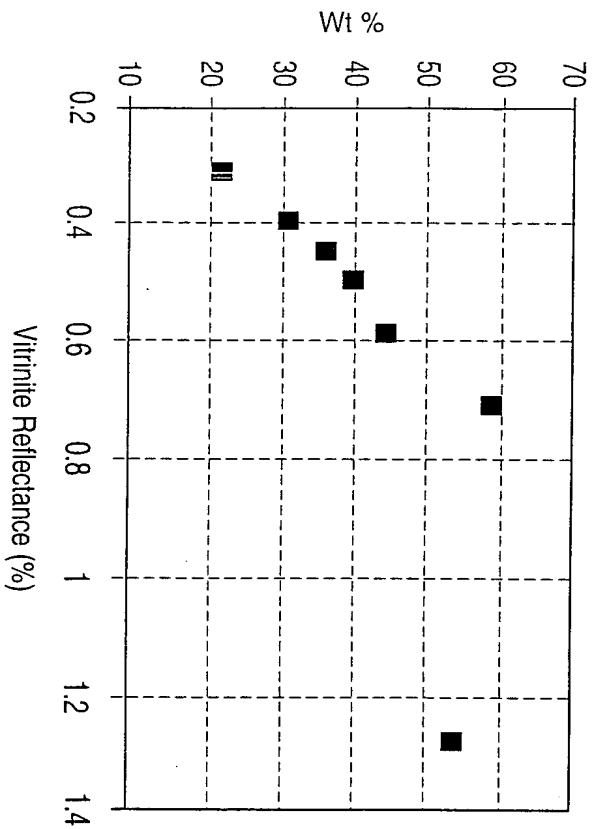


FIG. 115

FIG. 116



Vitrinite Reflectance (%)

Vitrinite Reflectance (%)

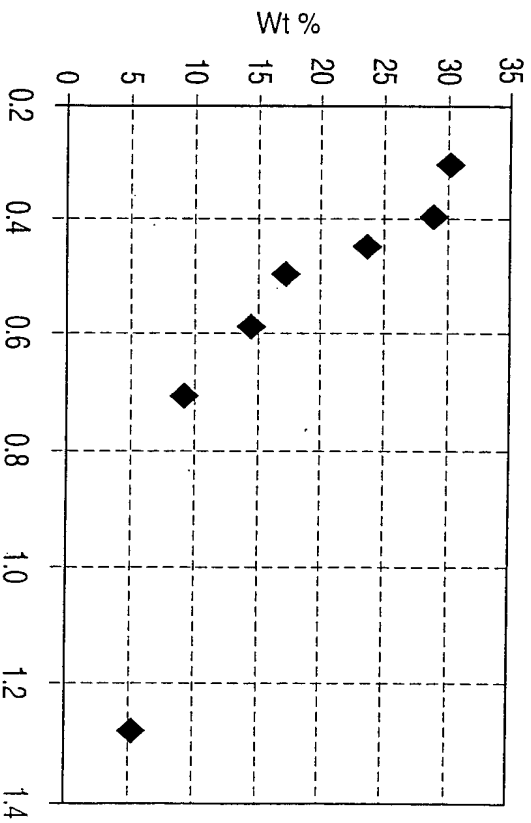


FIG. 120

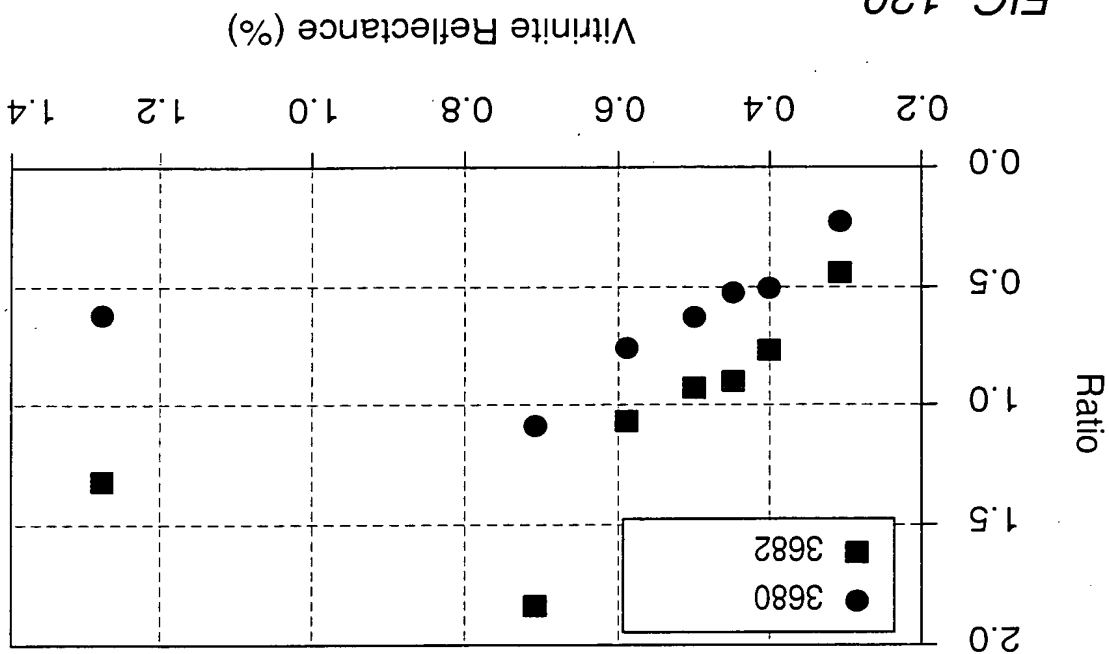
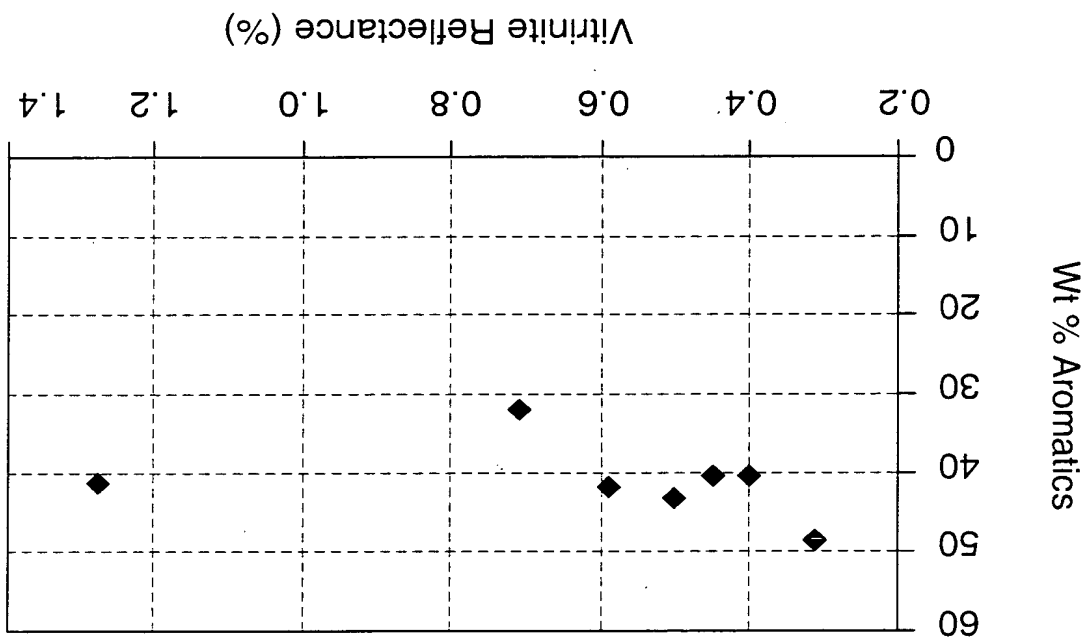


FIG. 119



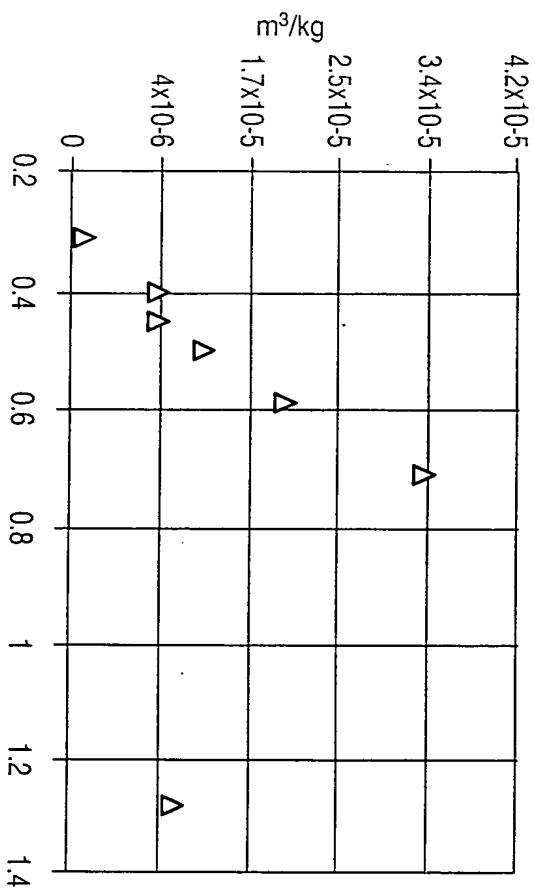


FIG. 121

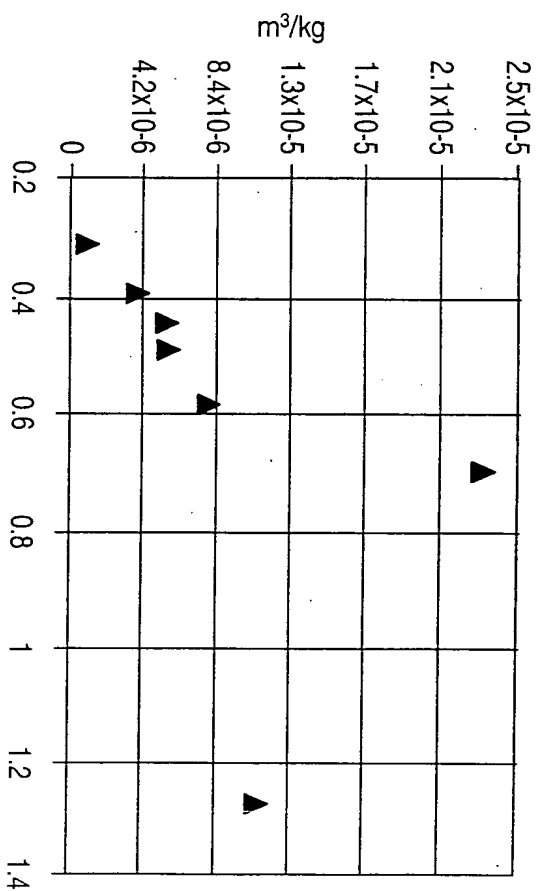


FIG. 122

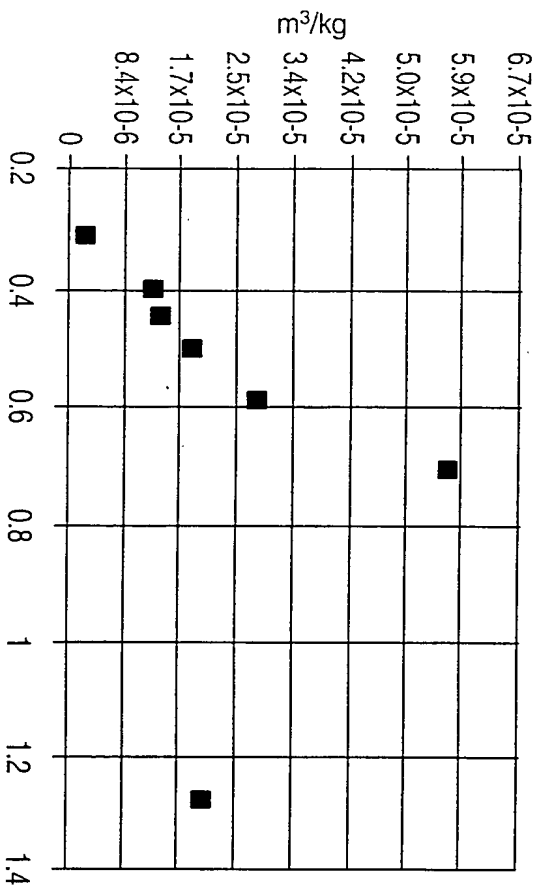


FIG. 123

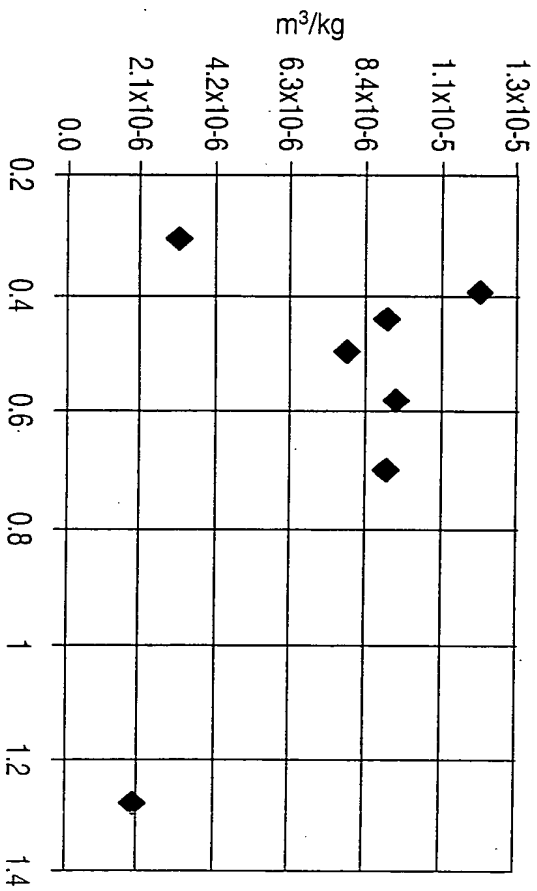


FIG. 124

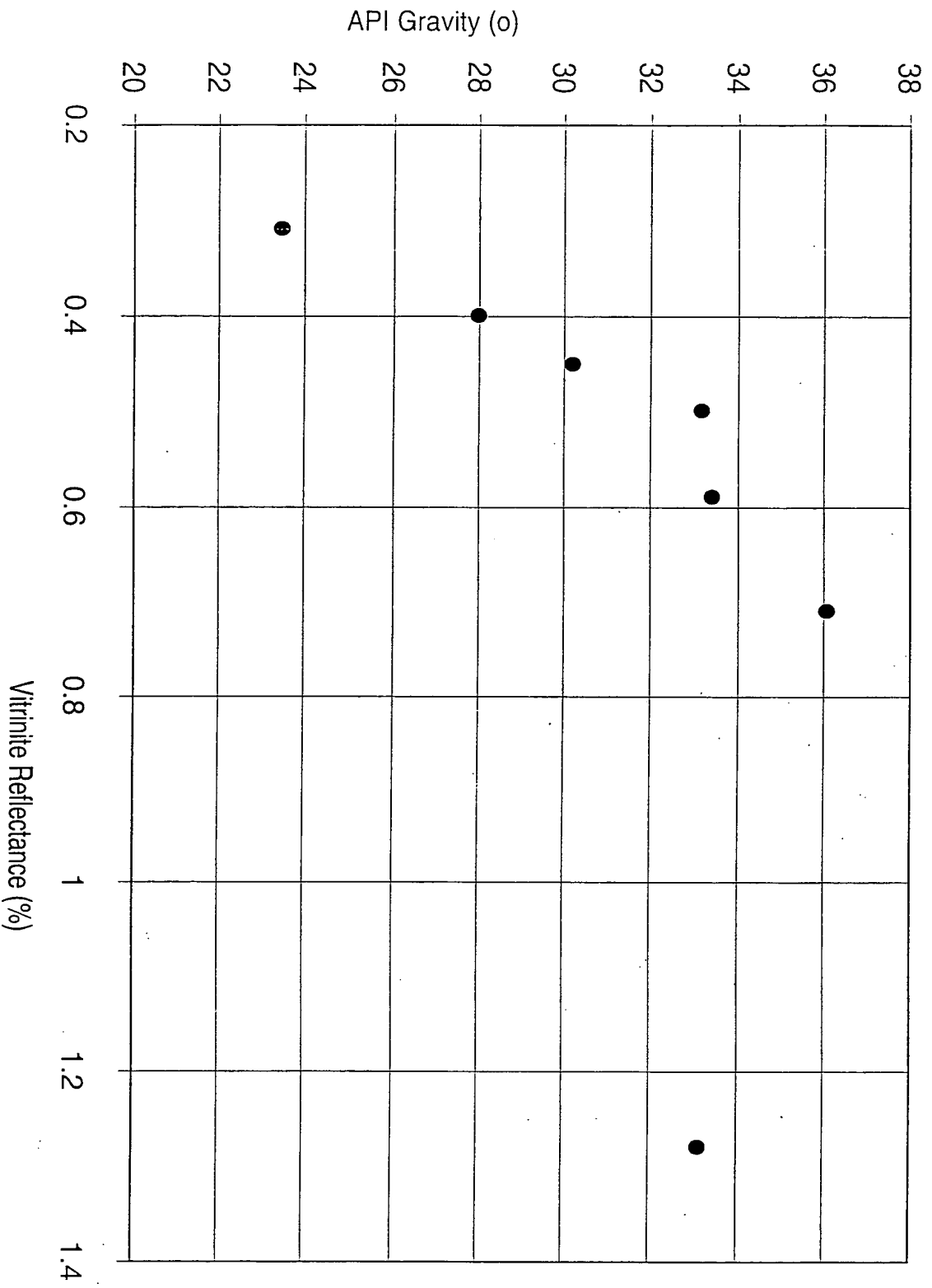


FIG. 125

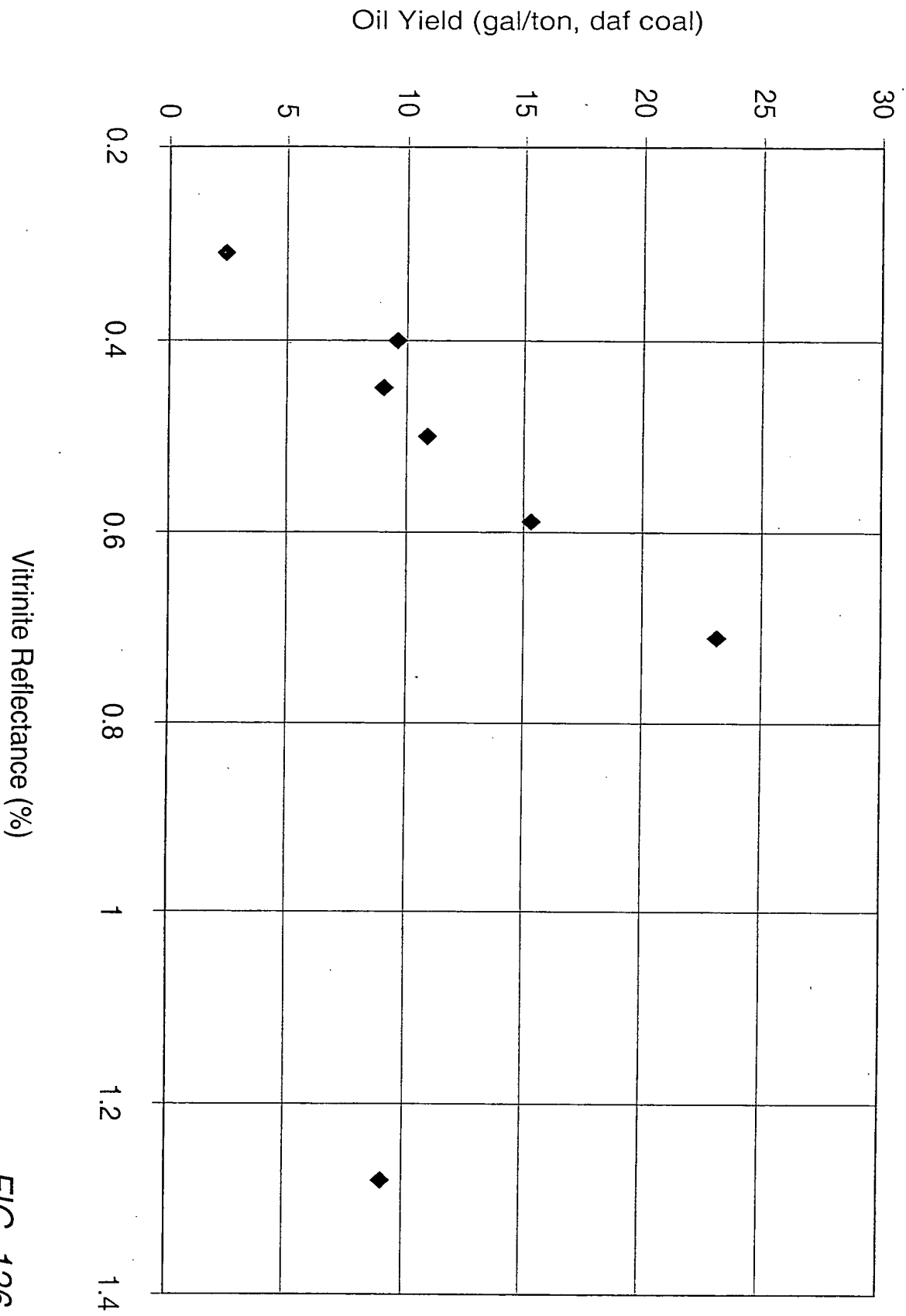


FIG. 126

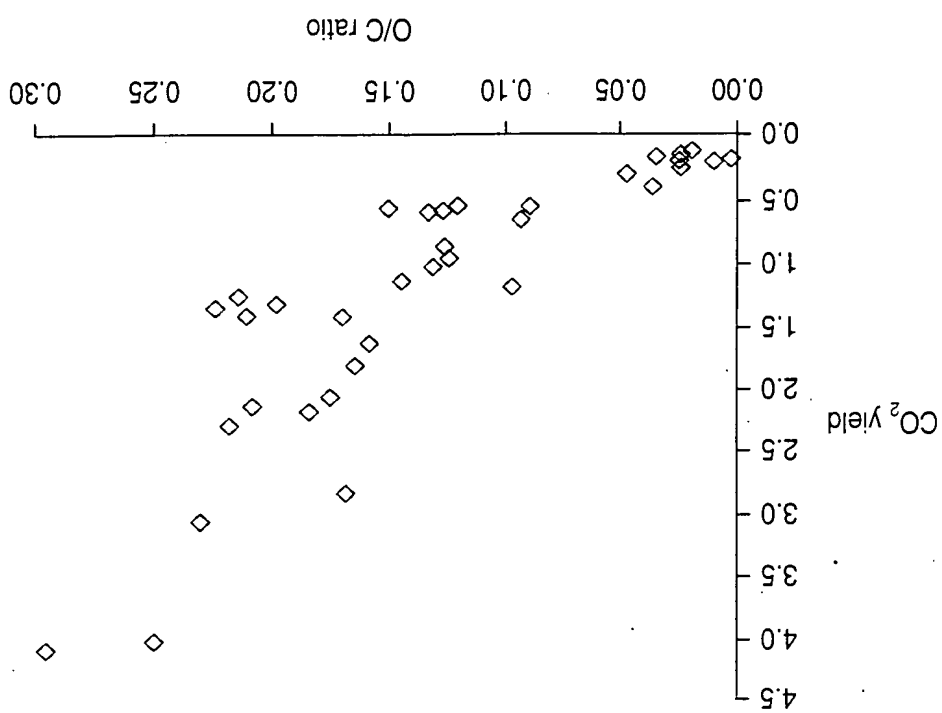


FIG. 128

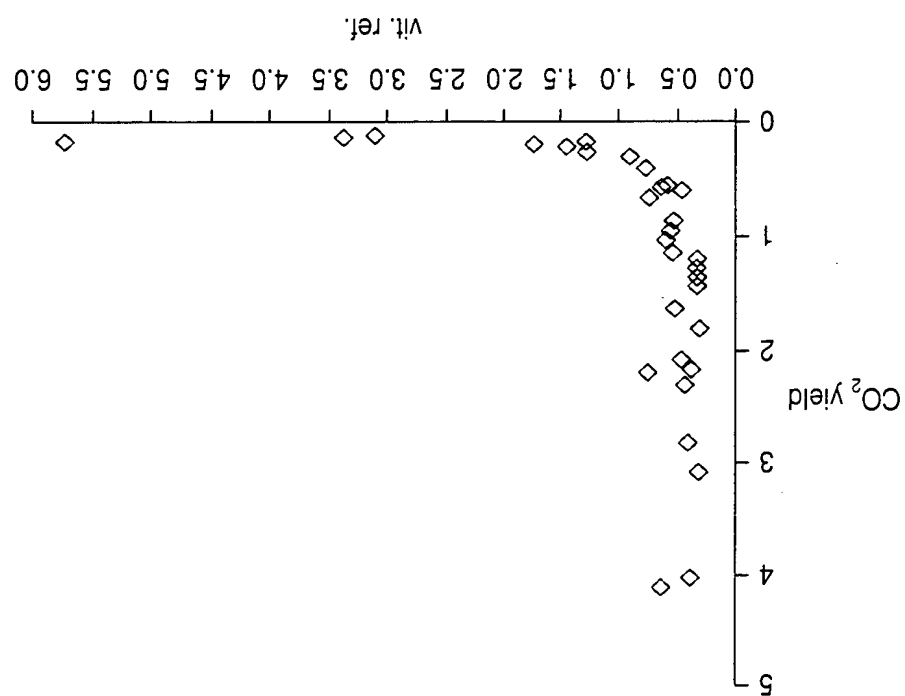


FIG. 127

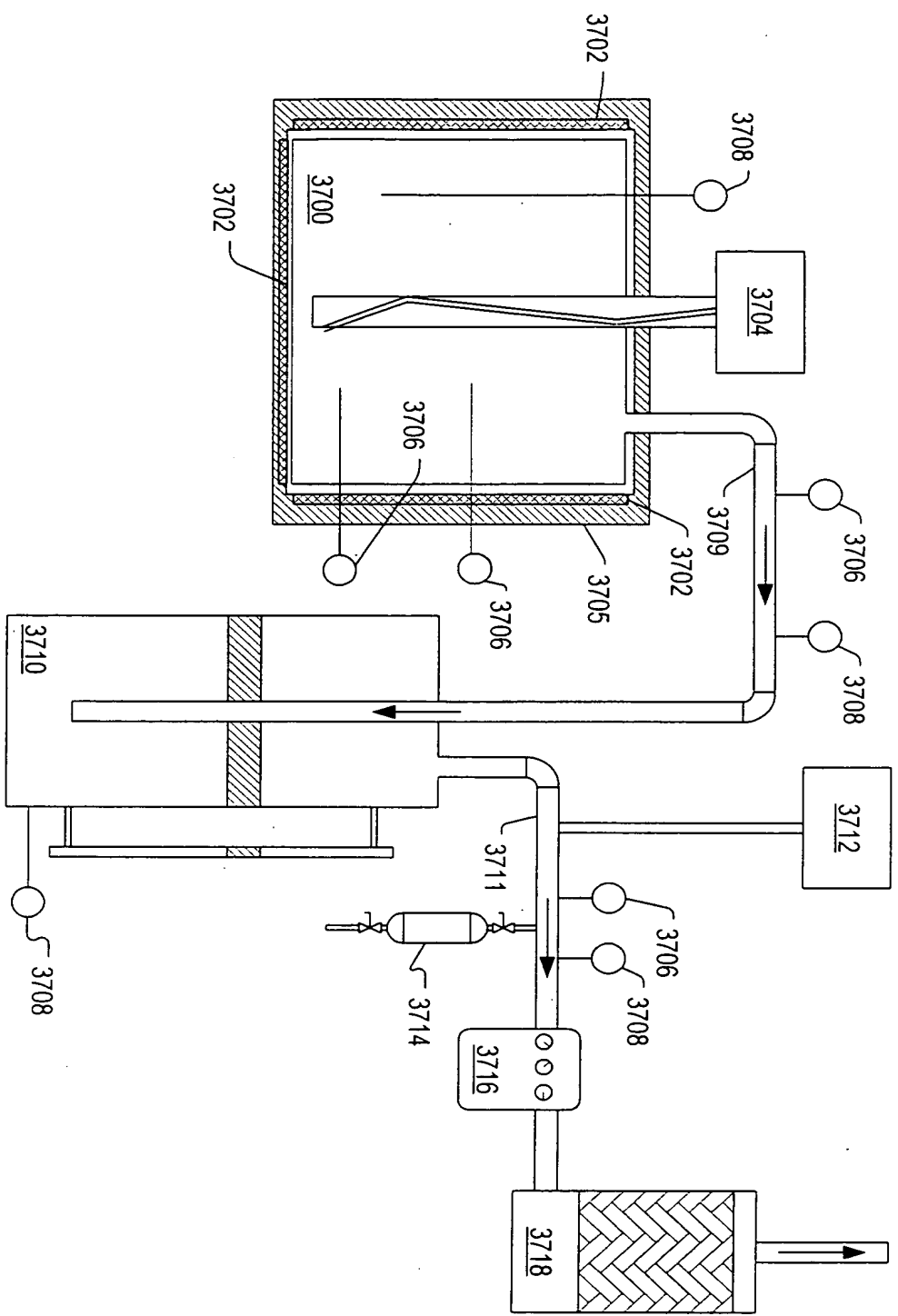


FIG. 129

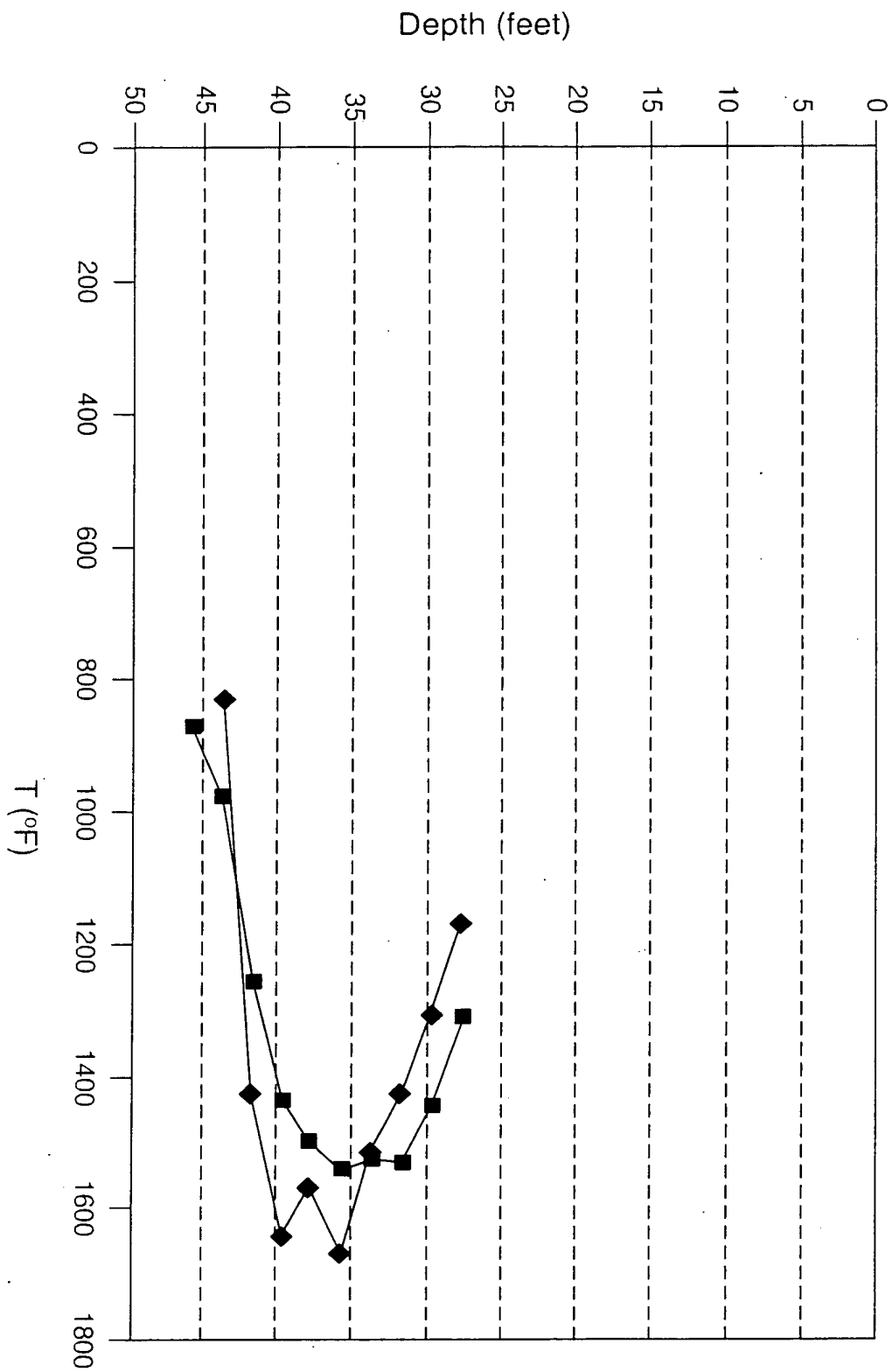


FIG. 130

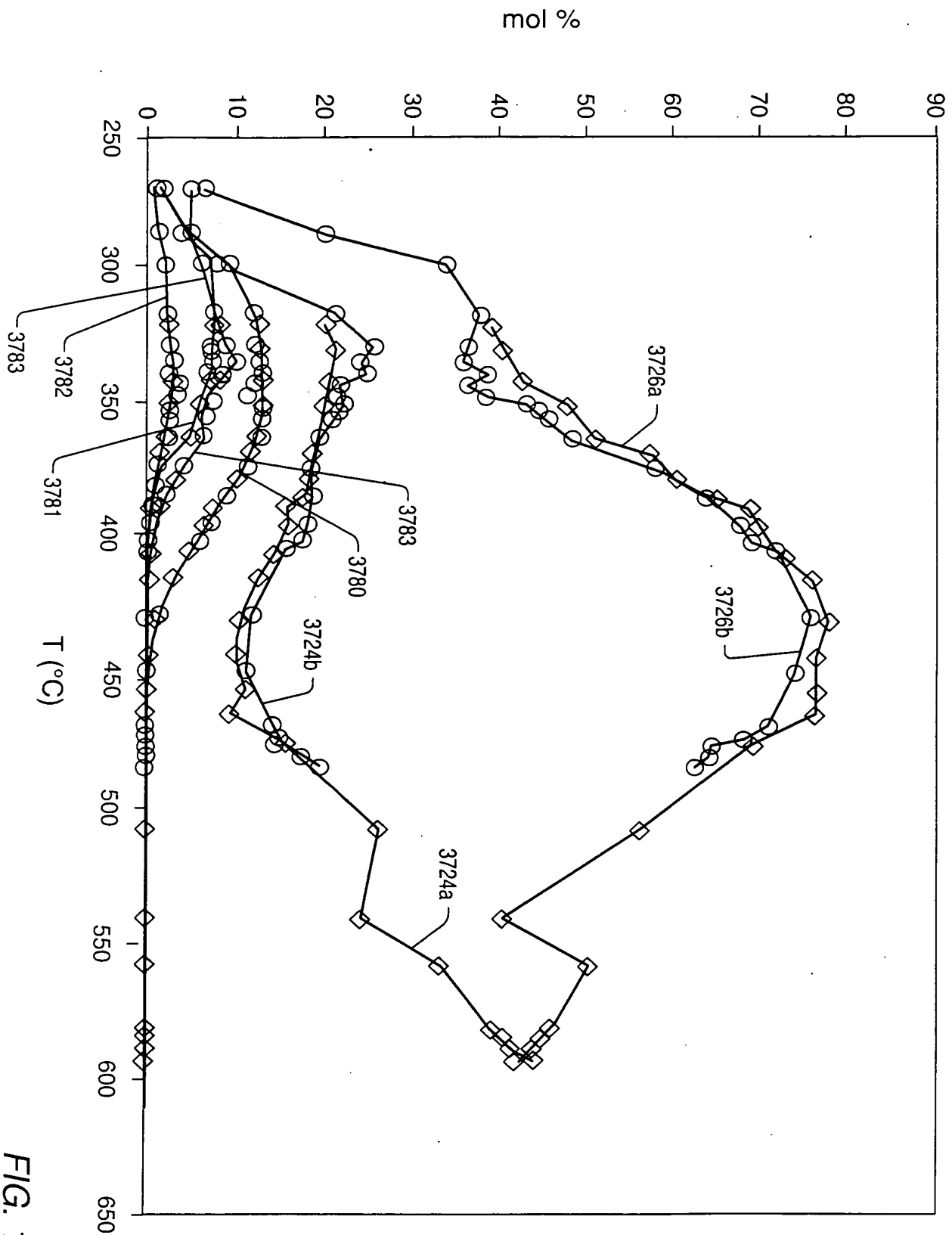


FIG. 131

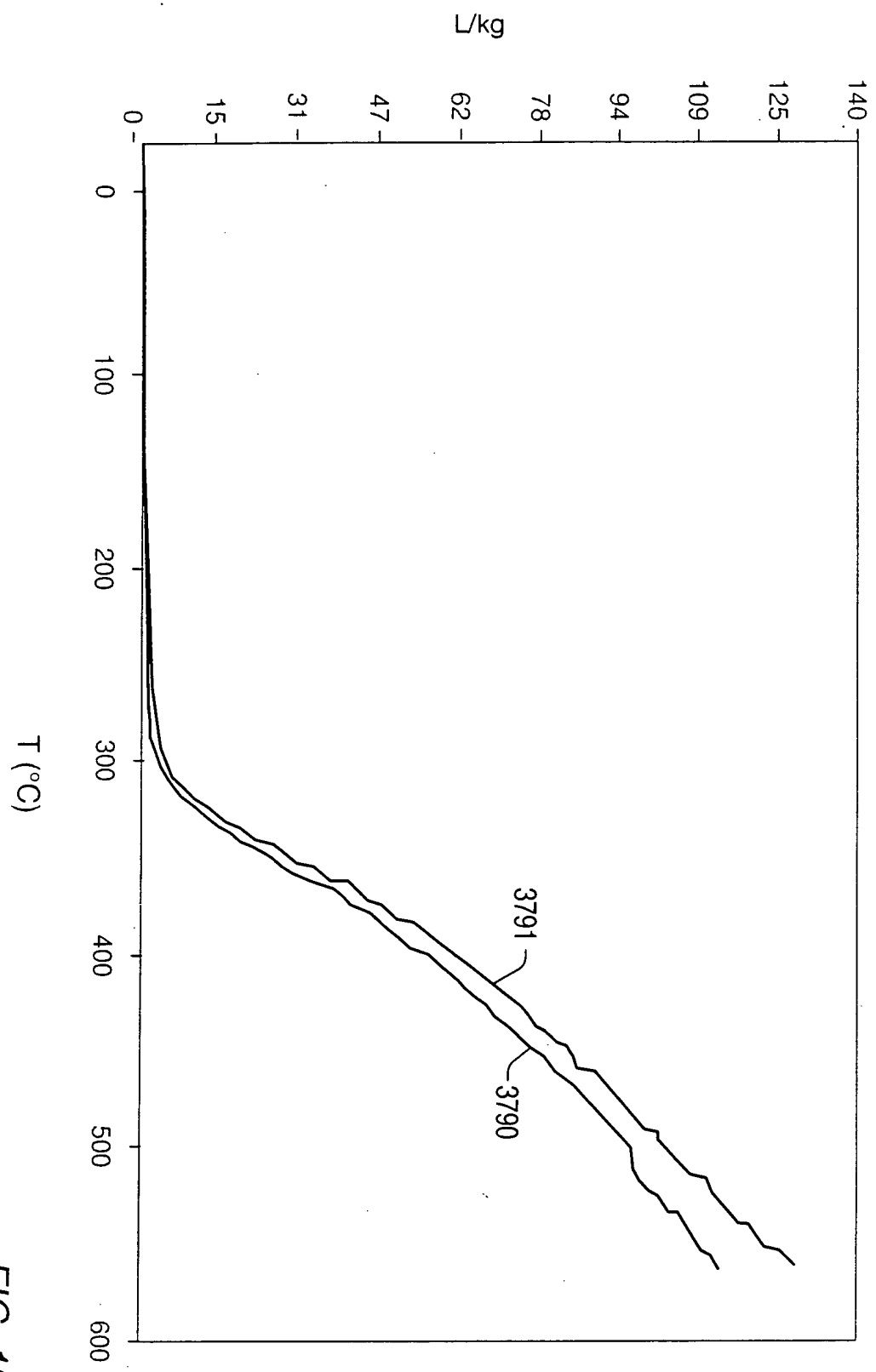


FIG. 132

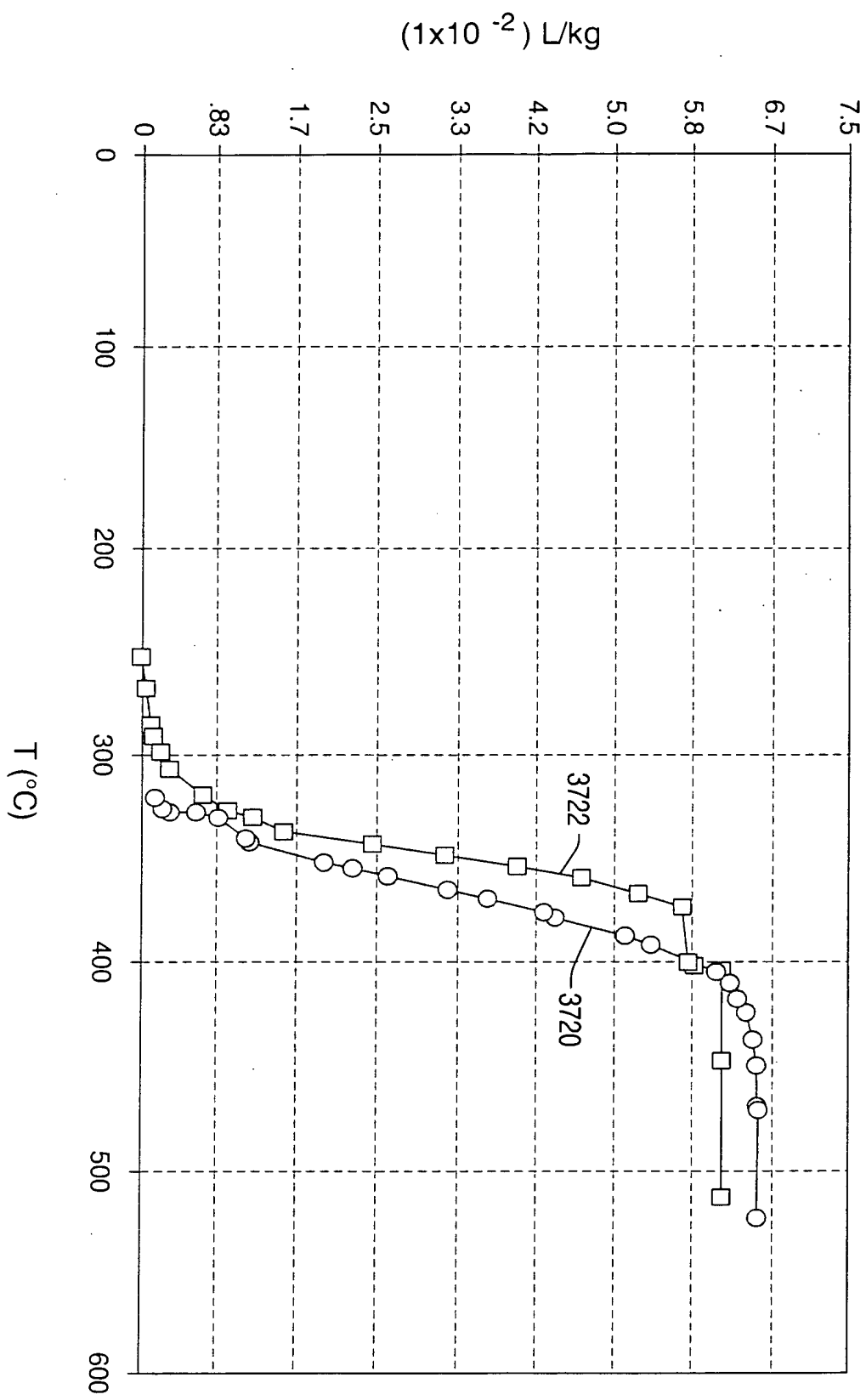


FIG. 133

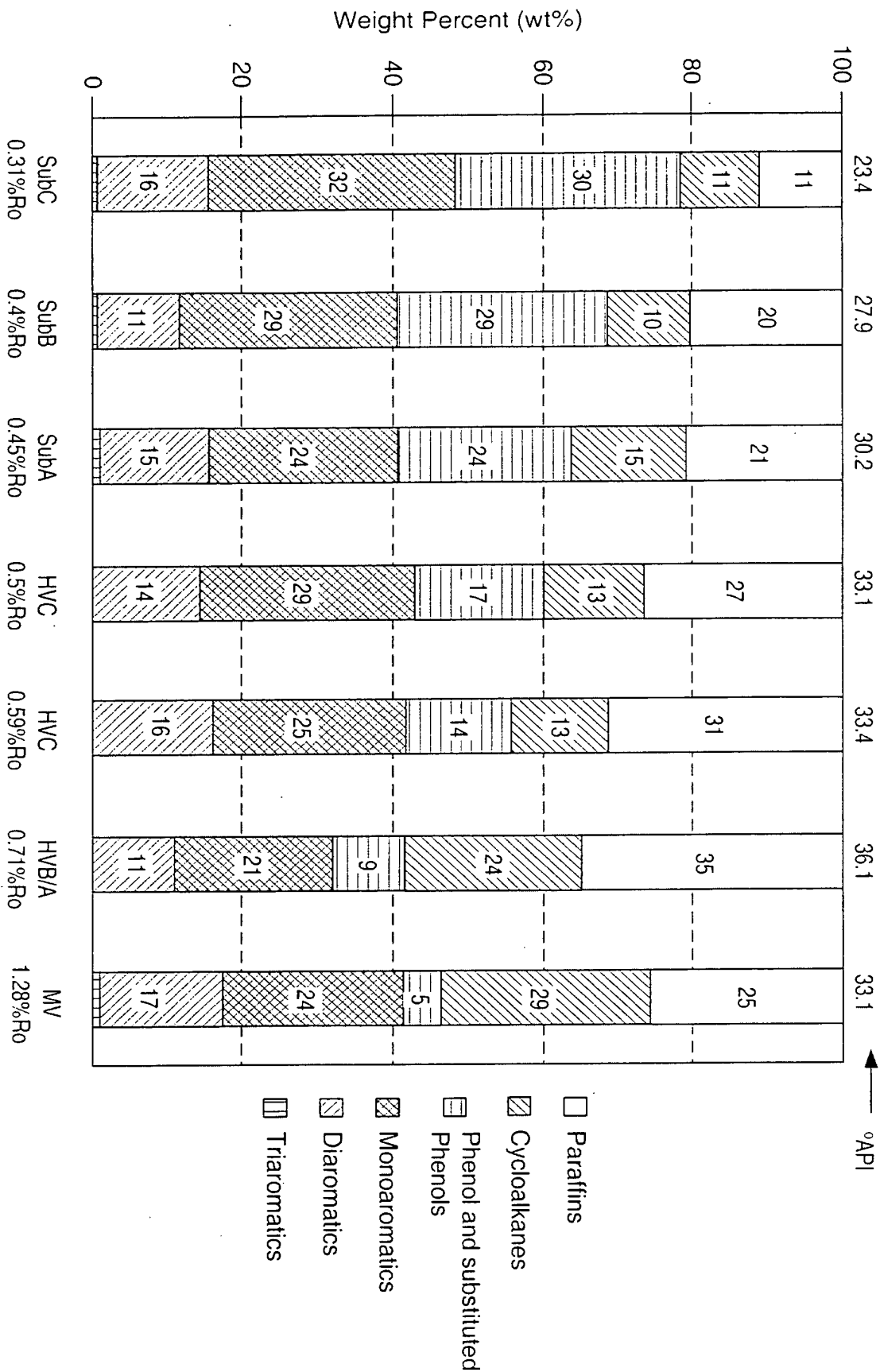


FIG. 134

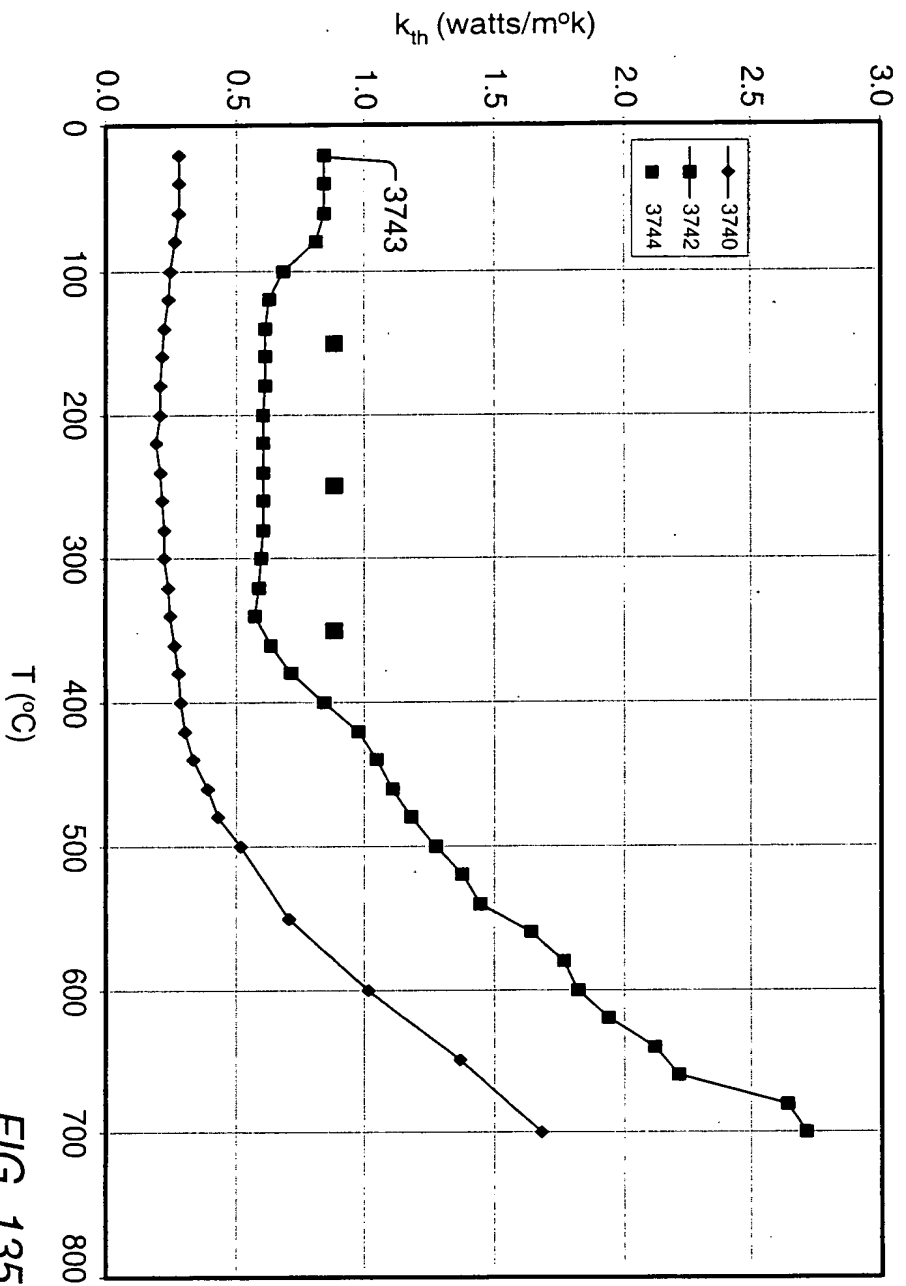


FIG. 135

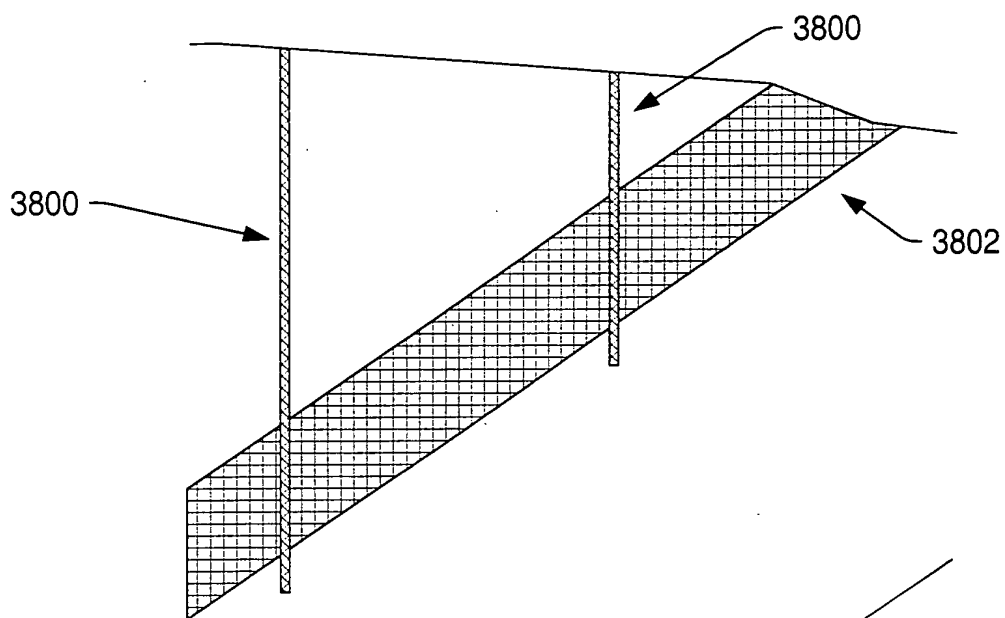


FIG. 136

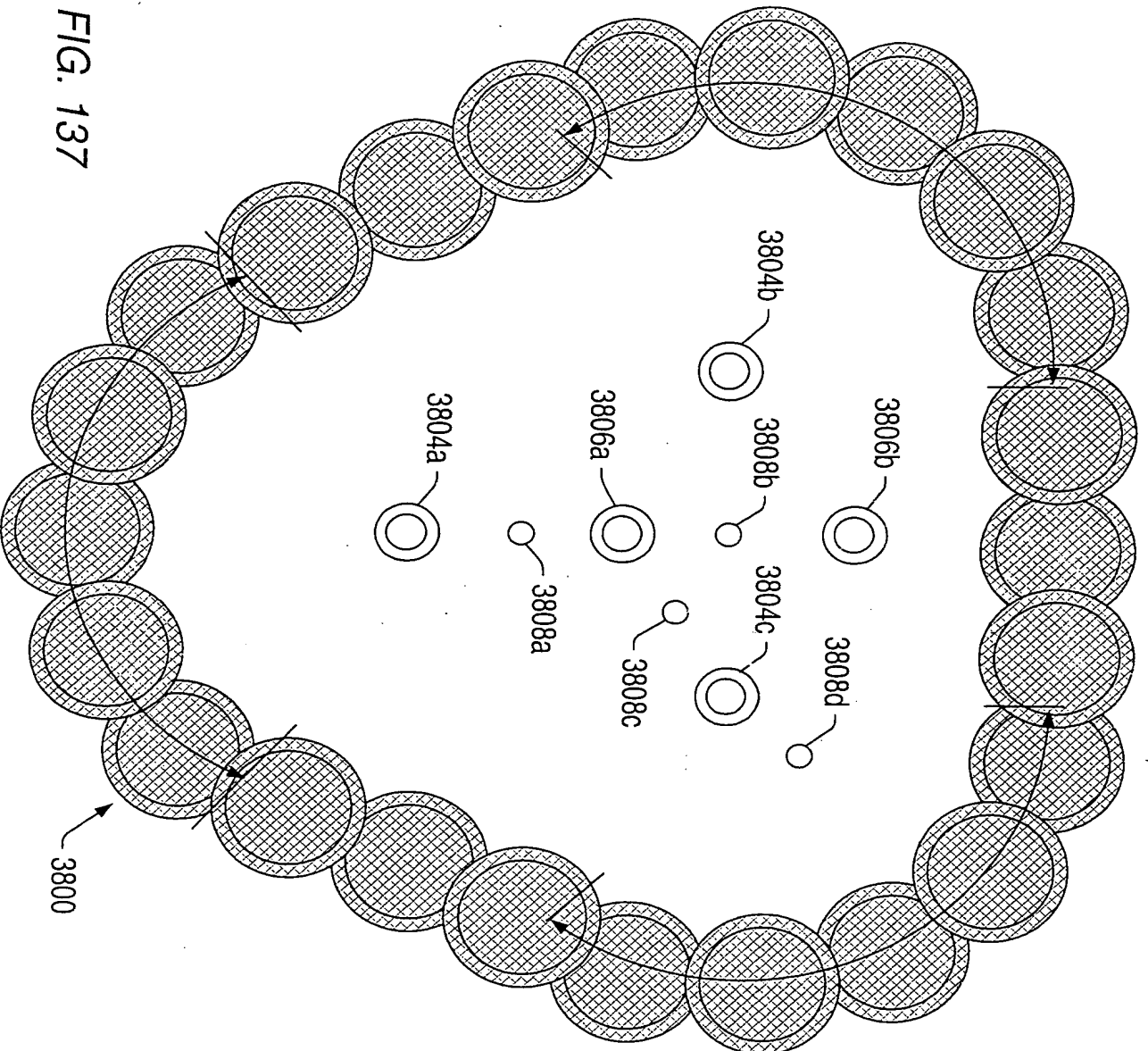


FIG. 137

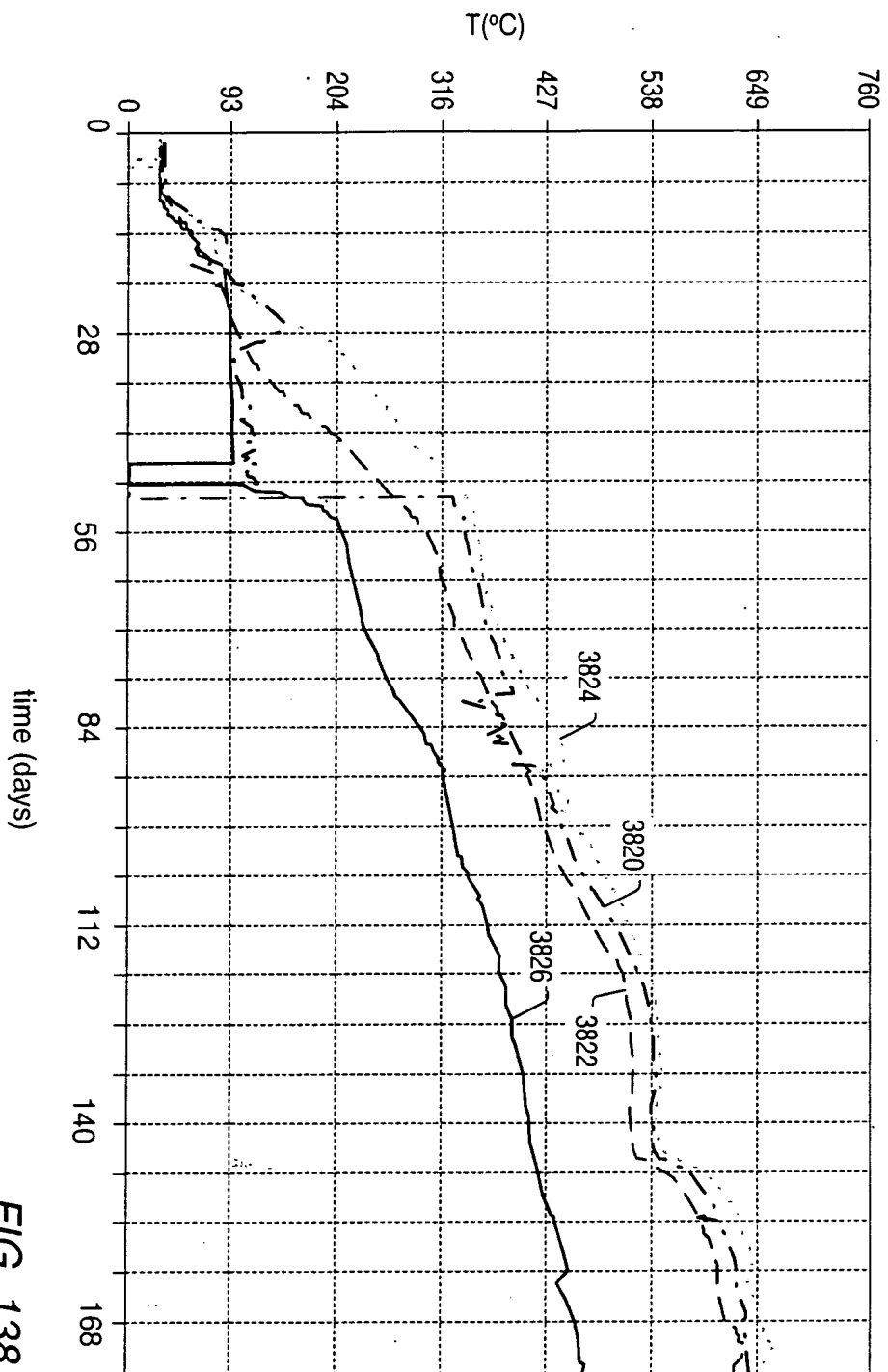


FIG. 138

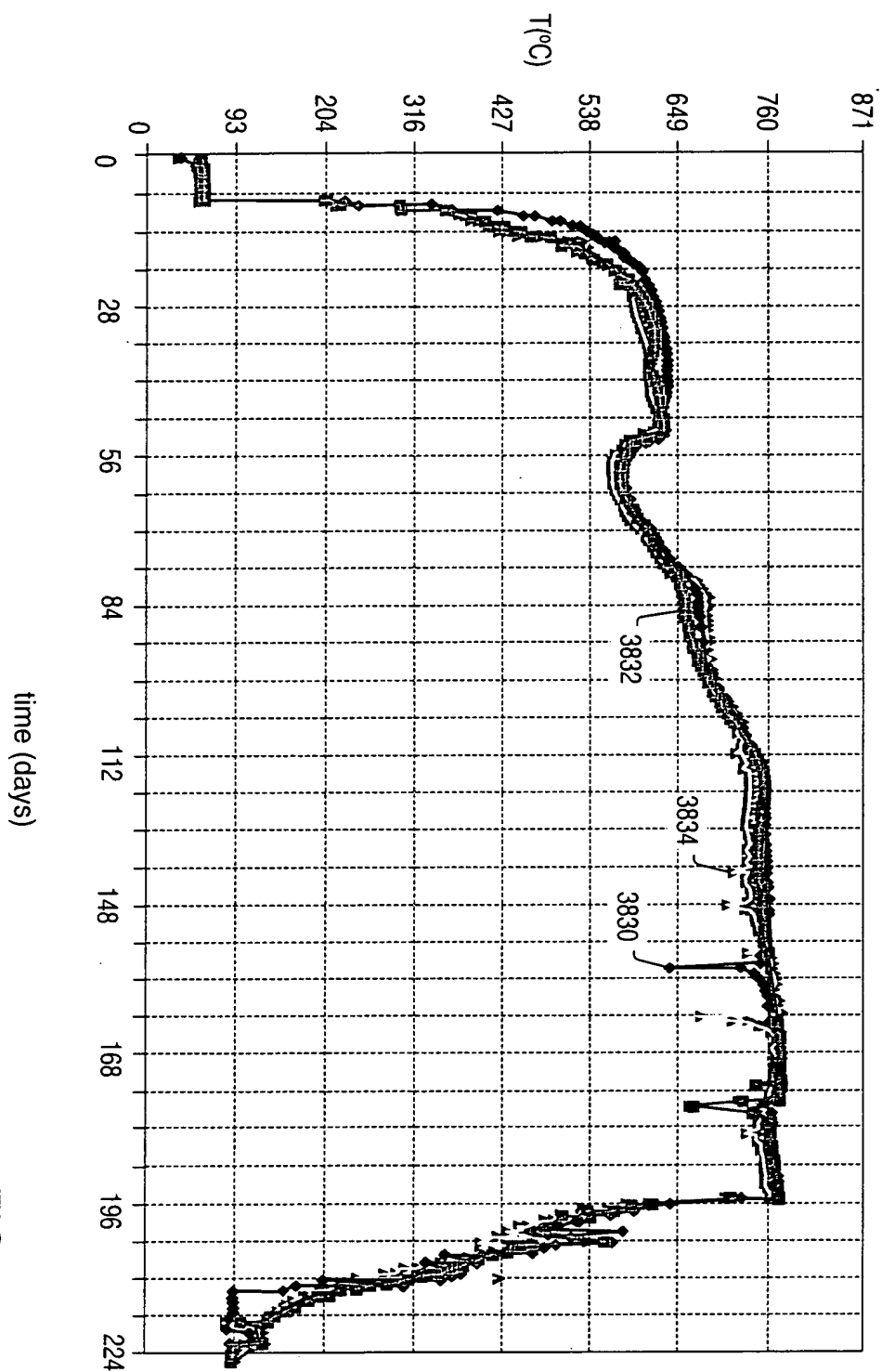


FIG. 139

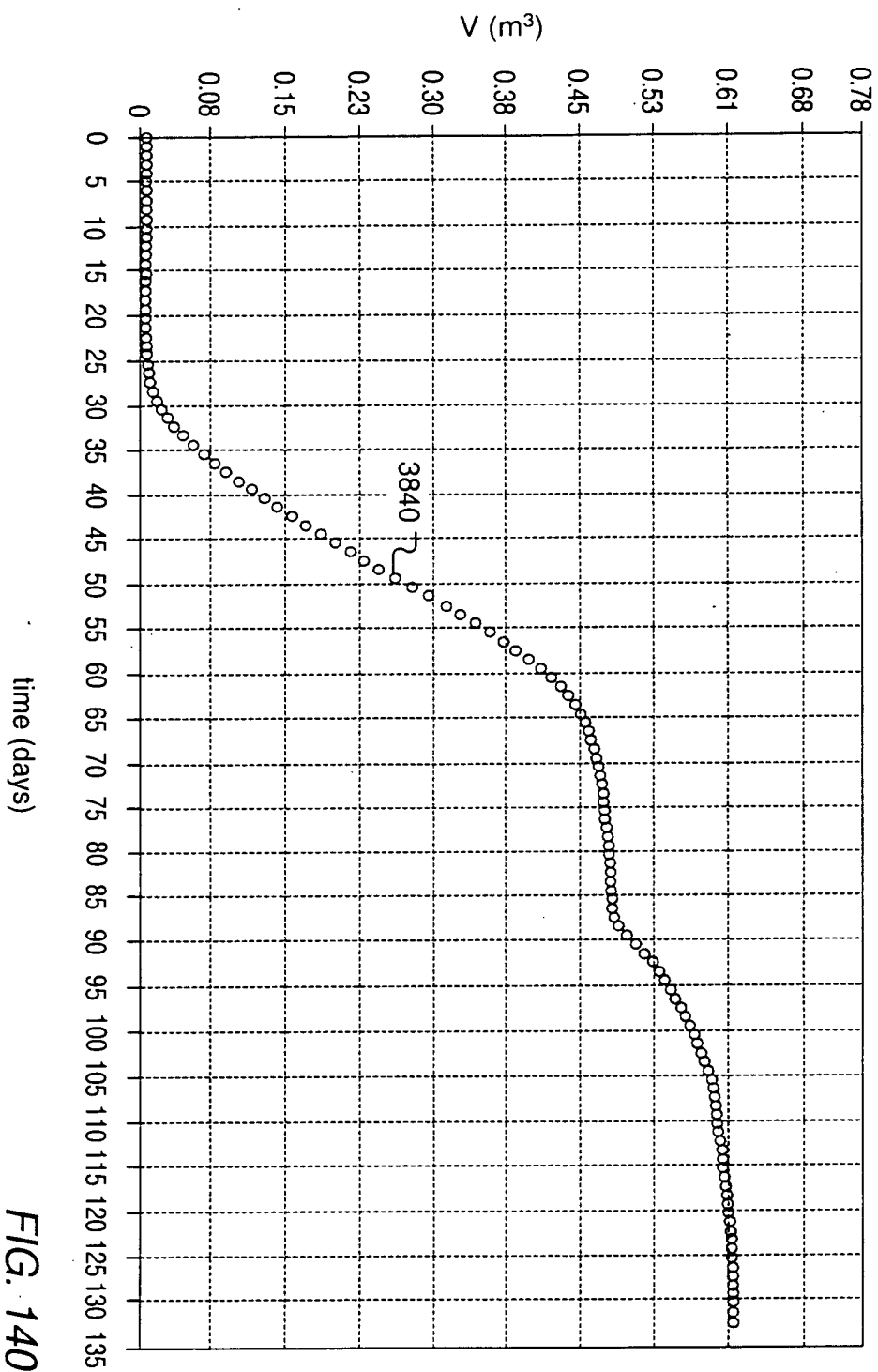


FIG. 140

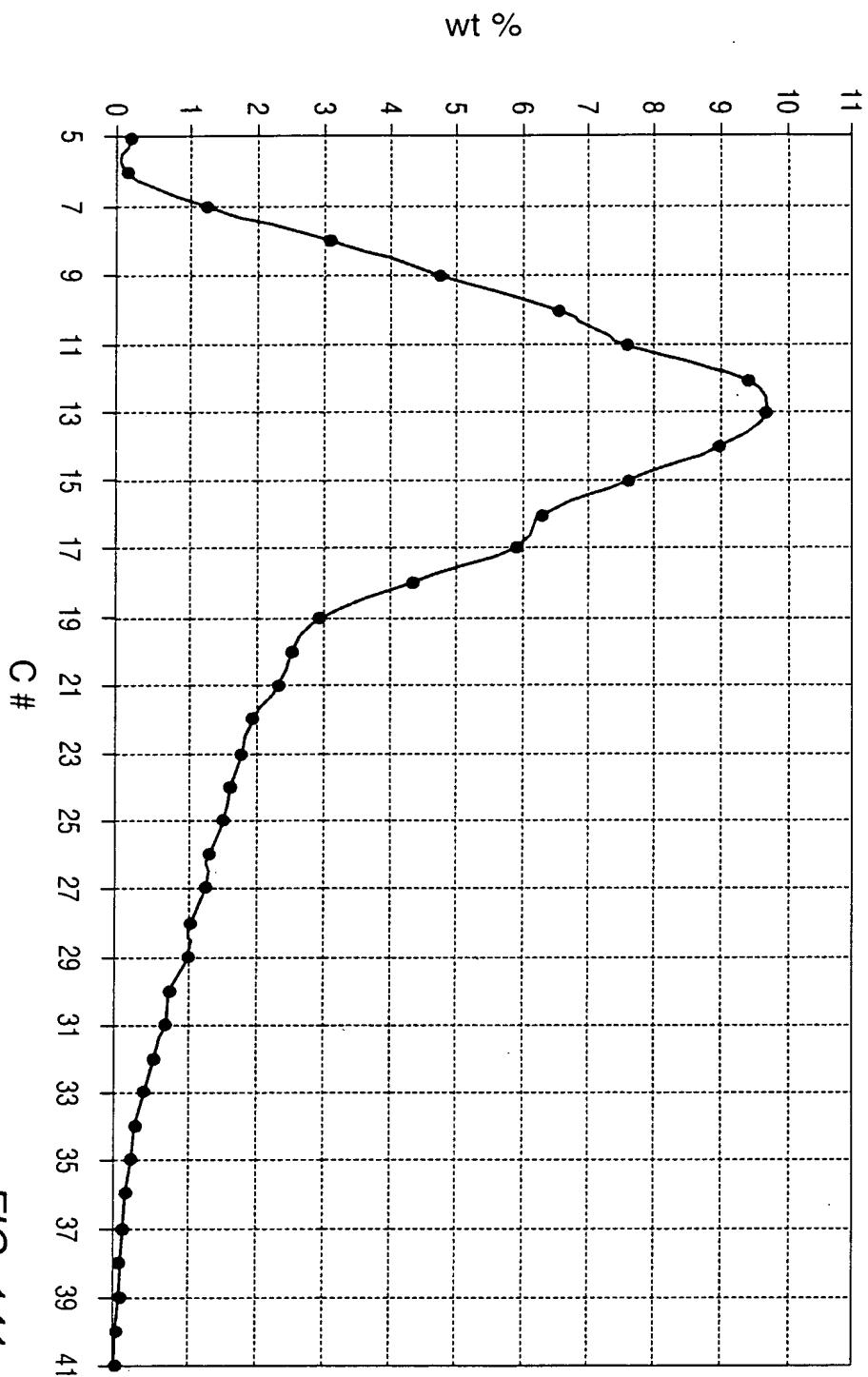


FIG. 141

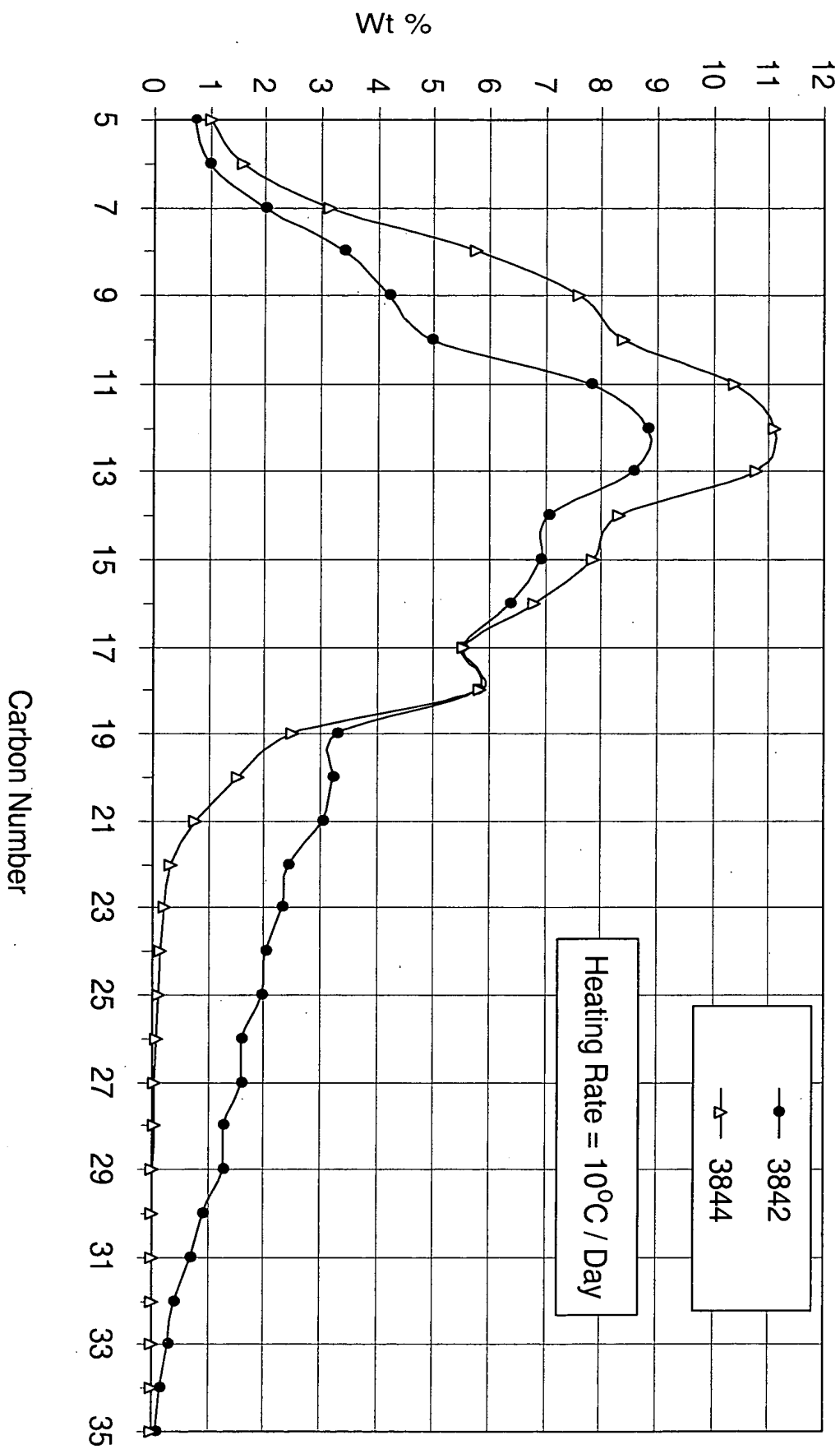


FIG. 142

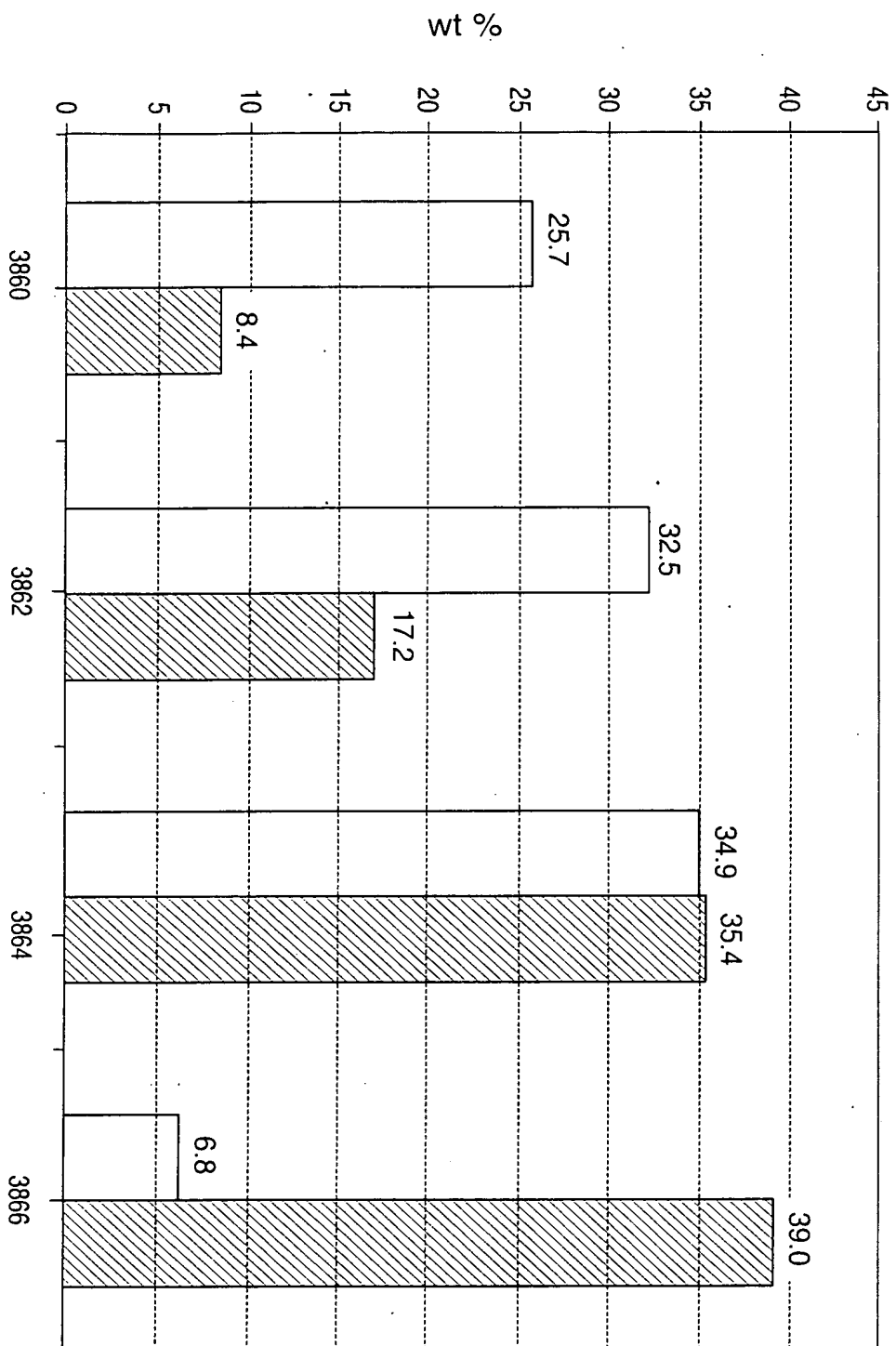


FIG. 143

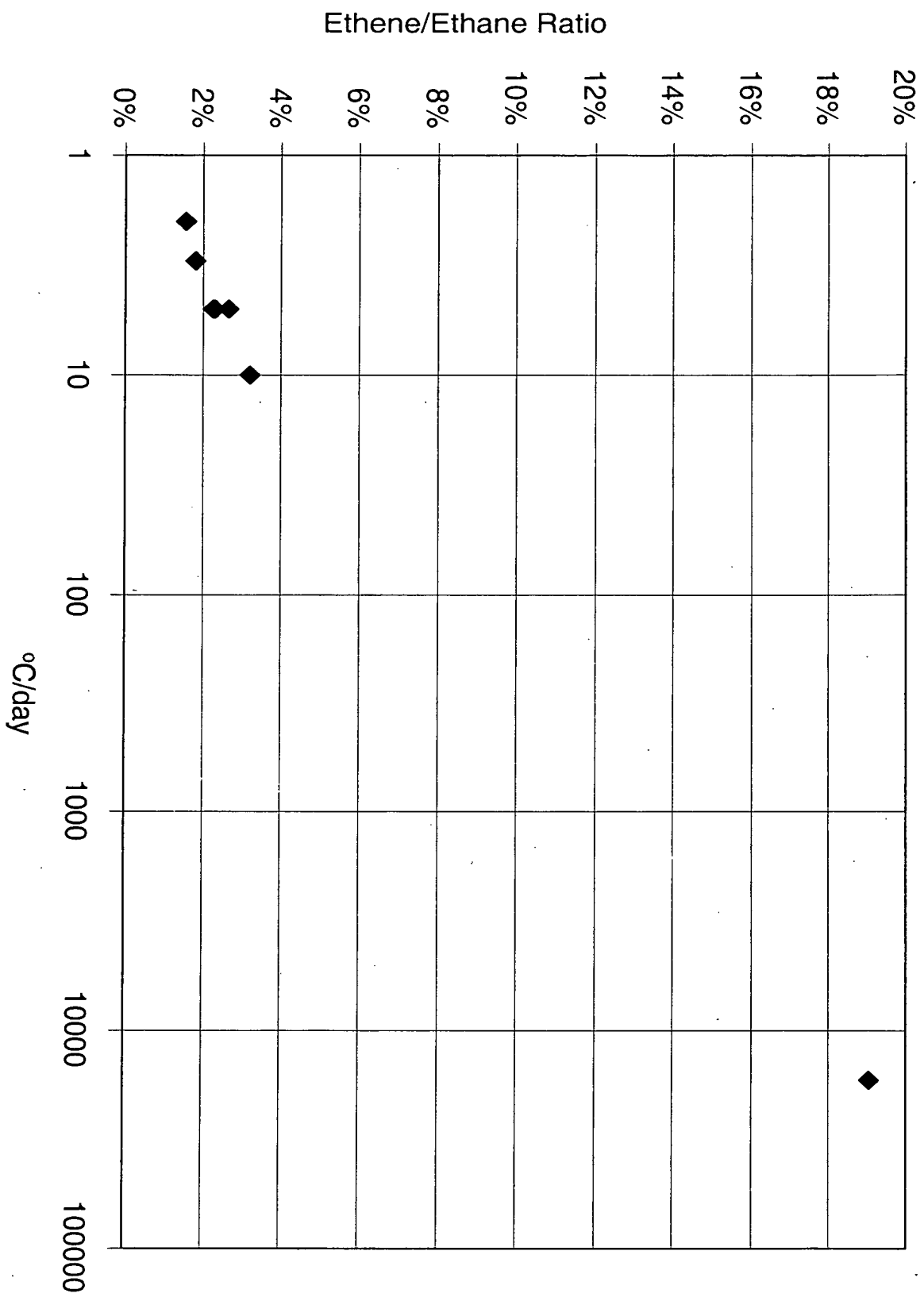


FIG. 144

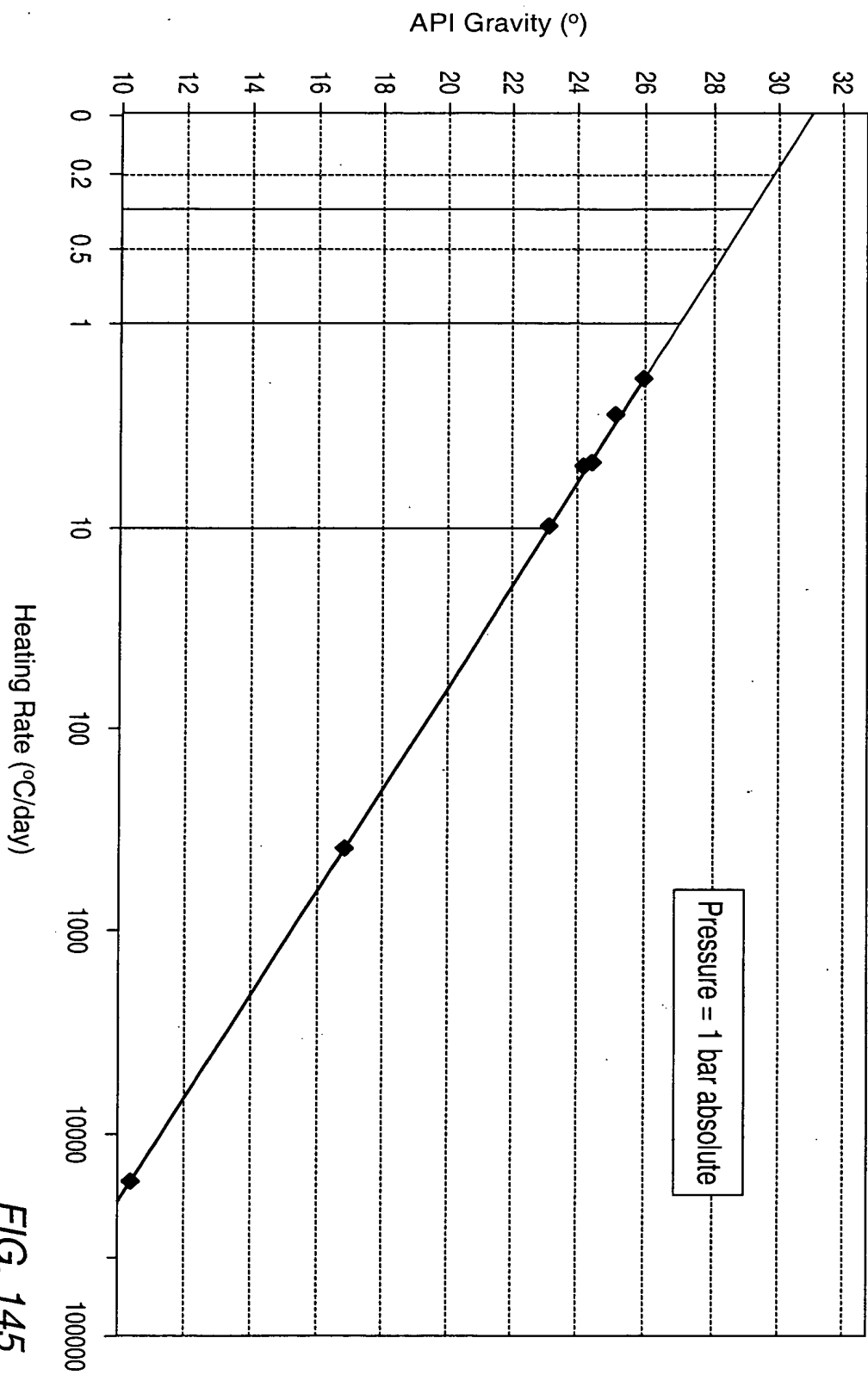


FIG. 145

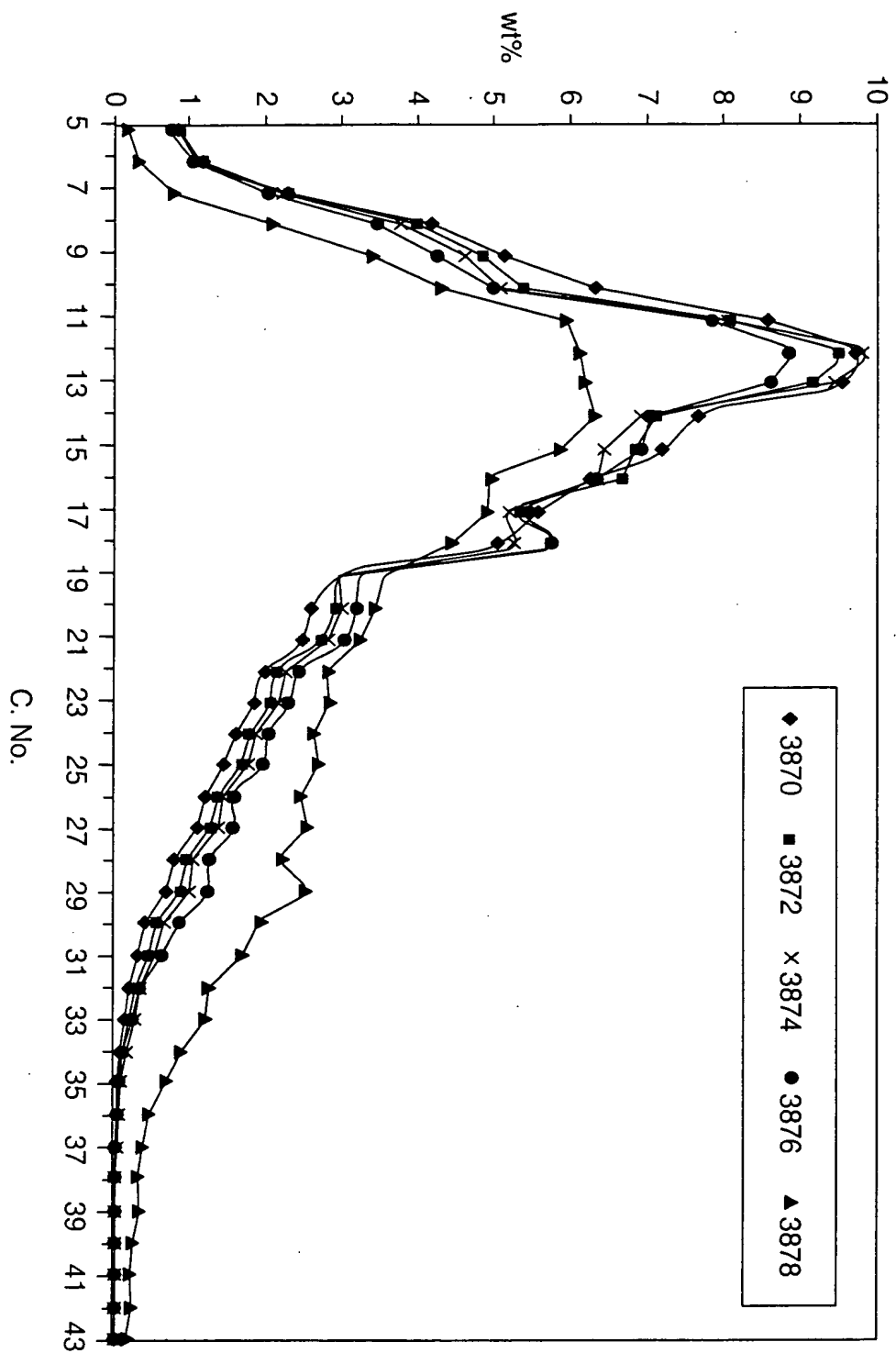


FIG. 146

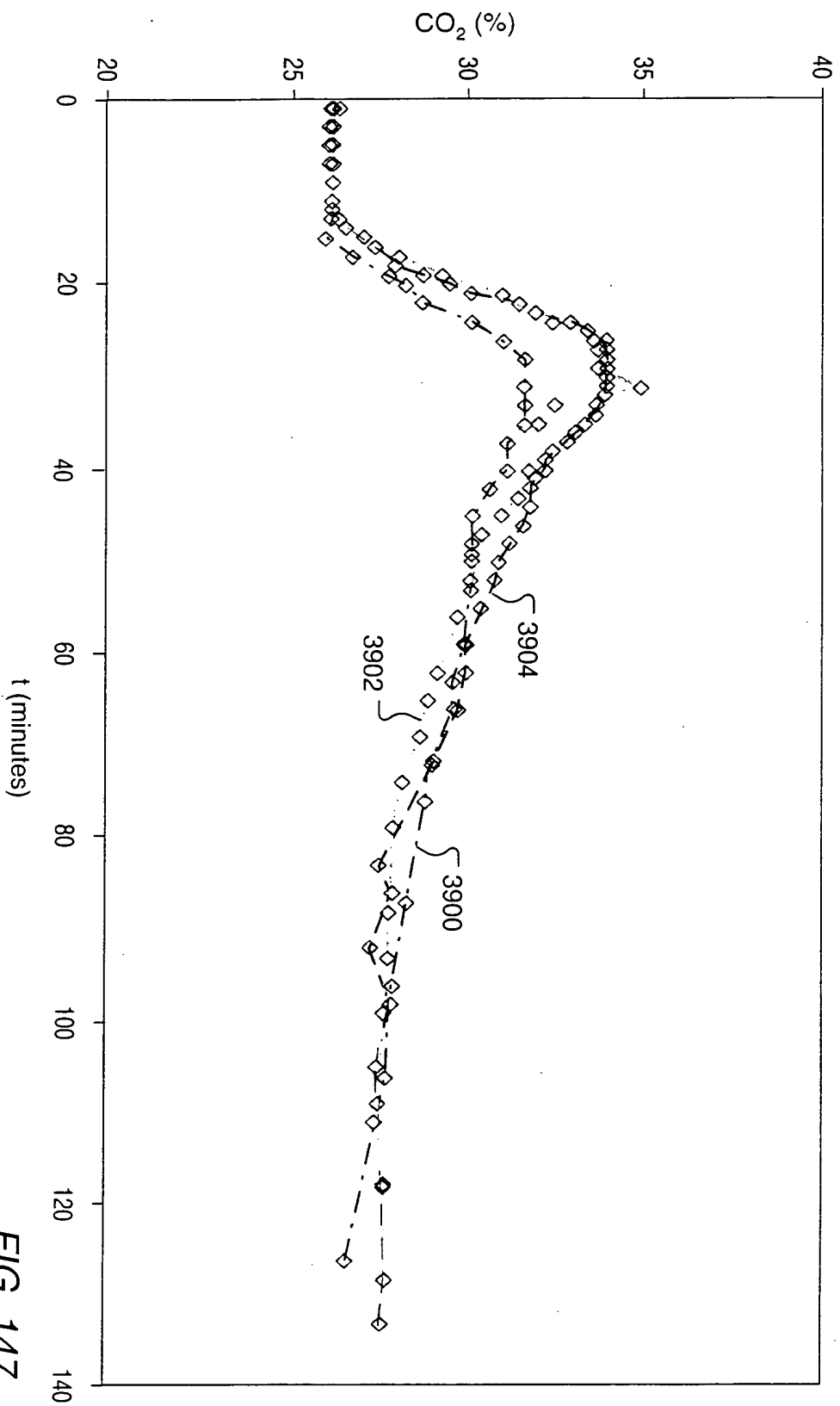


FIG. 147

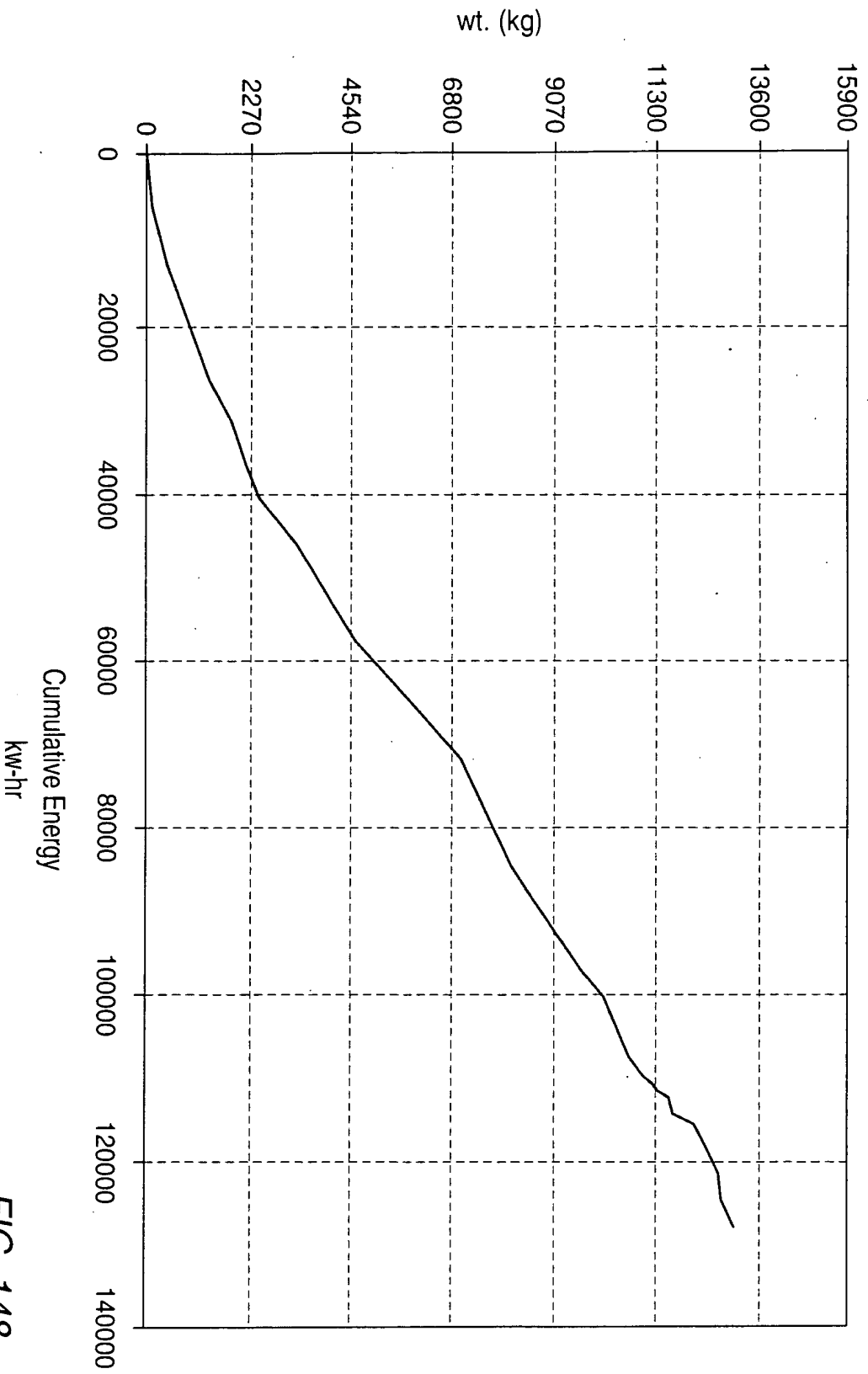


FIG. 148

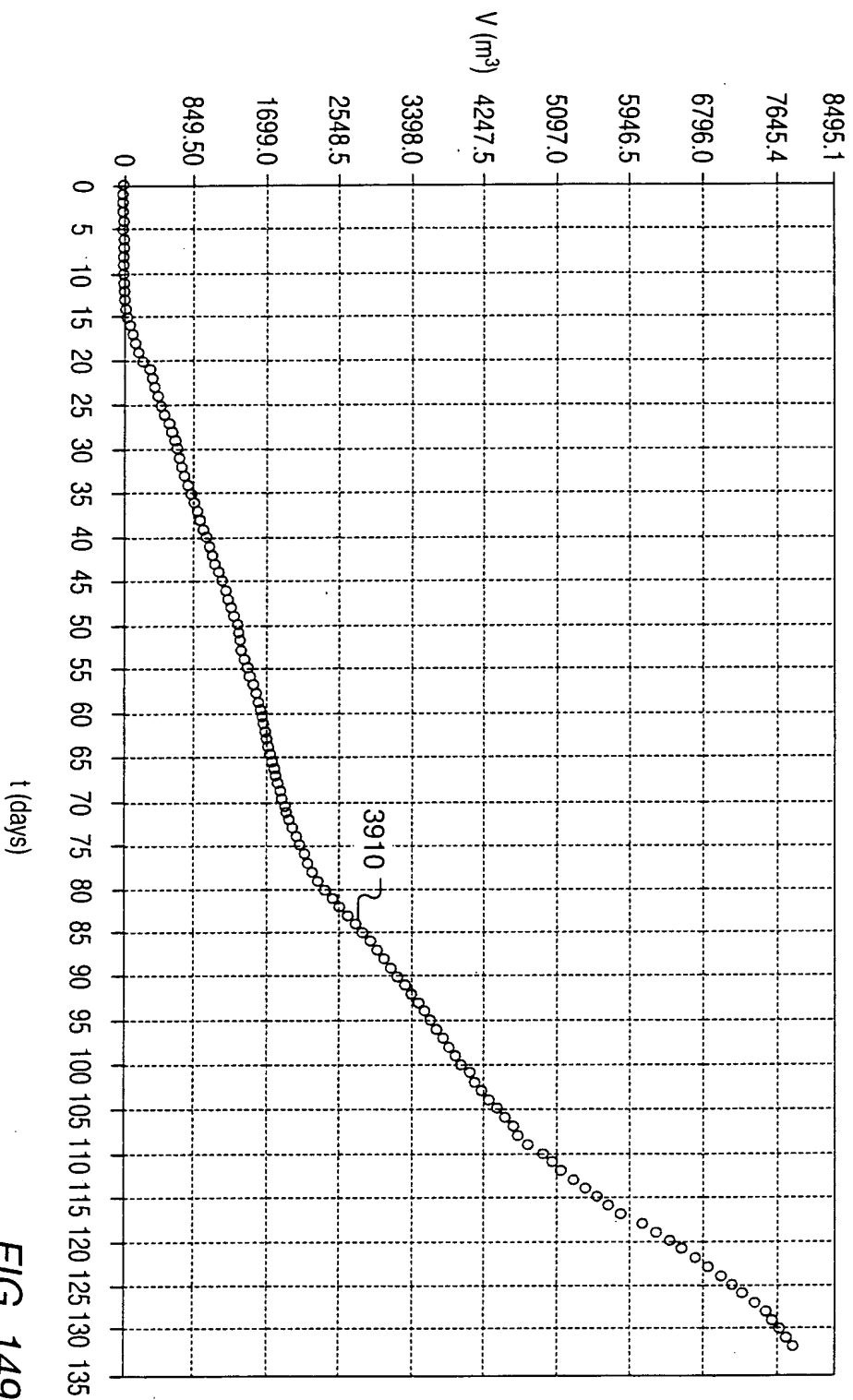


FIG. 149

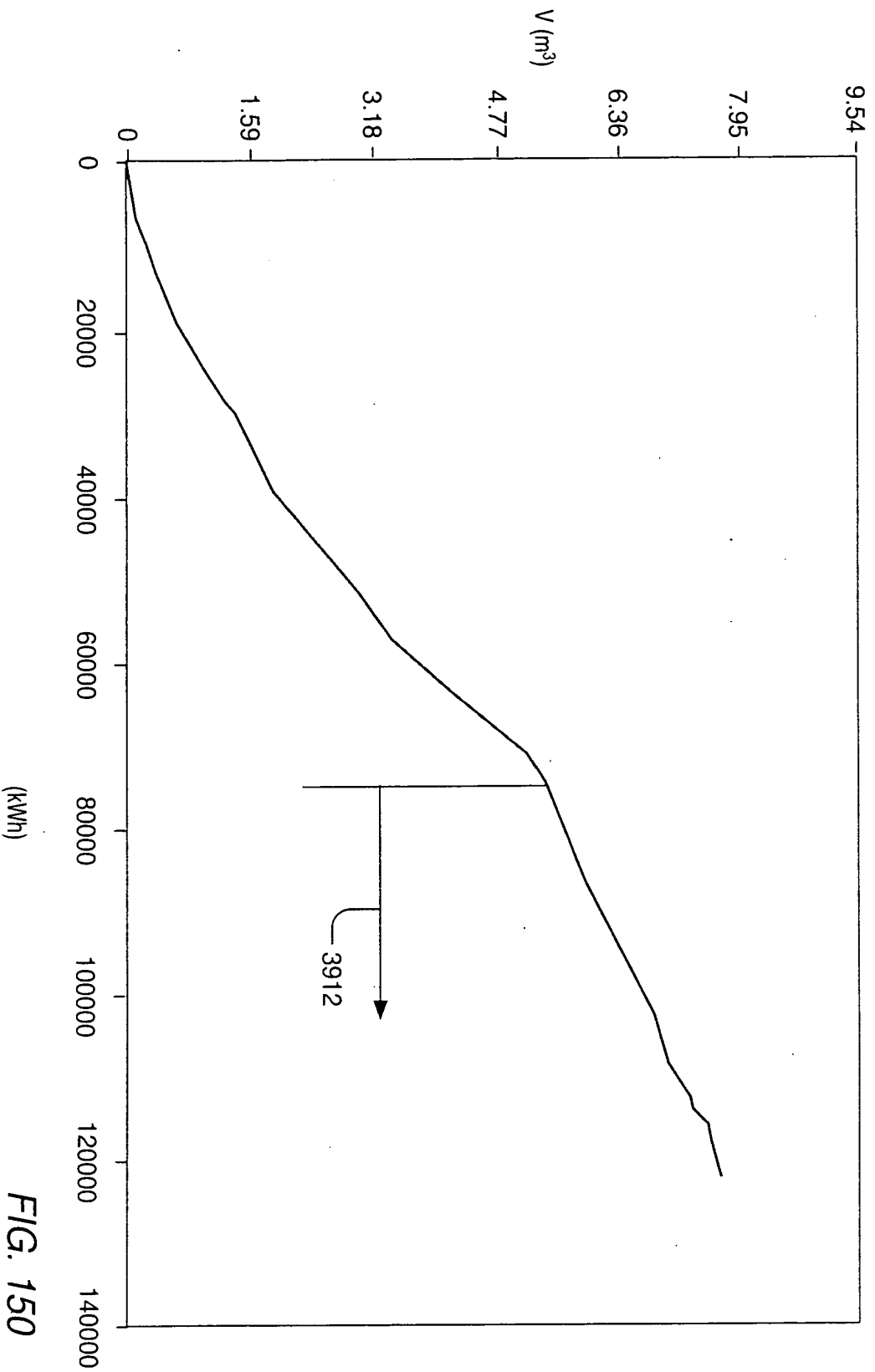


FIG. 150

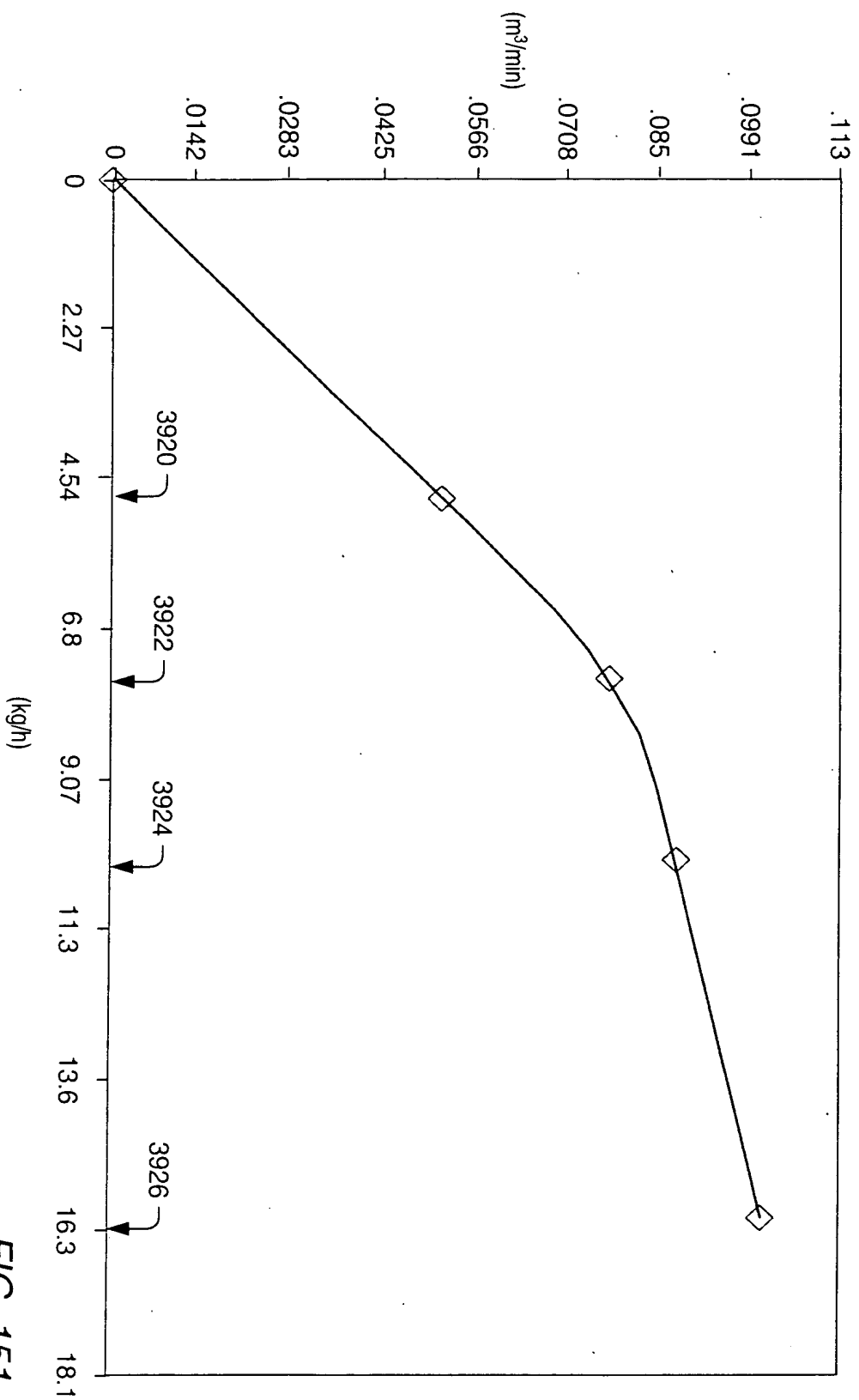


FIG. 151

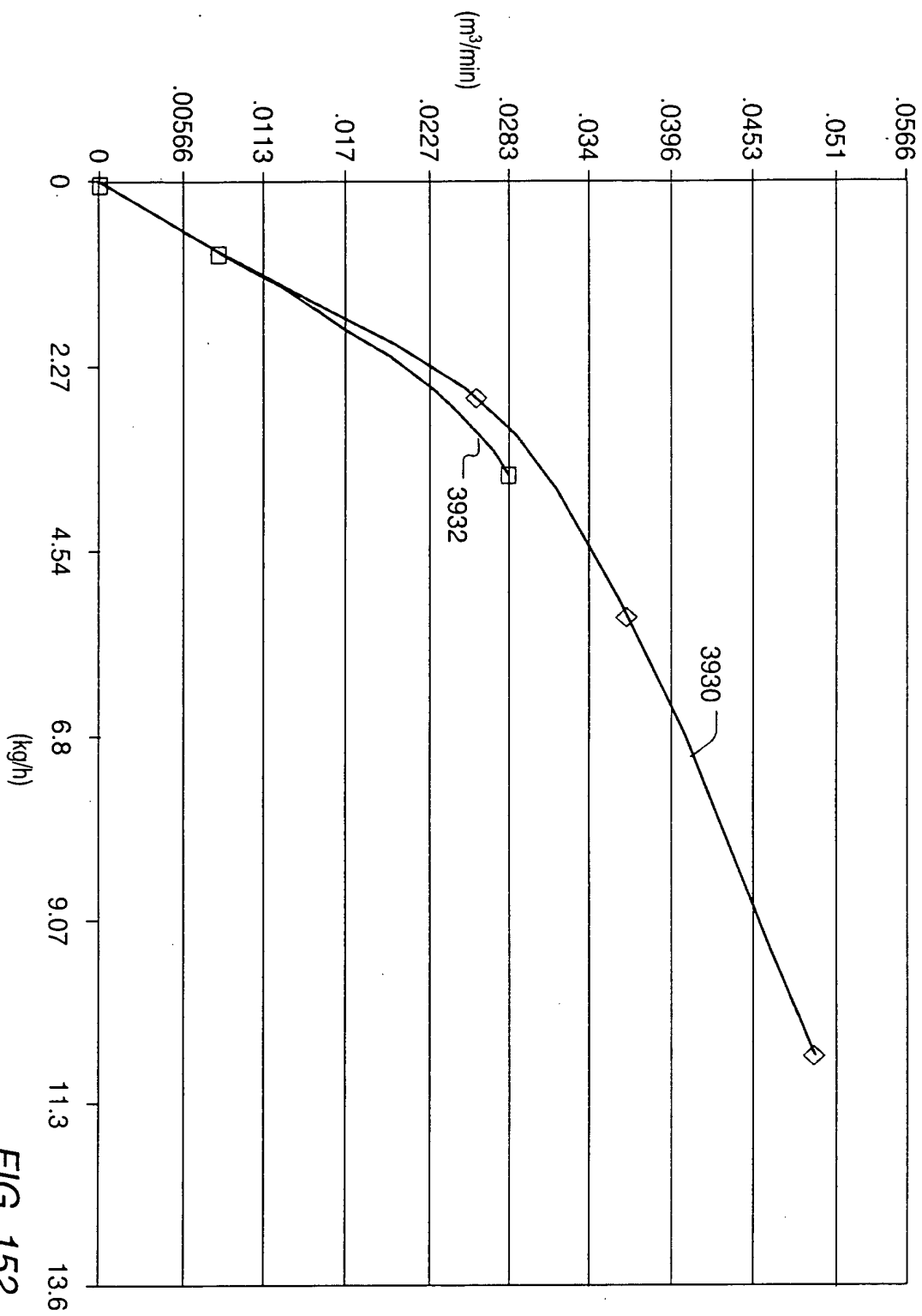


FIG. 152

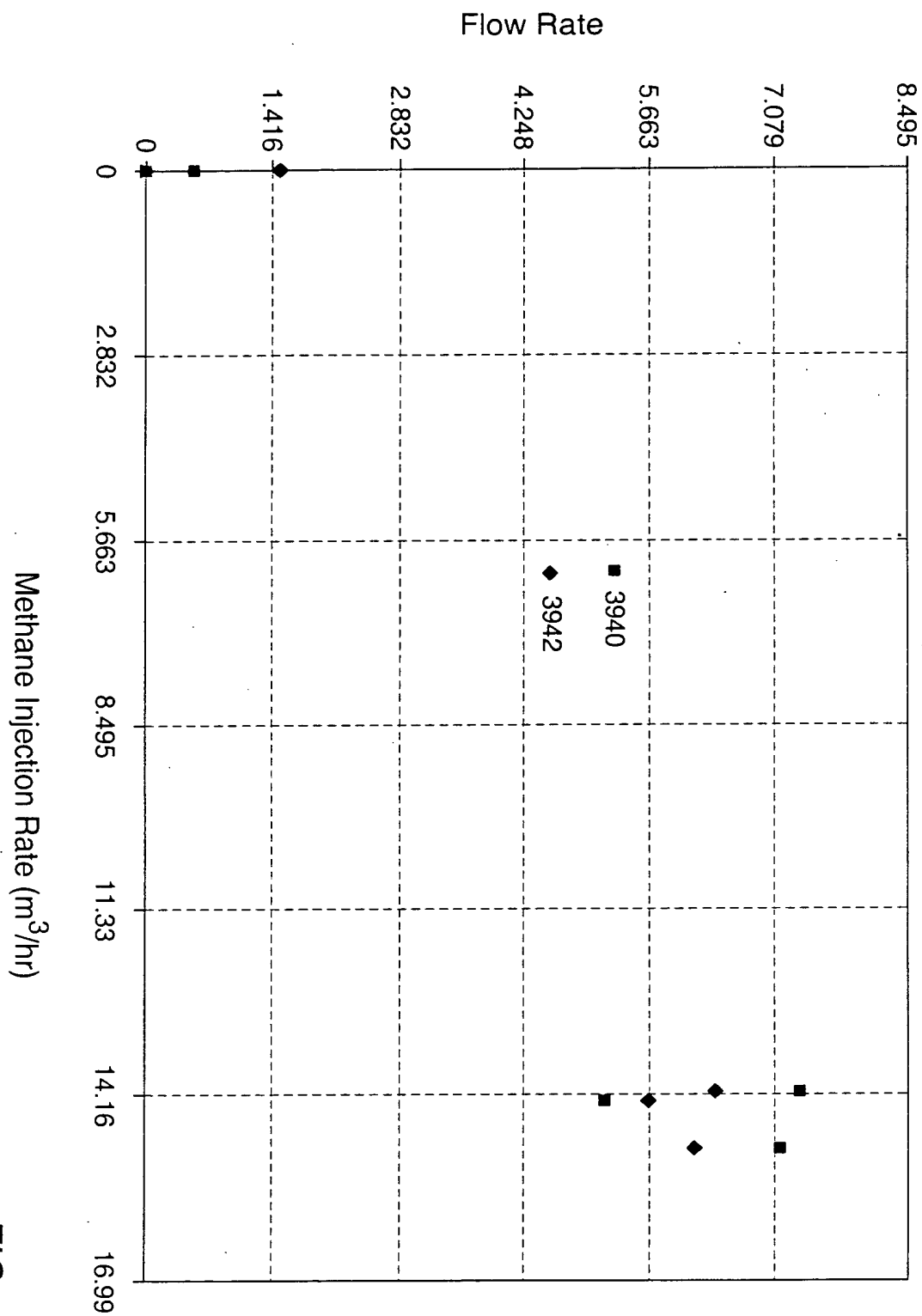


FIG. 153

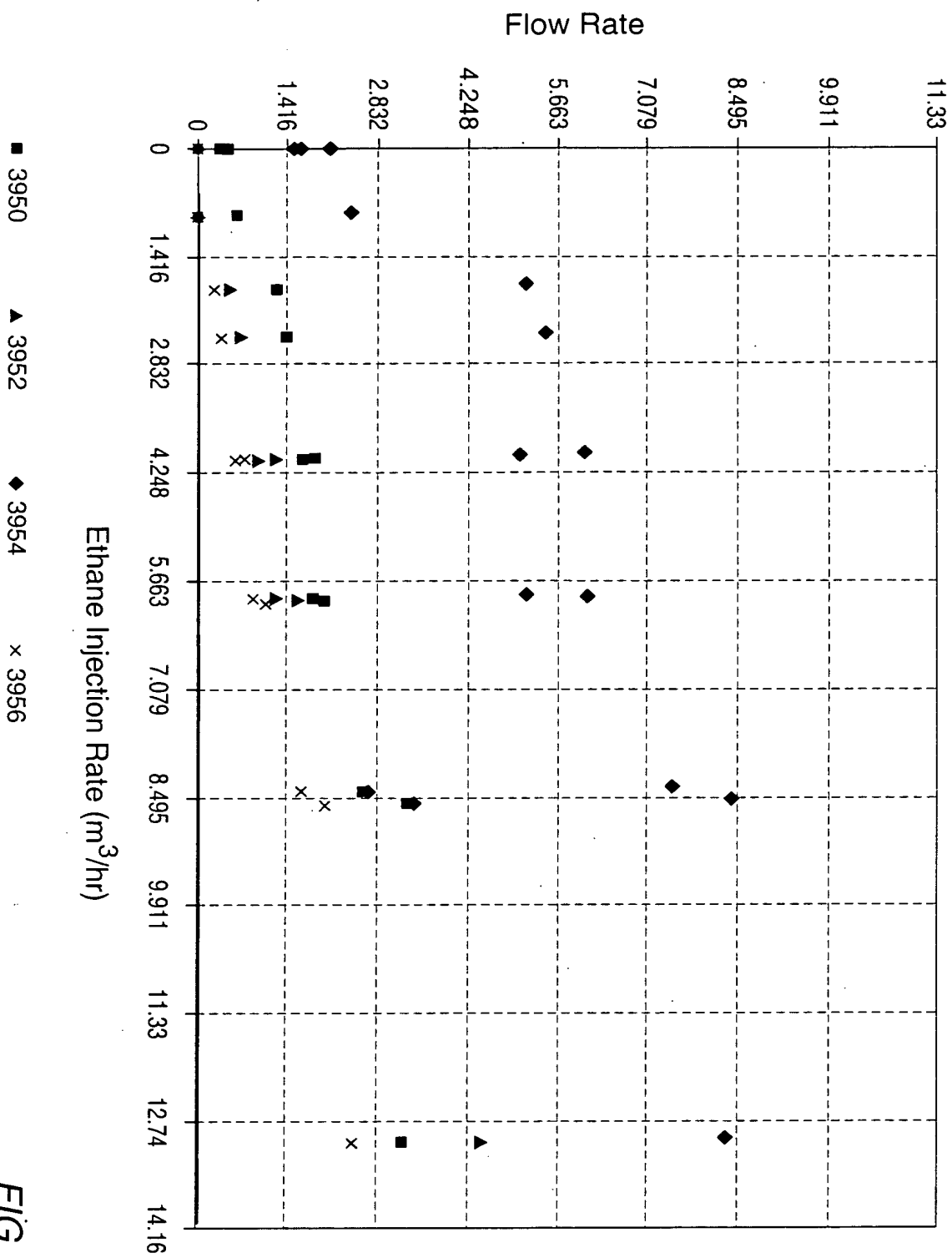


FIG. 154

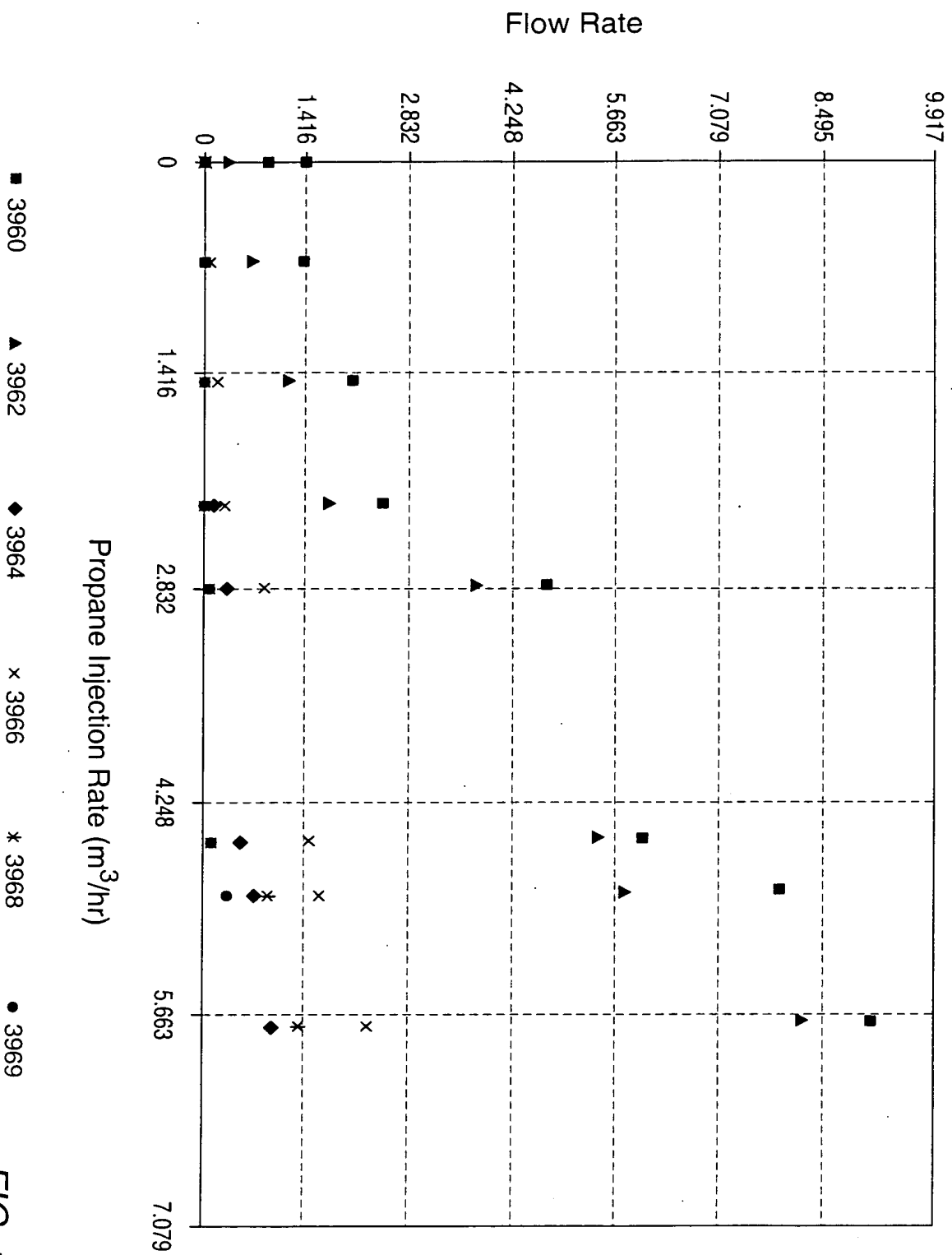


FIG. 155

A scatter plot showing the relationship between Butane Injection Rate (m³/hr) on the x-axis and Flow Rate on the y-axis. The x-axis ranges from 0 to 1.699 with major ticks every 0.2832. The y-axis ranges from 0 to 3.398 with major ticks every 0.2832. Data points are plotted for well numbers 3970, 3972, 3974, 3976, 3978, and 3979. The legend indicates: 3970 (square), 3972 (triangle), 3974 (diamond), 3976 (x), 3978 (*), and 3979 (circle). The data points are as follows:

Well Number	Butane Injection Rate (m³/hr)	Flow Rate
3970	0.000	0.000
3970	0.045	0.000
3970	1.146	1.699
3972	0.000	0.000
3972	1.146	0.045
3974	0.136	1.133
3974	1.146	2.832
3976	0.000	0.000
3976	1.146	0.091
3978	0.000	0.000
3978	1.146	0.045
3979	0.000	0.000
3979	1.146	0.000

FIG. 156

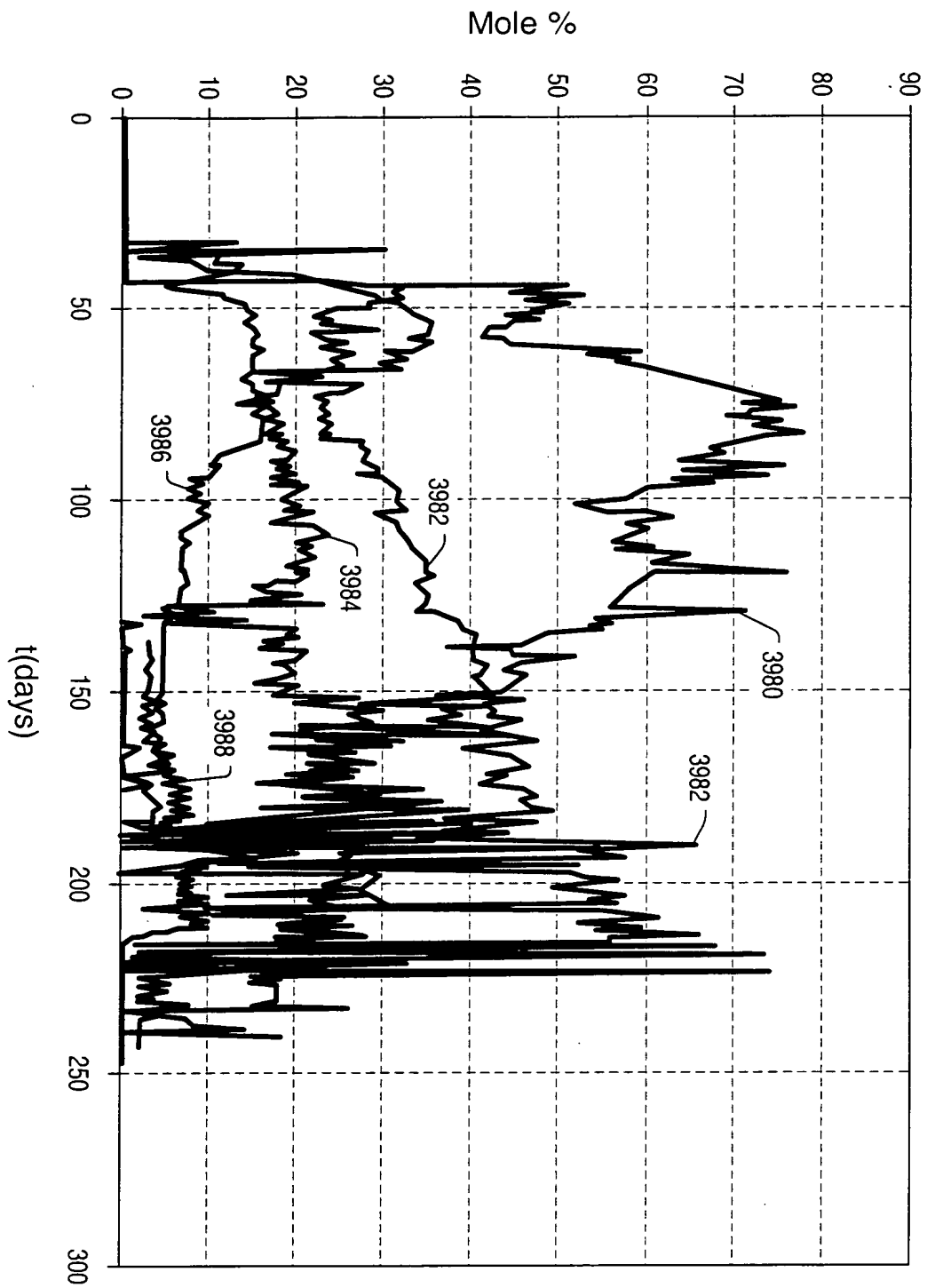


FIG. 157

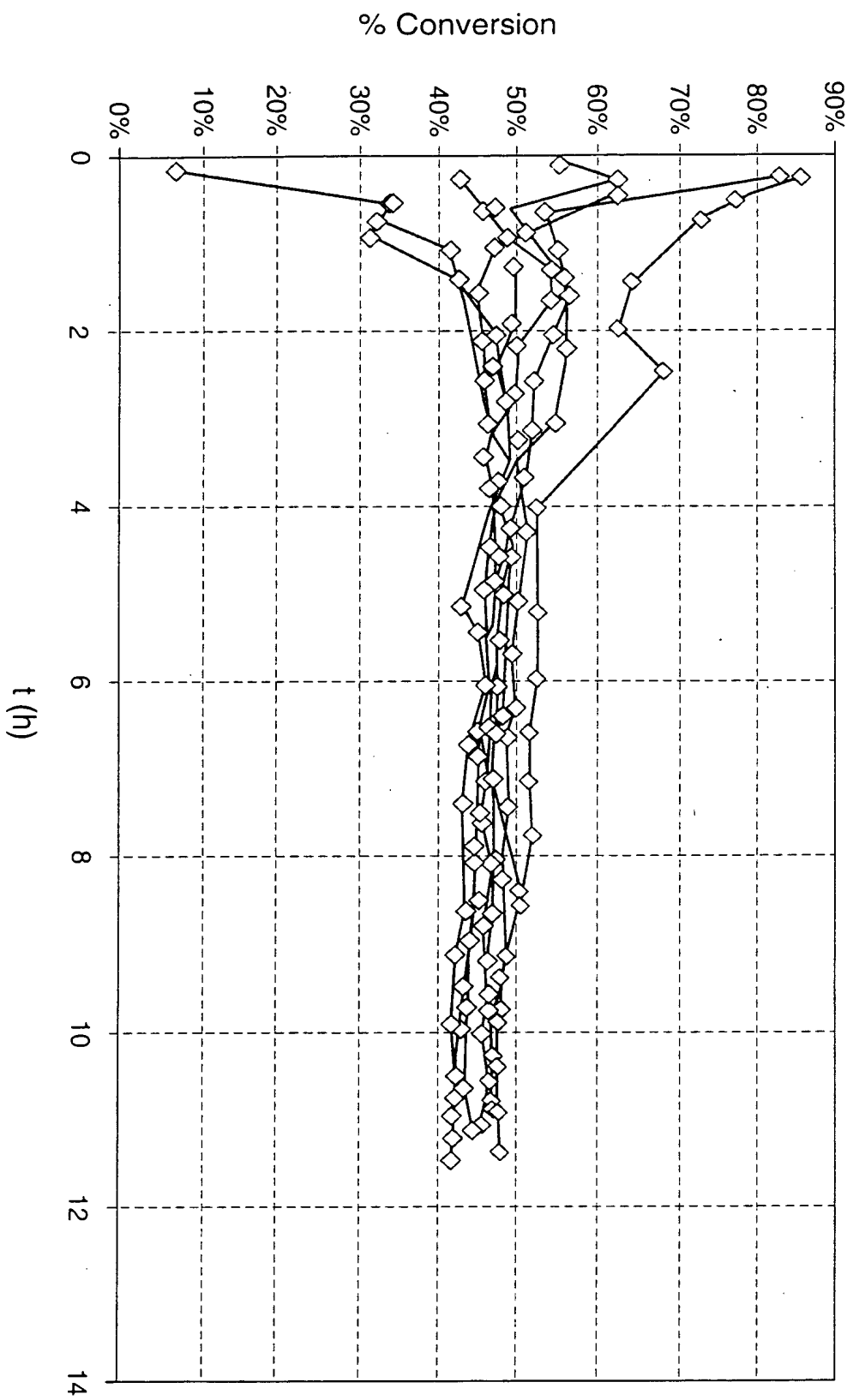


FIG. 158

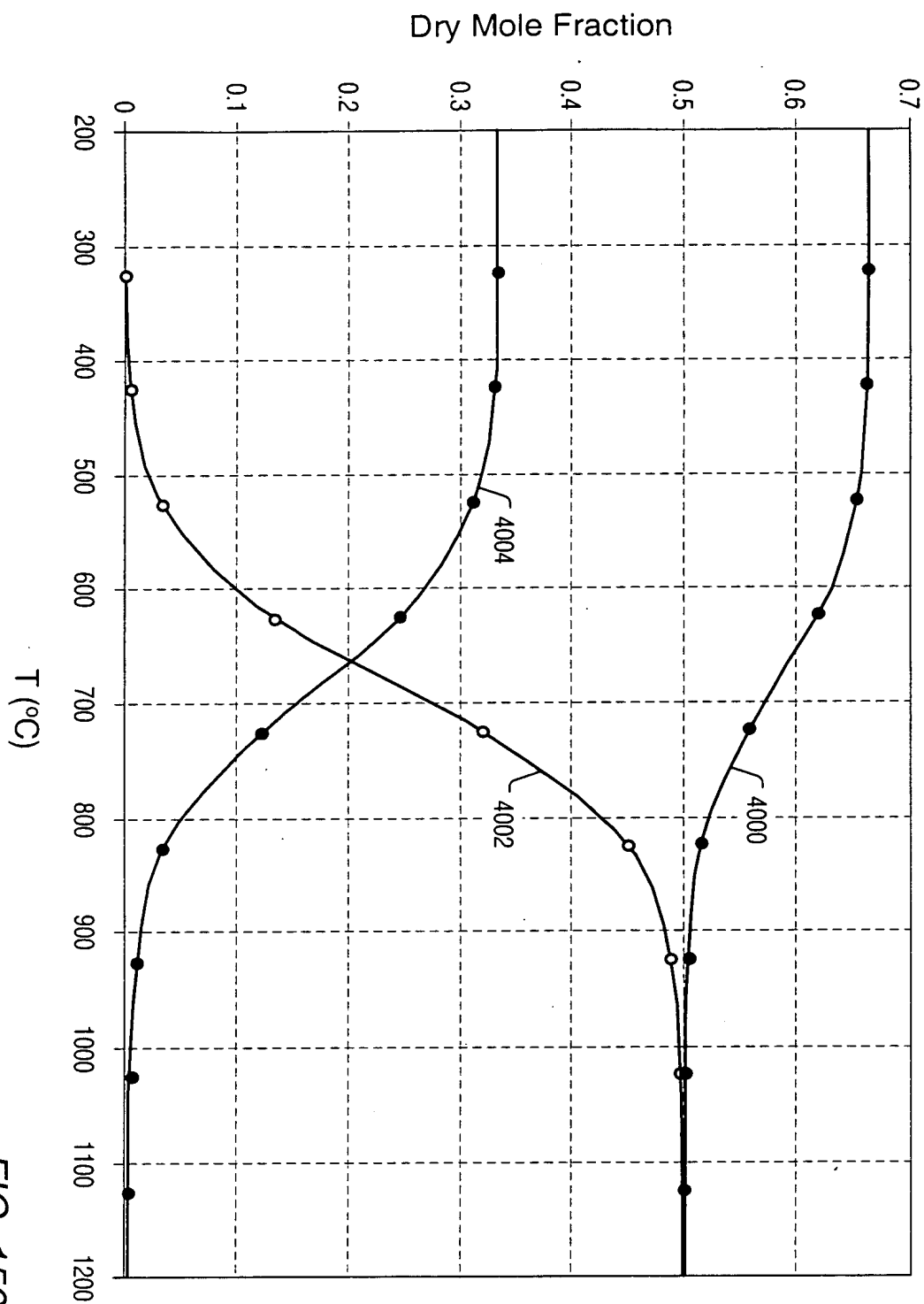


FIG. 159

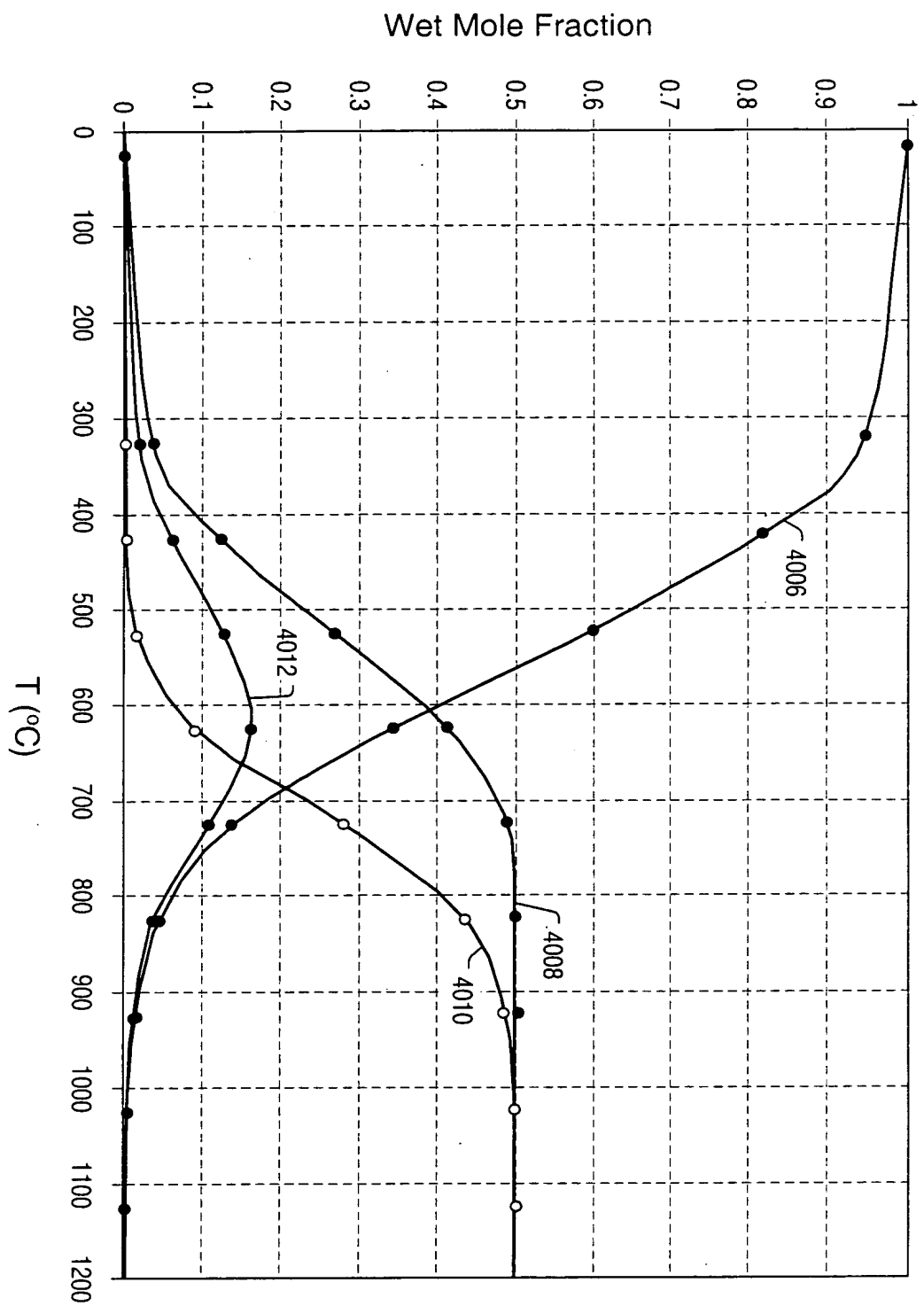
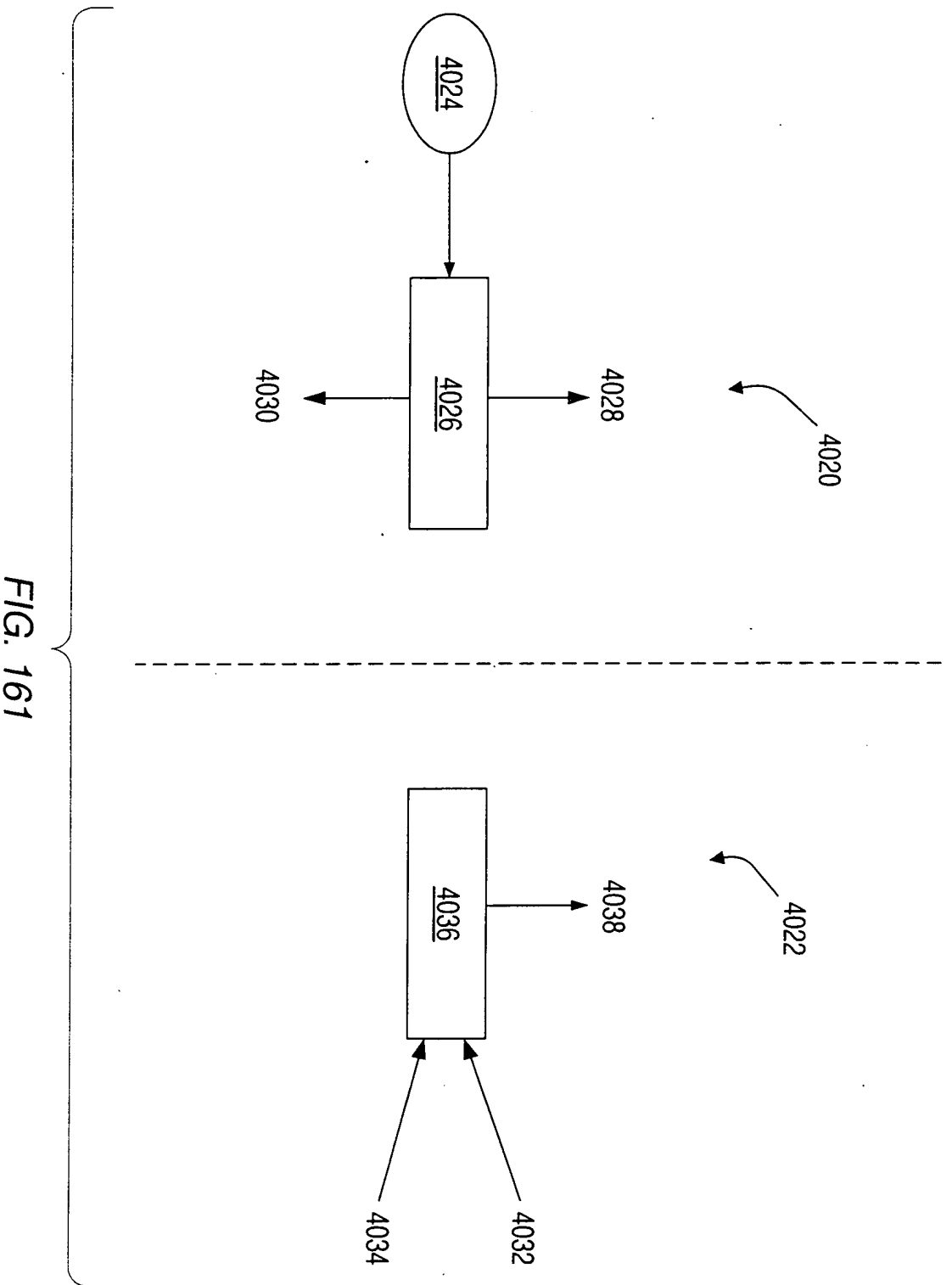


FIG. 160



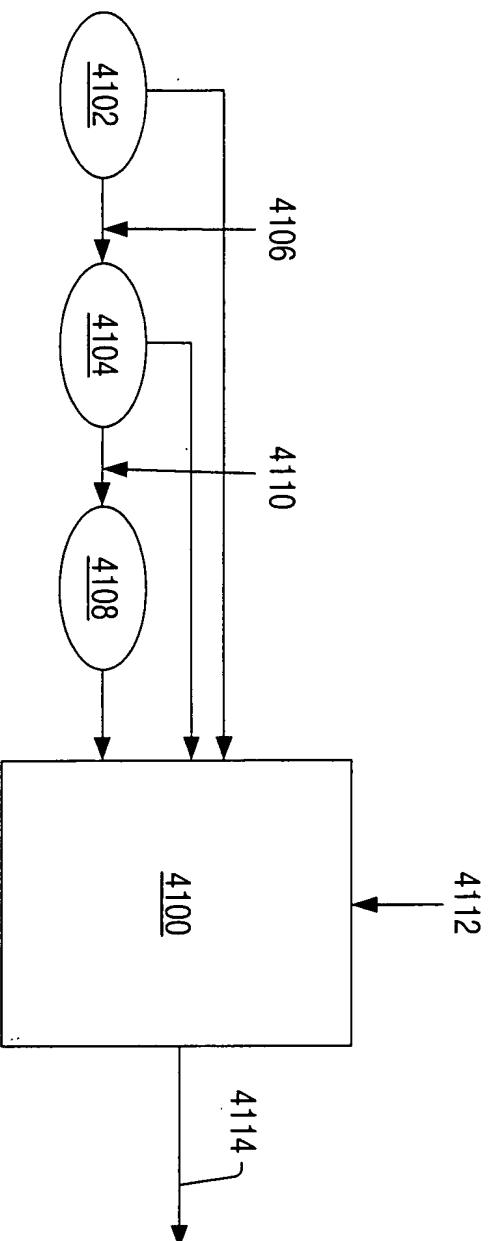


FIG. 162

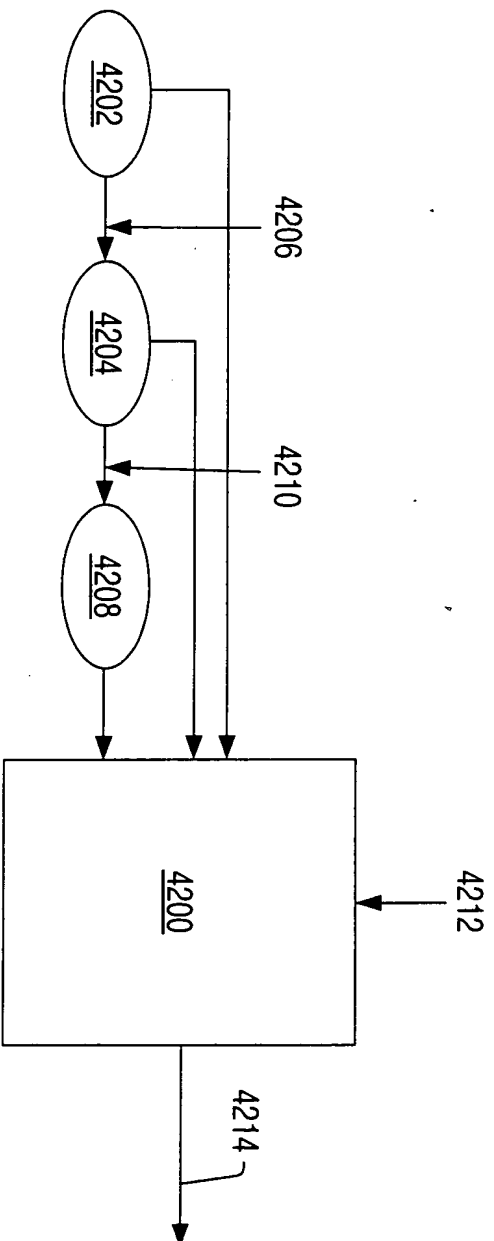


FIG. 163

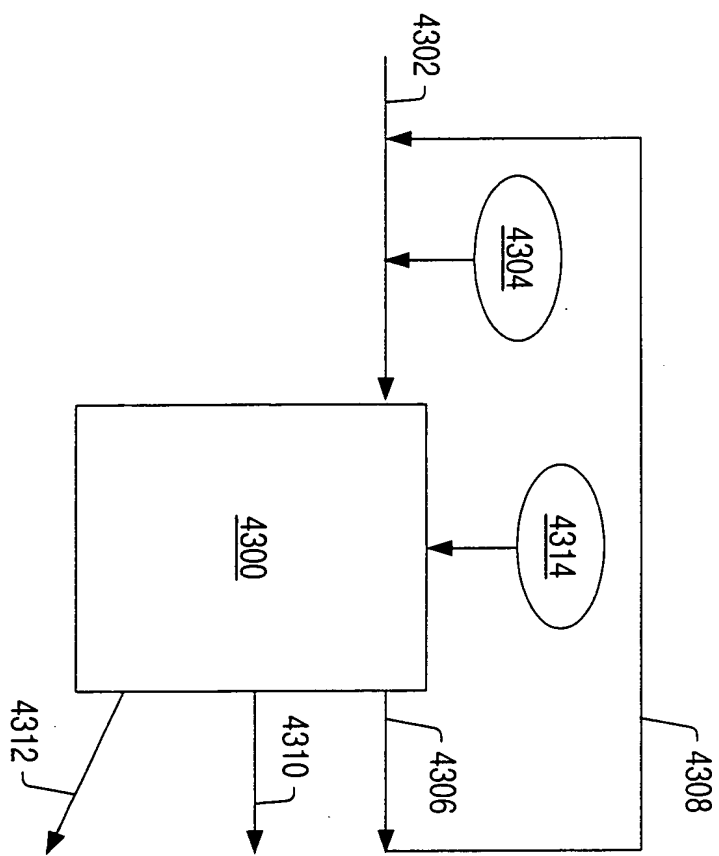


FIG. 164

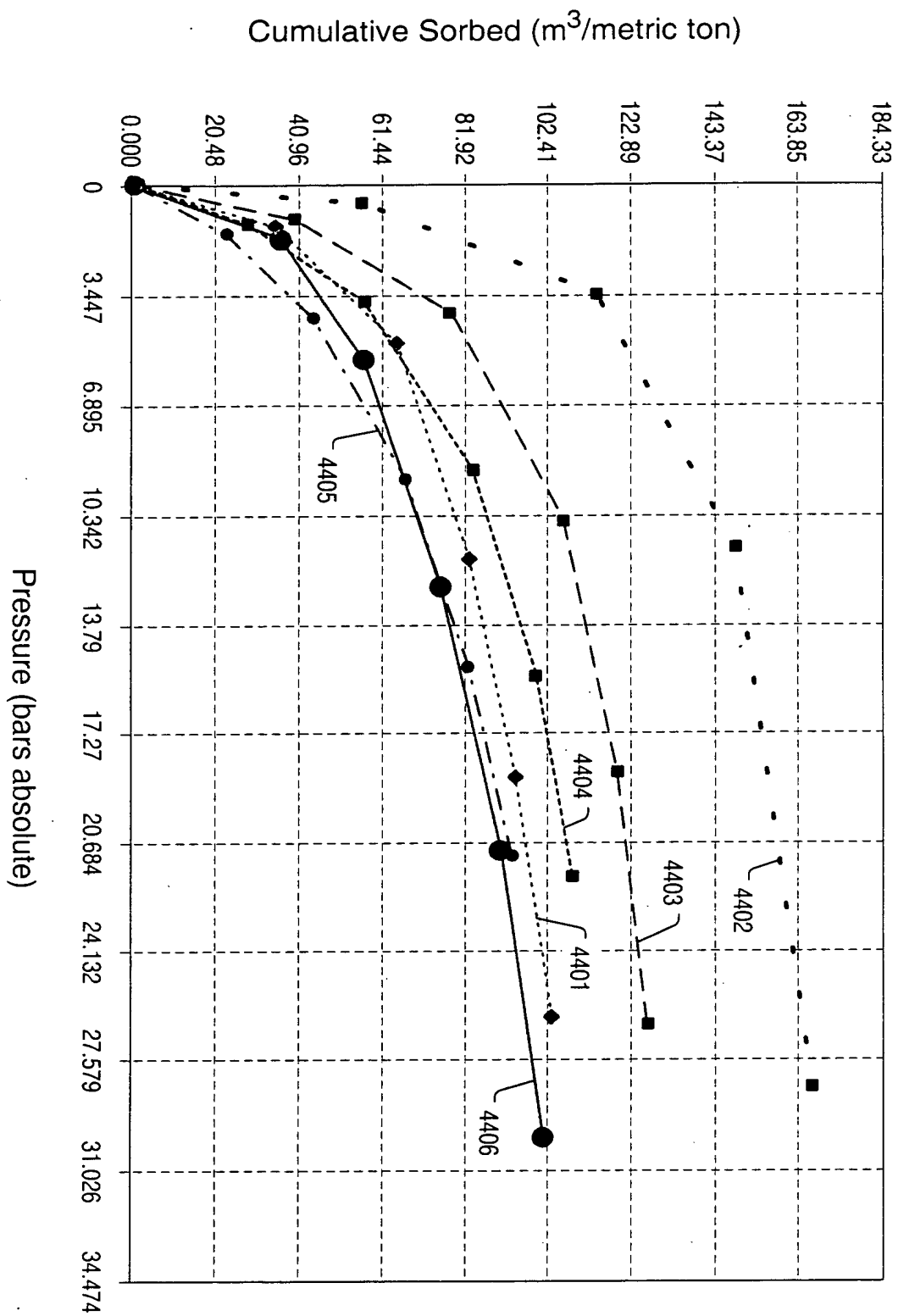


FIG. 165

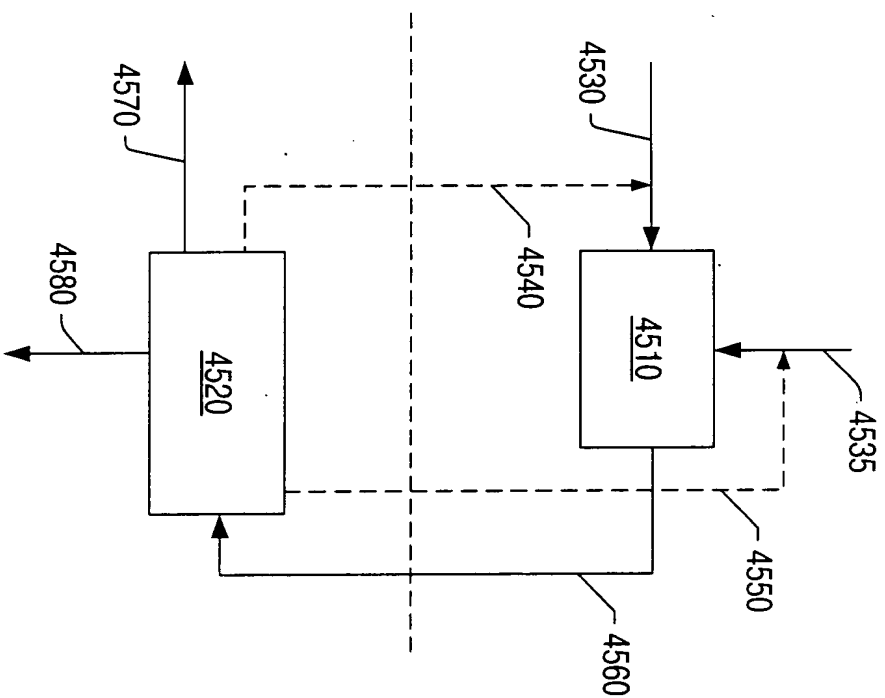


FIG. 166

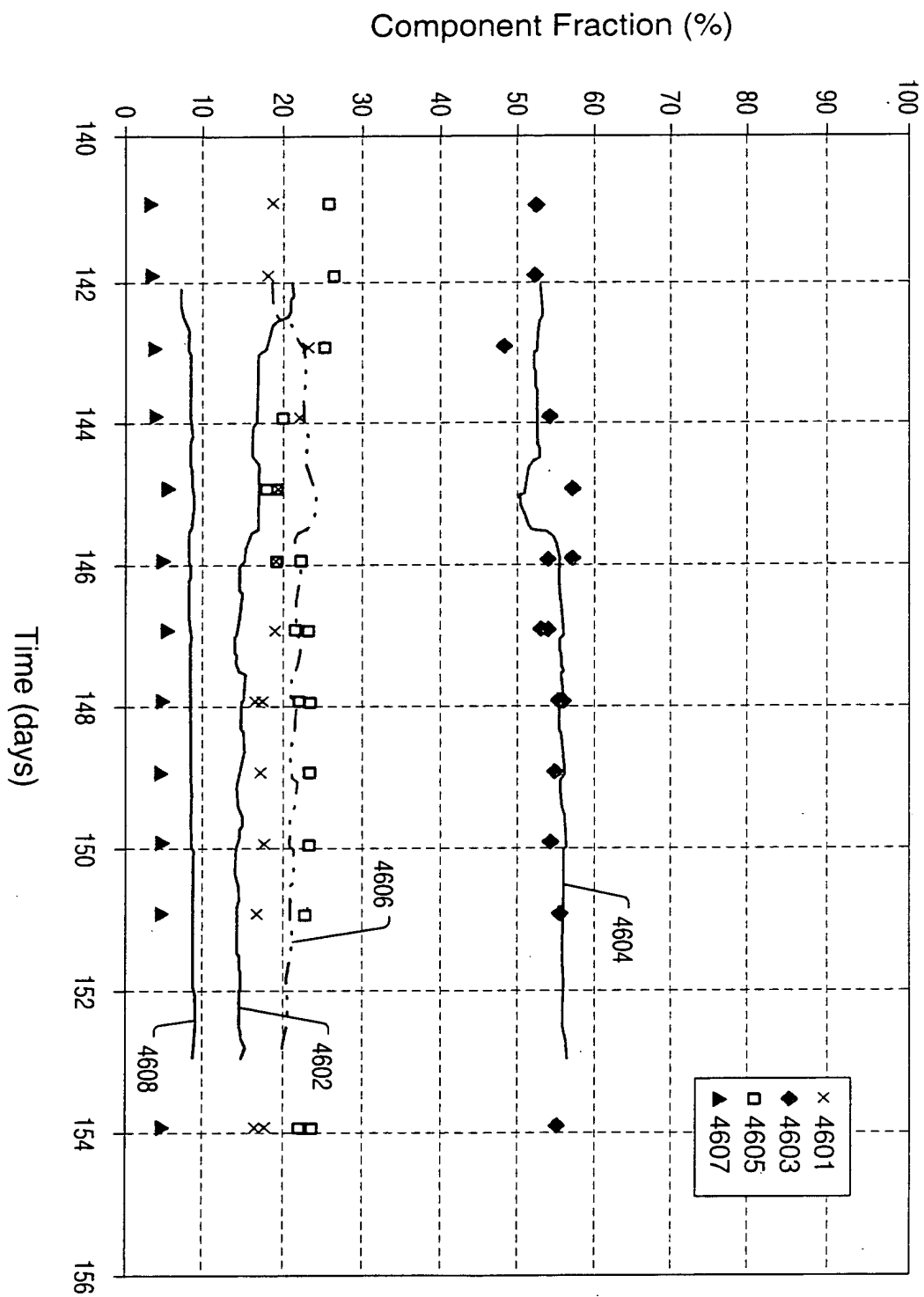


FIG. 167

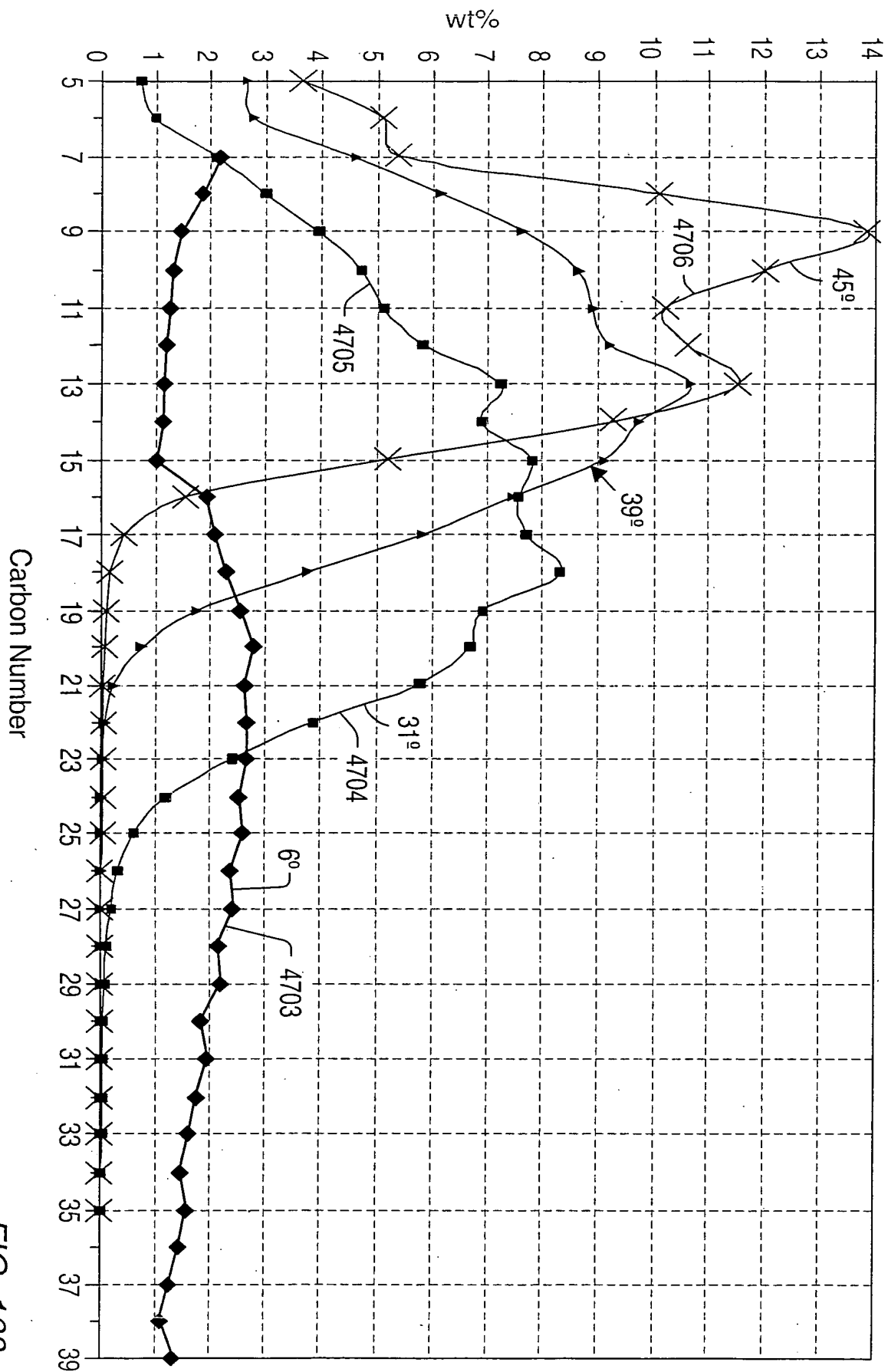


FIG. 168

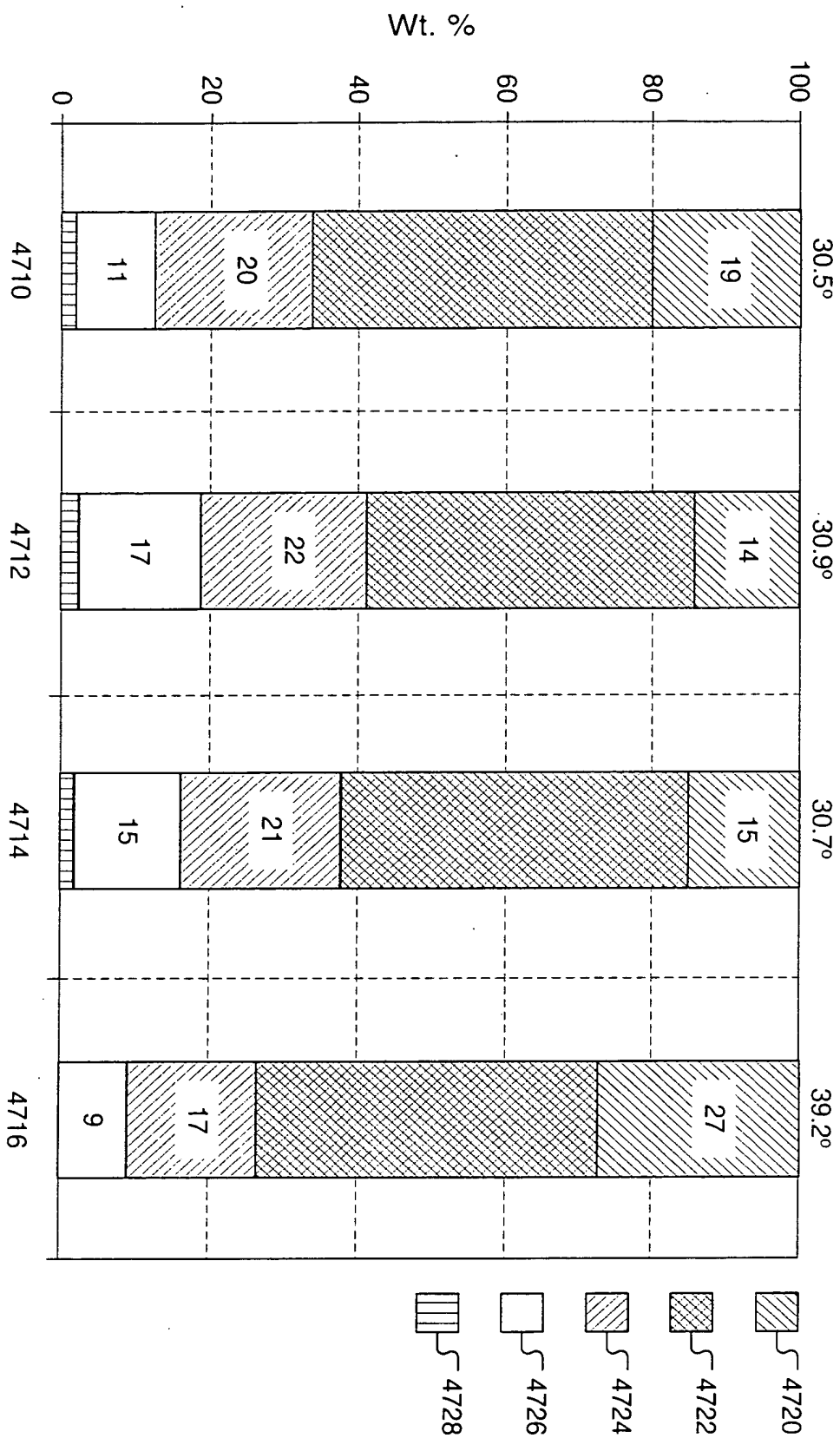


FIG. 169

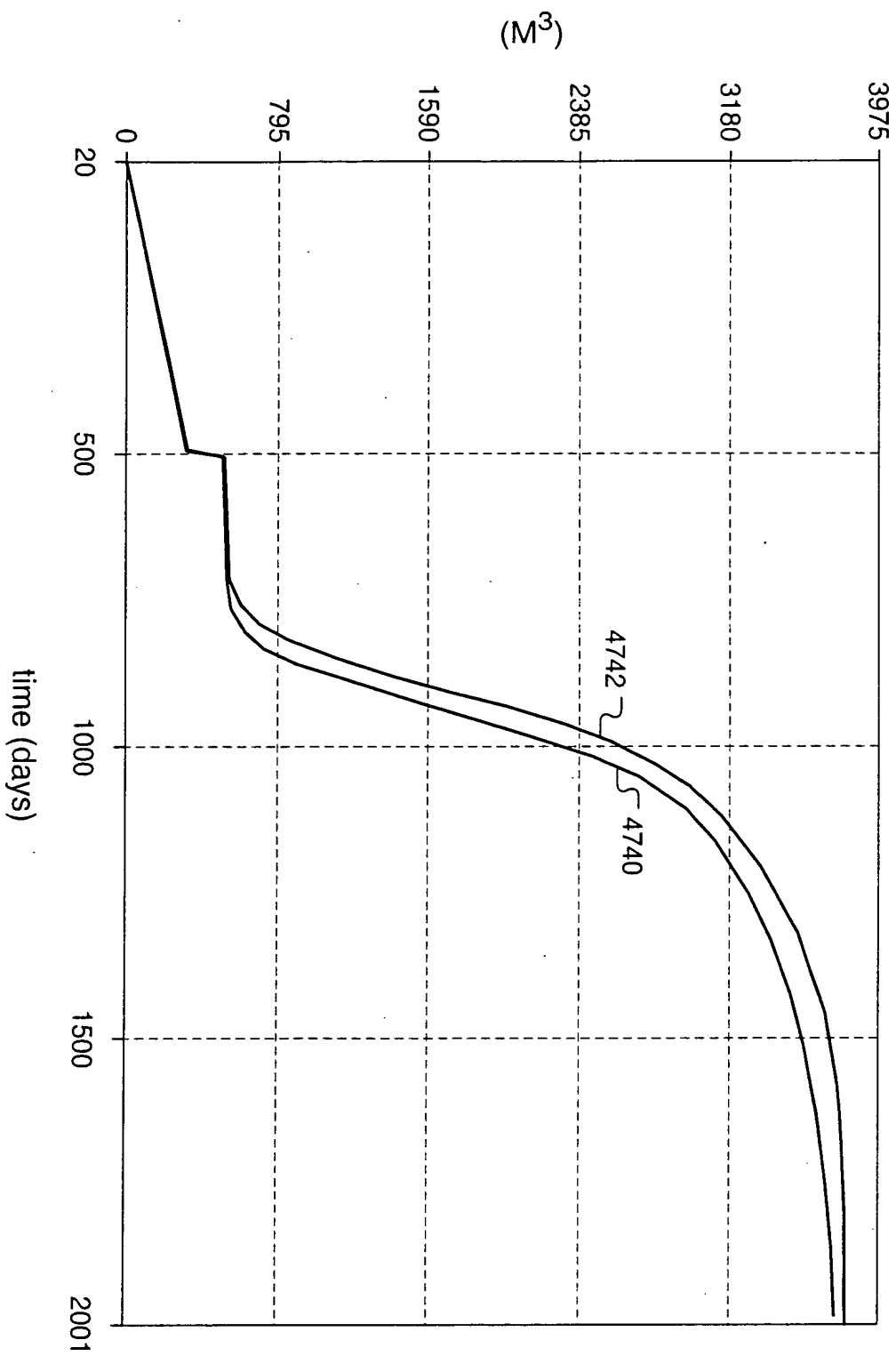


FIG. 170



FIG. 171

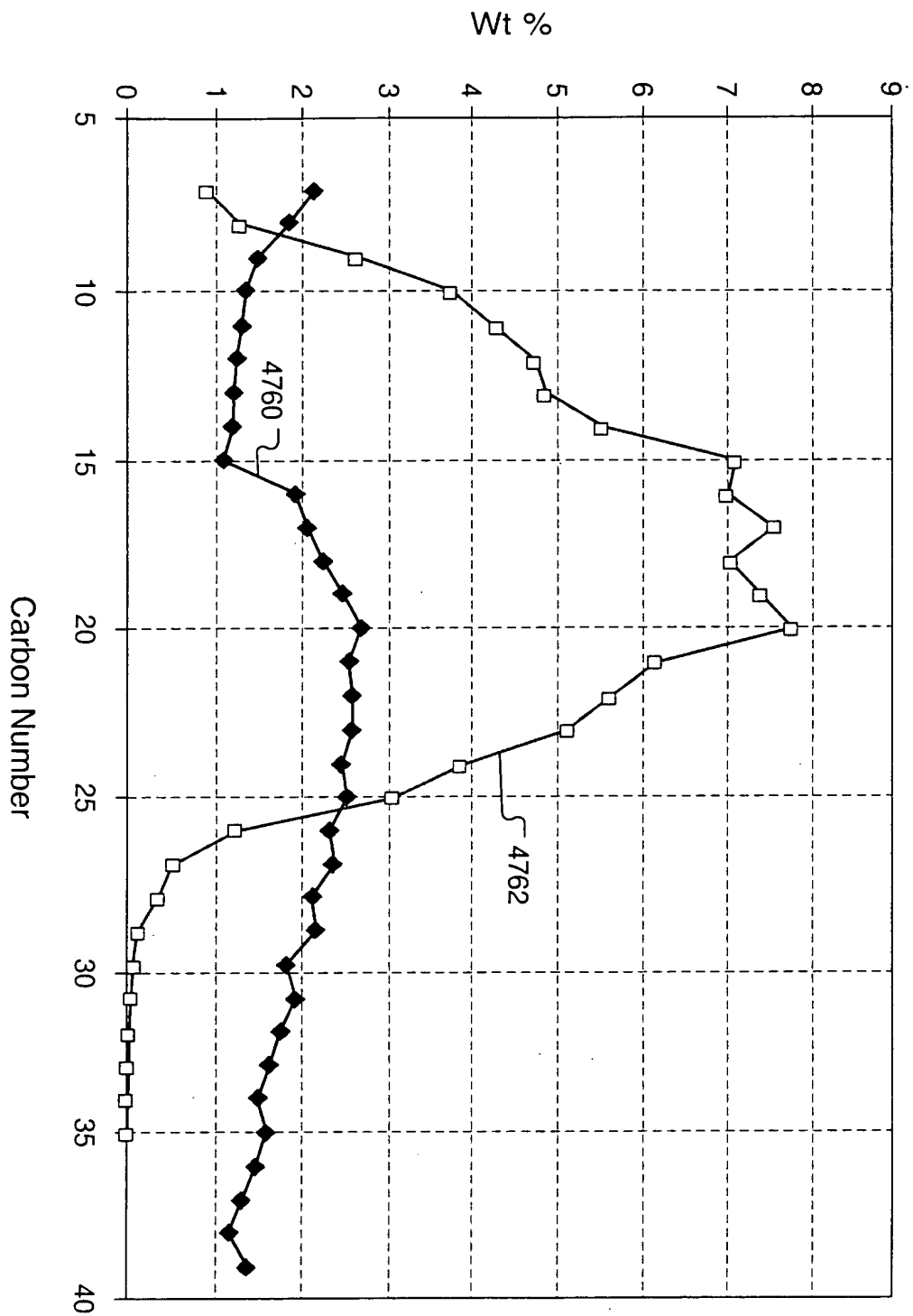


FIG. 172

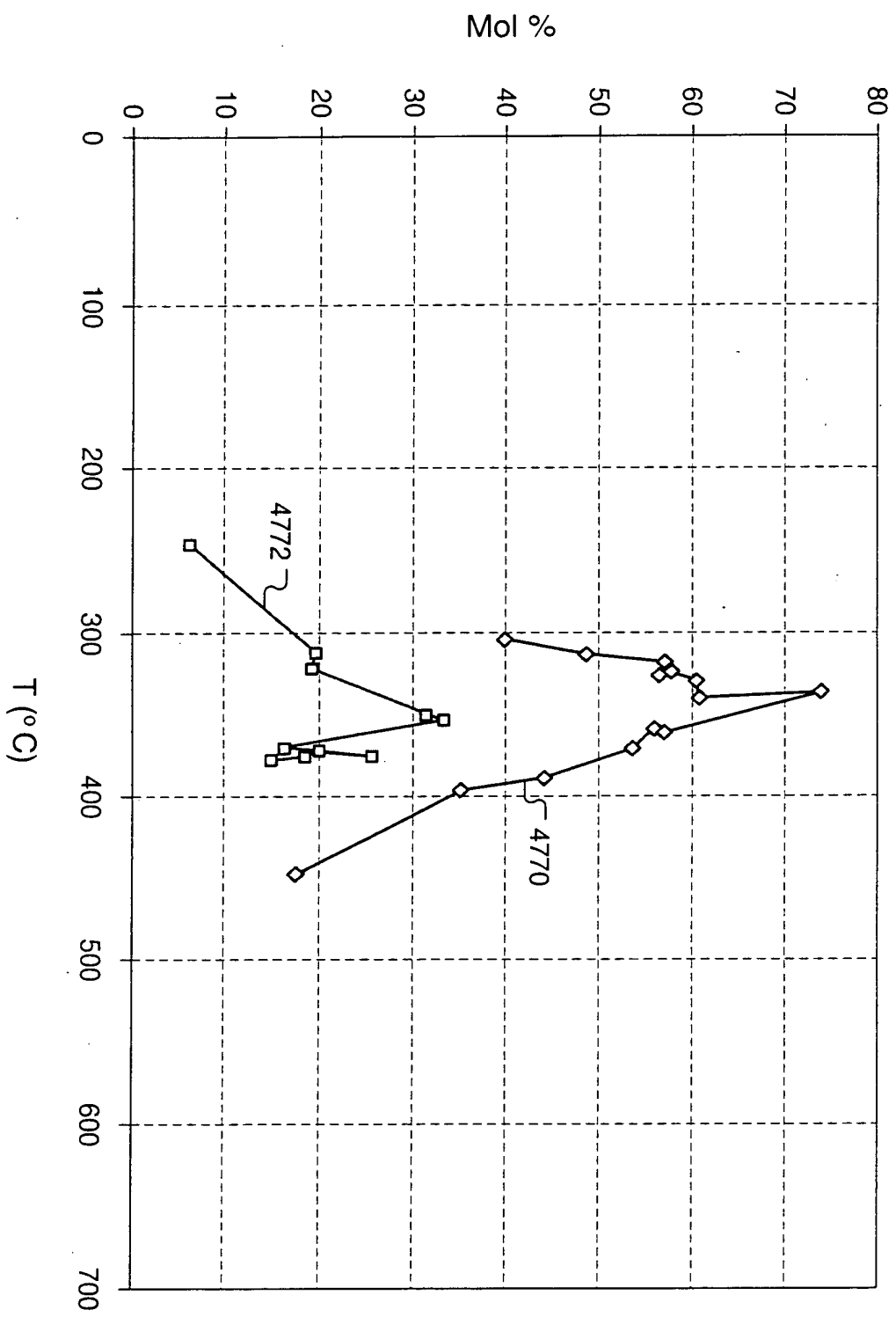


FIG. 173

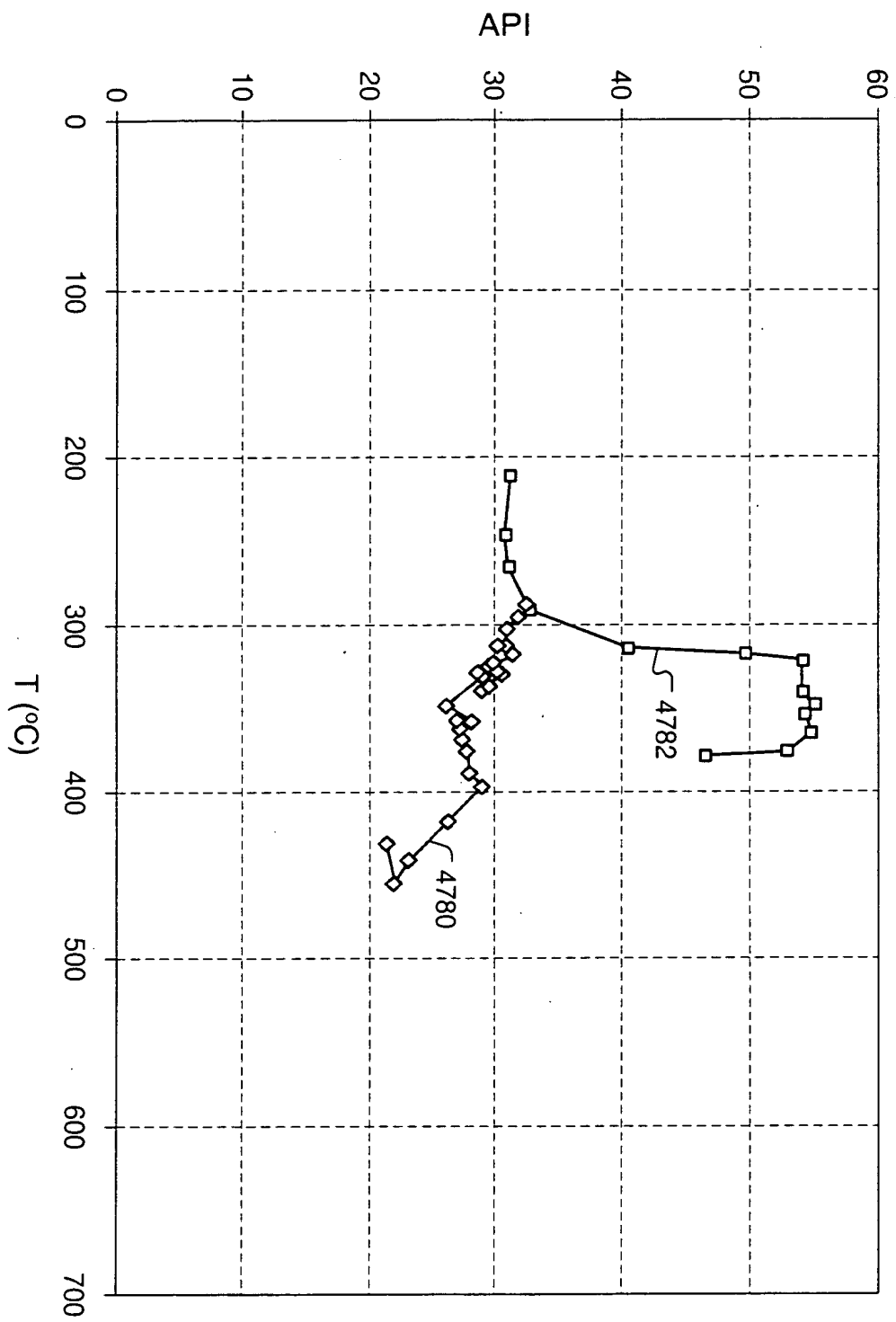


FIG. 174

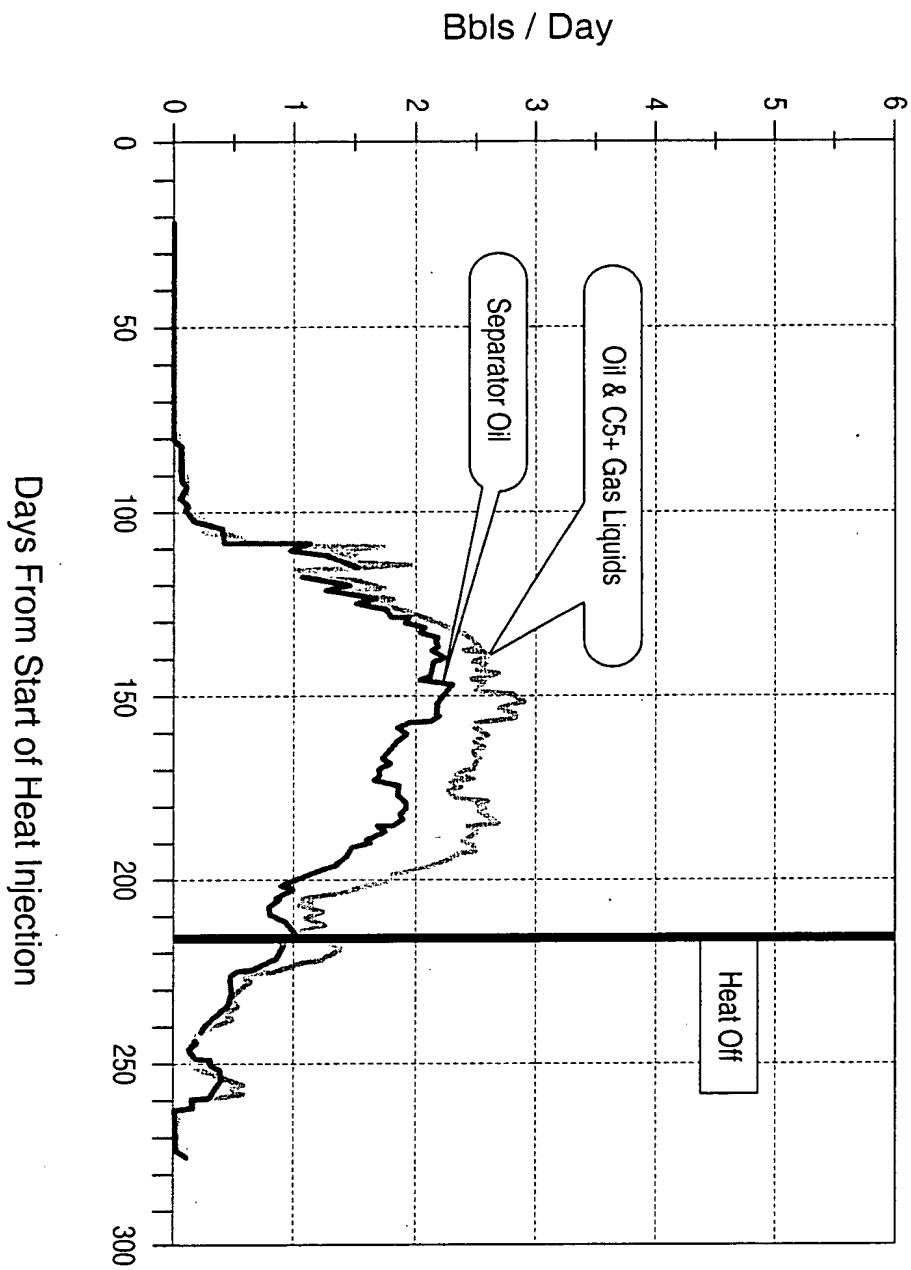


FIG. 175

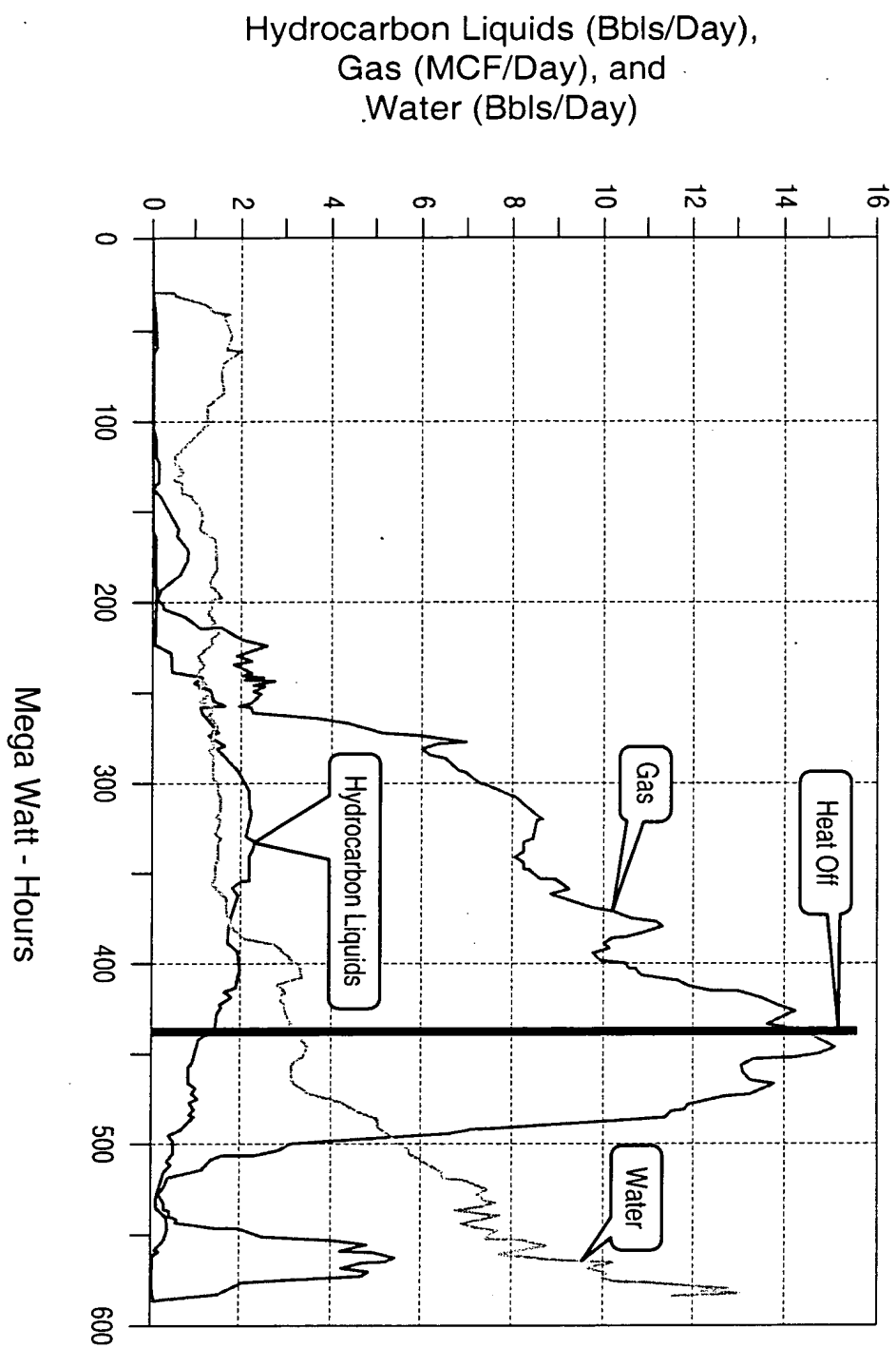


FIG. 176

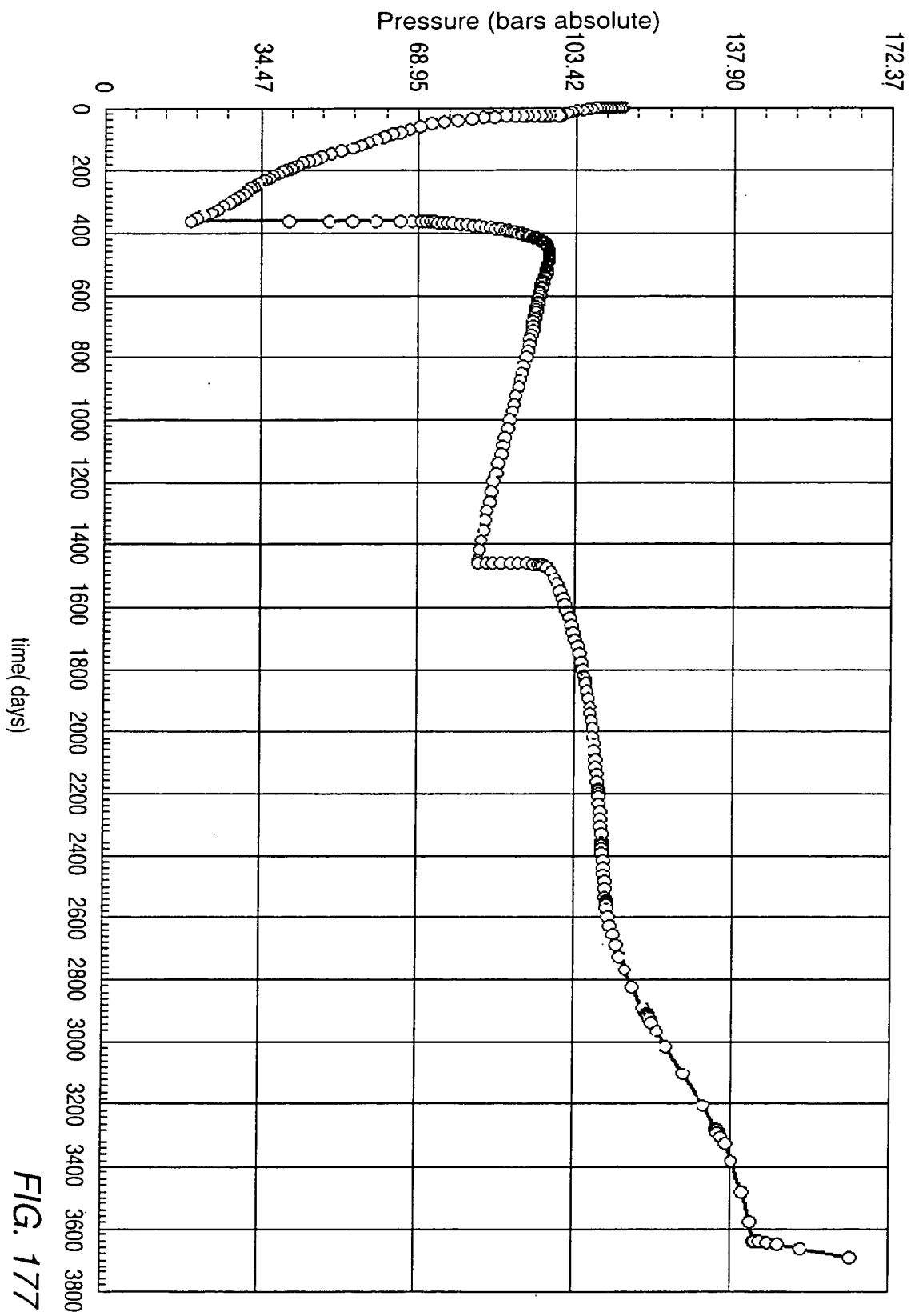


FIG. 177

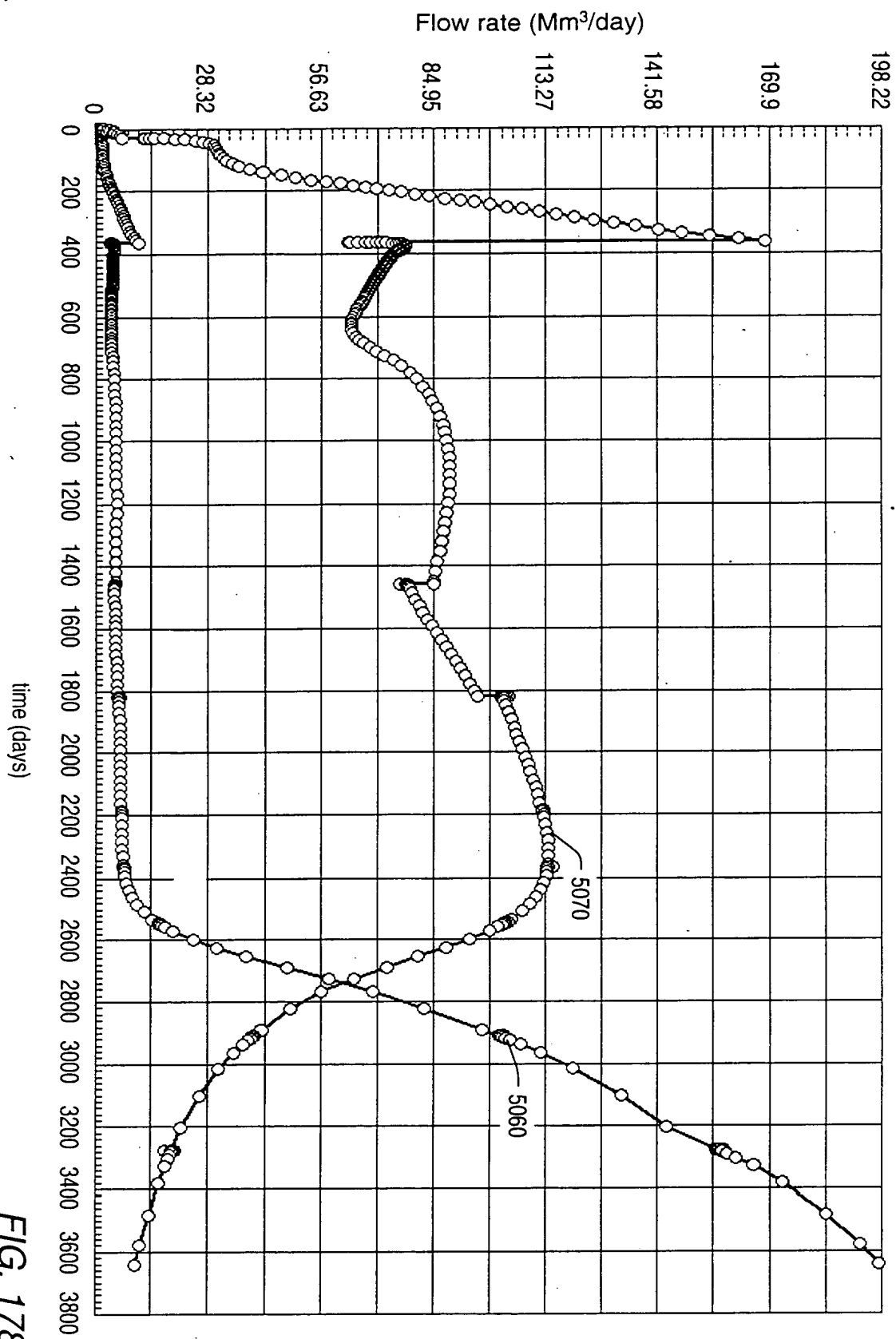


FIG. 178



FIG. 179

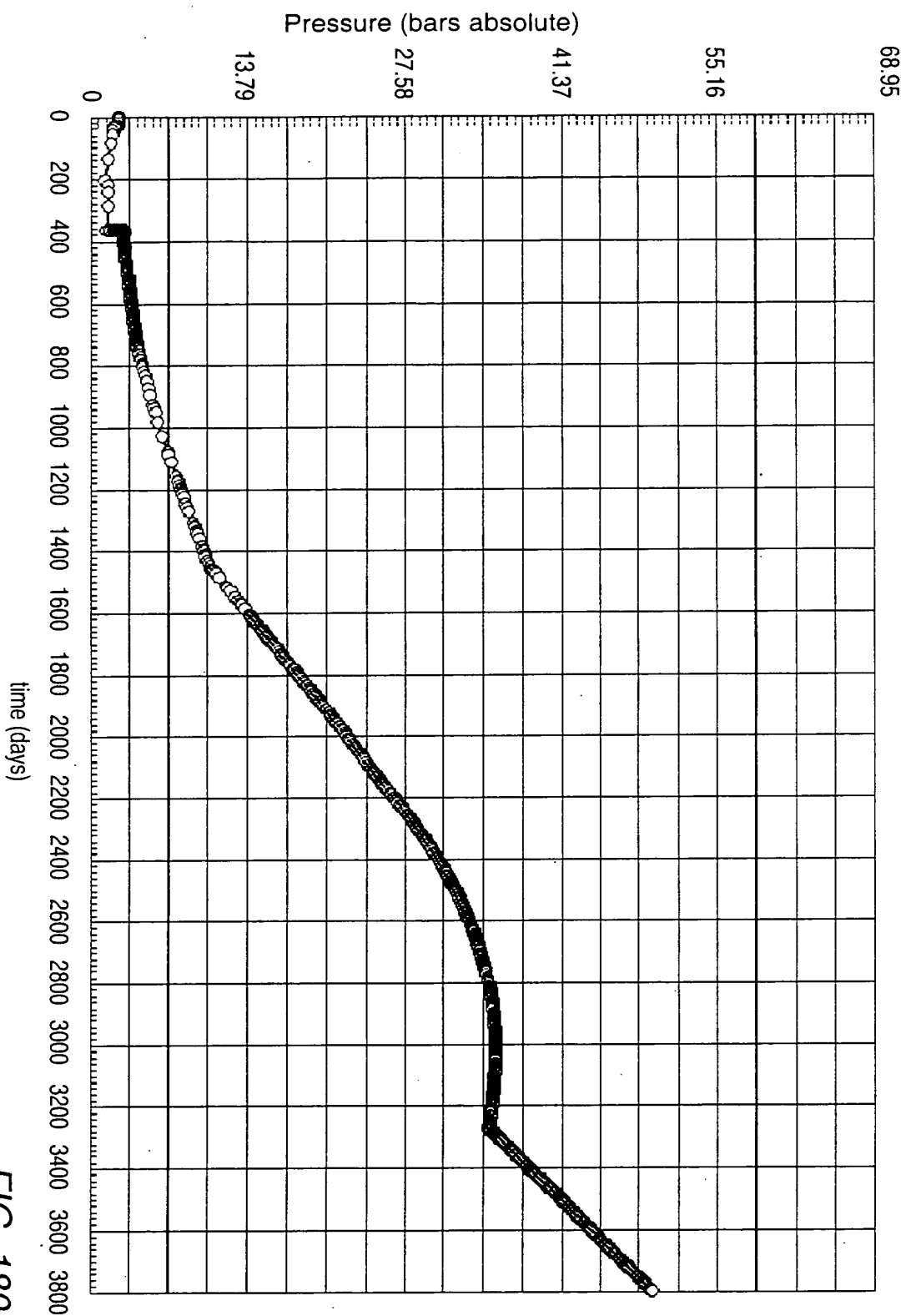


FIG. 180

104240° 2E414860

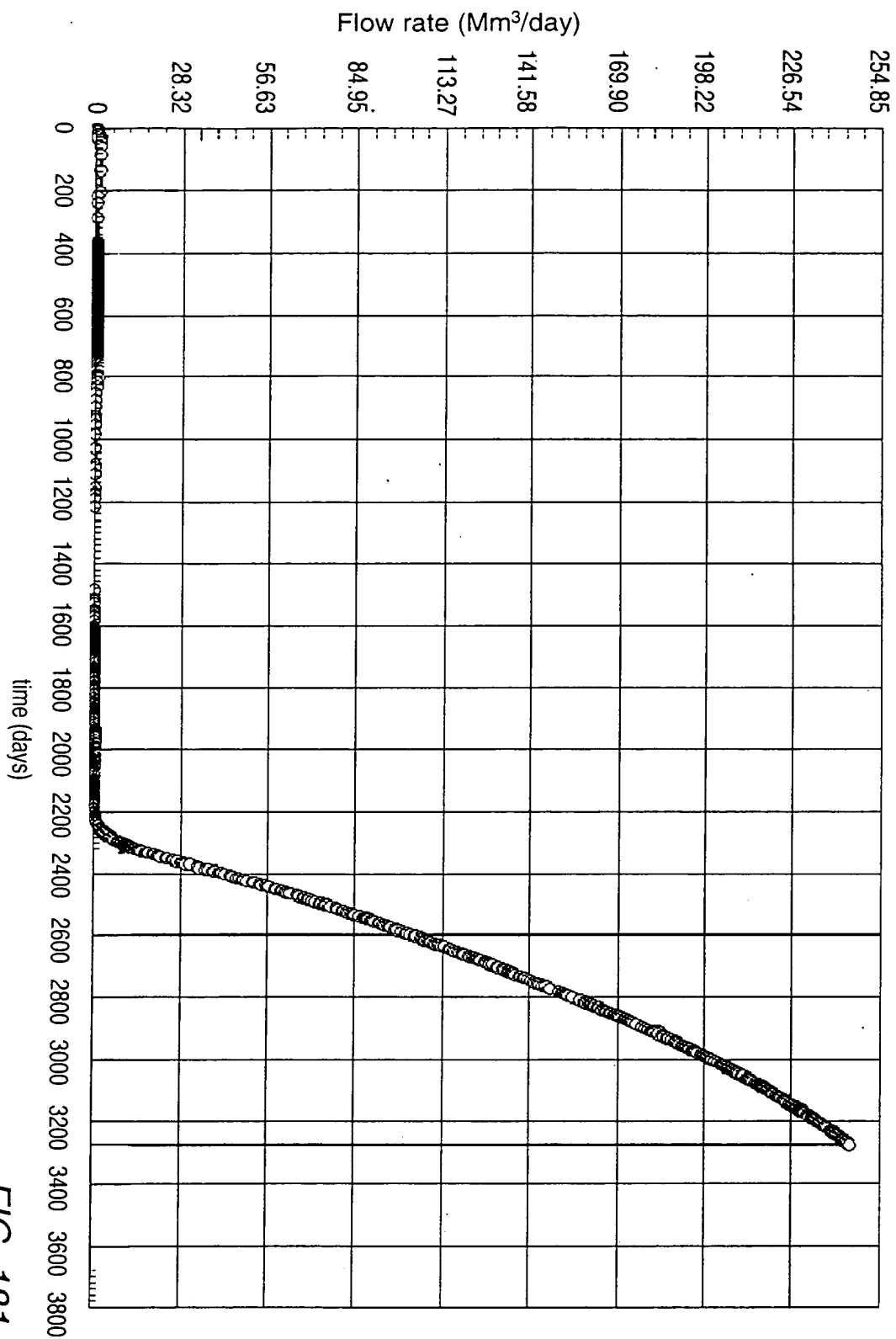


FIG. 181

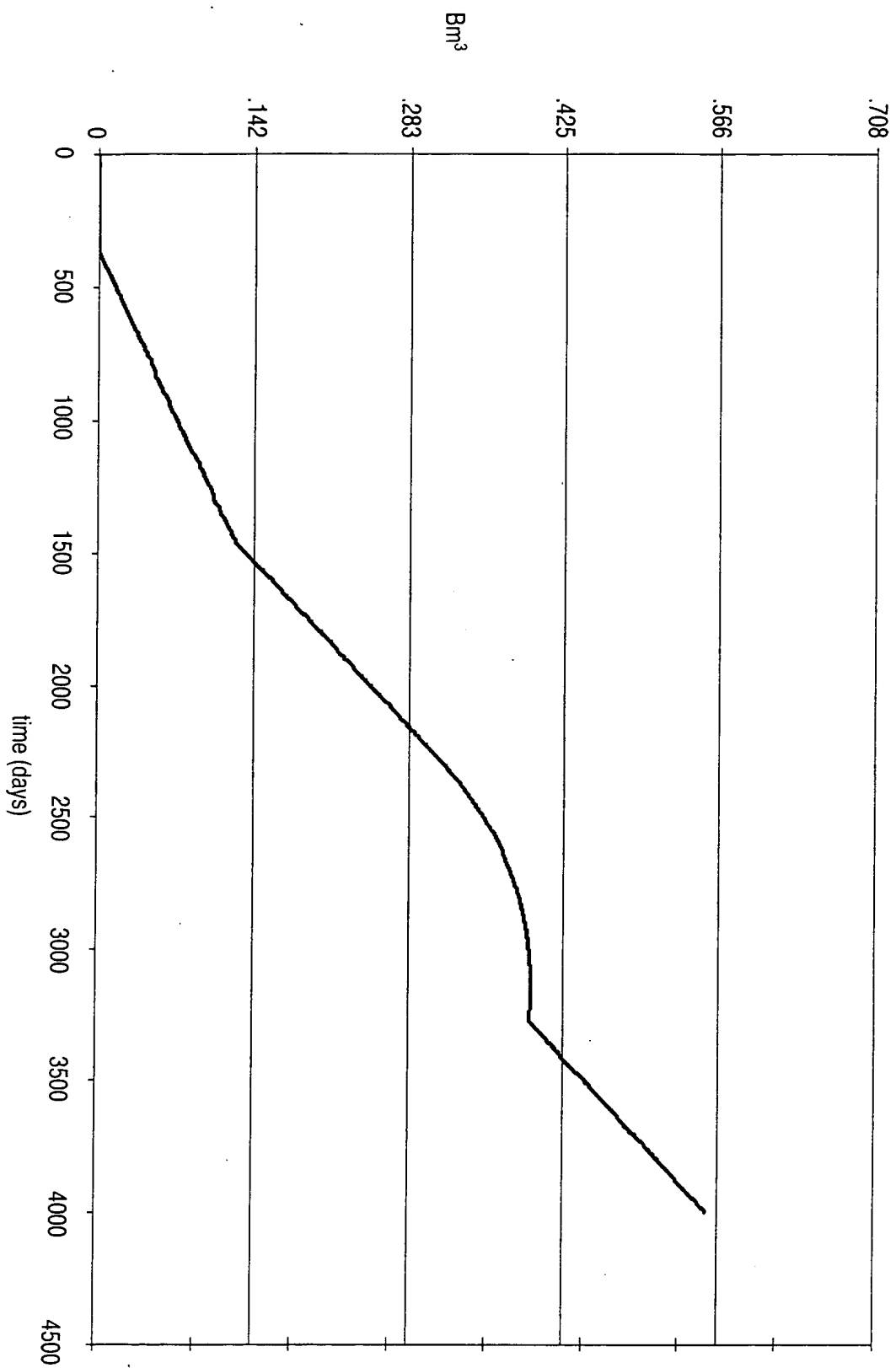


FIG. 182